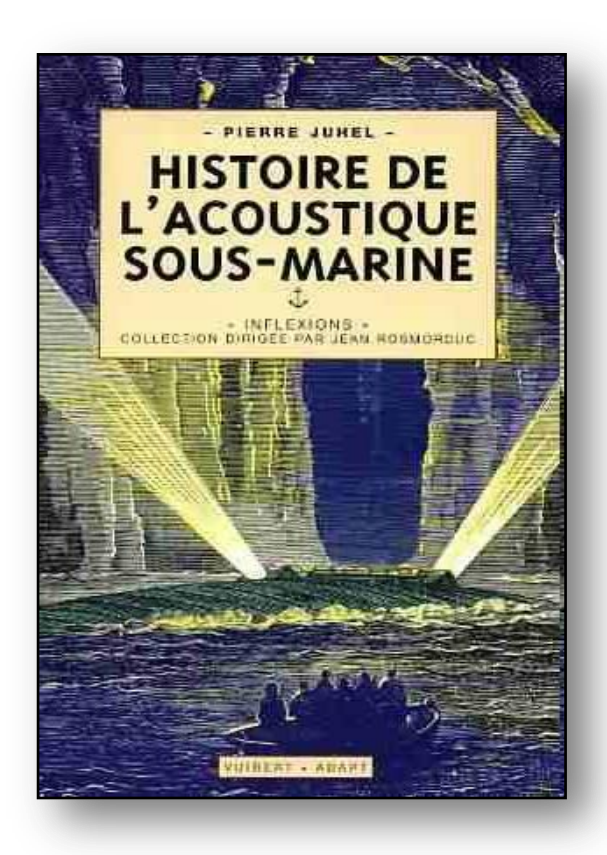
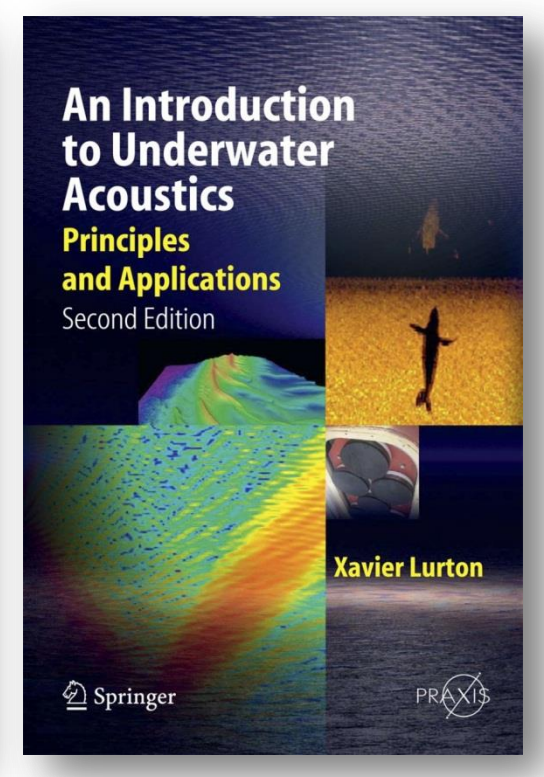


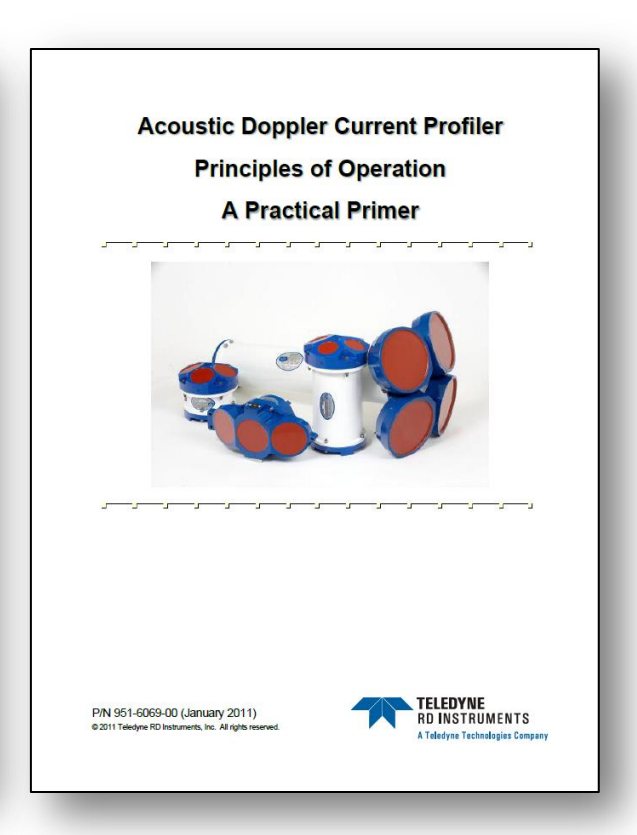
# Le courantomètre à effet Doppler: Théorie et applications

IDEF Christophe Vrignaud (Mars 2017)











- I. Notion d'acoustique sous-marine
- II. Application à la courantométrie
- III. Courantomètres au point fixe
- IV. L-ADCP
- V. VM-ADCP (Vessel Mounted Acoustic Doppler Current Profiler)
- VI. Doppler Velocity Loch



- I. Notion d'acoustique sous-marine
- II. Application à la courantométrie
- III. Courantomètres au point fixe
- IV. L-ADCP
- V. VM-ADCP (Vessel Mounted Acoustic Doppler Current Profiler)
- VI. Doppler Velocity Loch

HISTORIQUE

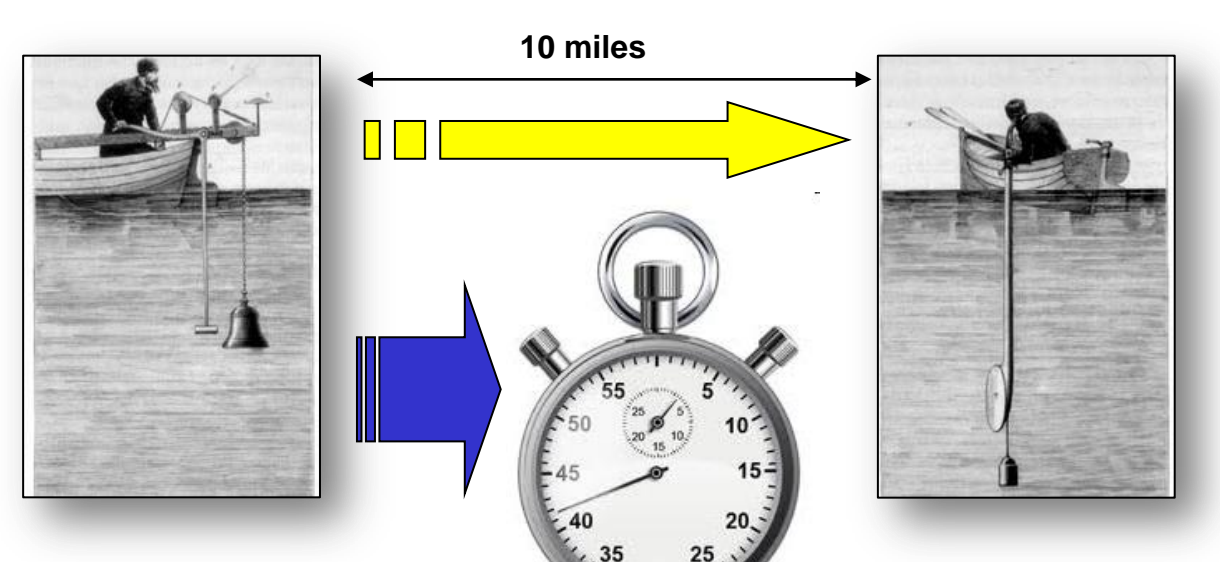


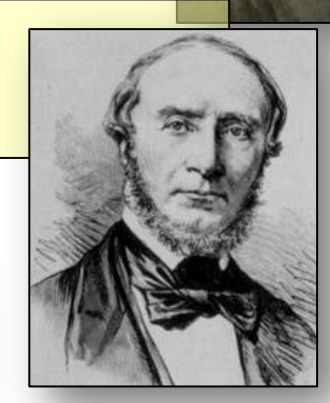
#### 15ème siècle

La première expérience pratique en acoustique sous-marine fut décrite en **1490 par Leonard de Vinci**. Il écrivit : "Si vous stopper votre bateau et que vous mettez votre oreille dans l'eau, alors vous pouvez entendre d'autres bateaux très éloignés de votre position.

#### 19ème siècle

La première expérience scientifique fut conduite par Joelle Colladon en 1826 sur le Lac Leman.





= 1435 m/s

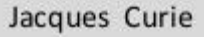
HISTORIQUE



#### 19ème siècle

De nombreux physiciens s'intéressèrent aux problèmes de « transduction », c'est-à-dire au phénomène de conversion d'énergie électrique en énergie sonore et vice versa. La **magnétostriction**, ou aptitude de certains matériaux à changer de forme quand ils sont soumis à un champ magnétique, fut découverte vers 1840. Le pendant de la magnétostriction est l'effet **piézo-électrique**, découvert quant à lui en **1880** par Jacques et Pierre Curie.



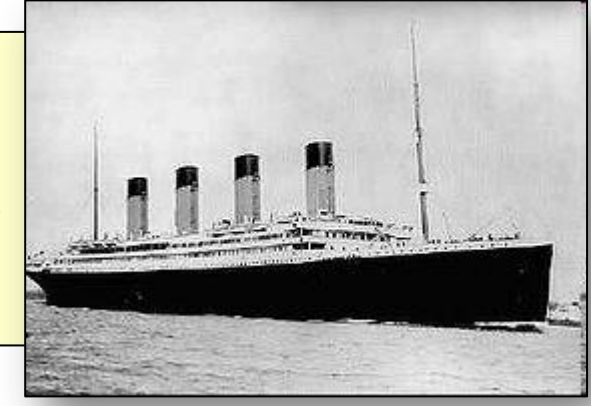




Pierre Curie

#### Début 20ème siècle

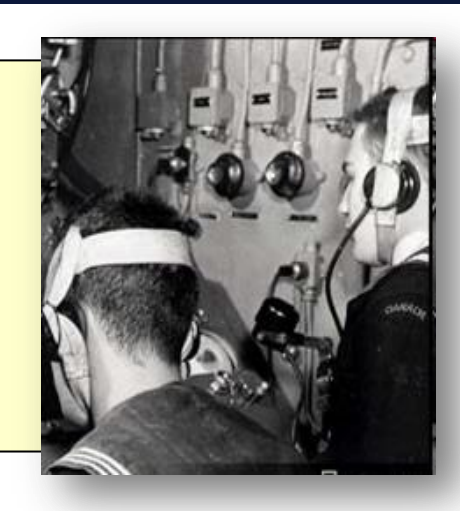
La collision du **Titanic** avec un iceberg, la nuit du 14 au 15 **avril 1912**, eut un formidable retentissement dans l'opinion publique et déclencha une urgente nécessité de se doter de **moyens de détection sous-marine**. Le 29 janvier 1913, R. A. Fessenden déposa aux États Unis un brevet pour un prototype de source électroacoustique sous-marine et il réussit le 27 avril 1914 à détecter un iceberg distant de 2 miles.



HISTORIQUE



En Europe le déclanchement de la **première guerre mondiale** mit en évidence le besoin de pouvoir détecter les sous-marins militaires de l'ennemi. En 1916, le physicien français P. Langevin développa un transducteur assez puissant pour que l'onde sonore produite traverse la Seine à Paris. Les alliés britanniques purent grâce à R. W. Boyle reproduire le même résultat. Ils utilisèrent le sigle **« ASDIC » (pour Allied Submarine Devices Investigation Committee)** pour désigner leurs expériences alors secrètes et ce sigle resta en usage des années chez les britanniques pour désigner les systèmes sondeurs/sonars en général.



#### 2ième moitié du XXième siécle

La période de la seconde guerre mondiale fut marquée par une intense activité de recherche focalisée sur les propriétés du son dans l'eau. Ainsi aux États-Unis la « National Defense Research Committee » (NDRC) finança un grand nombre de scientifiques pour qu'ils s'intéressent à tous les aspects de la propagation du son dans l'eau. Les Américains remplacèrent le nom ASDIC par celui plus compréhensible de **SONAR (SOund Navigation And Ranging).** Un grand nombre des concepts actuels et des applications pratiques trouvent leur origine à cette période.





Le principe d'un sonar : émettre, écouter et « compter le temps ».







Si le temps entre l'émission et la réception est de 2 s Avec une vitesse de propagation de 1500 m/s

Quelle est la distance entre le sonar et la cible ?



**Distance Sonar-Cible = Vitesse propagation x Temps Propagation** 

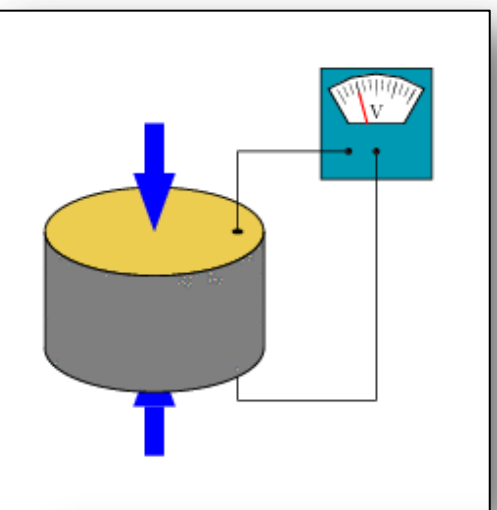
2

Distance Sonar-Cible = 1500 m

LE PRINCIPE DE L'EFFET PIÉZO-ÉLECTRIQUE



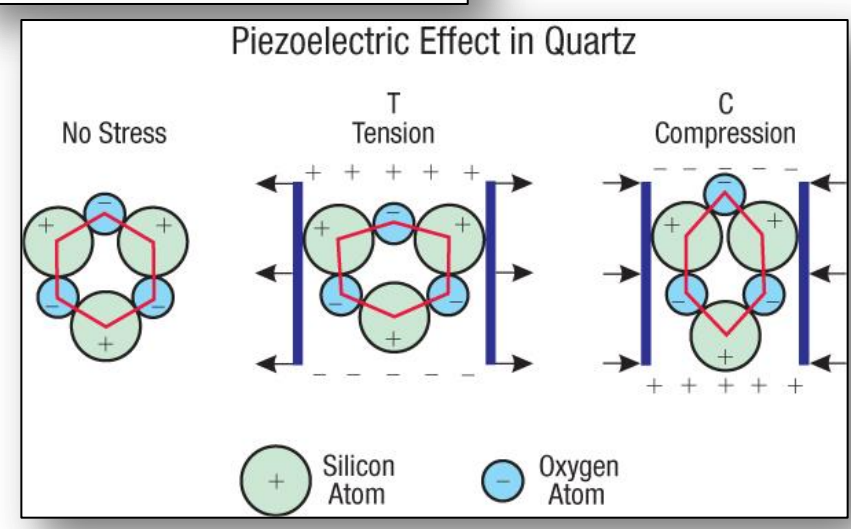
**Piézoélectricité** (du grec piézein presser, appuyer): propriété que possèdent certains corps de se polariser électriquement sous l'action d'une contrainte mécanique et à l'inverse de se déformer lorsqu'on leur applique un champ électrique.



#### Les deux effets sont indissociables.

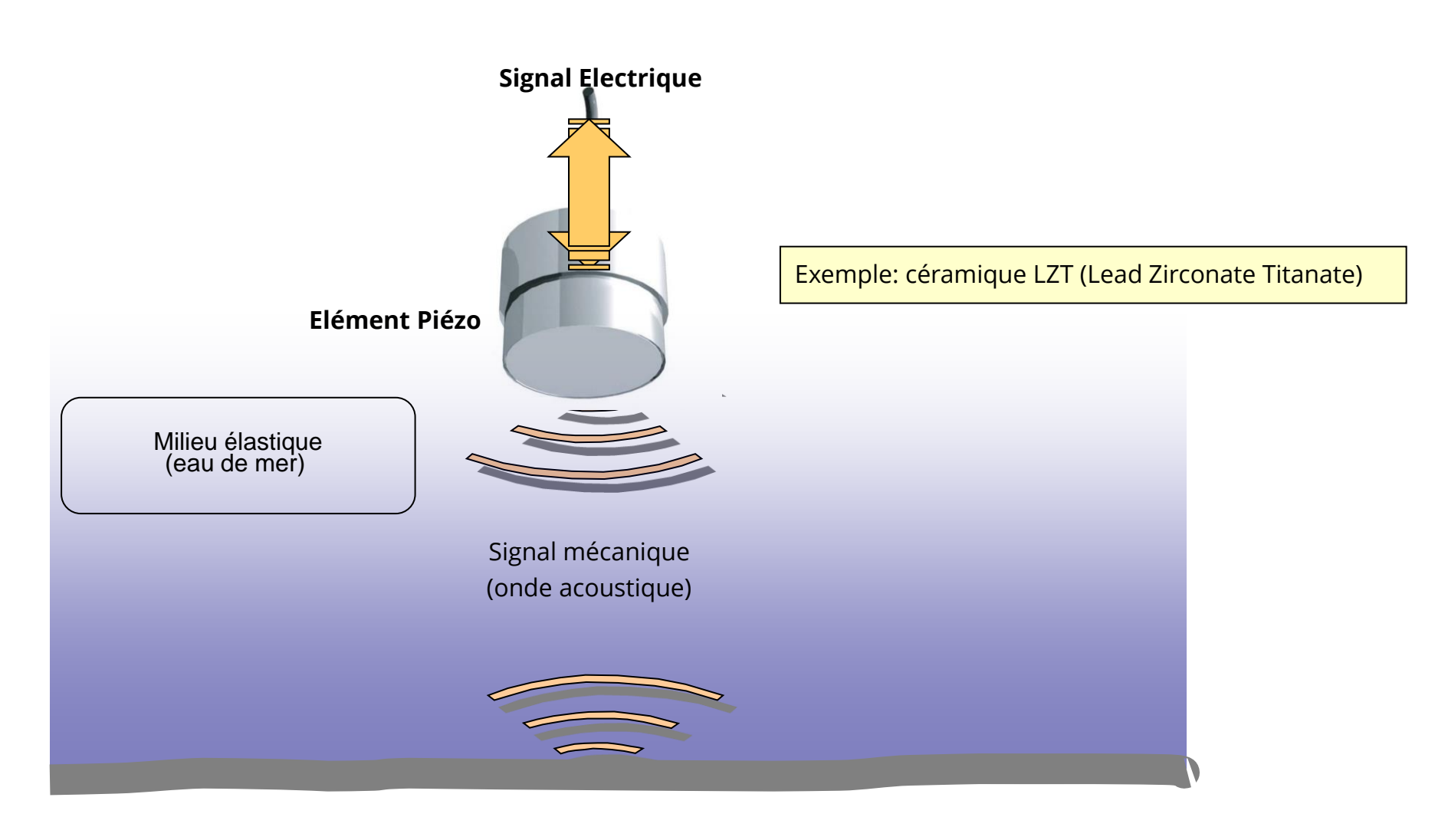
<u>L'effet piézoélectrique direct</u> (les échos sonores provenant de la réflexion du son sur un obstacle sont transformés en énergie électrique).

<u>L'effet piézoélectrique inverse</u> (l'énergie électrique issue d'un sondeur est convertie en énergie acoustique par le transducteur).



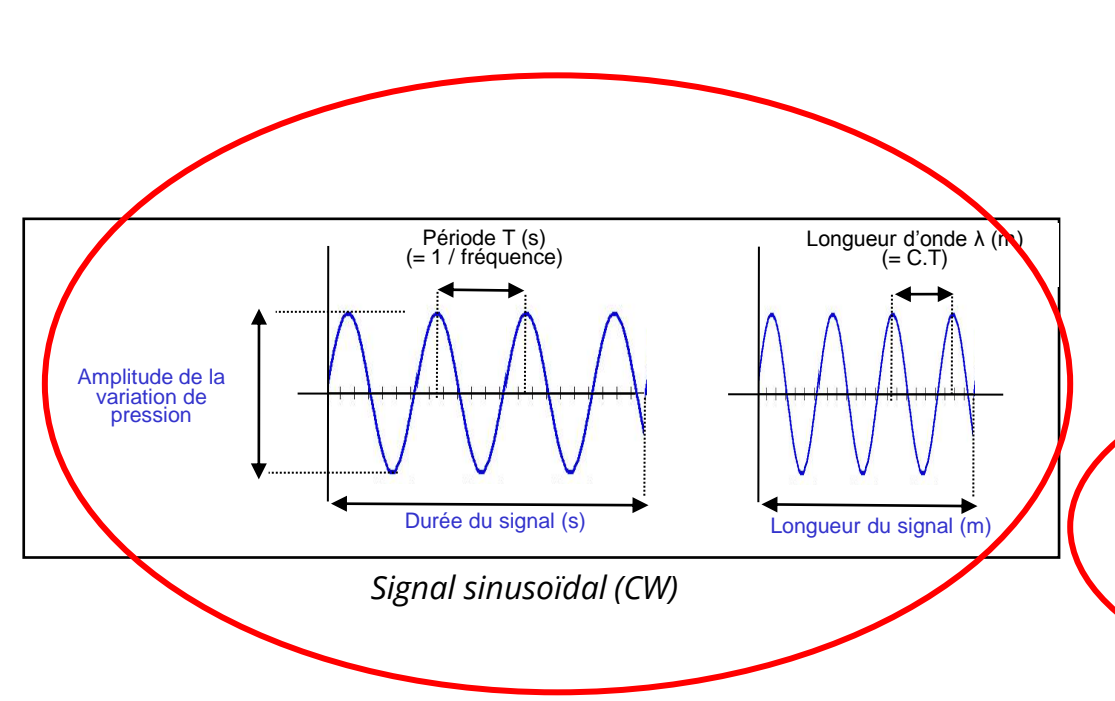
LE PRINCIPE DE L'EFFET PIÉZO-ÉLECTRIQUE

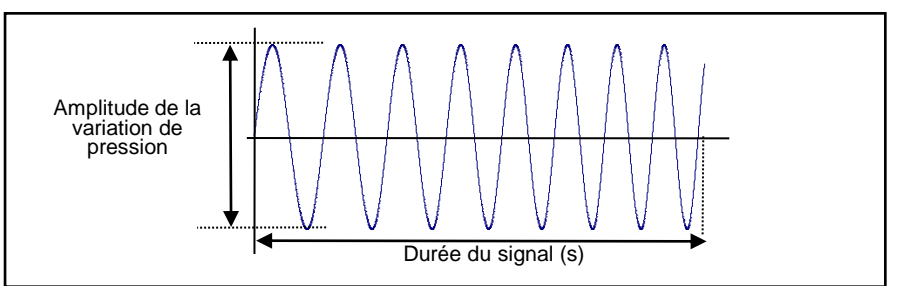




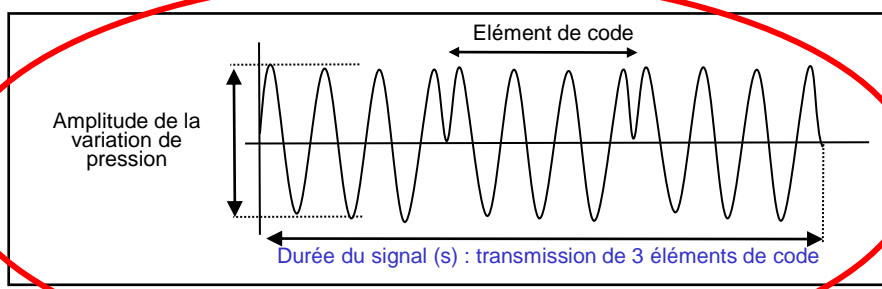
**ONDES TRANSMISES** 



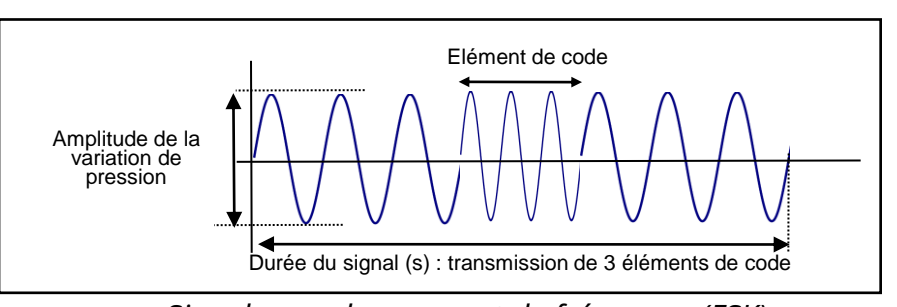




Signal modulé en fréquence (FM)



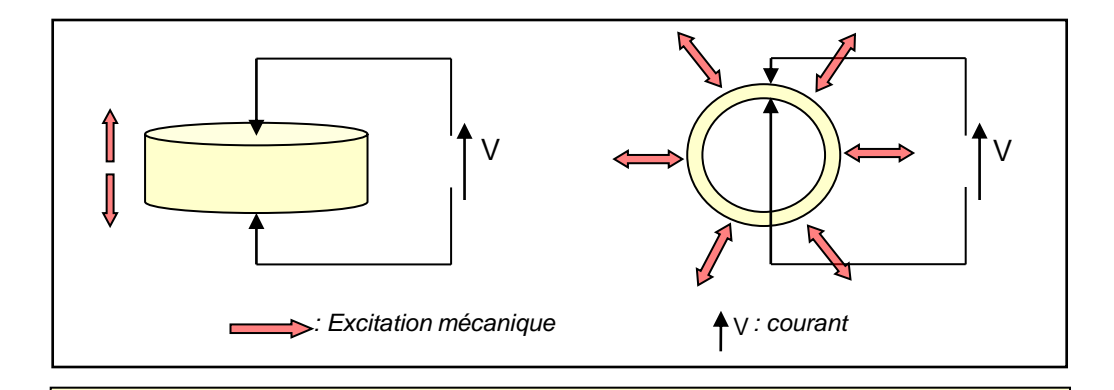
Signal avec changement de phase (PSK)



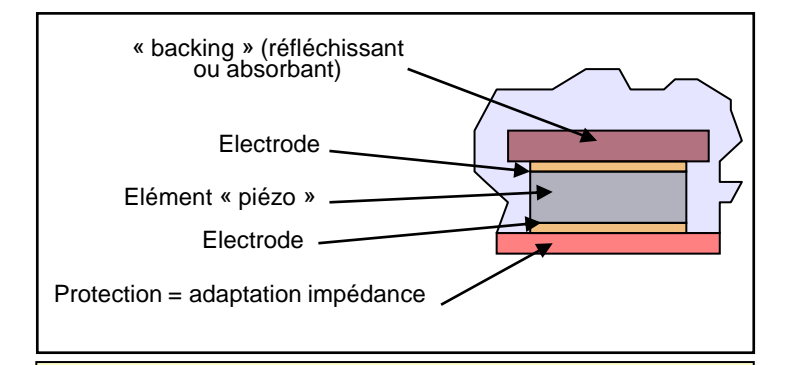
Signal avec changement de fréquence (FSK)

ELÉMENTS PIÉZEO-ÉLECTRIQUE





Schématisation de l'effet piézo-électrique sur deux formes différentes – effet direct et inverse



Eléments constituant un transducteur élémentaire

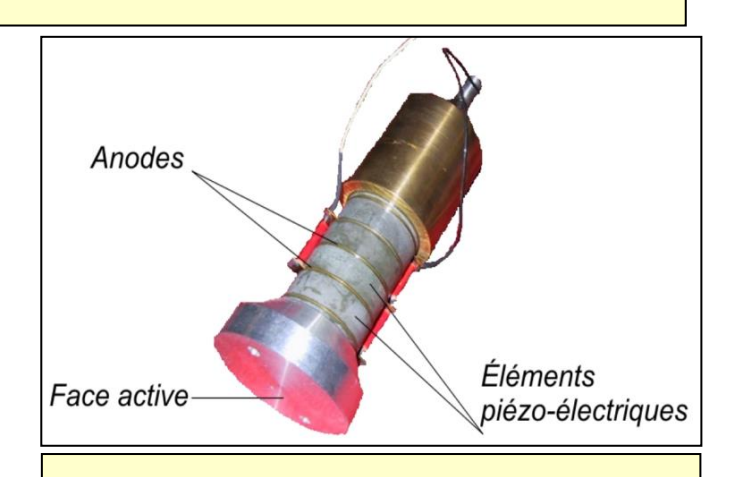


Exemple de céramique piézoélectriques (Noliac Group)

**Photos 1** 

Photos 2

**Photos 3** 



Transducteur élémentaire (élément sondeur multifaisceau Kongsberg EM120)



### Hydrophone

- ▶ Capteur capable de détecter les signaux acoustiques en milieu fluide.
- Utilise uniquement l'effet direct de la piézo-électricité (réception).



### **Projecteur**

- Capteur capable d'émettre des signaux acoustiques en milieu fluide.
- Utilise uniquement l'effet inverse de la piézo-électricité (émission).



### **Transducteur**

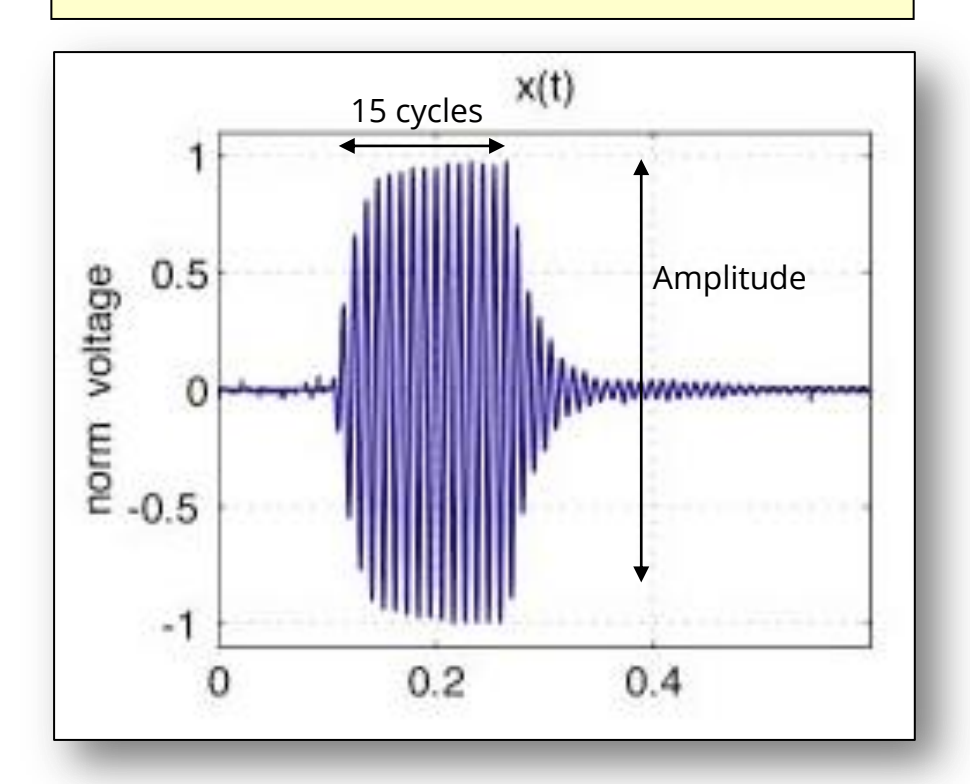
▶ Appareil vibratoire capable de transformer l'énergie électrique en énergie mécanique et inversement. Le transducteur est capable d'utiliser les deux effets de la piézo-électricité





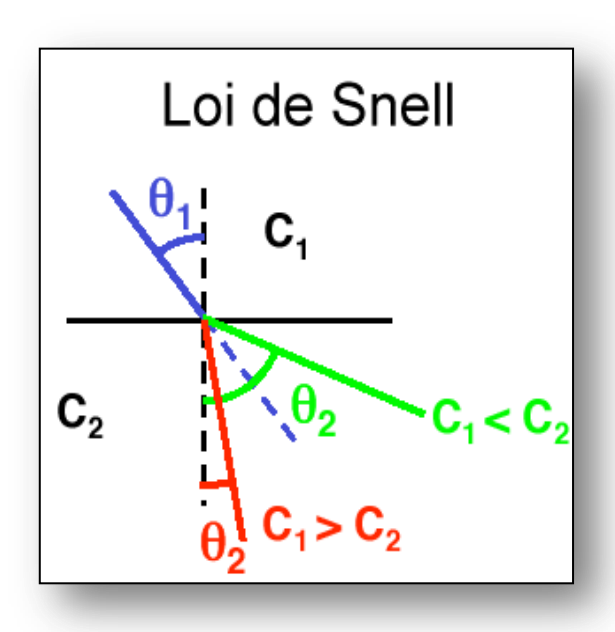
#### **Exemple pratique:**

- Émission d'un signal sinusoïdal
- Fréquence 93kHz (période = 0.0107ms)
- Impulsion = 0.16ms (donc 15 cycles)

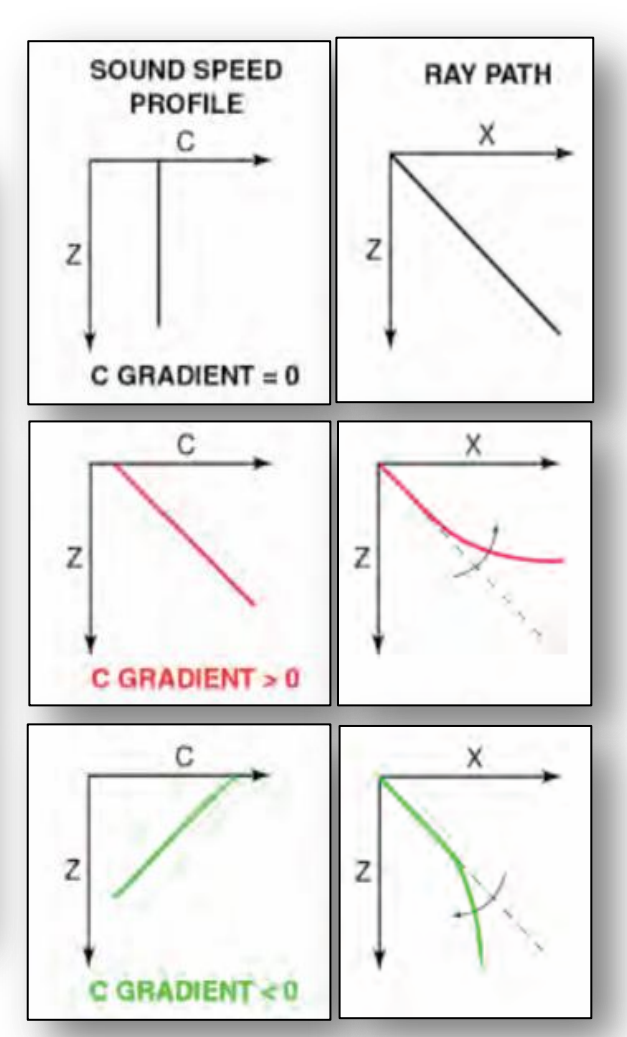




Le son, comme la lumière, suit la loi de Snell-Descartes

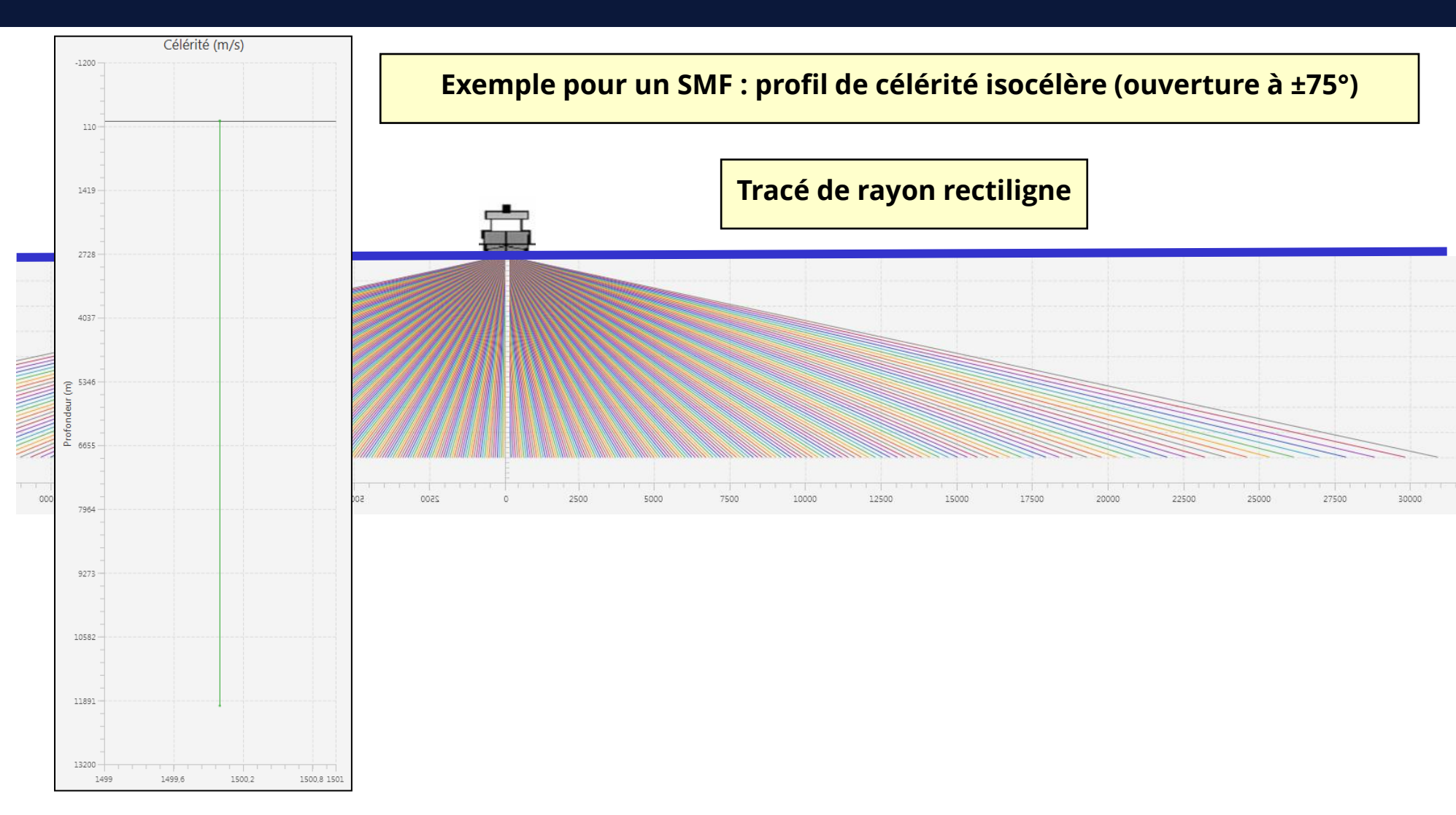






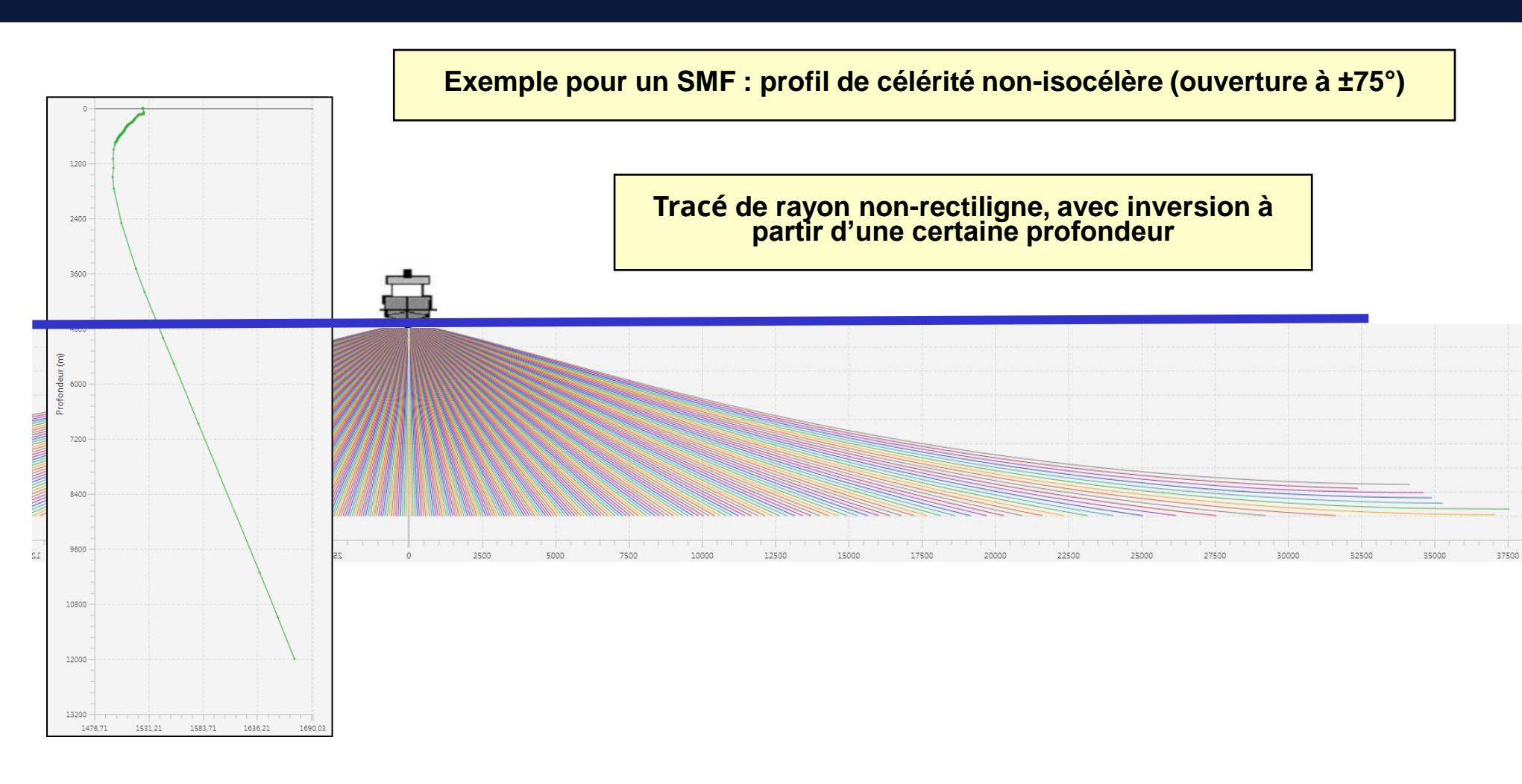
**CHEMIN ACOUSTIQUE** 





**CHEMIN ACOUSTIQUE** 



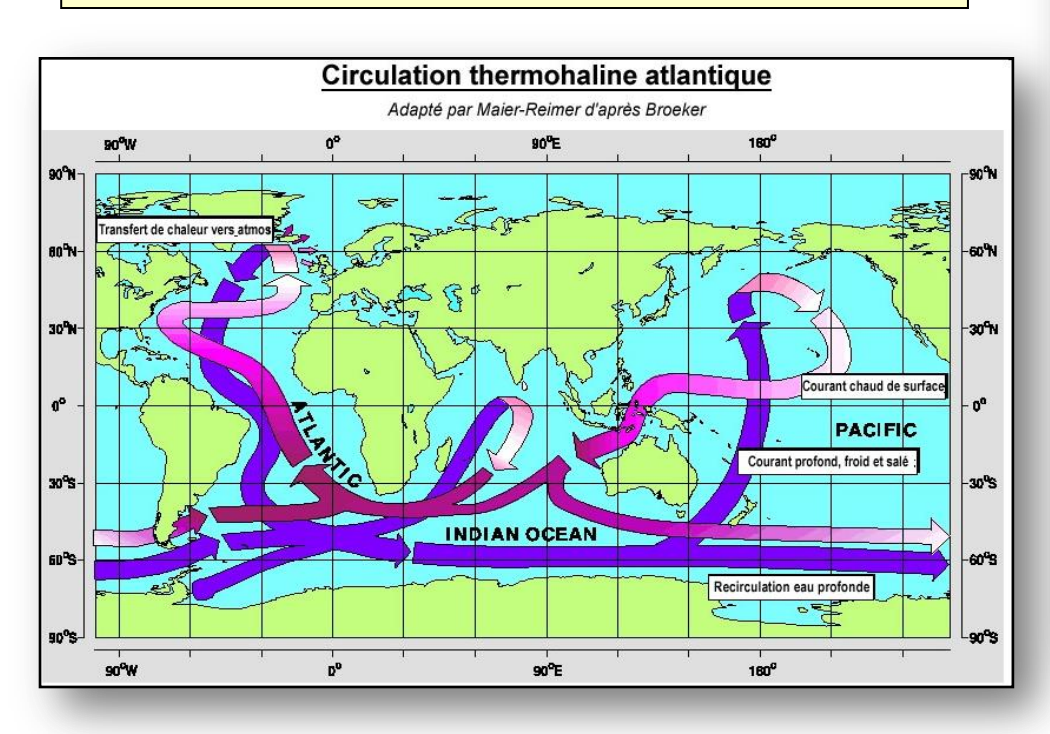


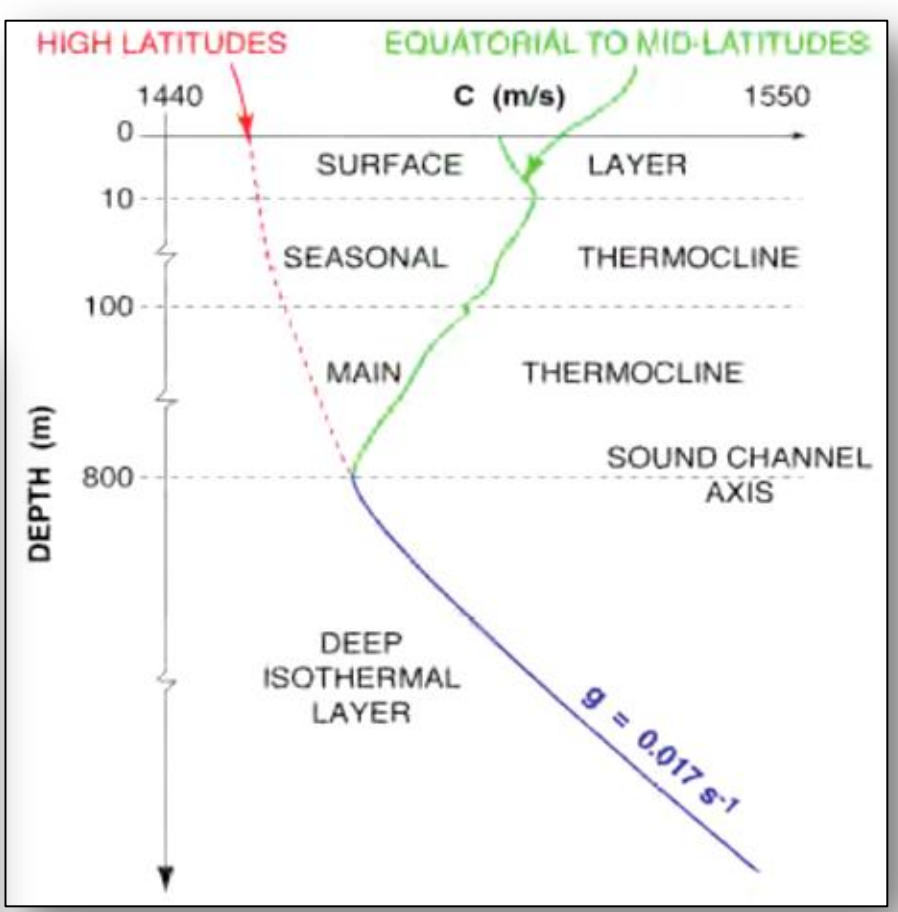
**VITESSE DU SON** 



La célérité est fonction de la profondeur, de la saison ou de la zone géographique.

Ils existent des gradients de célérité horizontaux (voir même verticaux: Méditerranée, Mer Iroise ...).





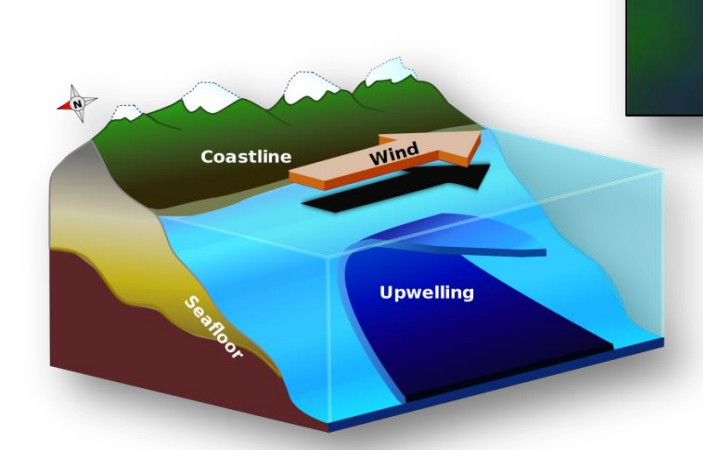
**CHEMIN ACOUSTIQUE** 



#### Hydrologie complexe:

- Précipitation, ensoleillement, évaporation
- Eau douce en provenance des fleuves
- Circulation en estuaire
- Brassage lié à la marée
- Phénomènes d'upwelling ou de courant côtier

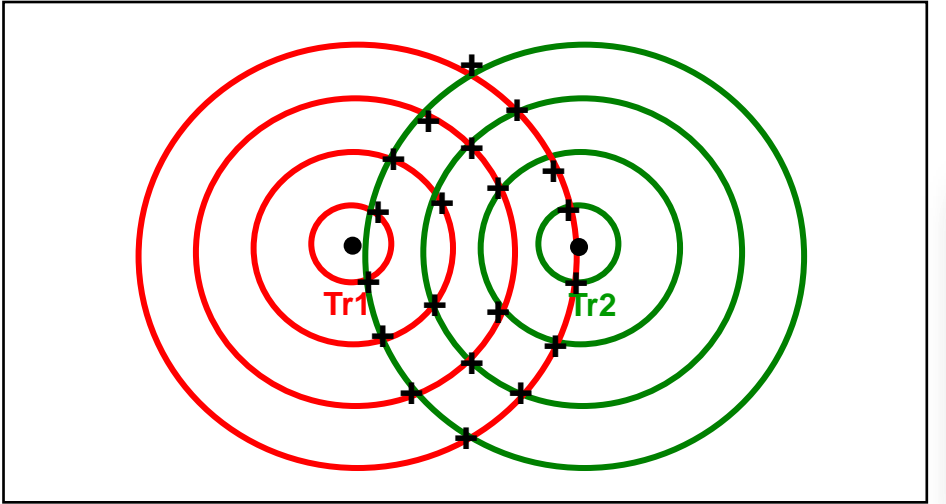




NOTION D'ANTENNE ACOUSTIQUE – DIAGRAMME DE DIRECTVITÉ

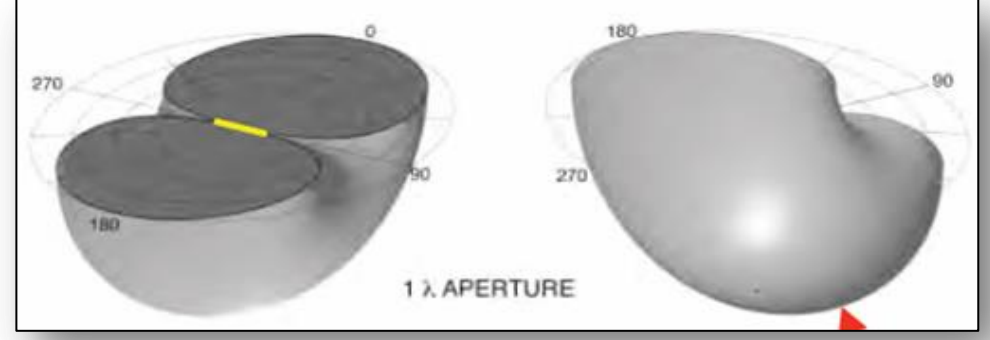


Antenne composée de deux transducteurs élémentaires



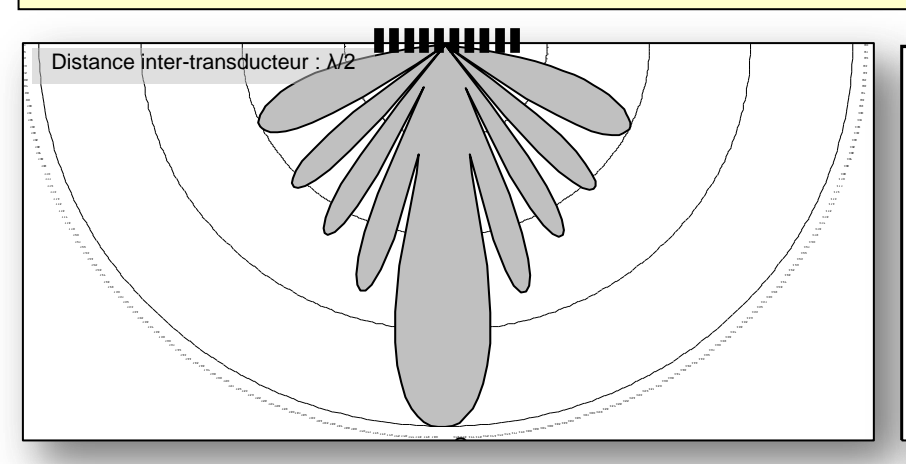
Onde de pression identique émise simultanément par deux sources.

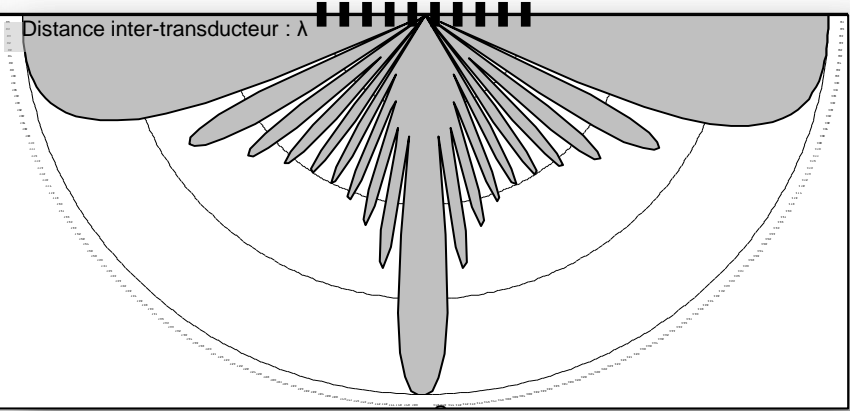
Des zones d'interférences constructives et destructives apparaissent

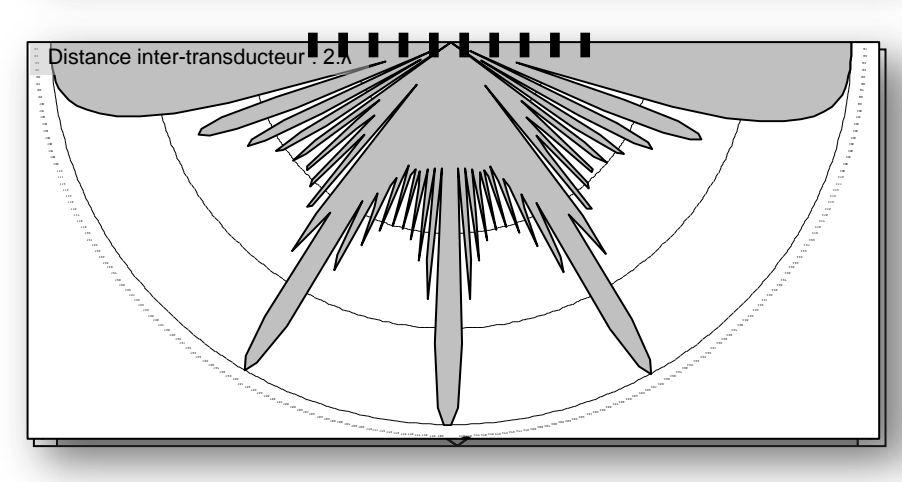


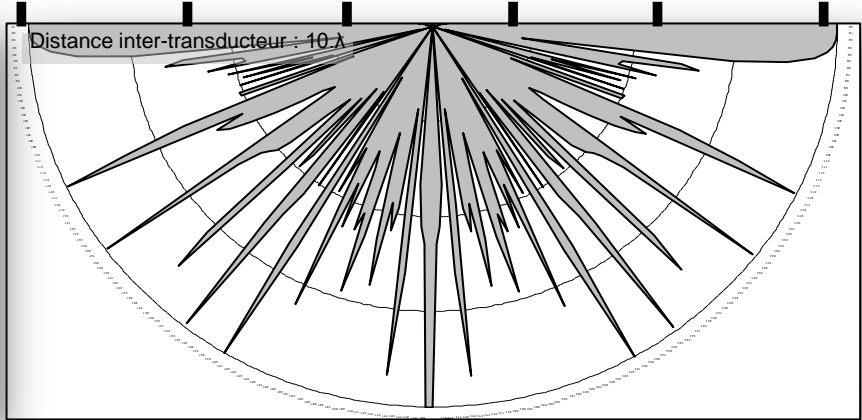


Influence de la distance entre chaque transducteur élémentaire (exemple de 10 éléments individuels)





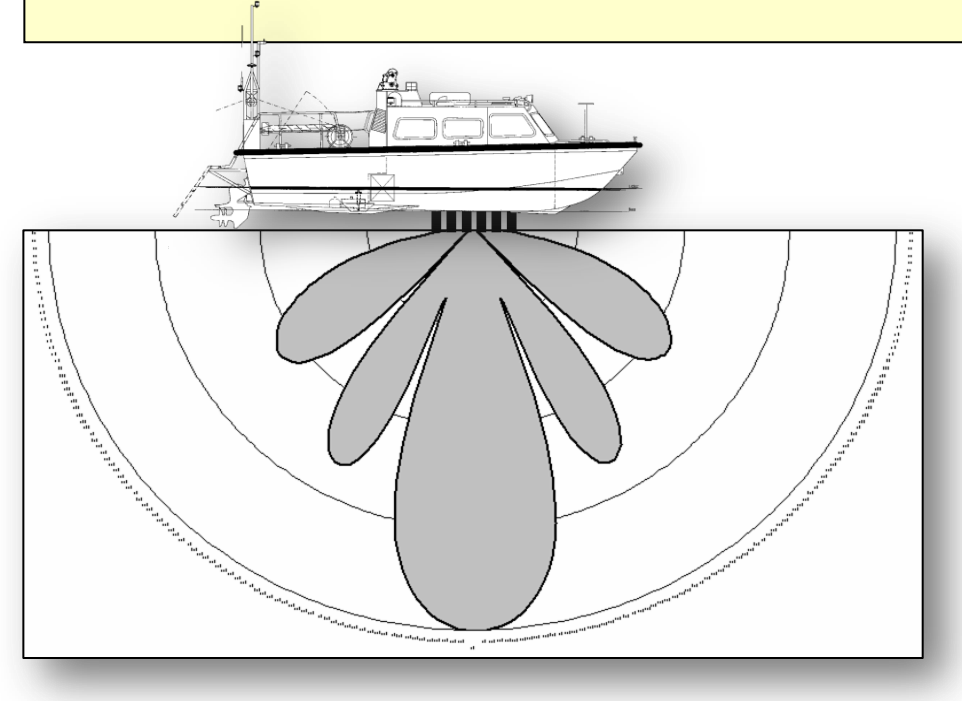


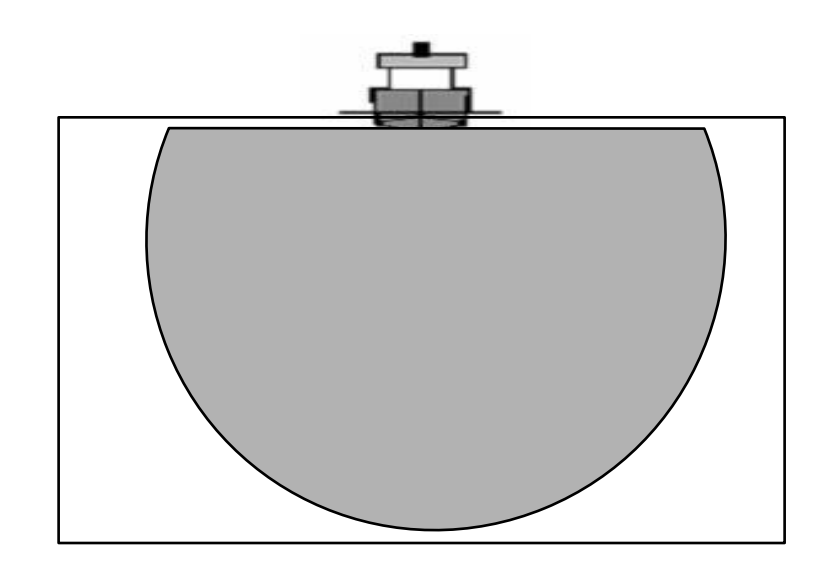






Influence du nombre de transducteurs élémentaires (séparé d'une distance de  $\lambda$  / 2) : 6 transducteurs





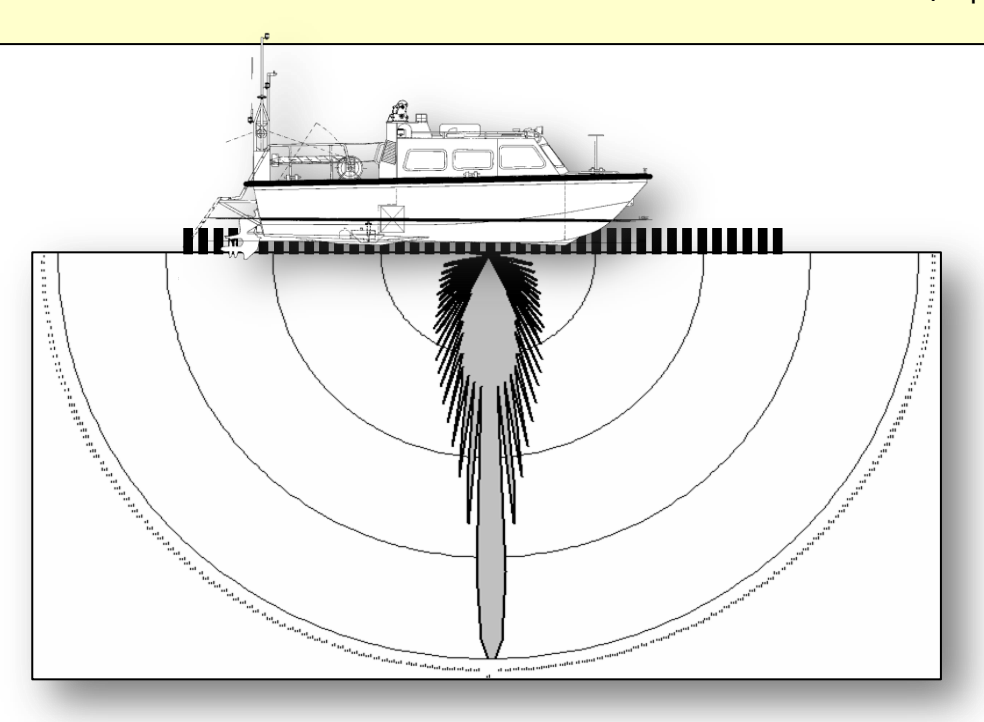
Fonction de directivité:

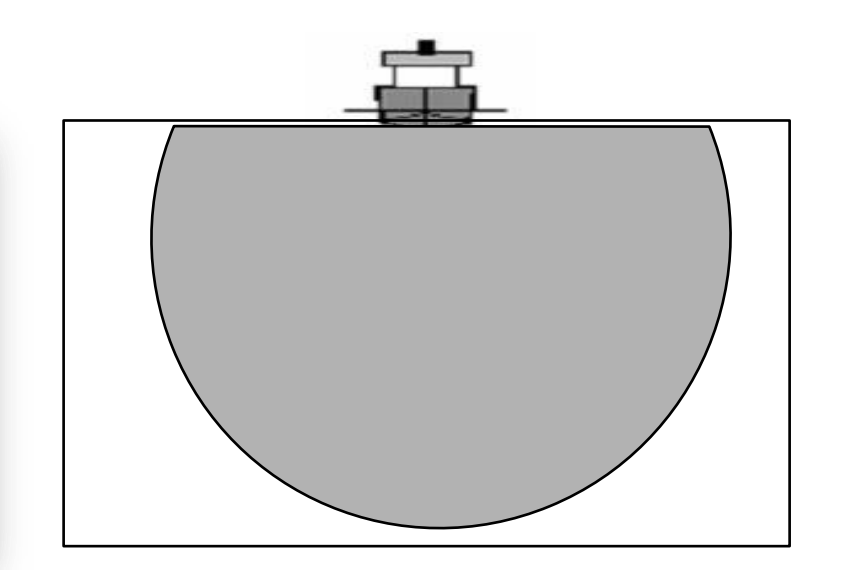
$$D(\theta) = \left[\frac{\sin\left(\pi\frac{L}{\lambda}\sin\theta\right)}{\pi\frac{L}{\lambda}\sin\theta}\right]^2$$





Influence du nombre de transducteurs élémentaires (séparé d'une distance de  $\lambda$  / 2) : 40 transducteurs





Fonction de directivité :

$$D(\theta) = \left[\frac{\sin\left(\pi \frac{L}{\lambda} \sin \theta\right)}{\pi \frac{L}{\lambda} \sin \theta}\right]^2$$

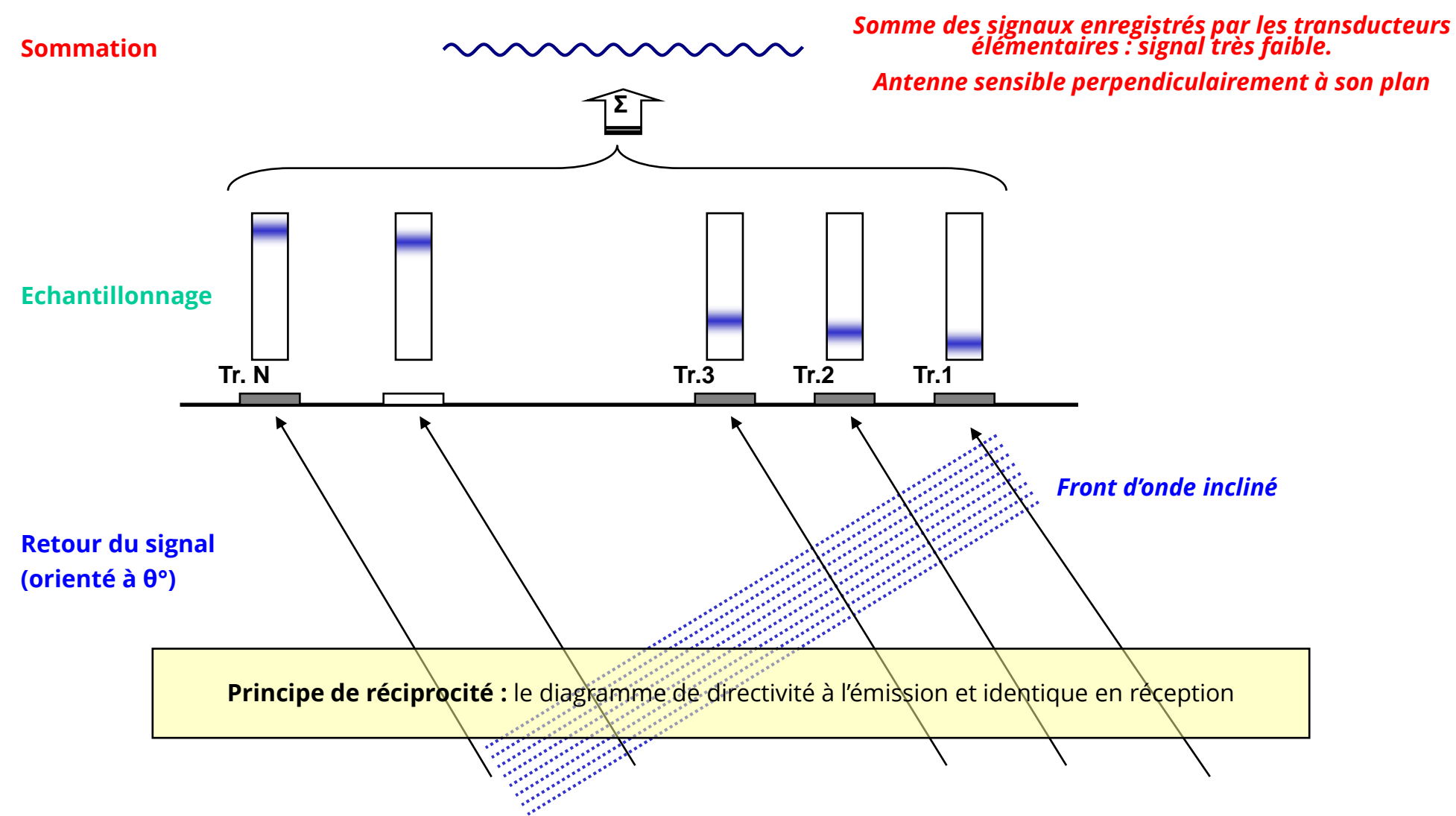
SOMMATION DES SIGNAUX DANS L'AXE DE L'ANTENNE (PRINCIPE DE RÉCIPROCITÉ)



Somme des signaux enregistrés par les transducteurs élémentaires : le signal est correctement reproduit **\\\\\\\\** 3- Phase de traitement : **Sommation** 2- Phase d'écoute : **Echantillonnage** Tr. N Tr.3 Tr.2 Tr.1 Antenne de N transducteurs 1- Propagation: **Reception du signal** Front d'onde perpendiculaire à 'l'antenne

SOMMATION DES SIGNAUX DÉPOINTÉS PAR RAPPORT À L'ANTENNE (PRINCIPE DE RÉCIPROCITÉ)





ANTENNE CYLINDRIQUE - DIAGRAMME DE DIRECTIVITÉ



Extension du concept d'antenne linéaire en 2D :

Diagramme de directivité d'une antenne rectangulaire = caractéristiques combinées de deux antennes linéaires perpendiculaire.

La combinaison de transducteurs élémentaire sous la forme d'une matrice (antenne), forme un faisceau de caractéristiques précises et permet d'accroître la puissance émise.

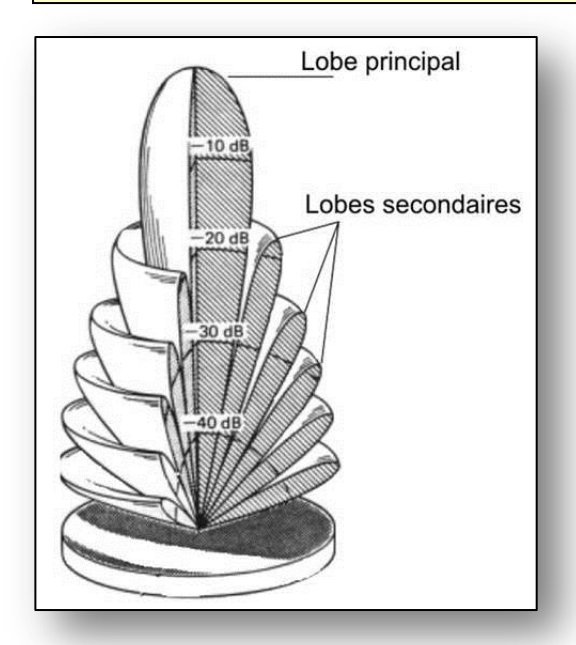
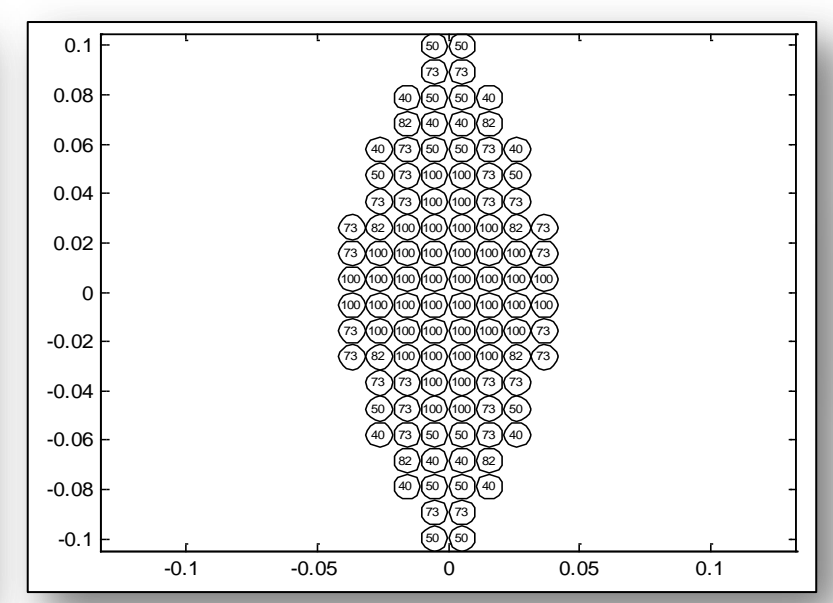


diagramme de directivité d'une antenne circulaire (Eckart, 1968)



Exemple d'une antenne EA400-Kongsberg Maritime

#### Fonction de directivité:

$$D( heta) = \left[rac{2J_1\left(\pirac{D}{\lambda}\sin heta
ight)}{\pirac{D}{\lambda}\sin heta}
ight]^2$$

L'ÉQUATION DU SONAR: NIVEAU D'ÉMISSION



#### Niveau d'émission (NE)

Le niveau d'émission est le niveau de pression acoustique ramené à 1m de la source, dans l'axe du lobe principal de directivité de l'antenne d'émission.

La pression acoustique de référence étant le micro Pascal (µPa), le niveau émis s'exprime en dB ref.1µPa à 1m.

Les ordres de grandeur habituels pour les sondeurs et sonars vont de 200 à 240 dB ref.1µPa à 1m.

Le niveau émis (NE) peut être relié aux caractéristiques de l'antenne d'émission et à la puissance électrique consommée par :

$$NE = 10.\log P_{el} + 10.\log \rho + 171 + GD_{E}$$

Où:

 $\rho$  = rendement de transduction électroacoustique de la source (conversion d'énergie électrique en énergie acoustique).

GD = gain de directivité en émission.

Pel = puissance électrique consommée.

D'une manière générale, les transducteurs possèdent une fréquence nominale d'utilisation.

L'ÉQUATION DU SONAR: LES PERTES PAR PROPAGATION



#### Perte par propagation - Divergence (P<sub>div</sub>)

- La propagation d'une onde acoustique depuis une source correspond à un étalement de l'énergie acoustique émise sur une surface sphérique ( $S=4.\pi.R^2$ ) croissante
- Cette dispersion volumique est indépendante de la fréquence.
- L'évolution est de la forme 10.Log<sub>10</sub>(I<sub>ref</sub>/I)
- Par conservation de l'énergie, l'intensité décroît en 1/R². Ainsi l'évolution est en 10.Log<sub>10</sub>(1/R²) sois 20.Log<sub>10</sub>(1/R)
- Perte d'énergie en dB par divergence géomètrique, référencée à 1m de la source:

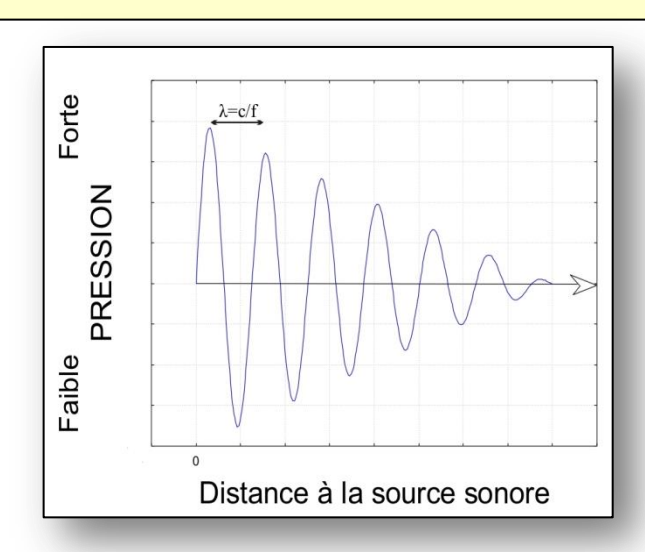
$$P_{div} = 20.logR$$

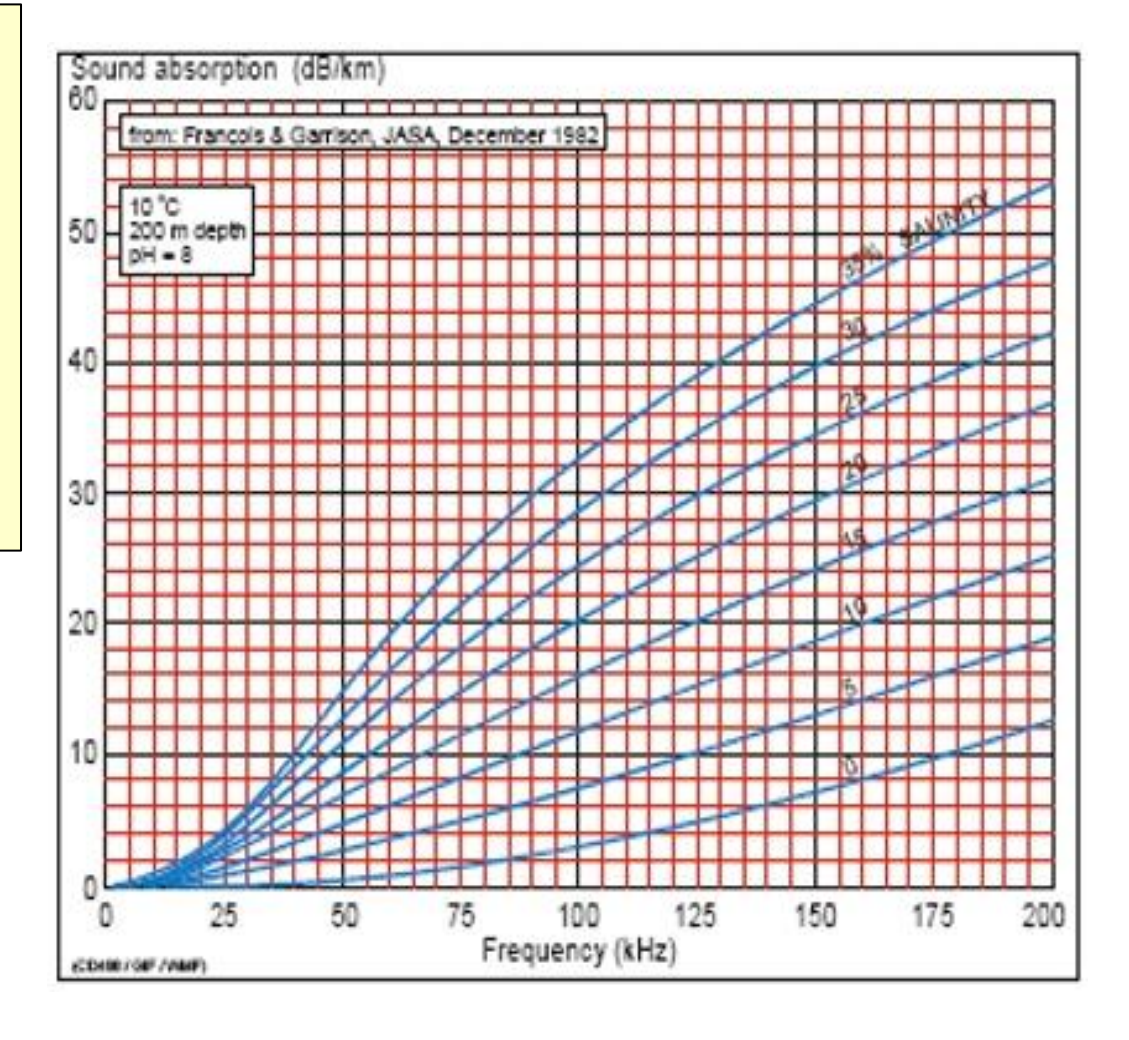
L'ÉQUATION DU SONAR: LES PERTES PAR ABSORPTION



#### Perte par propagation - Absorption (P<sub>dbs</sub>)

- <u>Le milieu de propagation et dissipatif</u>. Cette absorption de l'onde sonore est le facteur le plus limitatif de la propagation acoustique
- Le facteur d'amortissement est fonction (entre autres) de la fréquence d'émission et du milieu. <u>Plus la</u> <u>fréquence augmente, plus l'amortissement est</u> <u>important</u>.
- Perte d'énergie de la forme  $\alpha.R$  avec  $\alpha$  le facteur d'amortissement, fonction de la fréquence en dB/m  $\alpha$  augmente avec la fréquence.





L'ÉQUATION DU SONAR: INDICE DE CIBLE

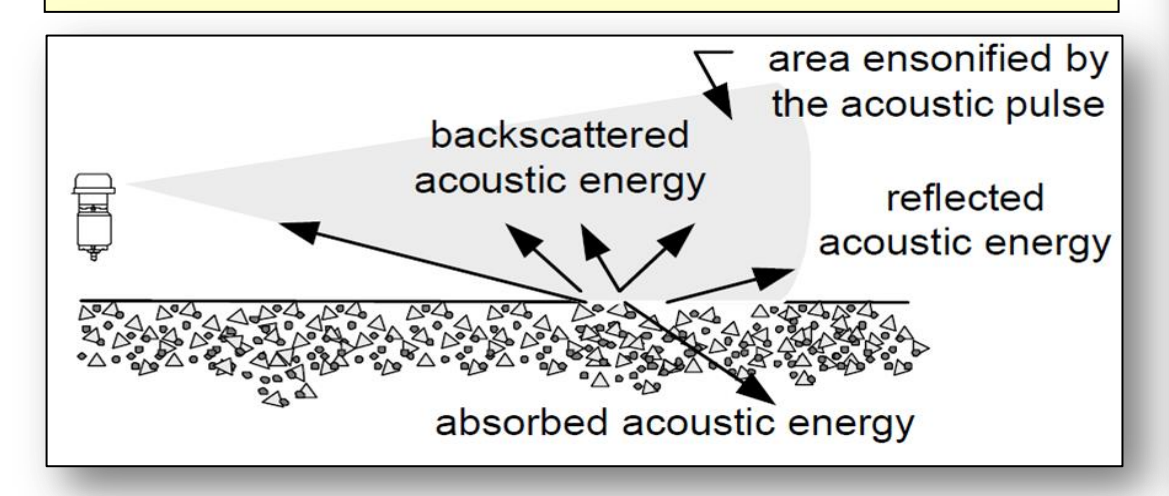


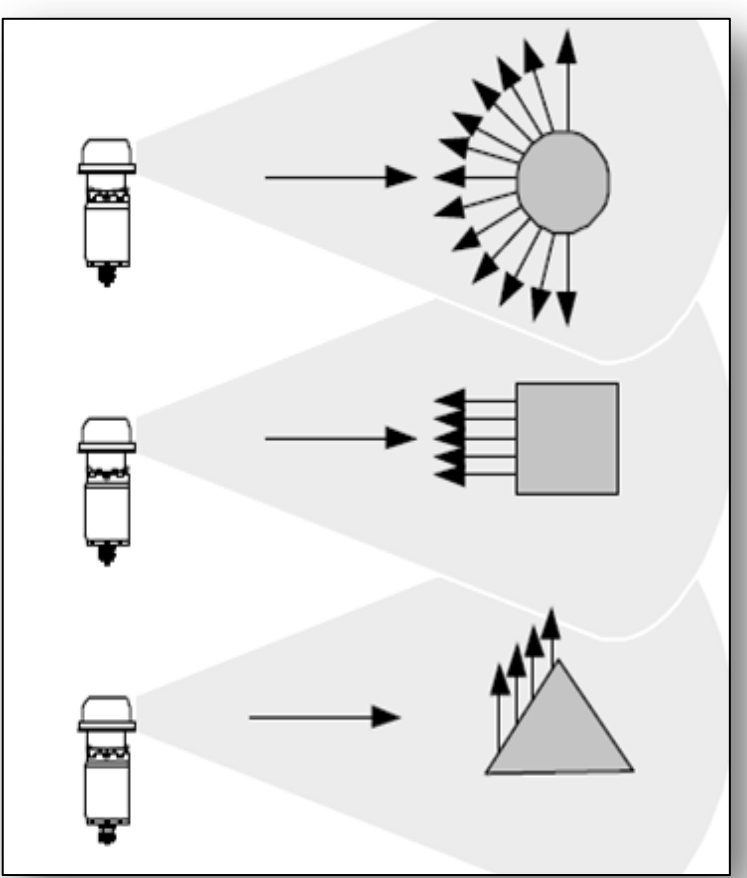
#### Indice de cible (IC)

Capacité que présente le fond, ou une cible, à renvoyer de l'énergie acoustique vers le sondeur

#### L'Indice de Cible est fonction :

- ▶ Du type de fond (mou ou dur)
- ▶ De l'angle d'incidence (perpendiculaire ou rasant)
- ▶ De la surface rétrodiffusante effective (sphère, cube...)





L'ÉQUATION DU SONAR: NIVEAU DE BRUIT



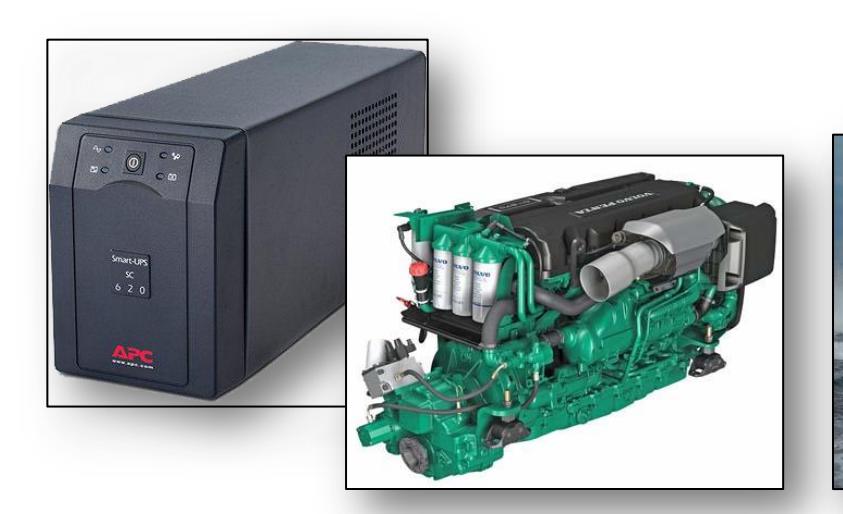
#### Niveau de bruit (NB)

Bruit ambiant provoqué par le milieu extérieur:

- Agitation de la surface de l'eau (~ 10kHz)
- Agitation moléculaire (> 100kHz)
- Autre systèmes acoustiques
- Trafic environnant

Bruit propre (limitation principale des performances):

- Bruit électrique
- Fonction de la vitesse du porteur









### IV L'ÉQUATION DU SONAR

SENSIBILITÉ EN RÉCEPTION (SR)



#### Sensibilité en réception (SR)

Généralement on note (Voltage Response) Vr = GDr + GT comme étant la sensibilité à la réception. Avec

GRr: gain de directivité en réception dû à la structure d'antenne du système

GT: gain de traitement associé au signal et au récepteur utilisé





Il existe plusieurs traitement des signaux effectués en réception :

- Amplification
- Filtrage
- Numérisation
- Application d'une loi de TVG

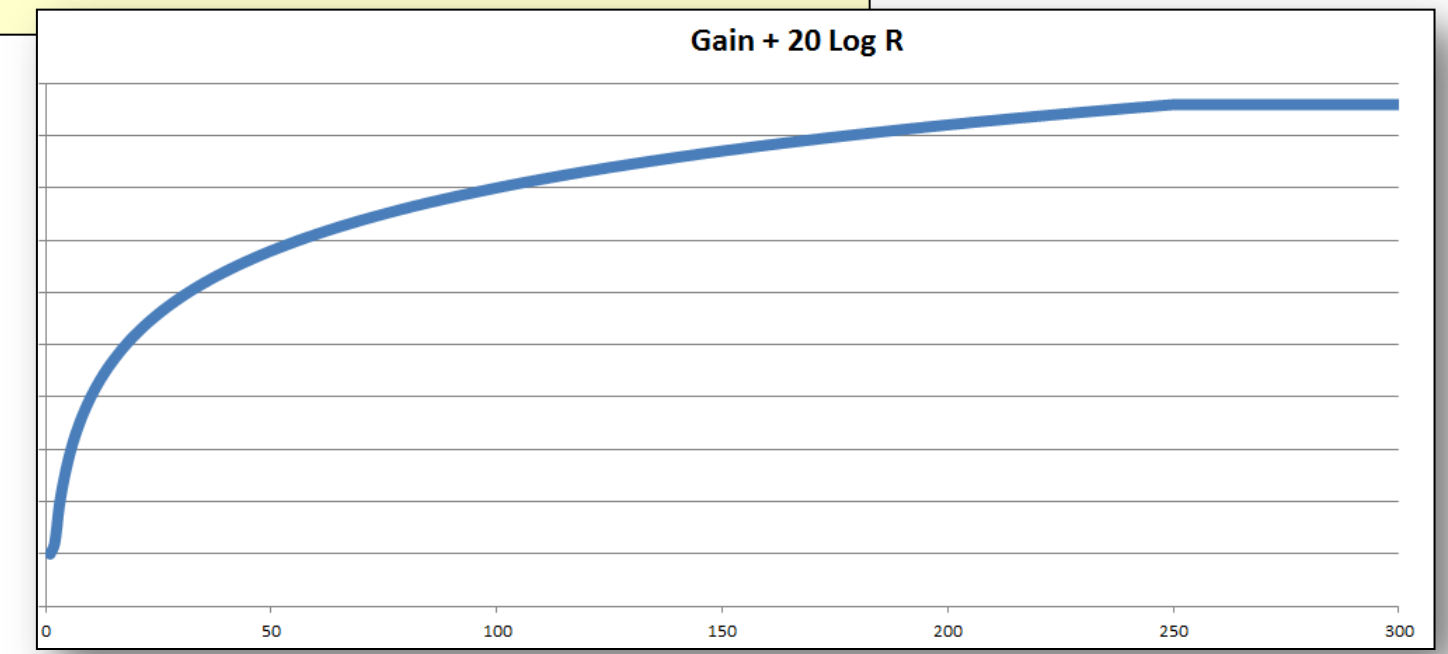
L'ÉQUATION DU SONAR: LA LOI DE TVG



Plus longtemps met le signal pour revenir, plus faible sera l'écho retourné (pertes par propagation).

Pour compenser ces pertes, le signal reçu sera amplifié d'un facteur dépendant du temps depuis l'émission du signal. Ceci est appelé **Time Varied Gain (TVG)** ou Gain variable dans le temps.

Le TVG est également appliqué pour utiliser l'échelle dynamique du récepteur de façon efficace (obtenir un niveau d'écho constant en réception).



L'ÉQUATION DU SONAR: SYNTHÈSE



**NE: Niveau d'Emission** 

PPropa: pertes par propagation

IC: Indice de Cible

PPropa: pertes par propagation

**NB: Niveau de Bruit** 

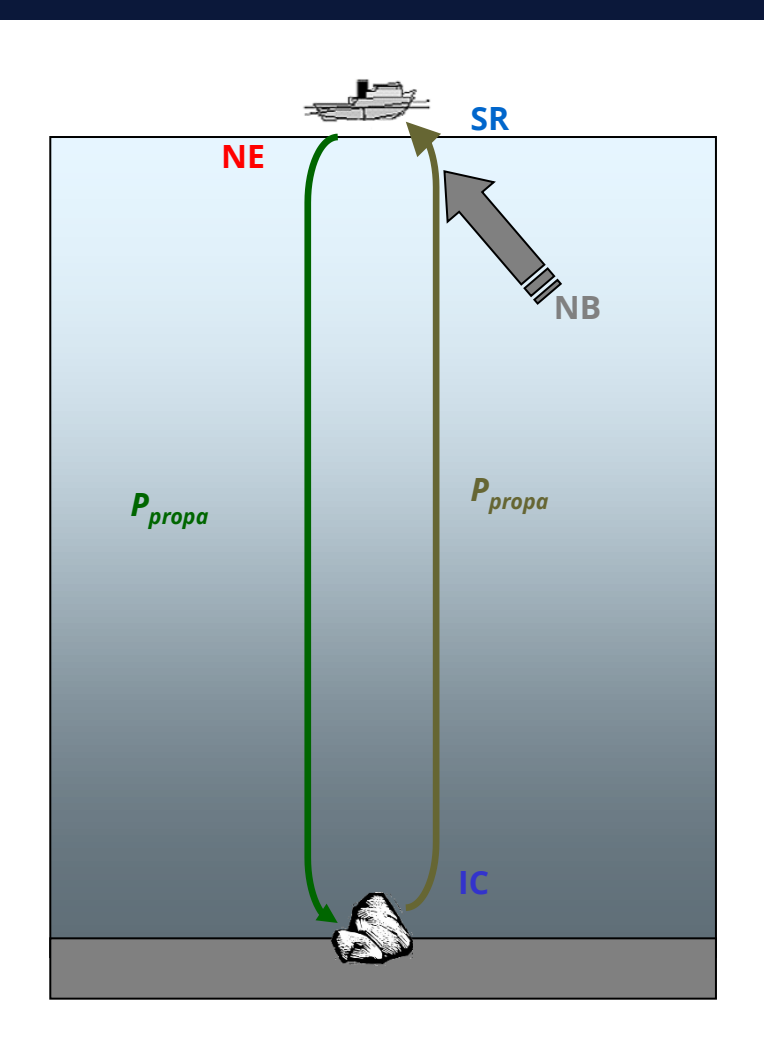
SR: Sensibilité à la réception

Excès de signal (ou ratio signal sur bruit):

$$ES = NE - 2.PPr + IC - NB + SR$$

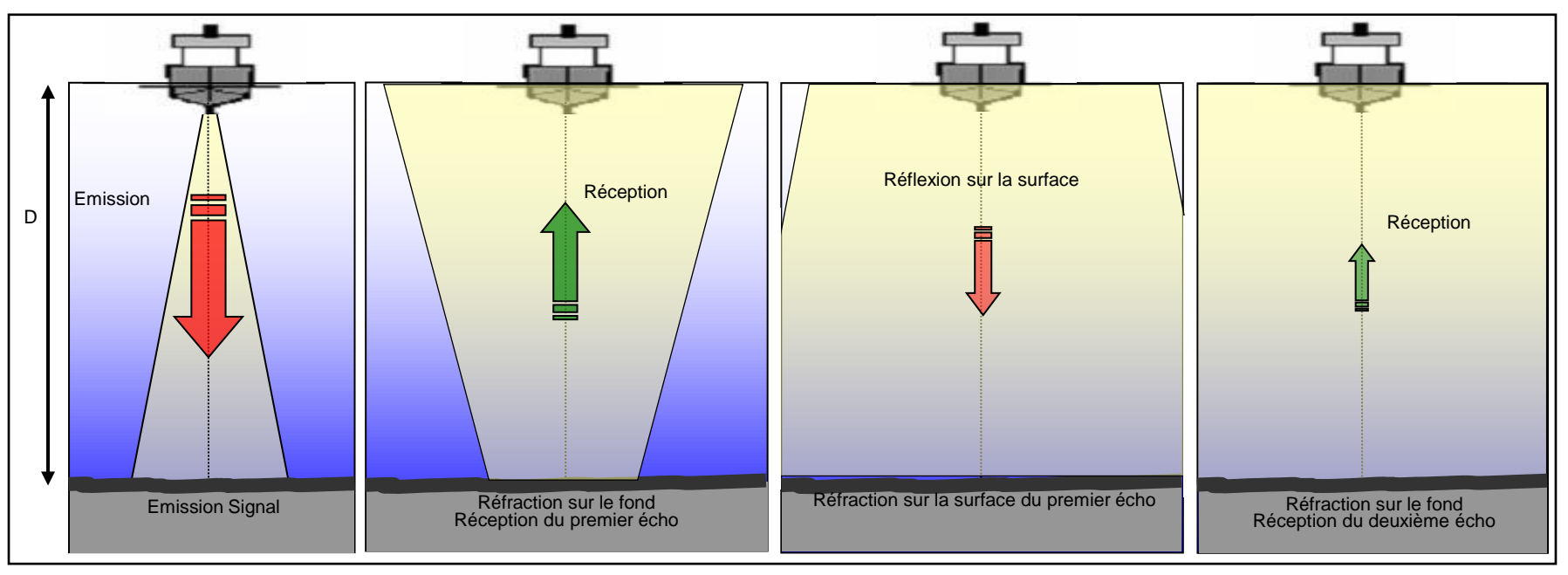
Avec 2.PPr = 
$$2.(P_{div} + P_{abs}) = 40Log_{10}R + 2.\alpha.R$$

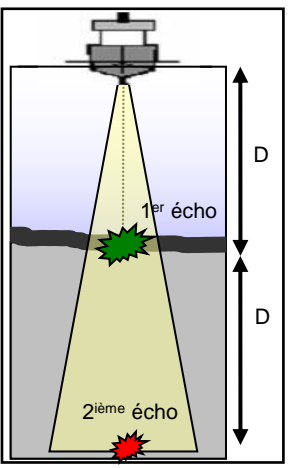
Pour que le système détecte la cible, il faut:



LES ÉCHOS MULTIPLES





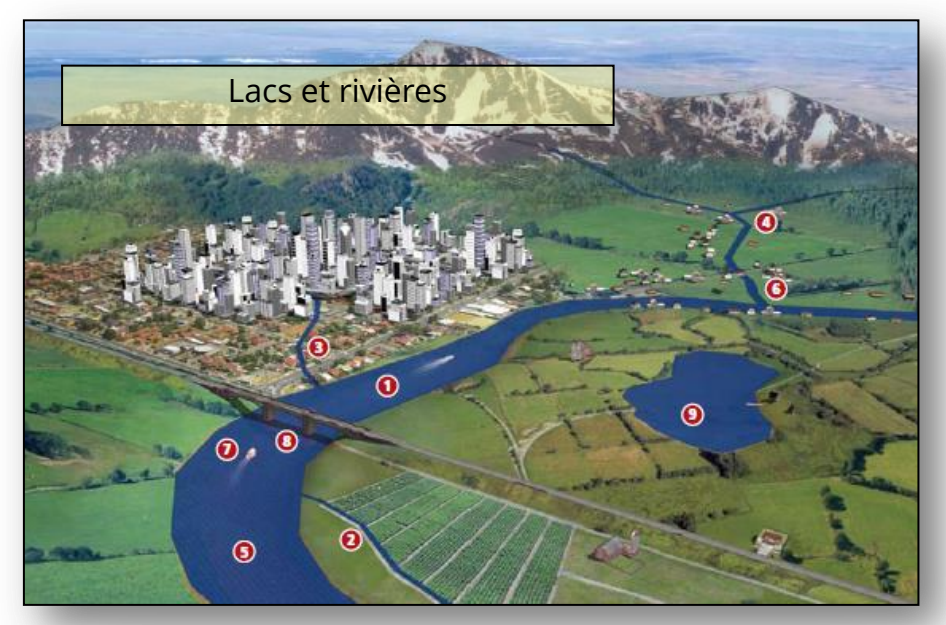




- I. Notion d'acoustique sous-marine
- II. Application à la courantométrie
- III. Courantomètres au point fixe
- IV. L-ADCP
- V. VM-ADCP (Vessel Mounted Acoustic Doppler Current Profiler)
- VI. Doppler Velocity Loch

LES BESOINS EN OBSERVATION DES COURANTS











LES COURANTOMÈTRES À EFFET DOPPLER

LES BESOINS EN OBSERVATION DES COURANTS



### Norme hydrographique : Extrait de la PS-44 (février 2008)

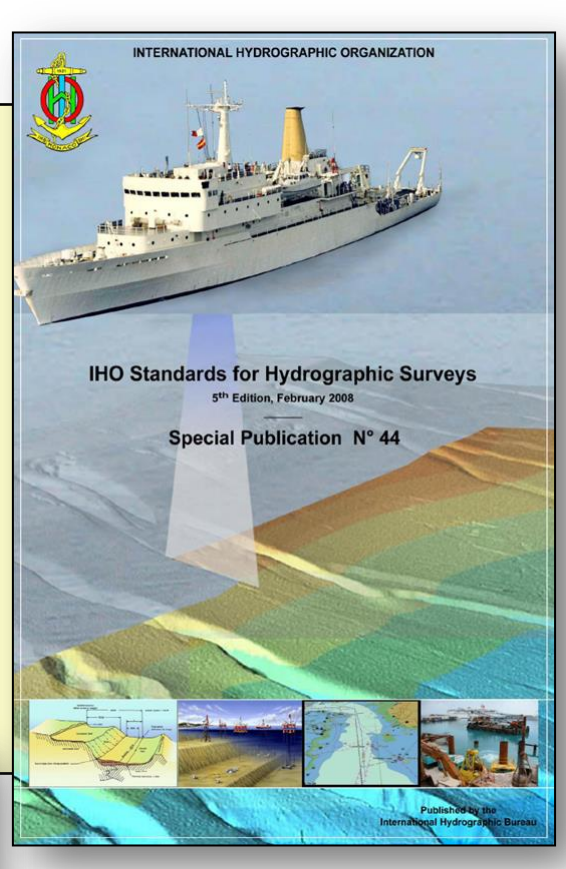
#### 4.5 Tidal Stream and Current Observations

The speed and direction of tidal streams and currents which may exceed 0.5 knot should be observed at the entrances to harbours and channels, at any change in direction of a channel, in anchorages and adjacent to wharf areas. It is also desirable to measure coastal and offshore streams and currents when they are of sufficient strength to affect surface navigation. The tidal stream and current at each position should be measured at depths sufficient to meet the requirements of normal surface navigation in the survey area. In the case of tidal streams, simultaneous observations of tidal height and meteorological conditions should be made and the period of observation should ideally be 30 days.

The speed and direction of the tidal stream and current should be measured to 0.1 knot and the nearest 10° respectively, at 95% confidence level. Where there is reason to believe that seasonal river discharge influences the tidal streams and currents, measurements should be made to cover the entire period of variability.

Pour info : 0,1 Nds = 5 cm/s



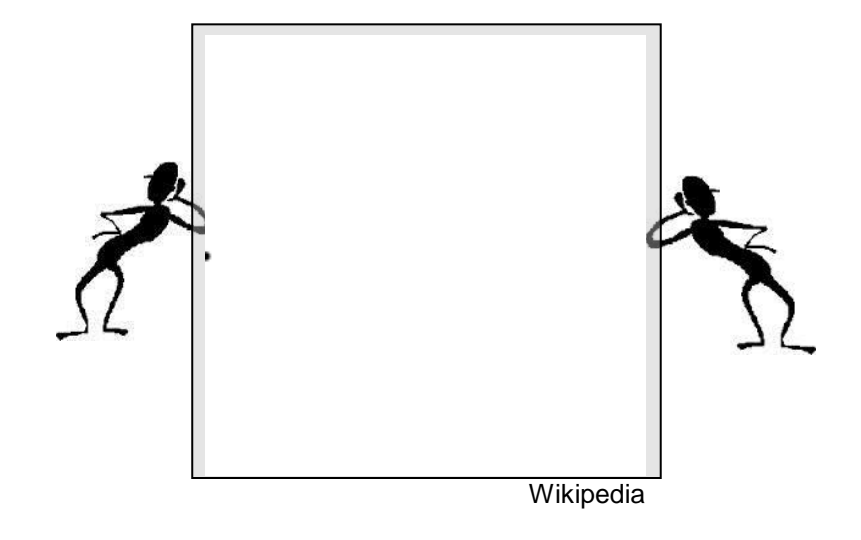




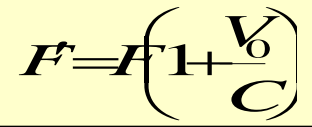
**En pratique**: un signal de fréquence fixe, émis par une source en mouvement, sera perçu par un observateur immobile avec une fréquence décalée.

Décalage fréquentiel = « Doppler shift »

Ce principe est valable en acoustique, en optique ou en électromagnétique.



**En théorie**: pour un signal émis à la fréquence F par un émetteur ayant une vitesse Vo, le signal reçu par un récepteur immobile aura une fréquence F' définie comme suit:



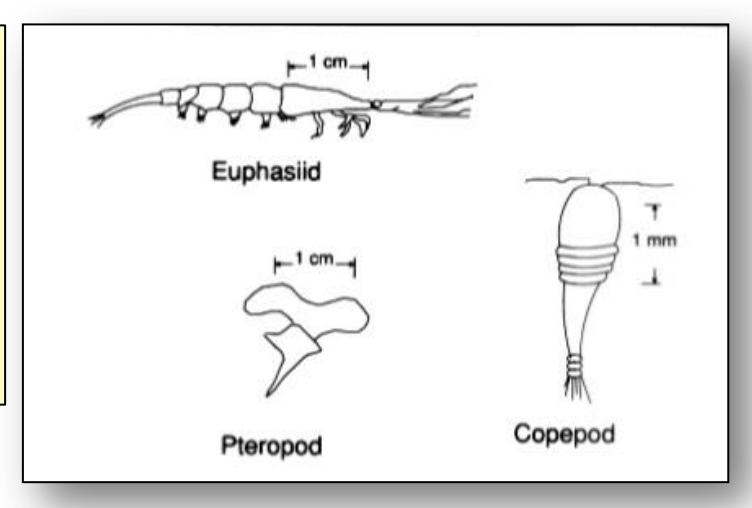
(avec C la célérité du son dans le milieu)

APPLICATION À LA COURANTOMÈTRIE



Certains appareils utilisent l'effet Doppler pour mesurer la vitesse du courant marin. Ce sont les **courantomètres à effet Doppler**.

Ces systèmes mesurent en réalité la vitesse de déplacement de <u>matières en suspension</u>. N'ayant pas de mouvement propre, ou alors négligeable devant la vitesse du courant, le déplacement de ces particules traduit donc la vitesse du courant marin.



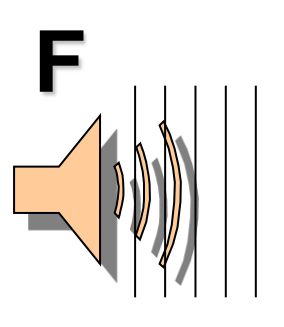


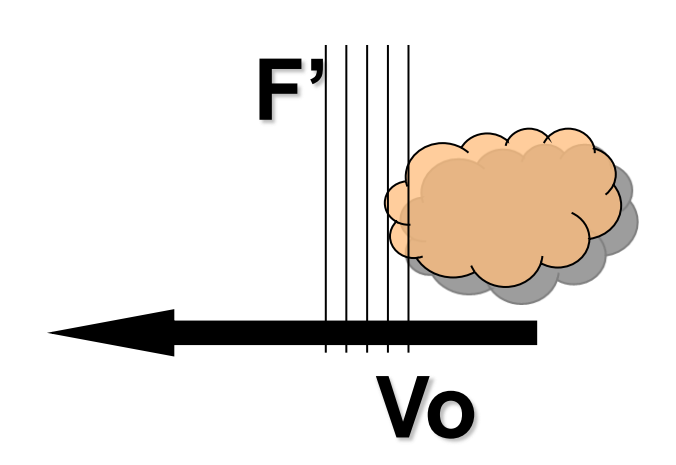
Exemple de zooplancton : famille des copépodes pélagiques – d'après Giesbrecht (pelagischen copepoden des golfes von Neapel -1892) – taille réelle : quelques millimètres.



- Émission à la fréquence F
- Diffuseurs en mouvement, à la vitesse Vo, vers le transducteur.
- Réception par les diffuseurs à la fréquence F' (effet Doppler)

$$F' = F\left(1 + \frac{V_0}{C}\right)$$



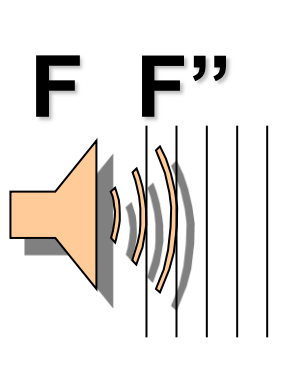


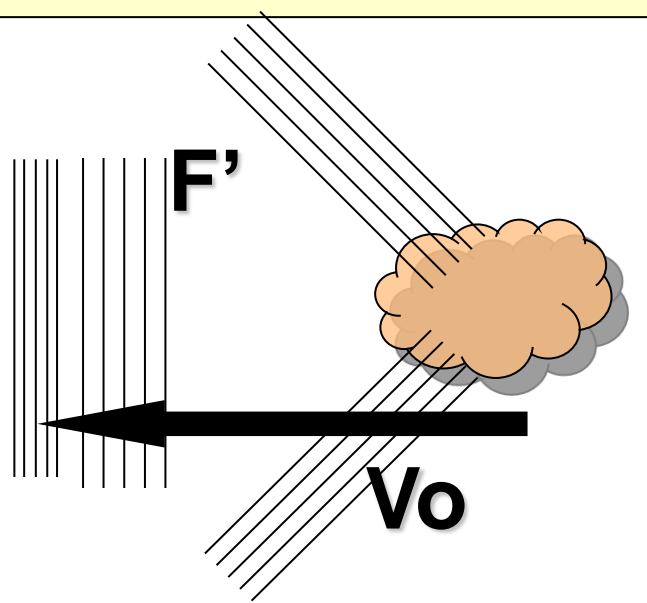
PRINCIPE DE LA MESURE



- ▶ Émission à la fréquence F
- ▶ Diffuseurs en mouvement à la vitesse Vo vers le transducteur.
- ▶ Réception par les diffuseurs à la fréquence F' (effet Doppler)
- ▶ Transmission par les diffuseurs à la fréquence F' (double effet Doppler)

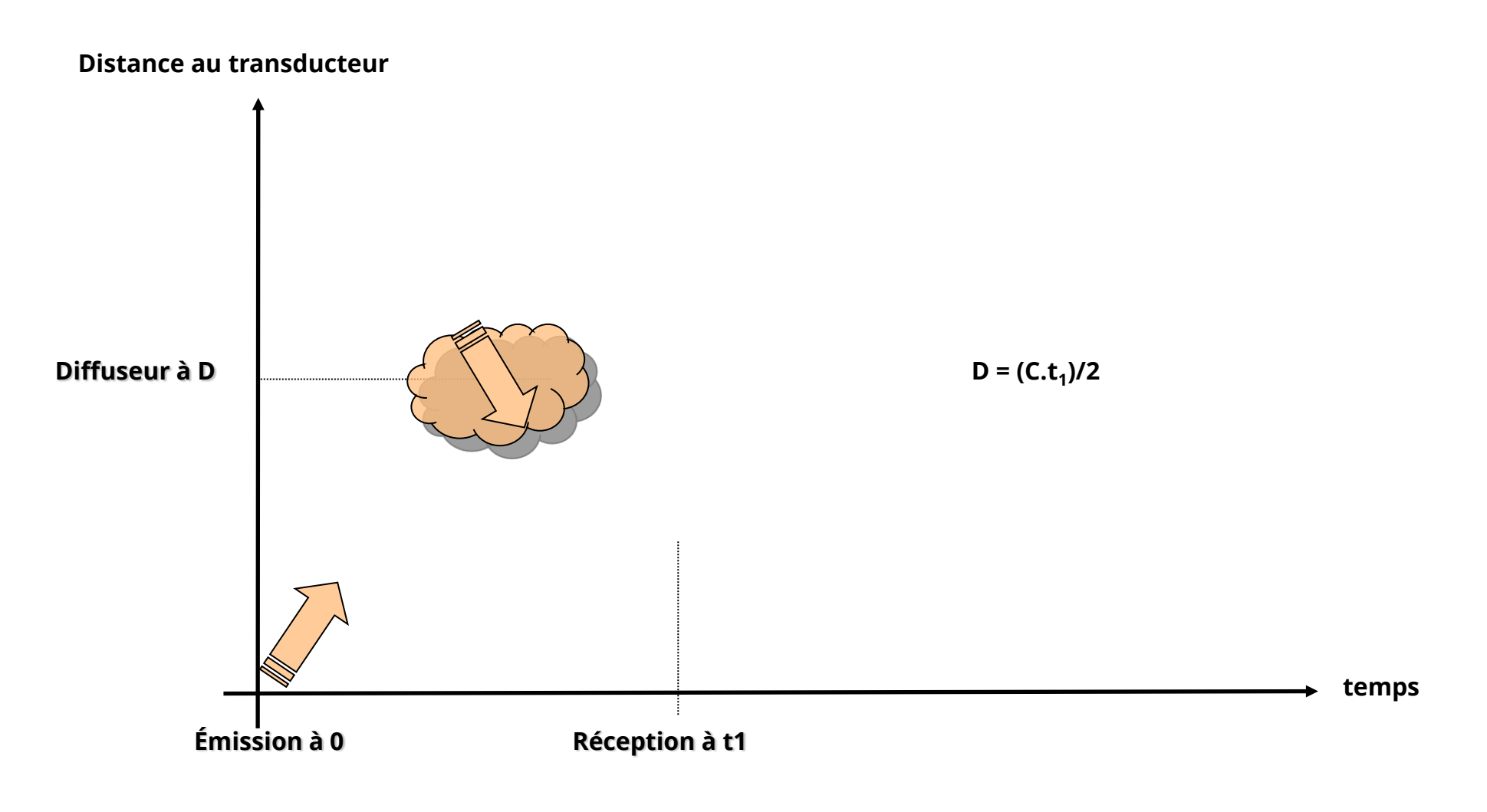






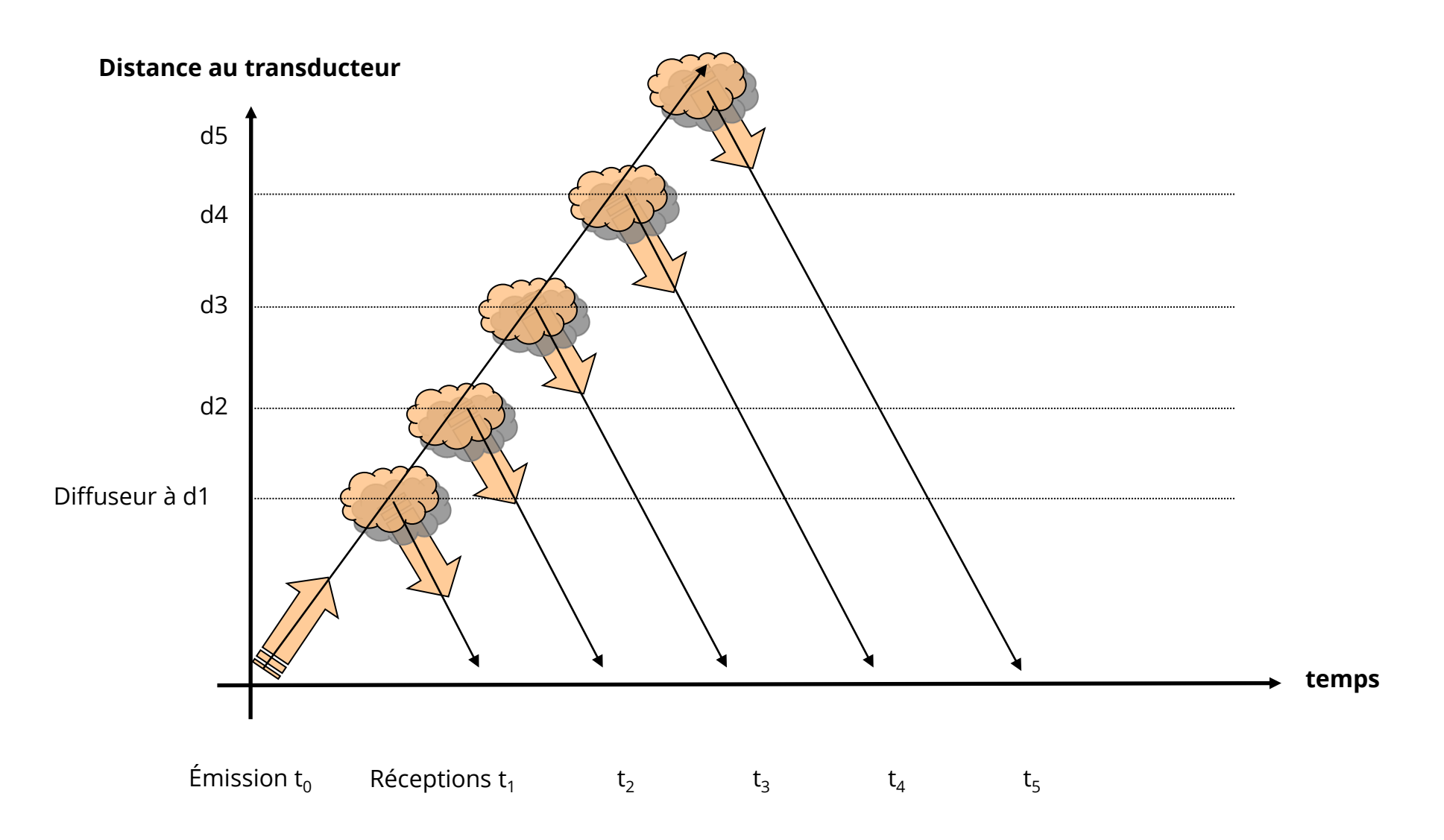
PRINCIPE DE LA MESURE





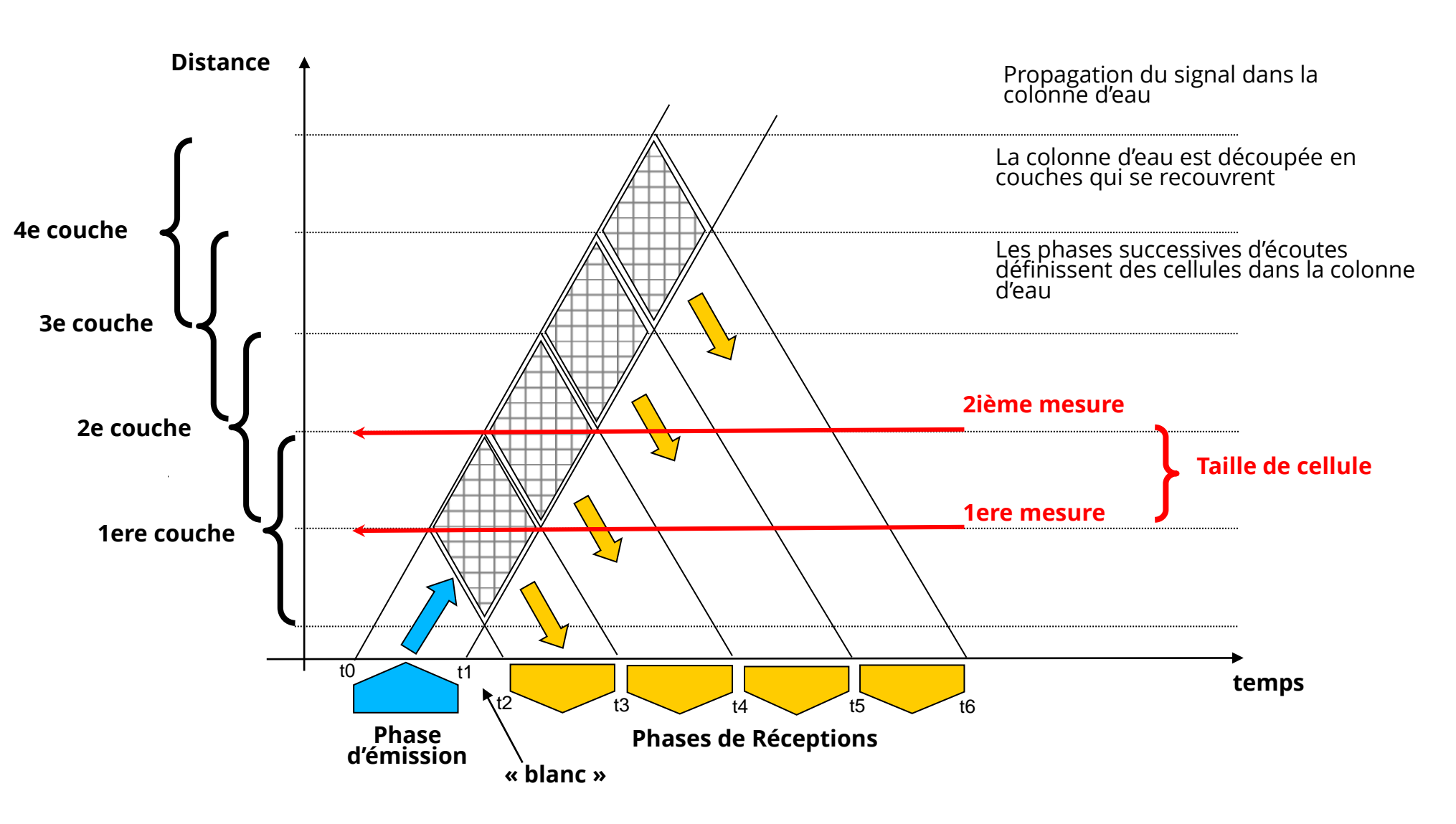
PRINCIPE DE LA MESURE





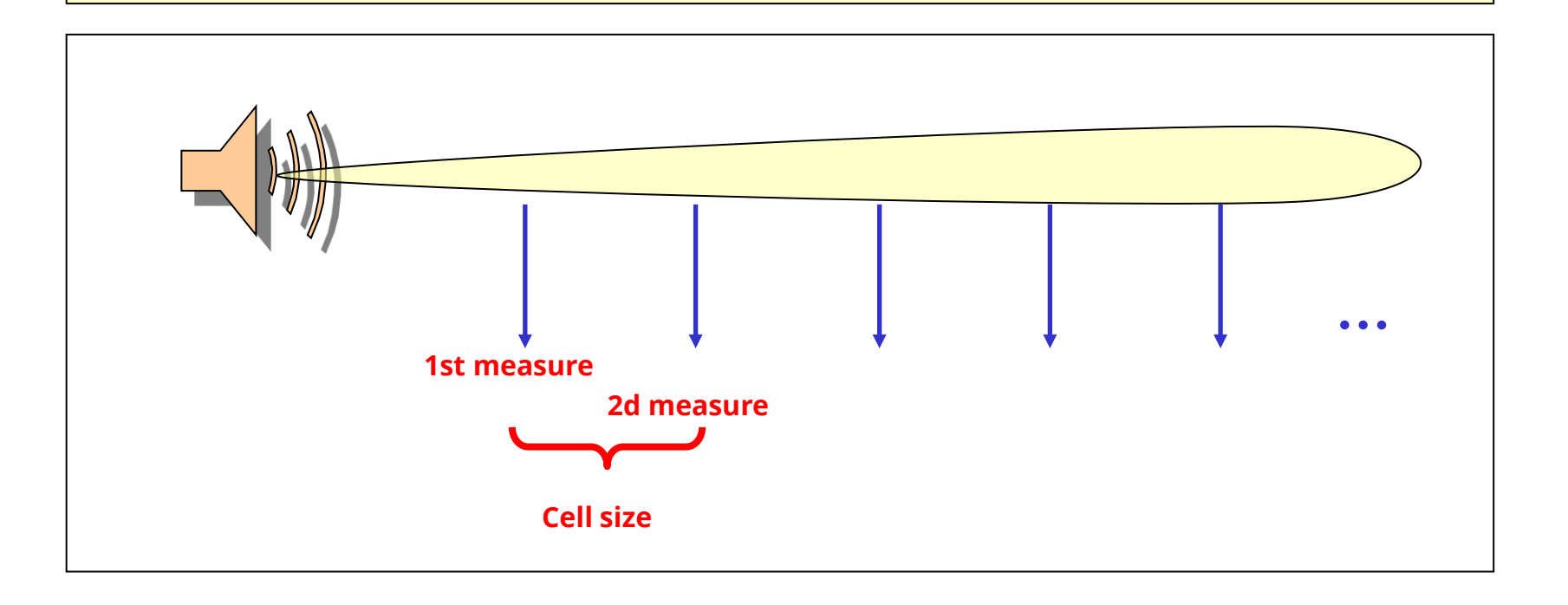
PRINCIPE DE LA MESURE – LA SYNTHÈSE







Pour chaque faisceau (pour chaque antenne), et pour chaque cellule, une mesure de vitesse est calculée, dans l'axe de l'antenne



PRINCIPE DE LA MESURE – LA SYNTHÈSE



On peut distinguer deux types de courantomètres à effet Doppler :

- les courantomètres ponctuels
- les profileurs de courants

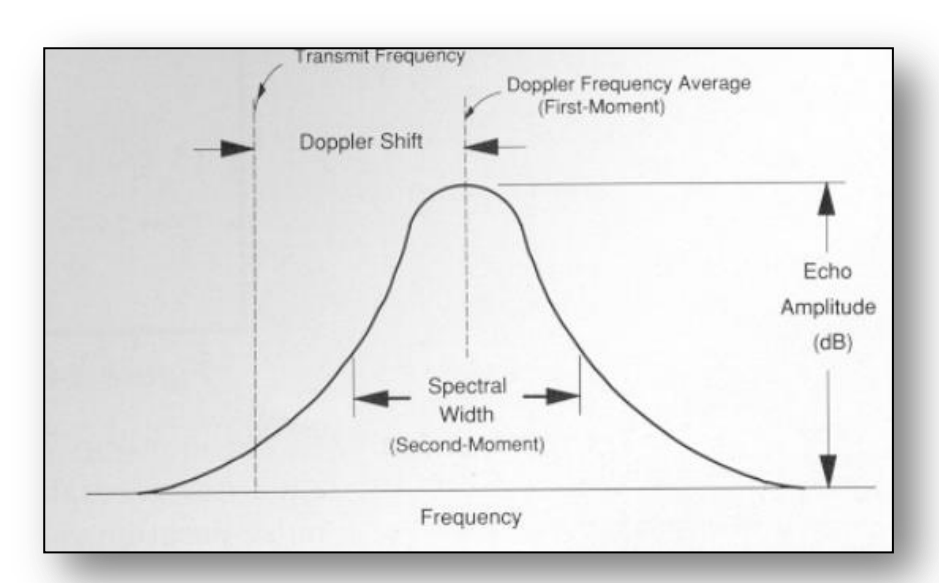
Les courantomètres ponctuels n'écoutent l'écho retourné que pour la couche d'eau immédiatement voisine des bases acoustiques.

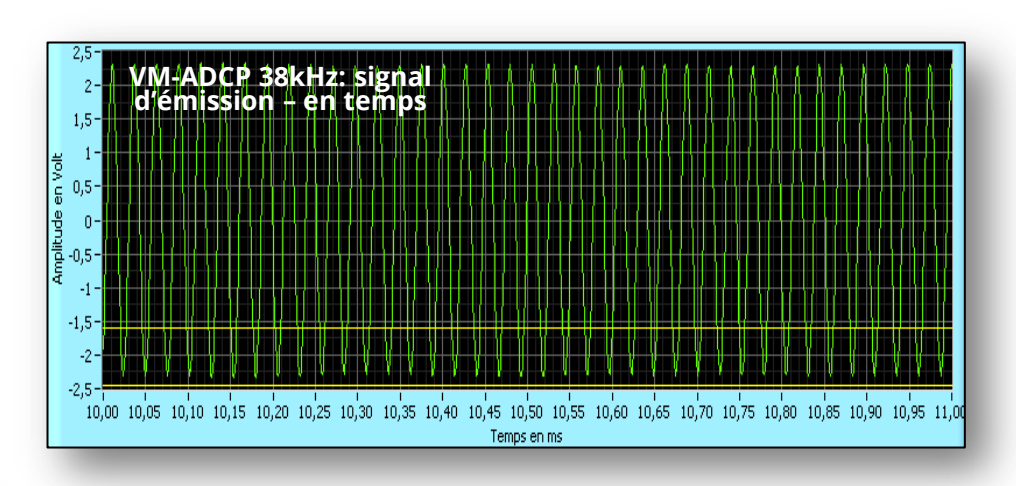
**EMISSION NARROWBAND** 

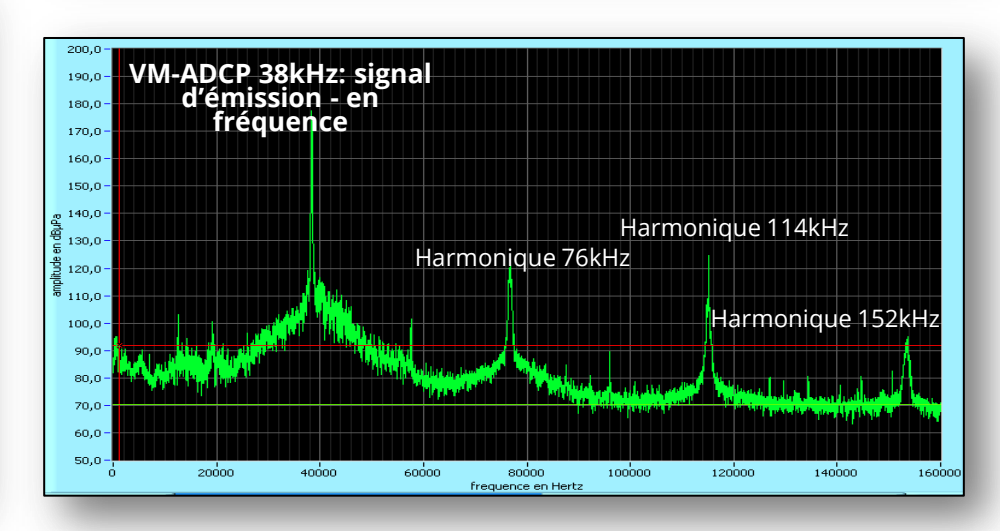


#### « NarrowBand »

Le signal émis est un sinusoïdale, à une fréquence fixe ("ping"). Pour chaque cellule, le décalage en fréquence est déterminé à partir du spectre du signal reçu correspondant à la séquence d'écoute. Connaissant la fréquence d'émission initiale et la fréquence du signal retour, on détermine ainsi la vitesse des diffuseurs dans l'axe du transducteur.







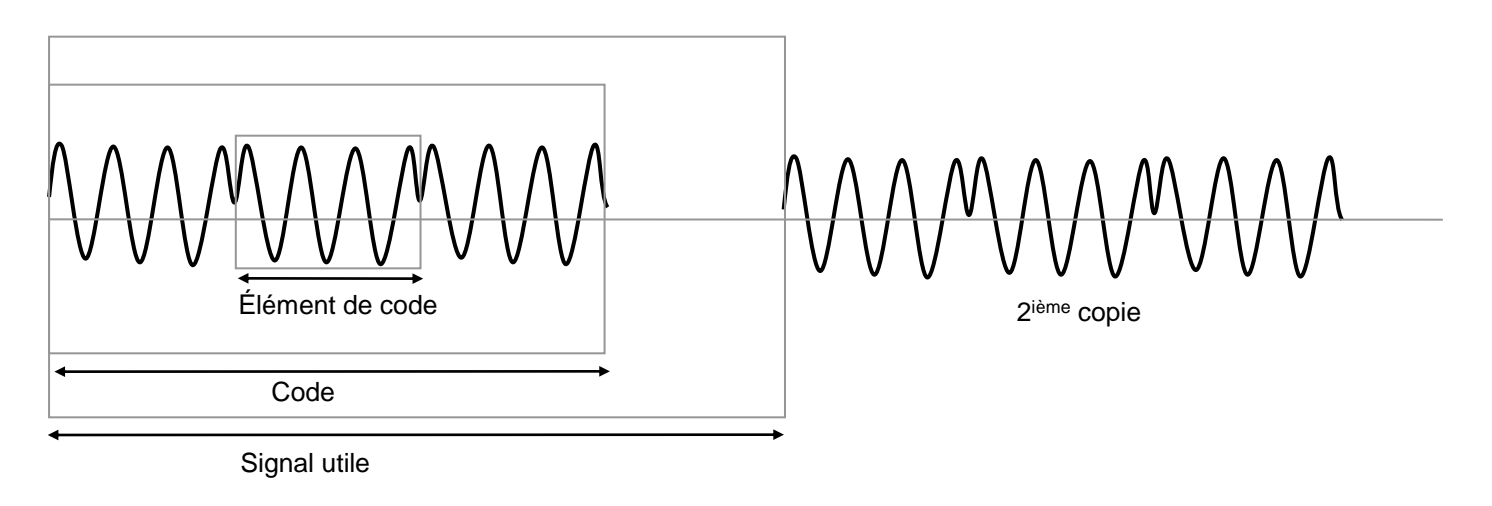


#### « BroadBand »

Le signal émis est une succession de codes (signaux "PSK" Phased Shift Keying)

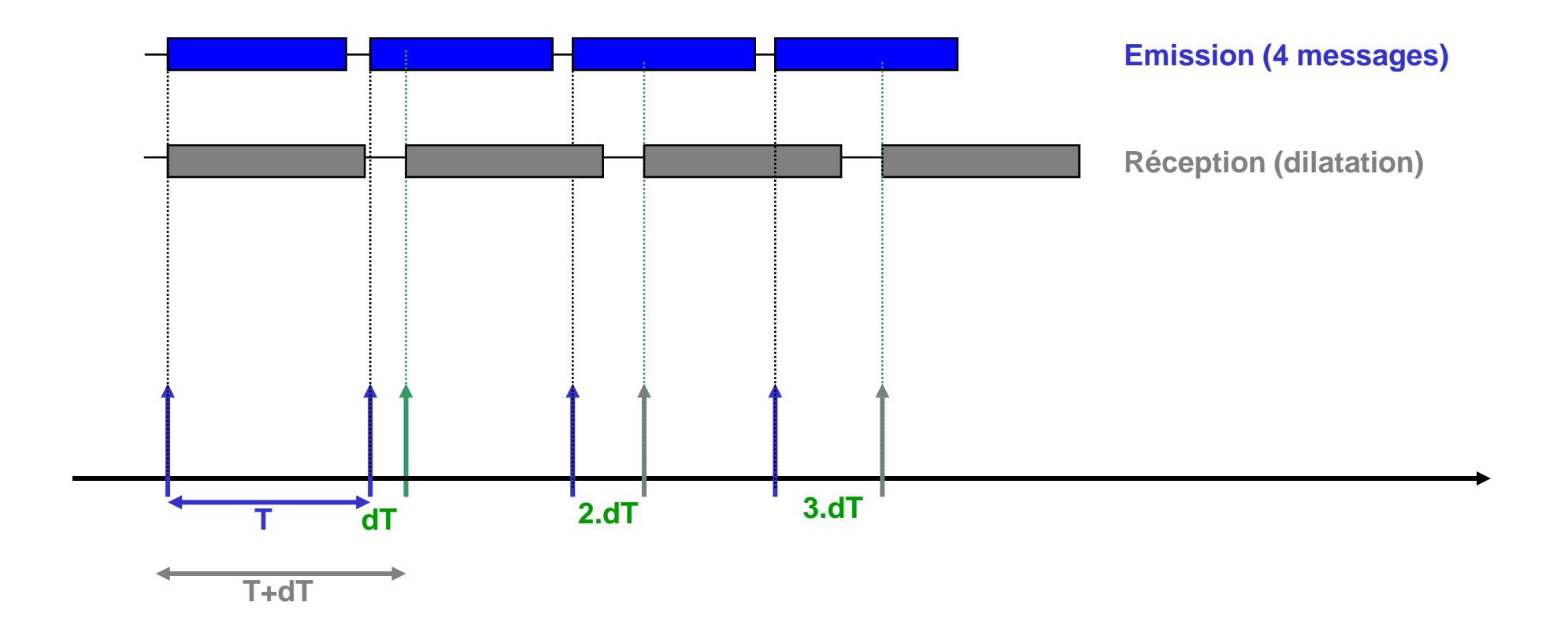
Un signal pseudo aléatoire est dupliqué plusieurs fois dans la phase d'émission de l'ADCP (le nombre de signaux dépend de la longueur de la cellule choisie par l'utilisateur

# Signal pseudo aléatoire de 4 ou 6 codes élémentaires suivant les modèles. Répétition d'au moins 2 messages





Détermination de la compression Doppler par méthode d'autocorrélation



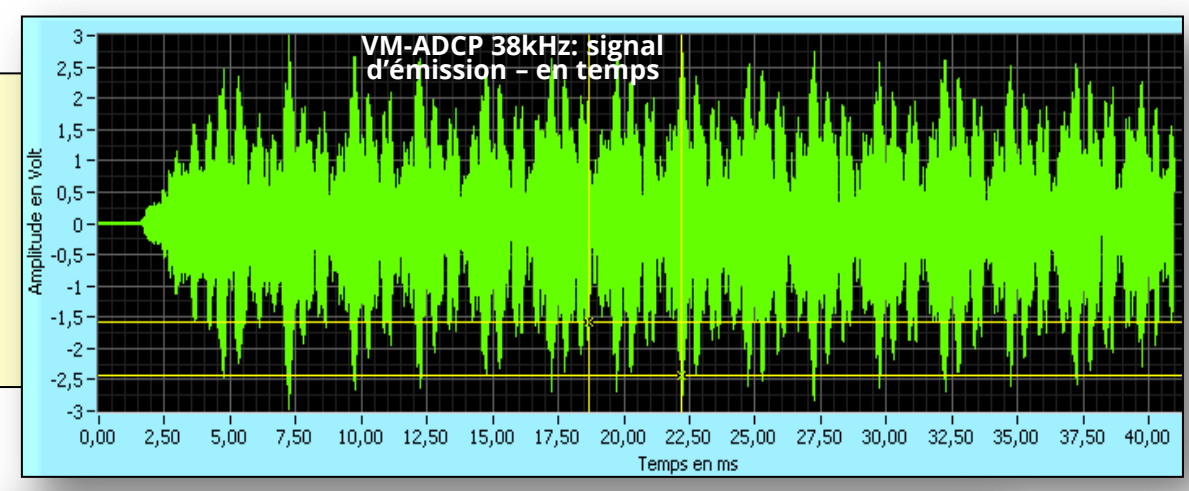
EMISSION BROADBAND

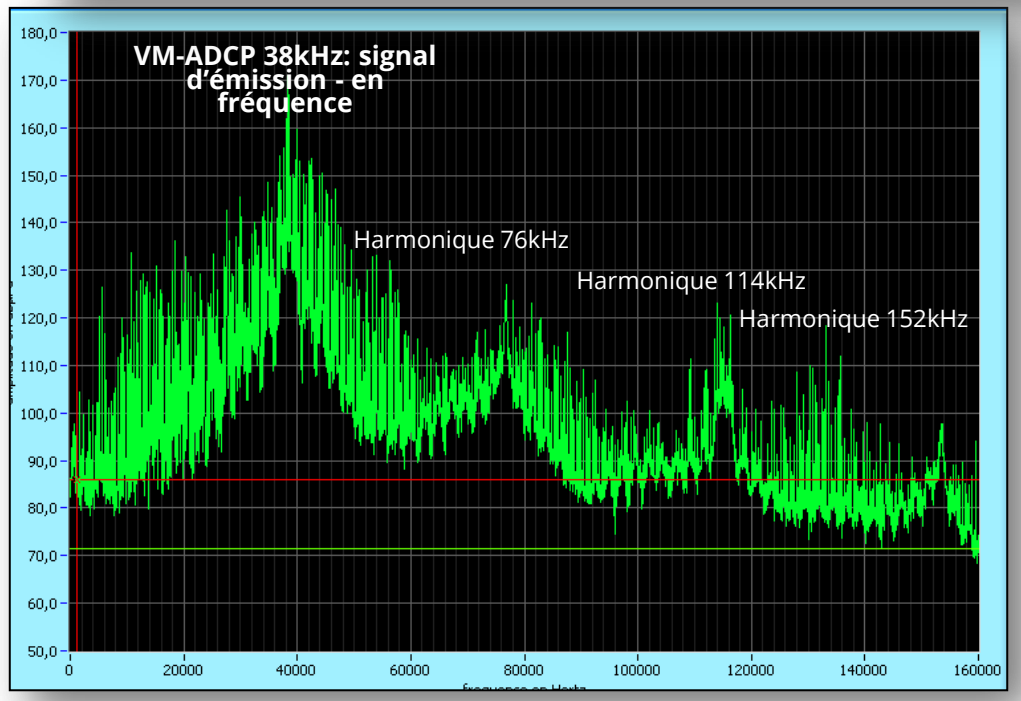


#### « BroadBand »

Le spectre d'émission d'un signal PSK est très large (BroadBand = Large Bande).

Les interférences sur d'autres sondeurs peuvent alors apparaître.





CONSTRUCTION D'UN VECTEUR COURANT 3D



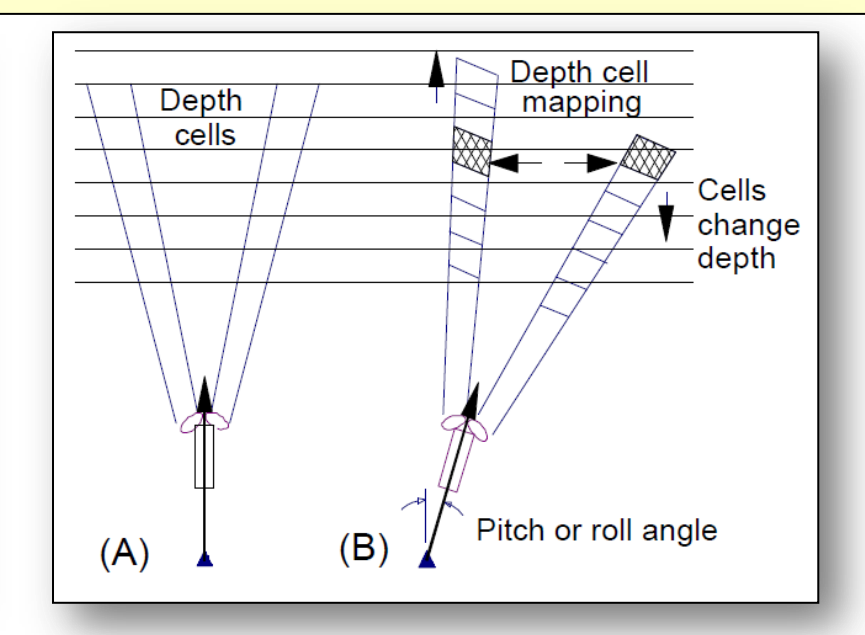
- Pour chaque base acoustique et pour chaque cellule on peut déterminer une composante de vitesse dans l'axe du transducteur.
- Avec au moins 3 bases on peut déterminer les composantes d'un vecteur vitesse dans un repère orthonormé lié à l'appareil. Une quatrième base peut être utilisée pour obtenir une estimation de l'erreur faite sur la mesure.
- Current velocity vector

  East West North South

  First pair of beams calculates east-west and vertical velocity

  and vertical velocity

- Des capteurs internes (roulis et tangage) permettent de connaître l'inclinaison du courantomètre durant la mesure et ainsi de redistribuer correctement chaque composante du vecteur vitesse à la bonne distance.
- Un compas interne permet au final de projeter les mesures dans un repère terrestre.

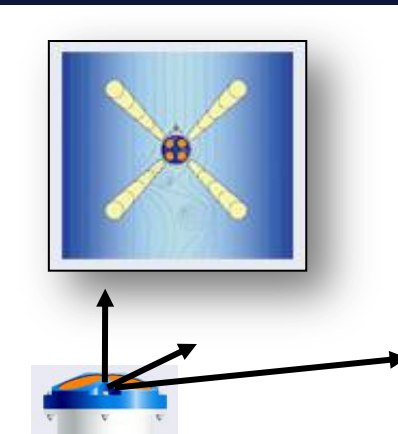


CONSTRUCTION D'UN VECTEUR COURANT 3D - DANS UN REPÈRE TERRESTRE



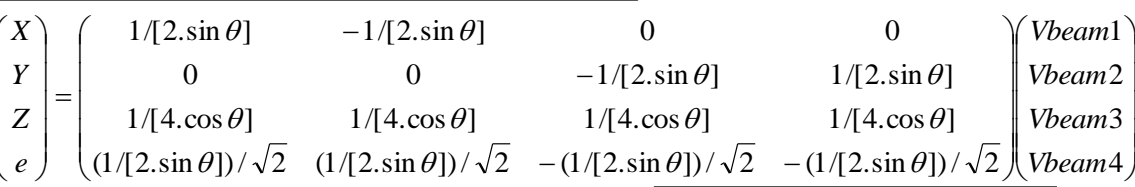
Vitesses brutes mesurées par l'appareil le long des 4 transducteurs : (repère « beam »)

Vbeam1 Vbeam 2 Vbeam3 Vbeam4



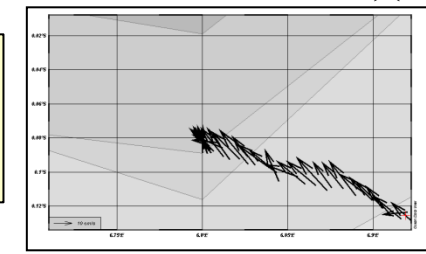
Vitesses mesurées par l'appareil dans un repère orthonormé lié à l'appareil : ( e = « erreur velocity » - système surdéterminé) - repère « instrument »)

Xe



Vbeam1 Vbeam2 Vbeam3

Vitesses mesurées par l'appareil dans un repère orthonormé terrestre : (en tenant compte des informations Roll, Pitch et Heading) - repère « terrestre »  $\chi$ Z



$$\begin{pmatrix} x \\ y \\ z \end{pmatrix} = \begin{pmatrix} [\cos(H).\cos(R) + \sin(H).\sin(P).\sin(R)] & \sin(H).\cos(P) & [\cos(H).\sin(R) - \sin(H).\sin(P).\cos(R)] \\ [-\sin(H).\cos(R) + \cos(H).\sin(P).\sin(R)] & \cos(H) * \cos(P) & [-\sin(H).\sin(R) - \cos(H).\sin(P).\cos(R)] \\ [-\cos(P).\sin(R) & \sin(P) & \cos(P).\cos(R) \end{pmatrix} \begin{pmatrix} X \\ Y \\ Z \end{pmatrix}$$

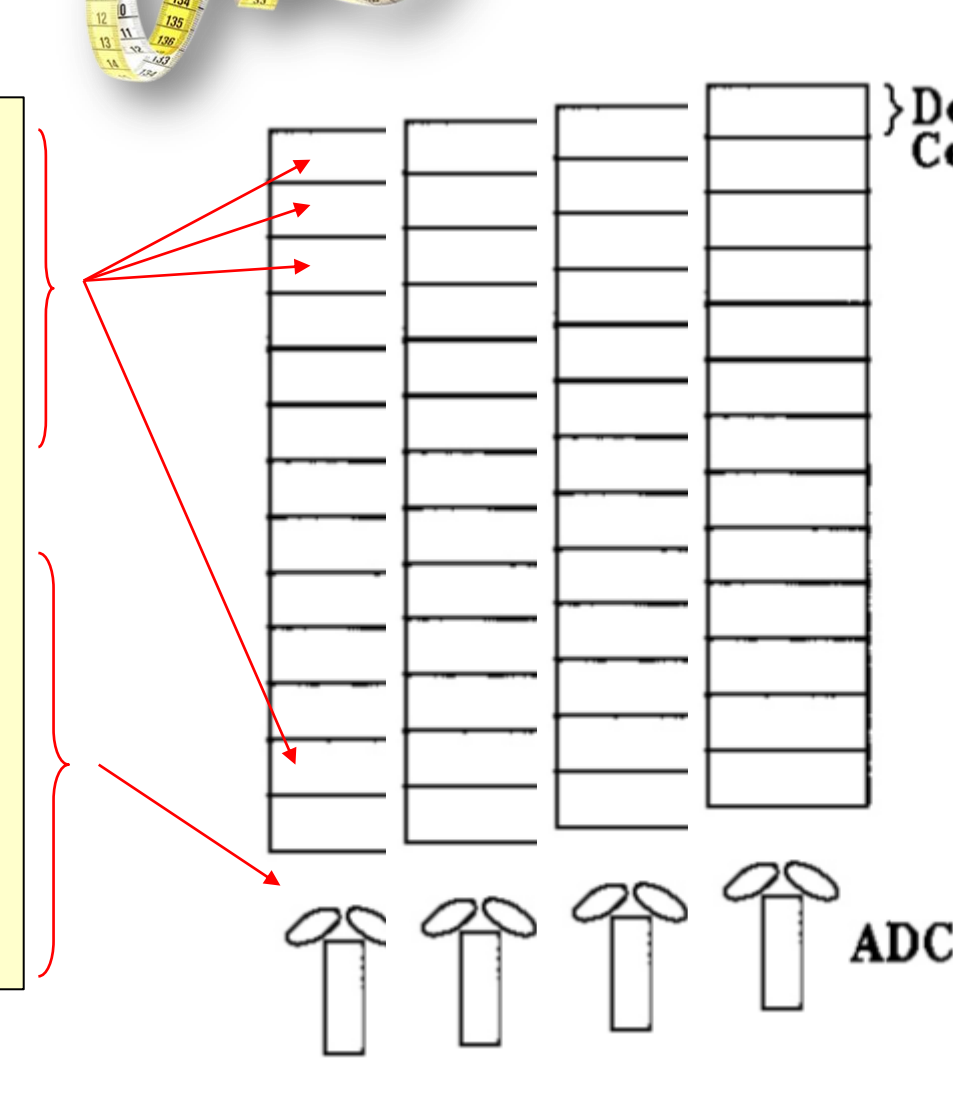


### Pour chaque cellule:

- Courant (intensité direction)
- ▶ Echo rétrodiffusé
- Corrélation (RDI)
- Erreur

### Pour chaque profil (ou ensemble):

- Date et heure
- Attitude
- Tension batterie
- Pression (si capteur)
- Position (si capteur)
- ... autres suivant marques et modèles.



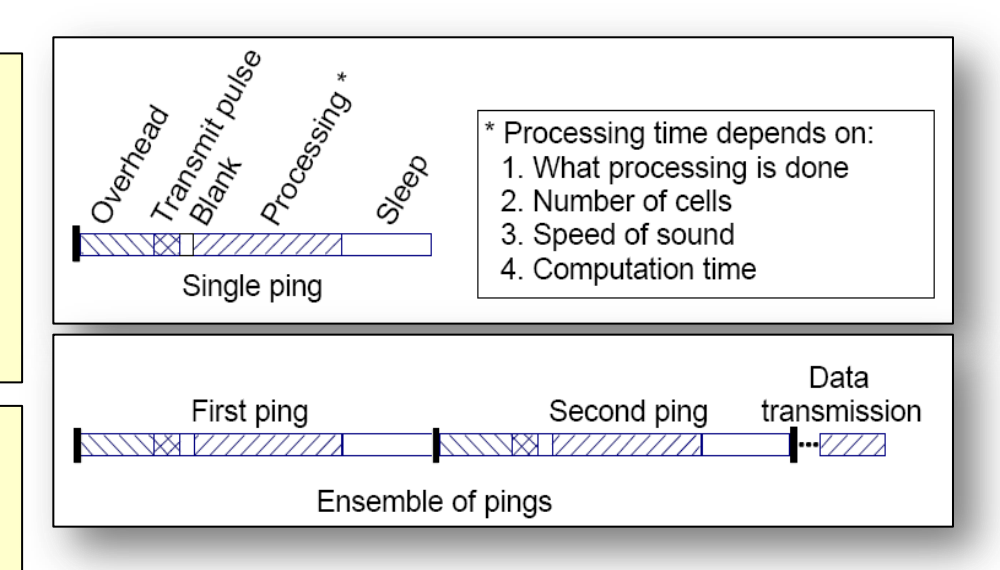
#### PARAMÈTRES DE CONFIGURATION



- Une seule émission acoustique permet d'obtenir un profil vertical du courant dans un repère terrestre (single ping).
- En pratique on peut effectuer une mesure avec plusieurs émissions, en ne conservant que la valeur moyenne des vitesses mesurées (multi ping).

### Exemple de cycle multi-ping:

- 1 mesure par seconde.
- Acquisition durant 2 minutes
- Arrêt durant 8 minutes



### A paramétrer par l'utilisateur :

- « blanking distance »
- Taille des cellules
- Nombre de cellules
- Nombre de « ping » par ensemble
- Temps entre chaque ping
- Temps entre chaque ensemble
  - « bottom track » (RDI)

NOTION D'EXACTITUDE ET DE PORTÉE



NarrowBand	

$\sigma(pour\_n\_pings) = \frac{1}{2}$	Ecart – type	pour	1	ping
	$\sqrt{Nombre}$	de	ping	3S

fréquence	laille de cellule (m)	Ecart-type (cm/s) pour 1 ping	Ecart-type (cm/s) pour 30 ping
150 kHz	4	30	5,4
fréquence	Taille de cellule (m)	Ecart-type (cm/s) pour 1 ping	Ecart-type (cm/s) pour 30 ping
150 kHz	8	17	3.1

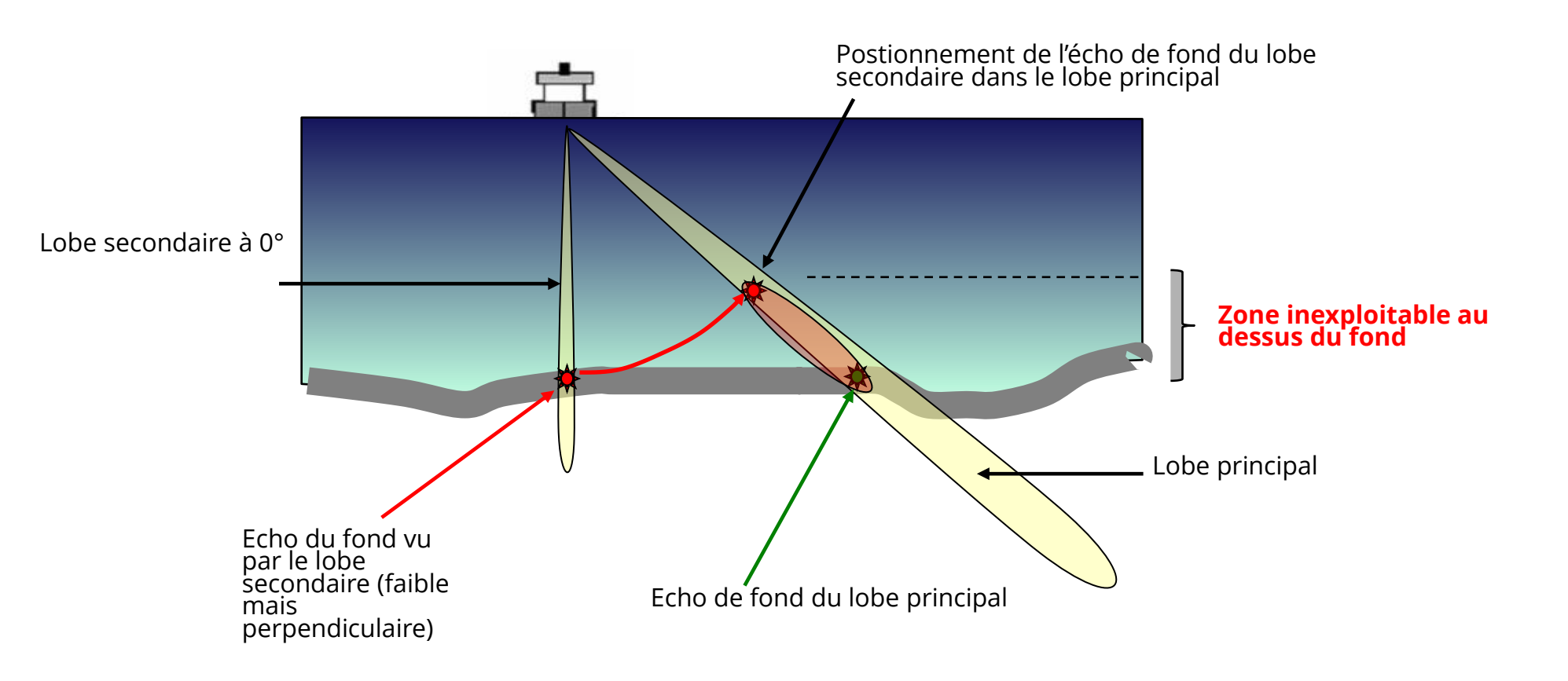
### BroadBand

fréquence	Taille de cellule (m)	Ecart-type (cm/s) pour 1 ping	Ecart-type (cm/s) pour 30 ping
150 kHz	4	12	2,2

fréquence	Taille de cellule (m)	Ecart-type (cm/s) pour 1 ping	Ecart-type (cm/s) pour 30 ping
150 kHz	8	9	1.6

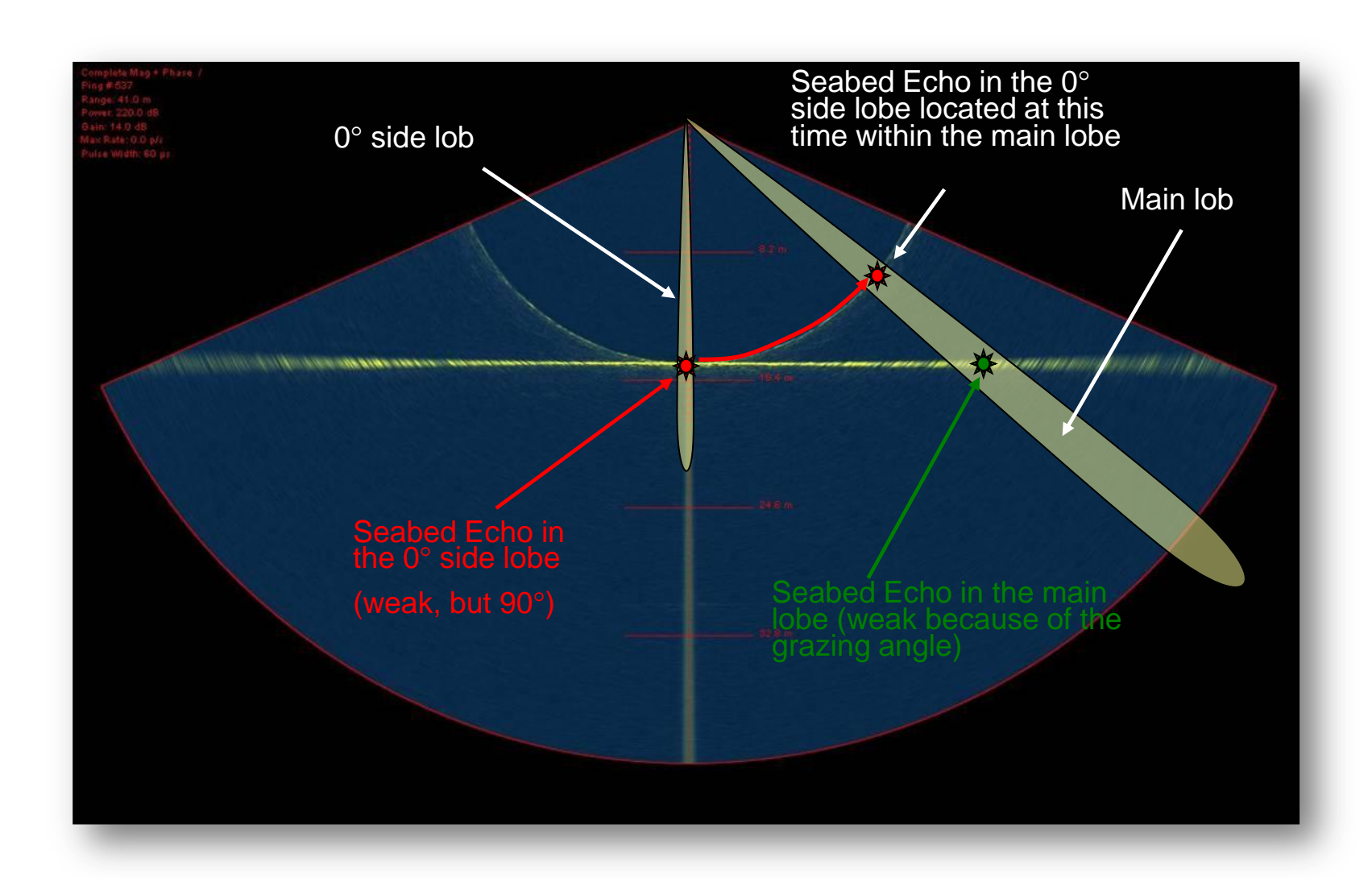
**EFFET DES LOBES SECONDAIRES** 





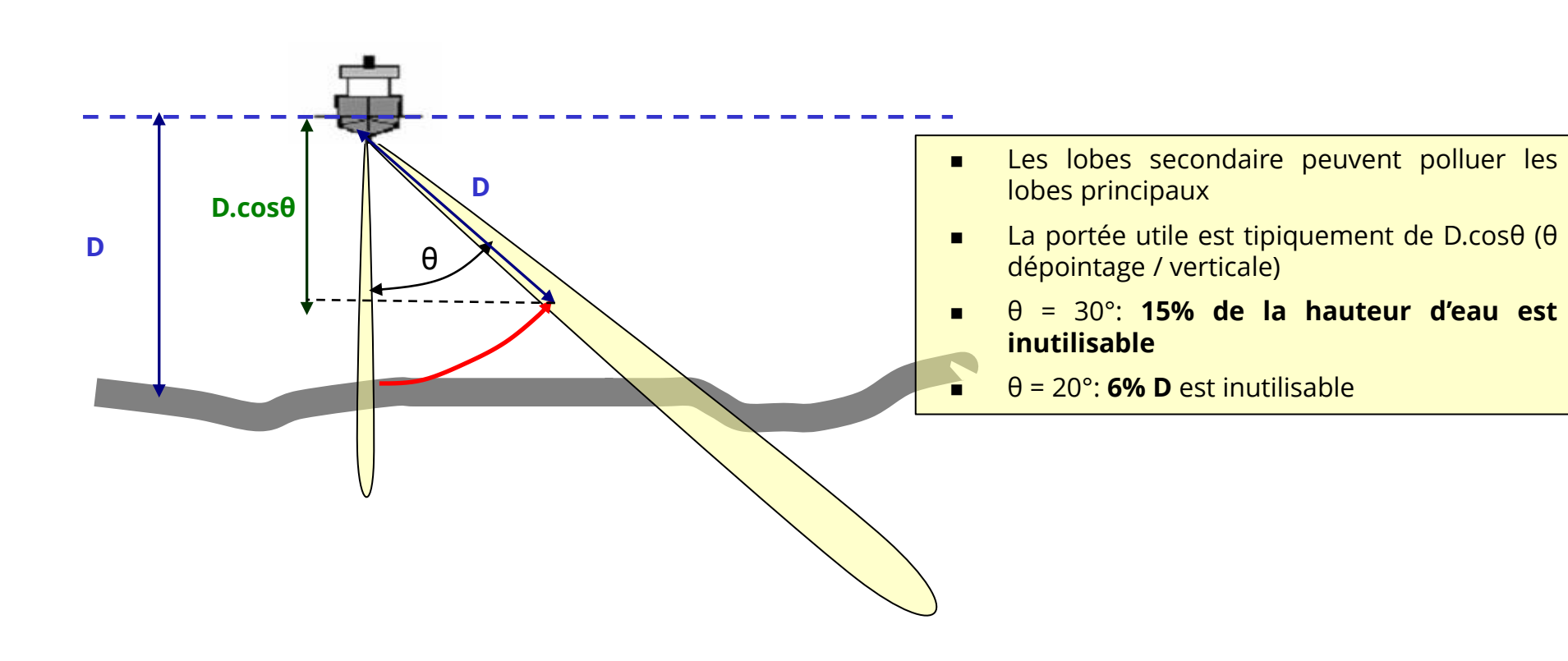
#### RAPPEL DES SMF : L'ARC DE CERCLE DU SPÉCULAIRE





**EFFET DES LOBES SECONDAIRES** 





#### NOTION D'EXACTITUDE ET DE PORTÉE



- Pour une fréquence donnée, **l'exactitude** sur la mesure est fonction de la durée de l'émission (= durée des fenêtres d'écoute = taille des cellules).
- ▶ Plus l'émission est longue et meilleure sera l'exactitude sur la mesure mais les cellules sont alors relativement grandes. Inconvénient : l'échantillonnage verticale est moins bon.
- Si la fréquence d'émission est élevé, l'exactitude sera meilleure, mais la portée sera alors faible. (comparé à une fréquence plus basse)
- Plus il y a de particules en suspension, meilleur sera la mesure. Mais une concentration trop grande peut absorber le signal (mer Rouge)

Fréquence d'émission (kHz)	Portée moyenne (m)	Taille cellules
38	1000-1500	24 à 16m
75	400-700	16 à 8m
150	250-400	8 à 4m
300	100-250	4 à 2m
600	60	1 à 2m
1200	25-30	0,5m

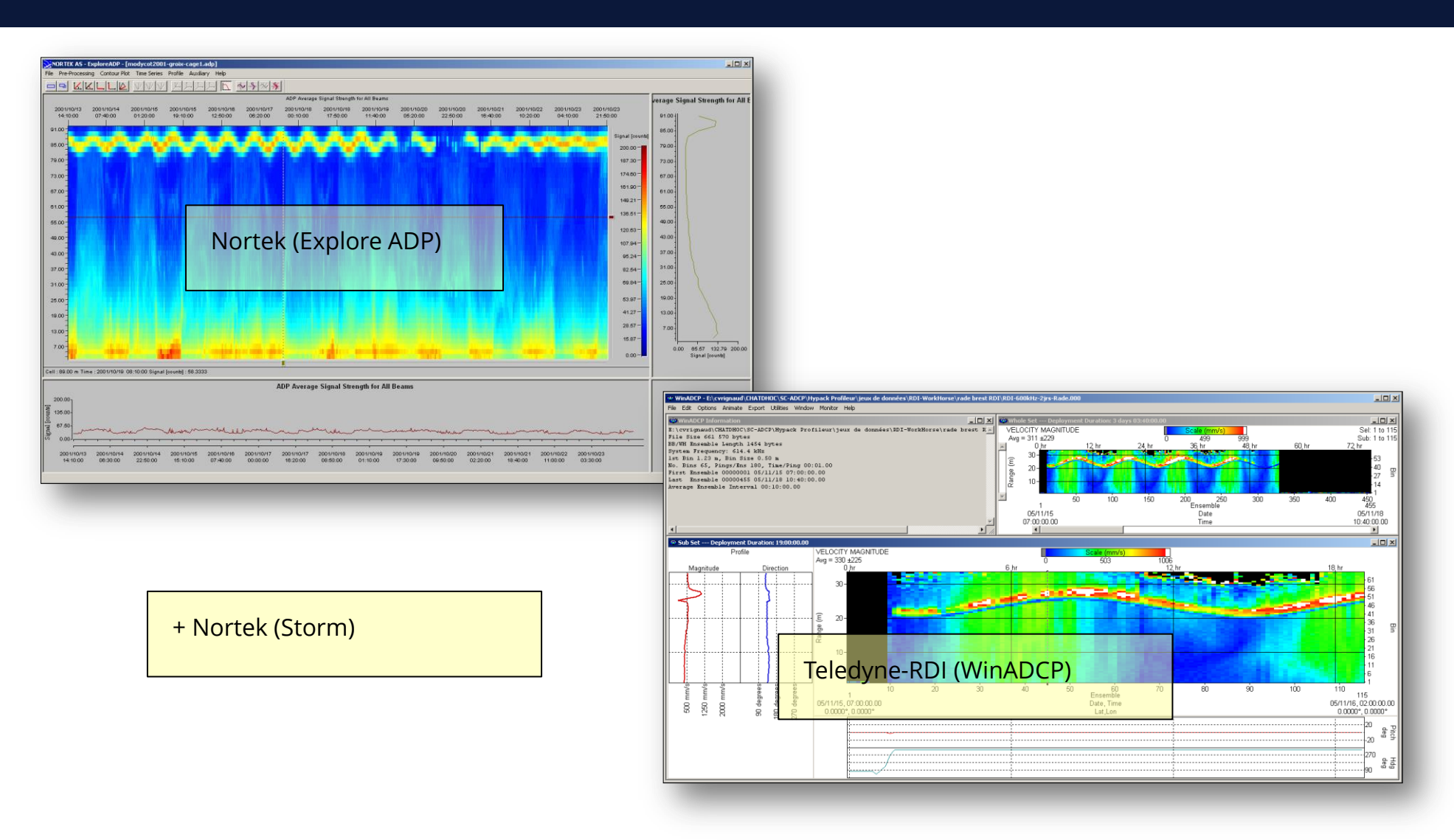
SUR LE MARCHÉ :



Teledyne-RDInstruments, Ocean Surveyor 38kHz – système à formation de 4 voies, composé de matrices de transducteurs élémentaires.  •Portée moyenne : 900m ; •Taille typique des cellules : 16m à 24m ; •Dimension : diamètre de 91cm ; •Ouverture angulaire d'un faisceau : 2.60°.
Link-Quest Inc, FlowQuest 150kHz  •Portée moyenne : 500m ;  •Taille typique des cellules : 2m à 16m ;  •Dimension : diamètre de 40cm ;  •Ouverture angulaire d'un faisceau : X.XX°.
Teledyne-RDInstruments, Ocean Surveyor 150kHz – système à formation de 4 voies, composé de matrices de transducteurs élémentaires.  •Portée moyenne : 300m ;  •Taille typique des cellules : 4m à 8m ;  •Dimension : diamètre de 30cm ;  •Ouverture angulaire d'un faisceau : 2.92°.
Teledyne-RDInstruments, Horizontal-ADCP 300kHz.  •Portée moyenne : 250m ;  •Taille typique dés cellules : 4 à 8m ;  •Dimension de la tête : 73cm de large, 46cm de haut ;  •Ouverture angulaire d'un faisceau : 1,2°.
Nortek AS, AWAC 600kHz – 1 transducteur dédié à la détection de surface.  •Portée moyenne : 50m ;  •Taille typique des cellules : 0.5 à 8m ;  •Dimension de la tête : 21cm de diamètre, 19cm de haut ;  •Ouverture angulaire d'un faisceau : X.XX°.
Teledyne-RDInstruments, ADCP Sentinel 1200kHz.  •Portée moyenne : 20m ;  •Taille typique des cellules : 0.25 à 2m ;  •Dimension : 23cm de diamètre et 40cm de haut environ ;  •Ouverture angulaire d'un faisceau : 1,4°.
Nortek AS, Aquadopp Profiler 2000kHz.  •Portée moyenne : 6m ;  •Taille typique des cellules : 0.1m à 2m ;  •Dimension : diamètre de 7.5cm et 56cm de long ;  •Ouverture angulaire d'un faisceau : 1,7°.

**EXEMPLE DE LOGICIELS CONSTRUCTEURS** 







- I. Notion d'acoustique sous-marine
- II. Application à la courantométrie
- III. Courantomètres au point fixe
- IV. L-ADCP
- V. VM-ADCP (Vessel Mounted Acoustic Doppler Current Profiler)
- VI. Doppler Velocity Loch

**POINT FIXE** 

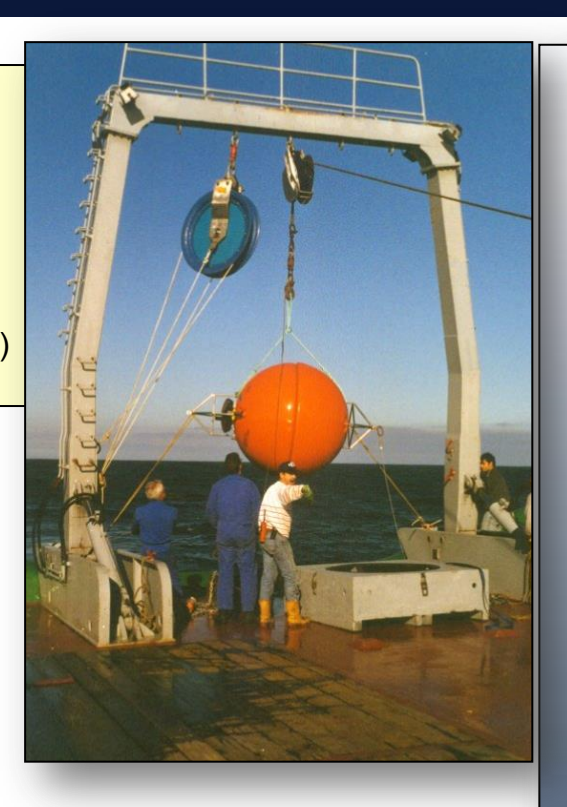


### Par grands fonds

- · Broadband 150kHz dans sa flottabilité
- Durée: quelques mois
- Observations de la circulation océanique (Eau Méditerranéenne, eddies...)



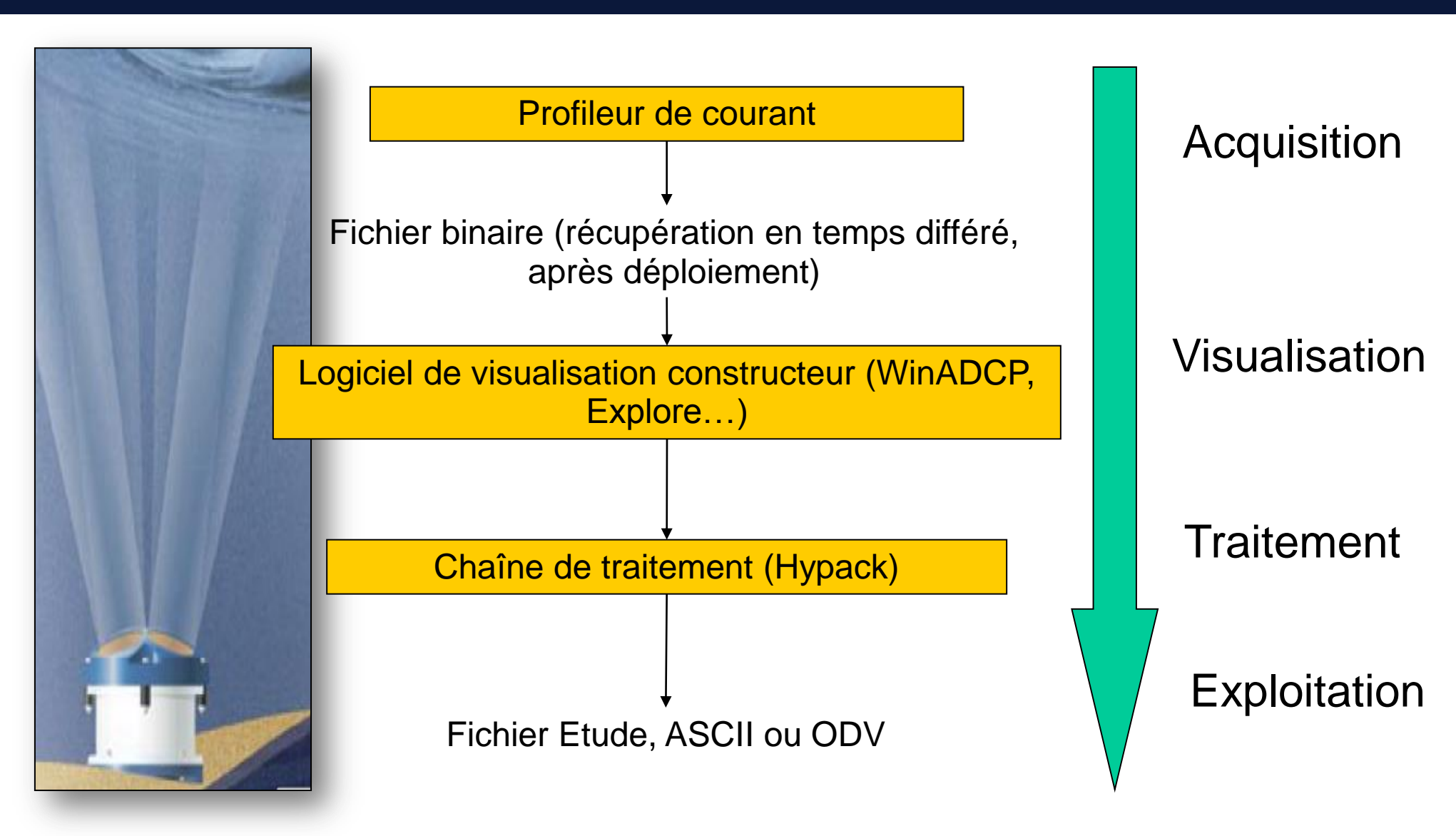
Par petits fonds
Pour quelques mois.
Observation du courant de marée...





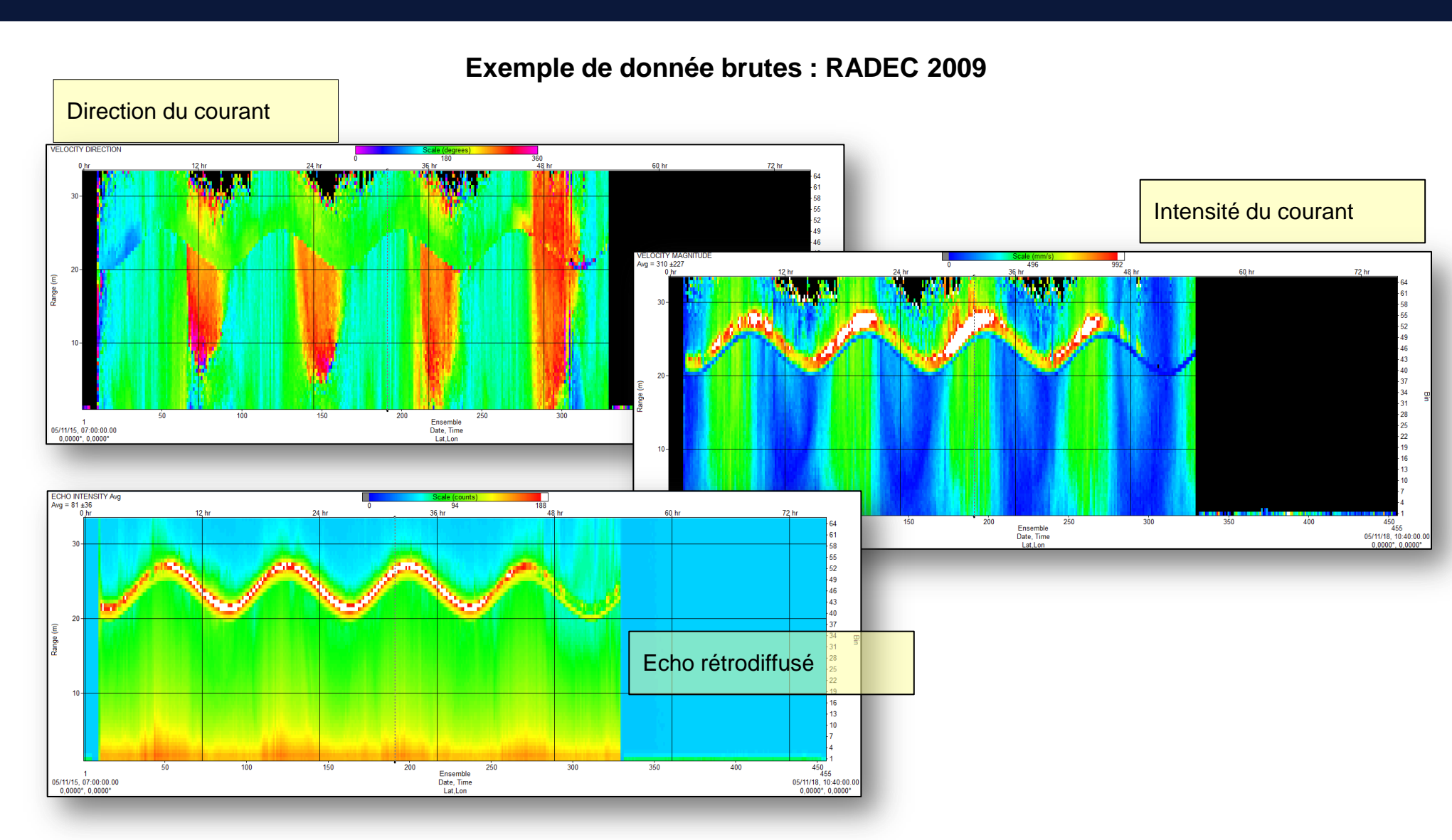
**POINT FIXE - WORKFLOW** 





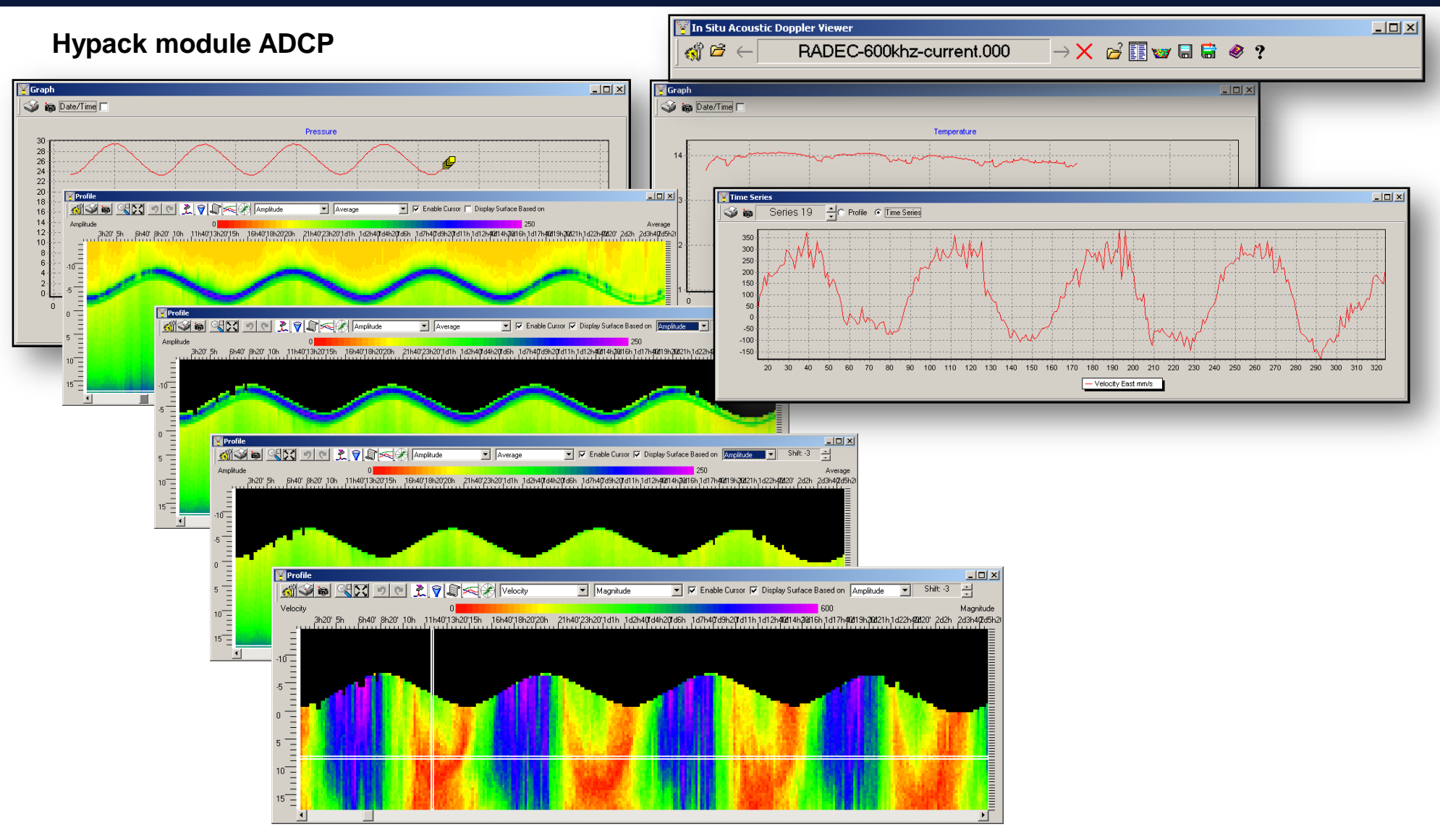
POINT FIXE - EXEMPLE : RADE DE BREST





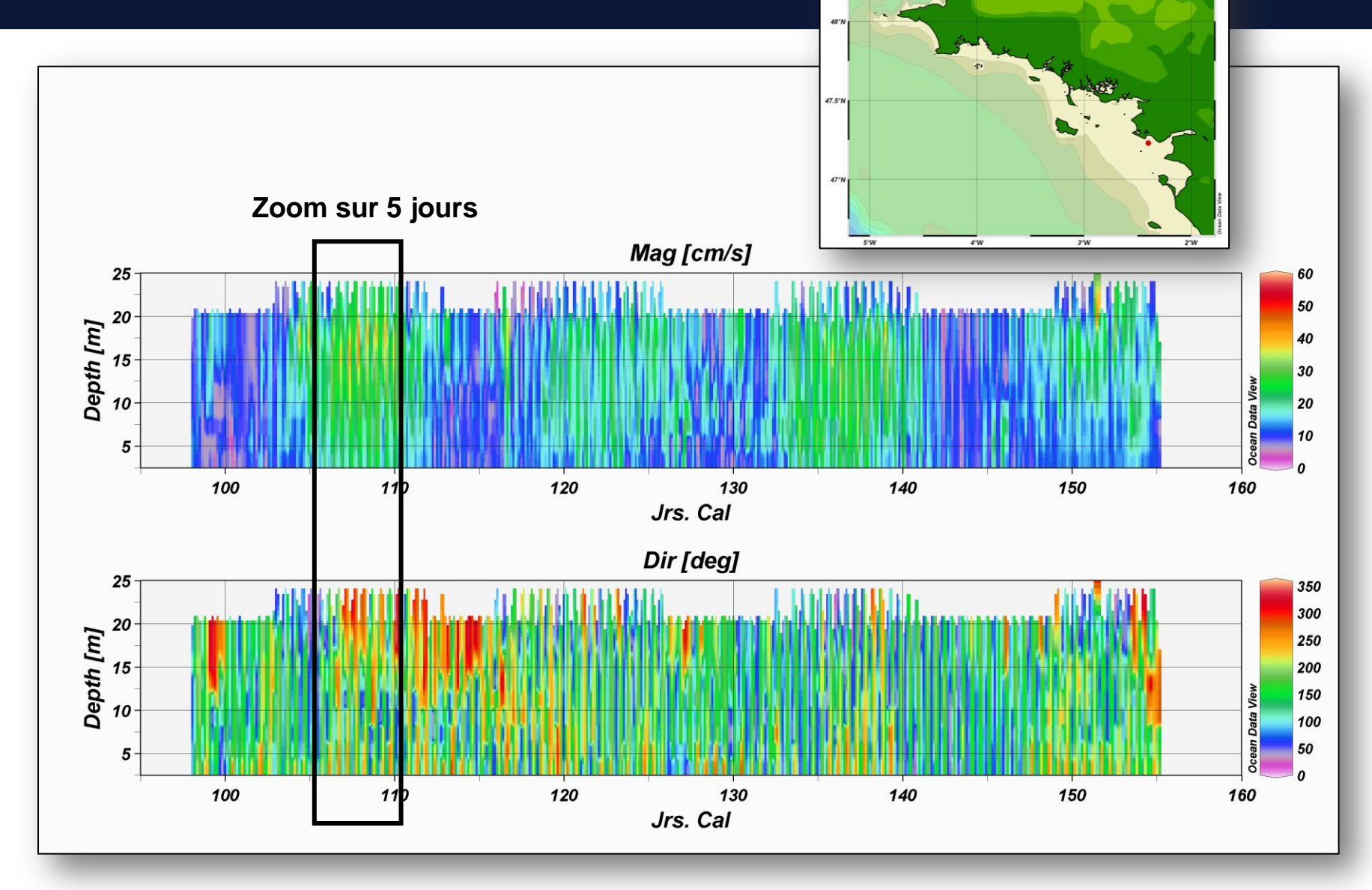
**POINT FIXE - TRAITEMENT** 





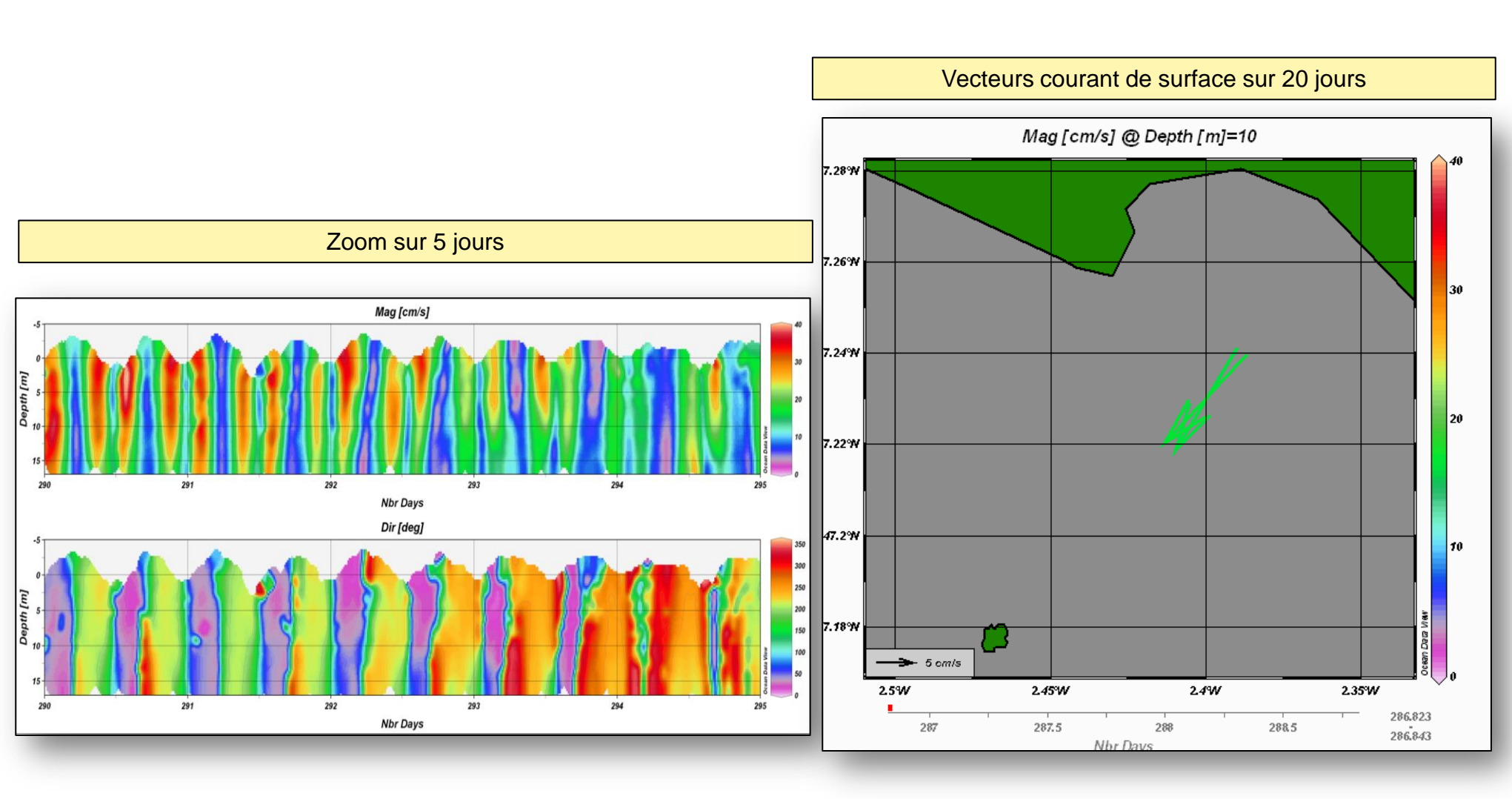
POINT FIXE - EXEMPLE : BAIE DE VILAINE

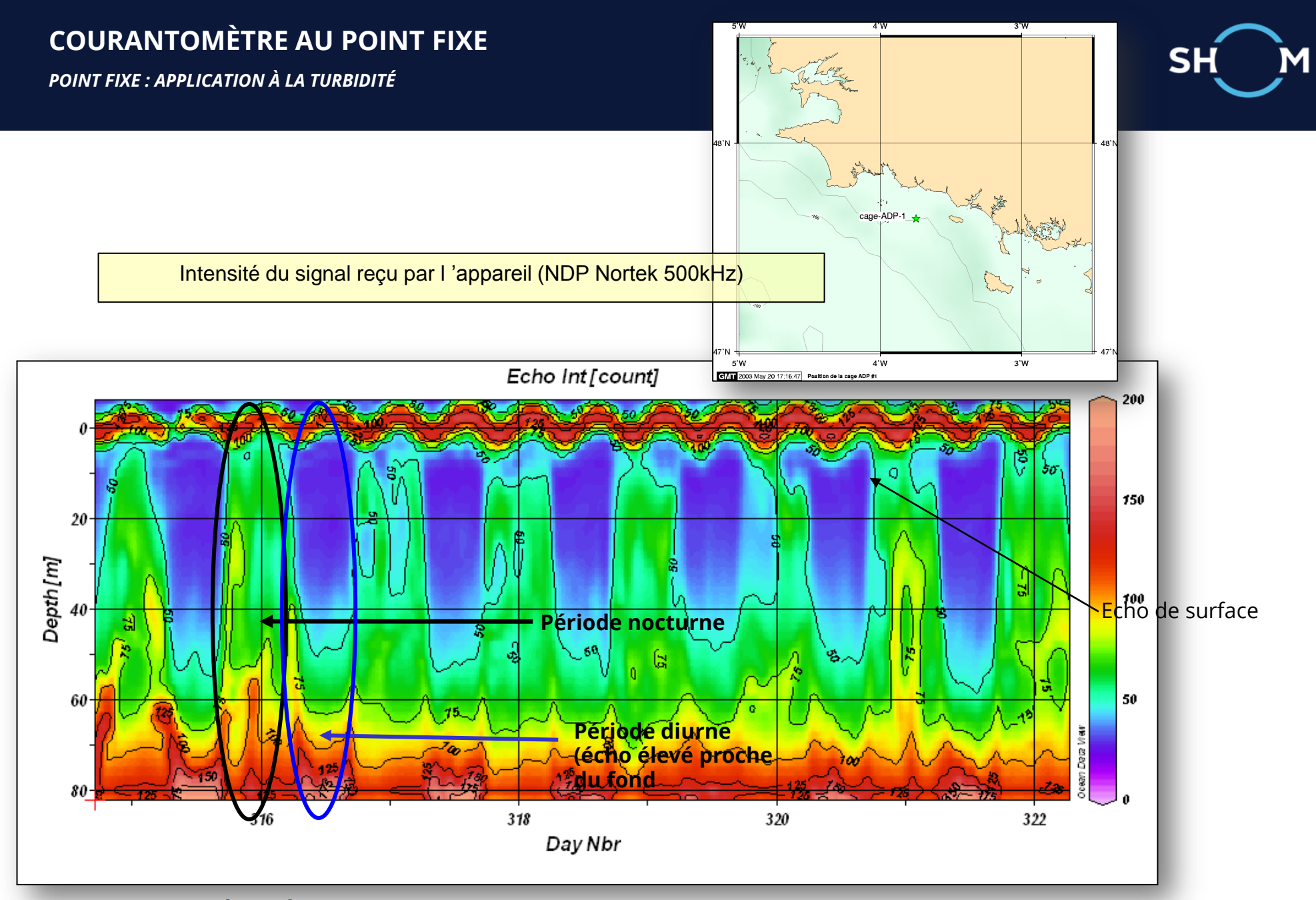




POINT FIXE - EXEMPLE : BAIE DE VILAINE

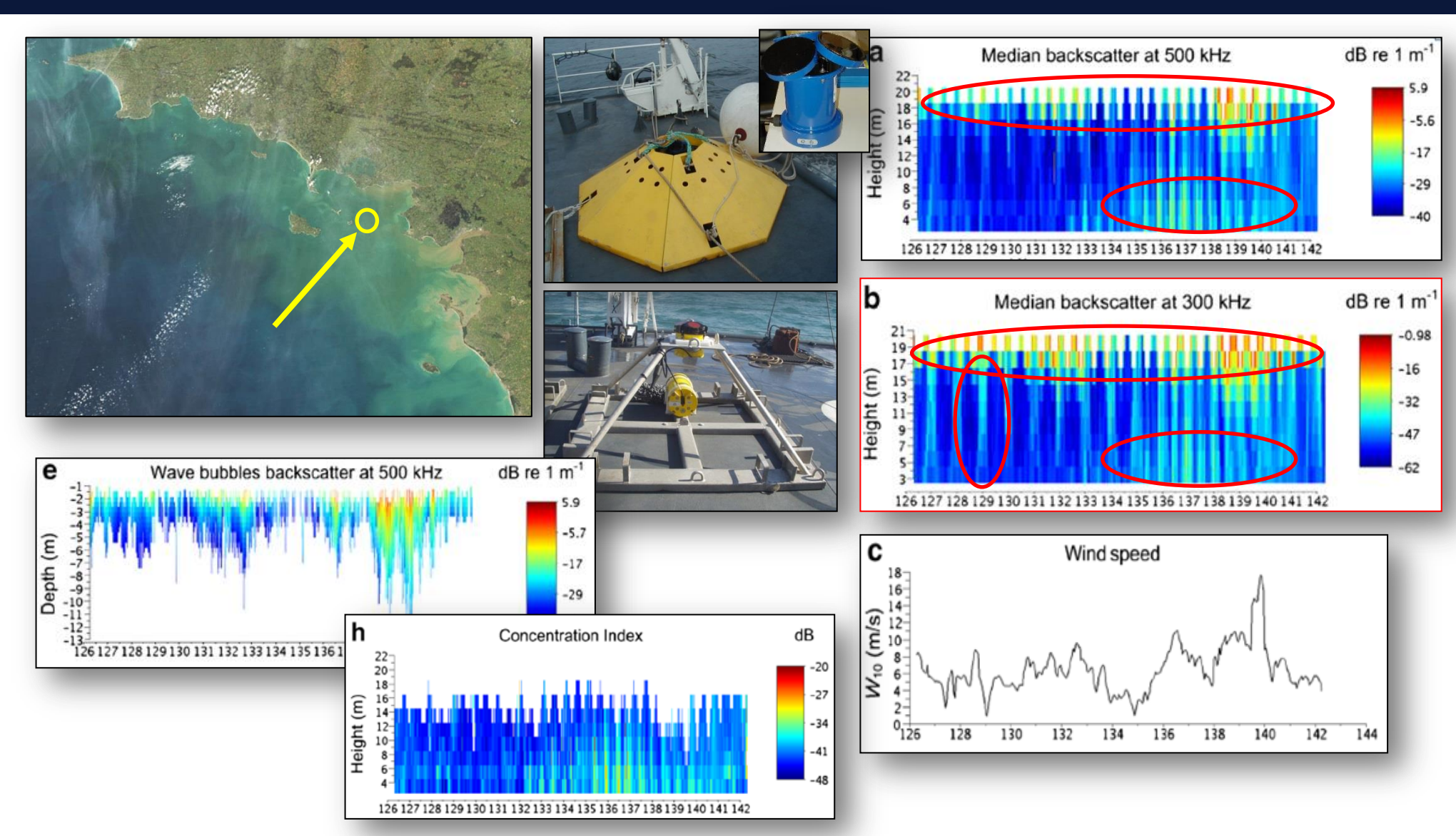






POINT FIXE : APPLICATION À LA TURBIDITÉ

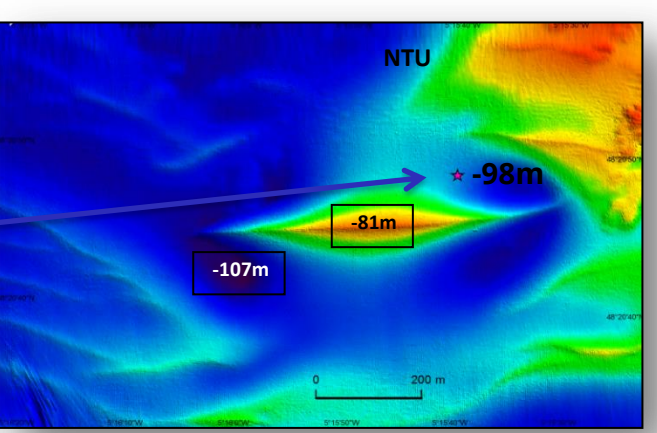




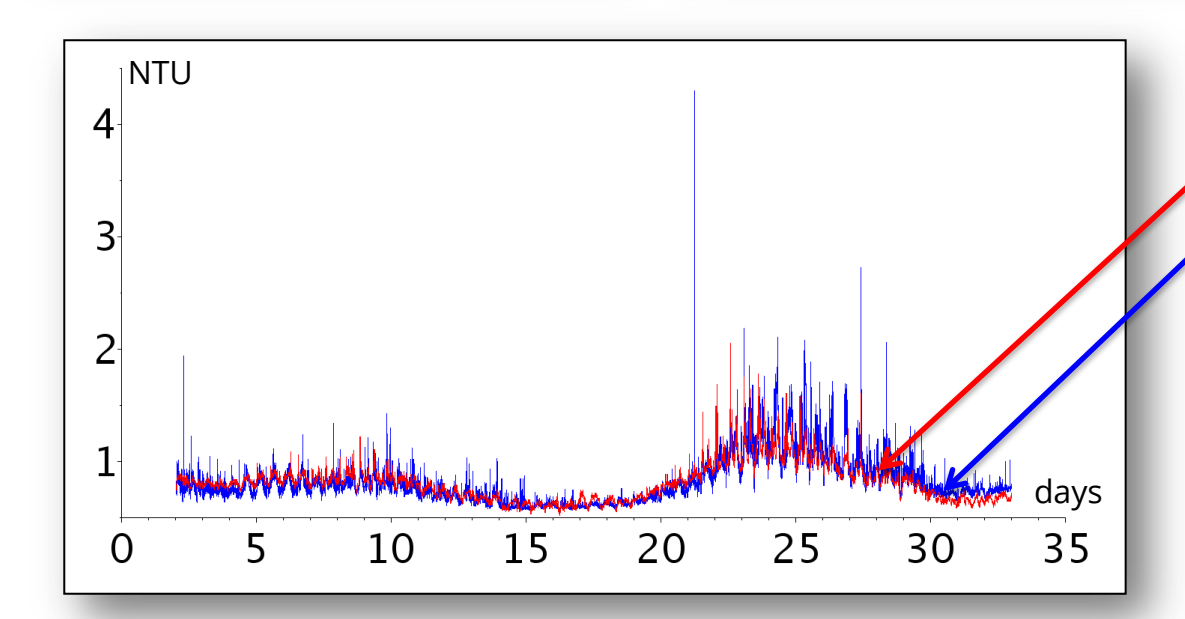
POINT FIXE : APPLICATION À LA TURBIDITÉ











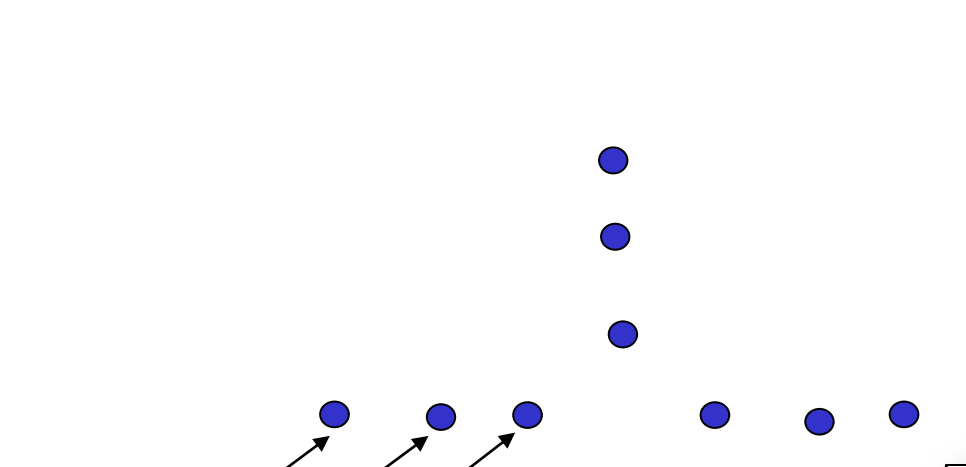
Mesures du turbidimètre invalides après 35 jours d'immersion (biofooling)



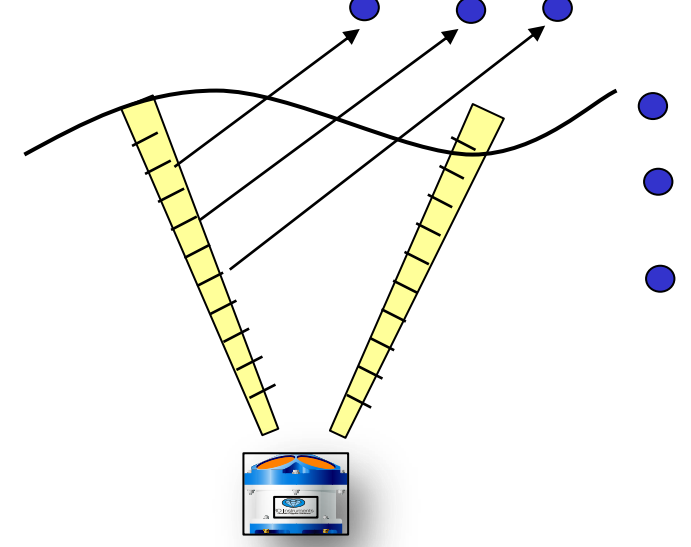
# **COURANTOMÈTRE AU POINT FIXE**

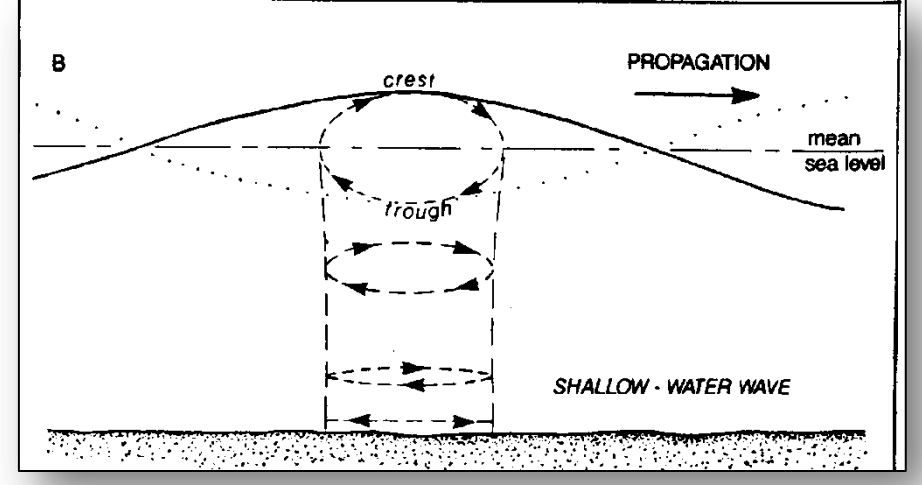
POINT FIXE : APPLICATION À LA MESURE DE HOULE









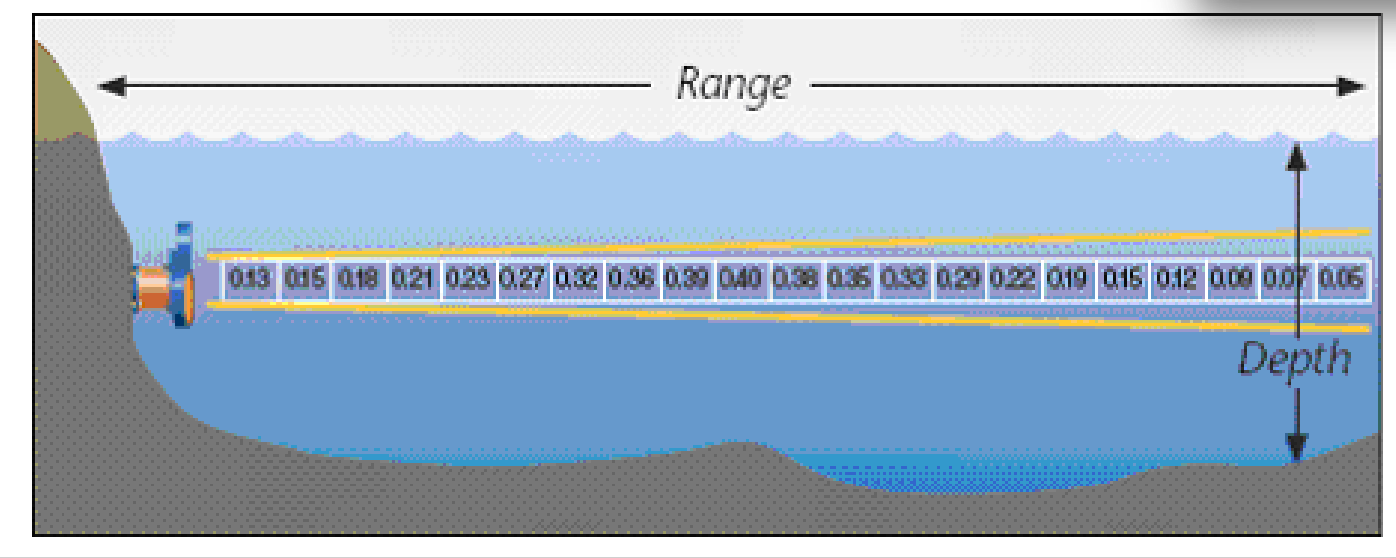


# **COURANTOMÈTRE AU POINT FIXE**

POINT FIXE : APPLICATION À LA MESURE DE DÉBIT DE FLEUVE





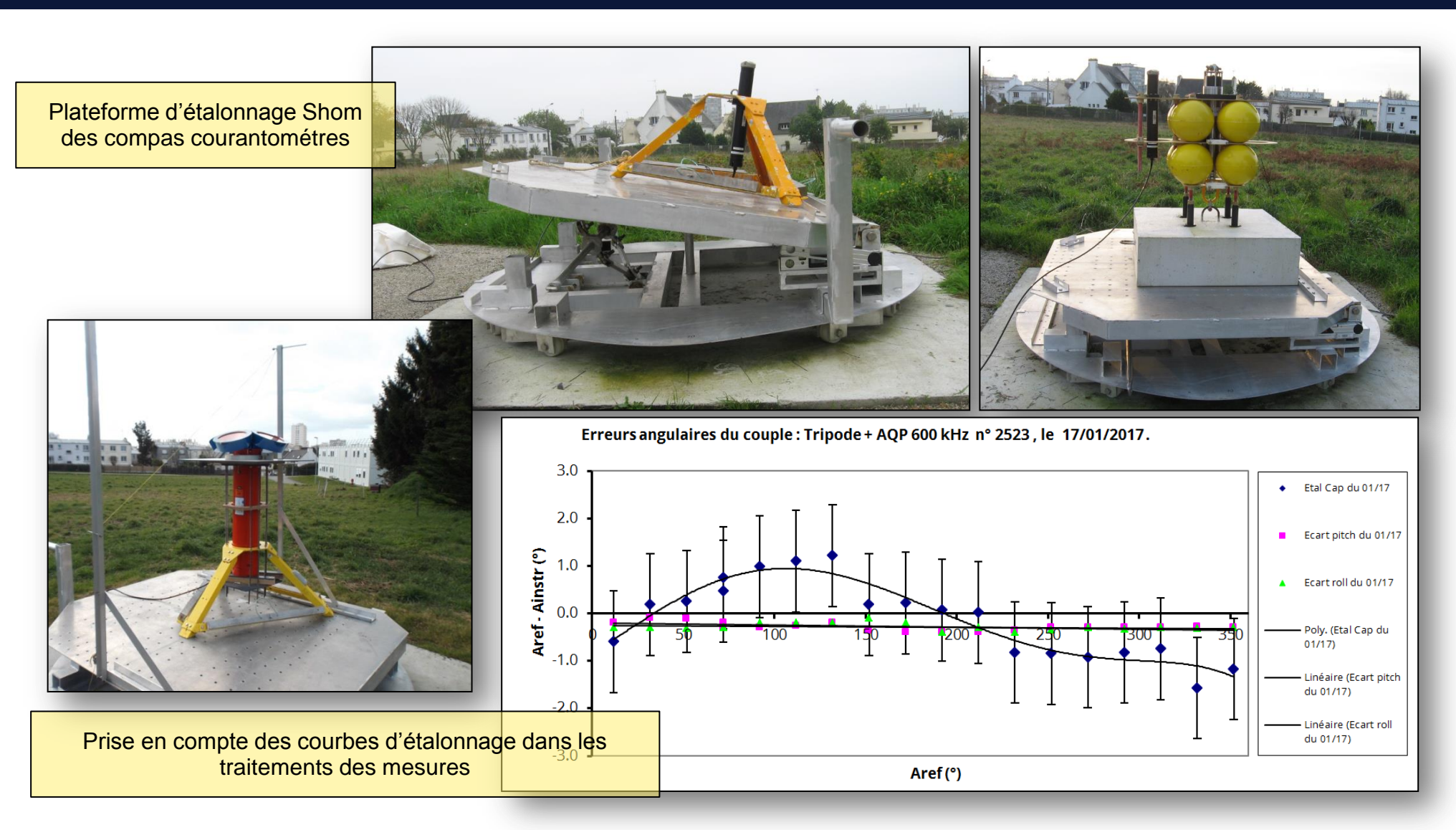


H-ADCP looks horizontally across a water body, measuring currents at numerous locations as well as directional waves.

# **COURANTOMÈTRE AU POINT FIXE**

POINT FIXE: NOTE SUR L'ÉTALONNAGE DES COMPAS DE COURANTOMÈTRES







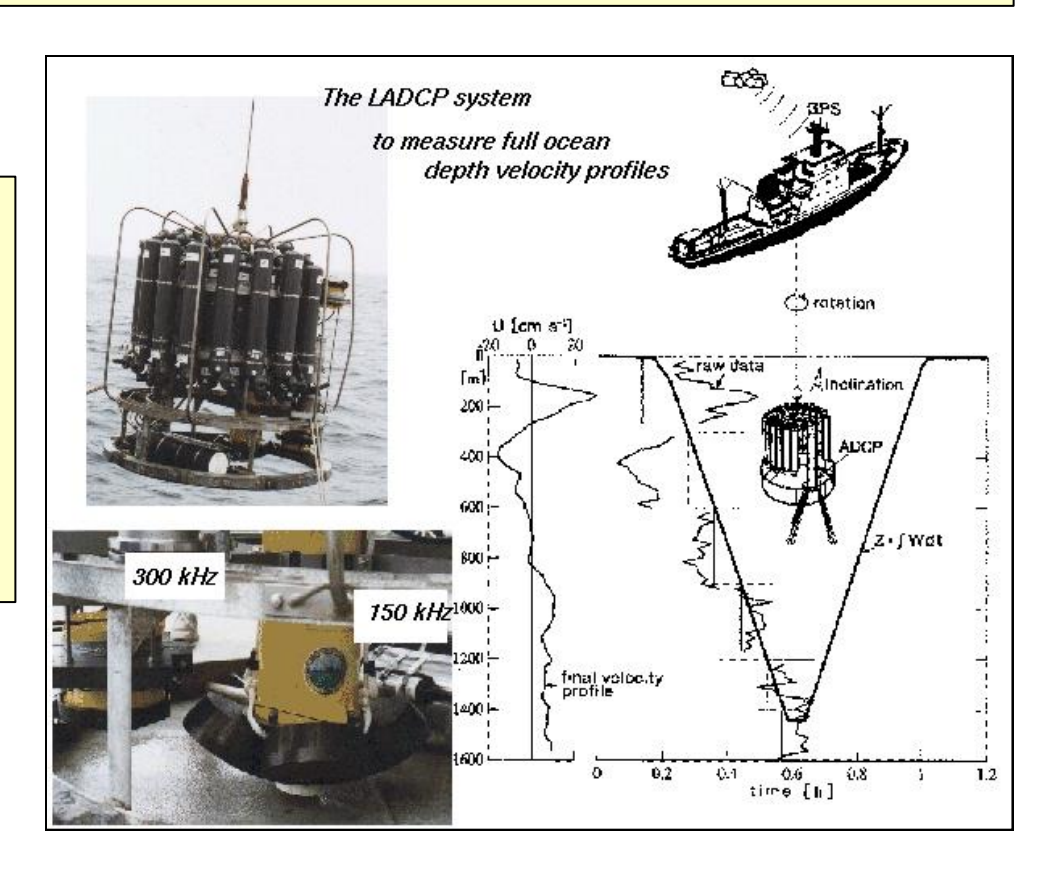
- I. Notion d'acoustique sous-marine
- II. Application à la courantométrie
- III. Courantomètres au point fixe
- IV. L-ADCP
- V. VM-ADCP (Vessel Mounted Acoustic Doppler Current Profiler)
- VI. Doppler Velocity Loch

LE BESOIN ET LA PRINCIPE



- ▶ Il existe un besoin fort de connaître le courant sur toute la colonne d'eau (depuis la surface jusqu'au fond)...
- Les profileur de courant ayant une portée limitée, l'idée est de les déployer depuis la surface jusqu'au fond pour collecter des mesures de courant sur toute la colonne d'eau.

- Par grand fond, le système «Lowered Acoustic Doppler Current Profiler» (LADCP) est capable de mesurer le courant sur toute cette colonne d'eau pendant une station hydrologique.
- ▶ Un ADCP est fixé sur une cage de type bathysonde CTD avec les transducteurs tournés vers le bas. L'acquisition se fait durant le profil hydrologique - (e.g.~Firing and Hacker, 1992; Fischer and Visbeck, 1993a)

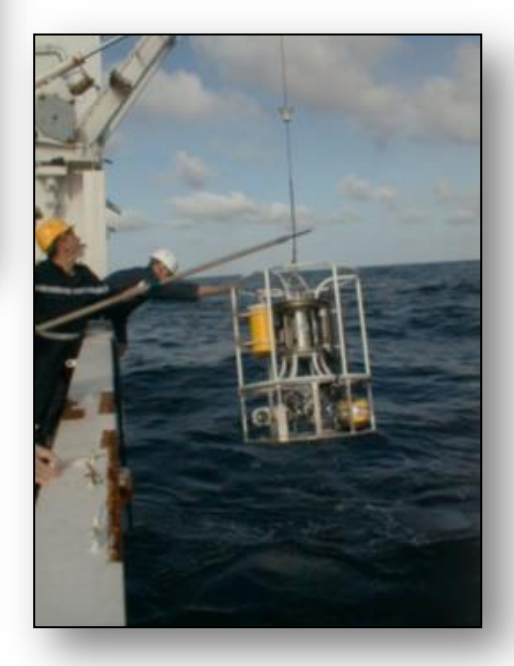


LE PRINCIPE





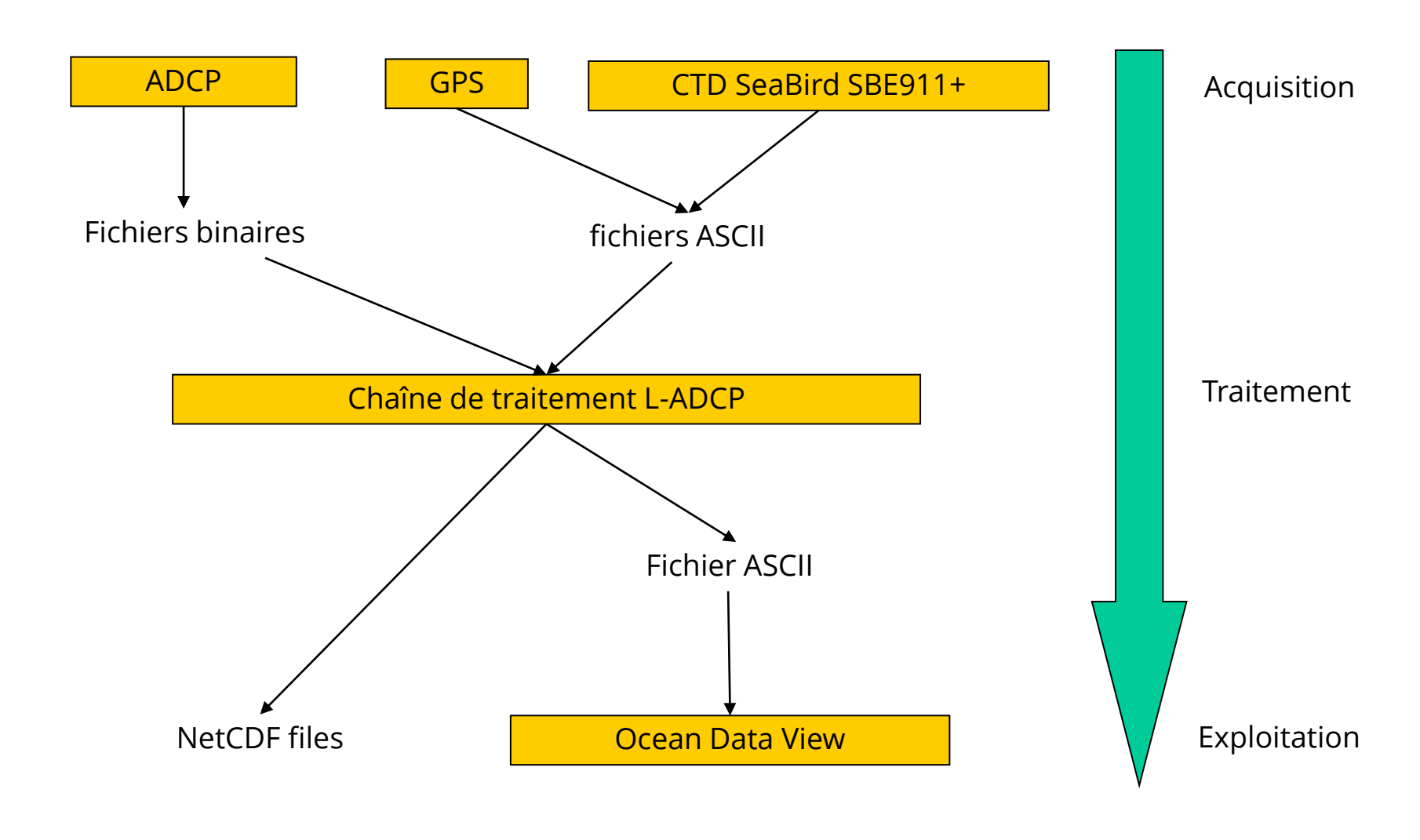






LE WORKFLOW

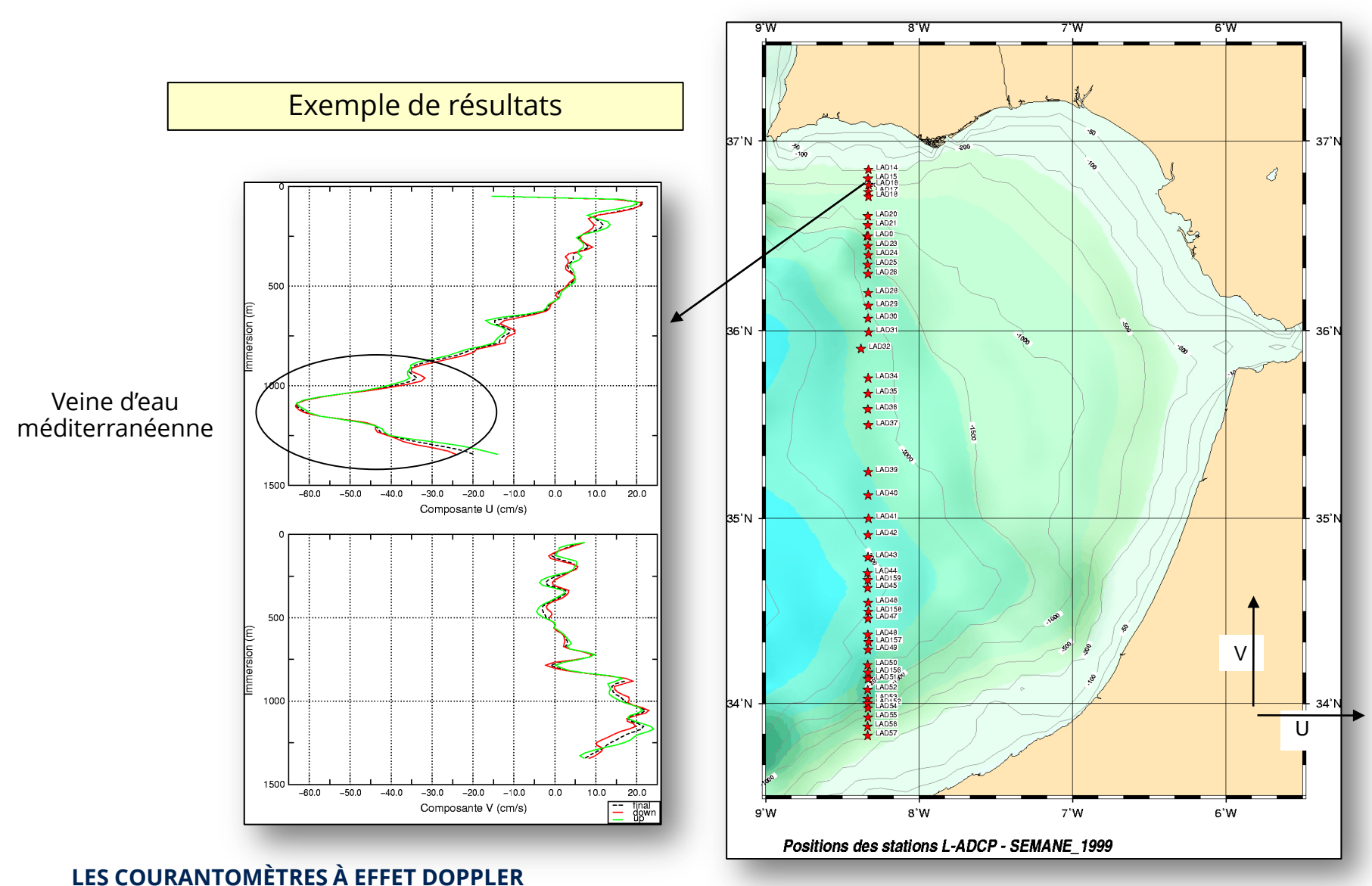




**EXEMPLE** 



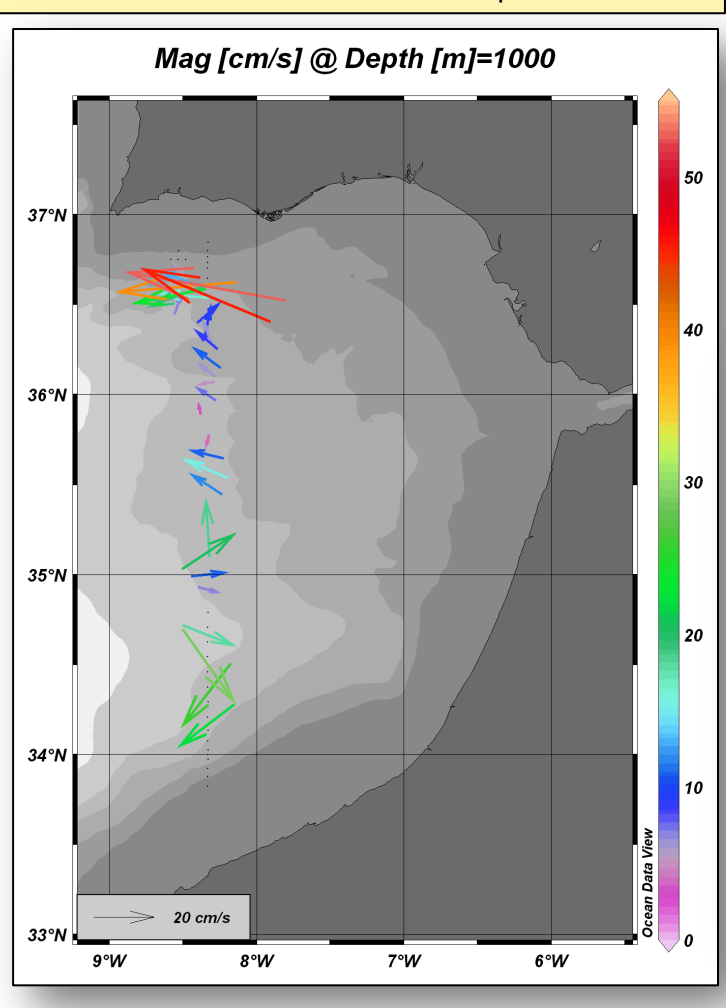
80 / 152



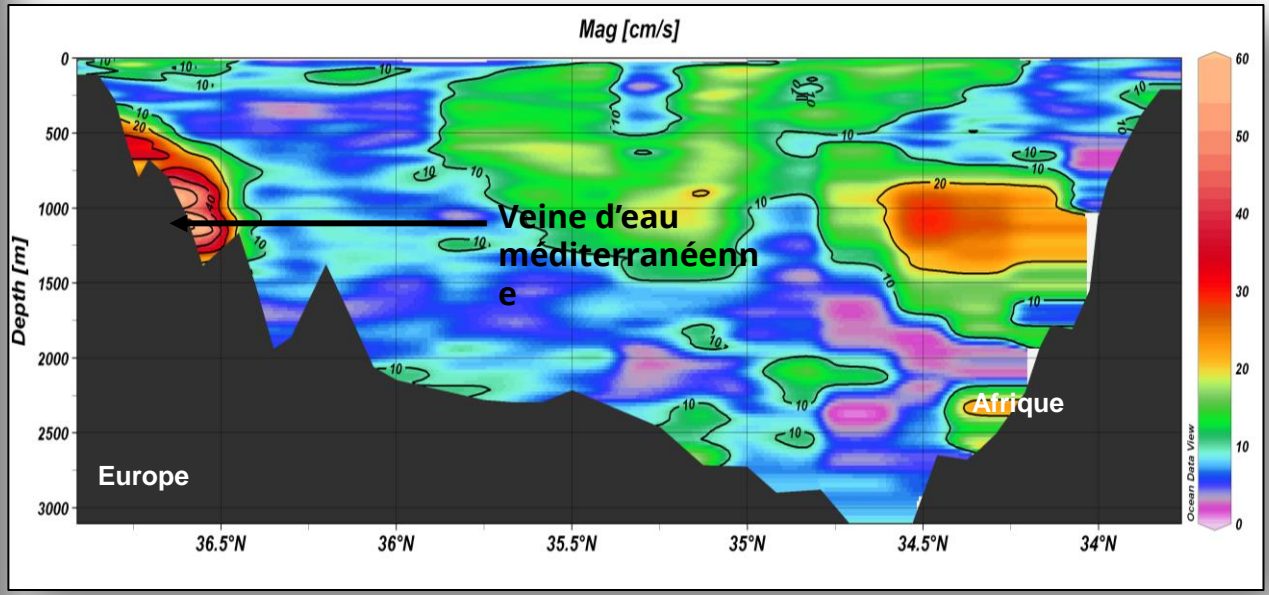




## Vecteurs courant à 1000m de profondeur



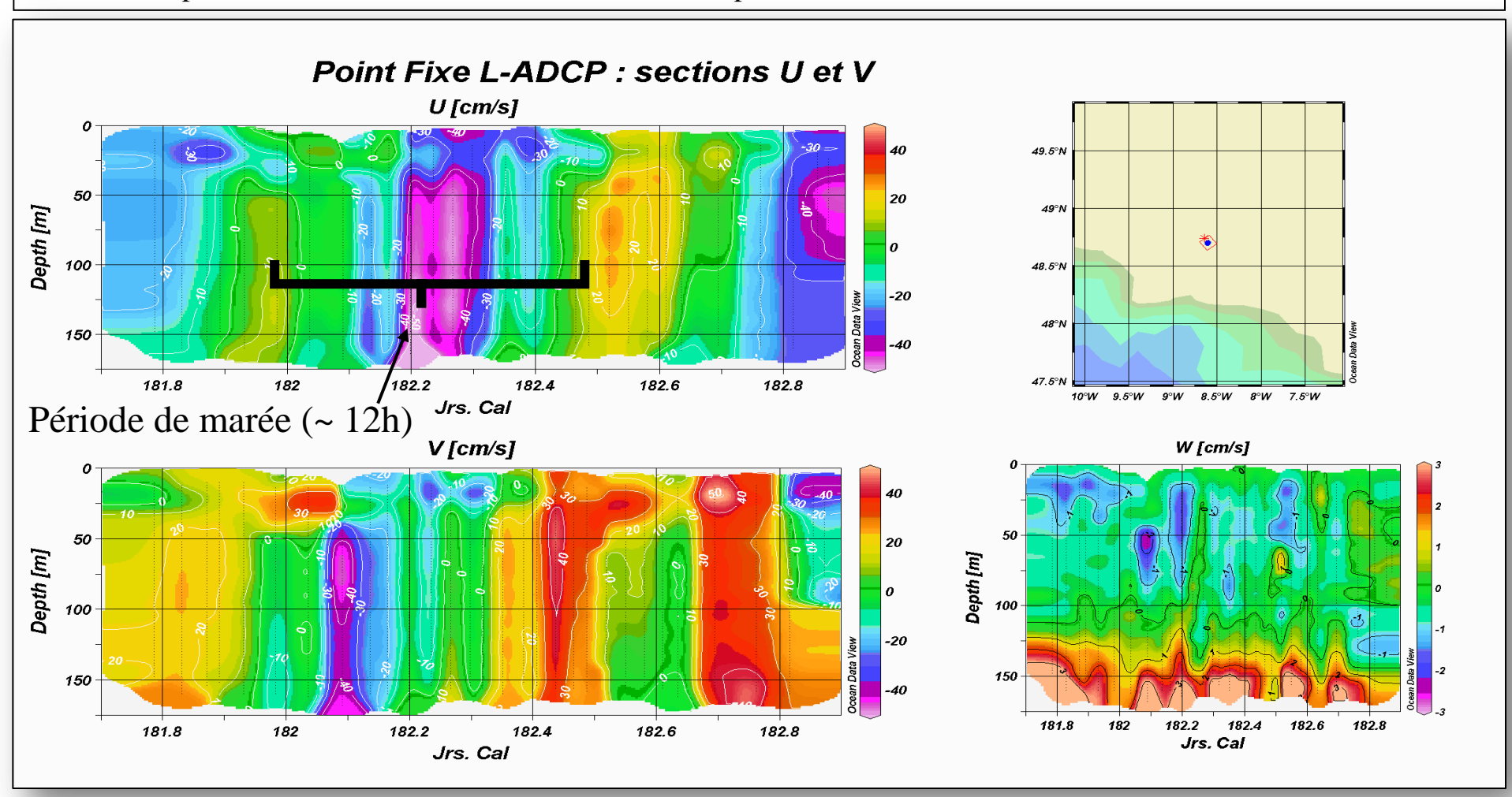
#### coupe verticale de l'intensité du courant







Juillet 2004: point fixe L-ADCP de 27 heures. Mesures des phénomènes de marée interne.

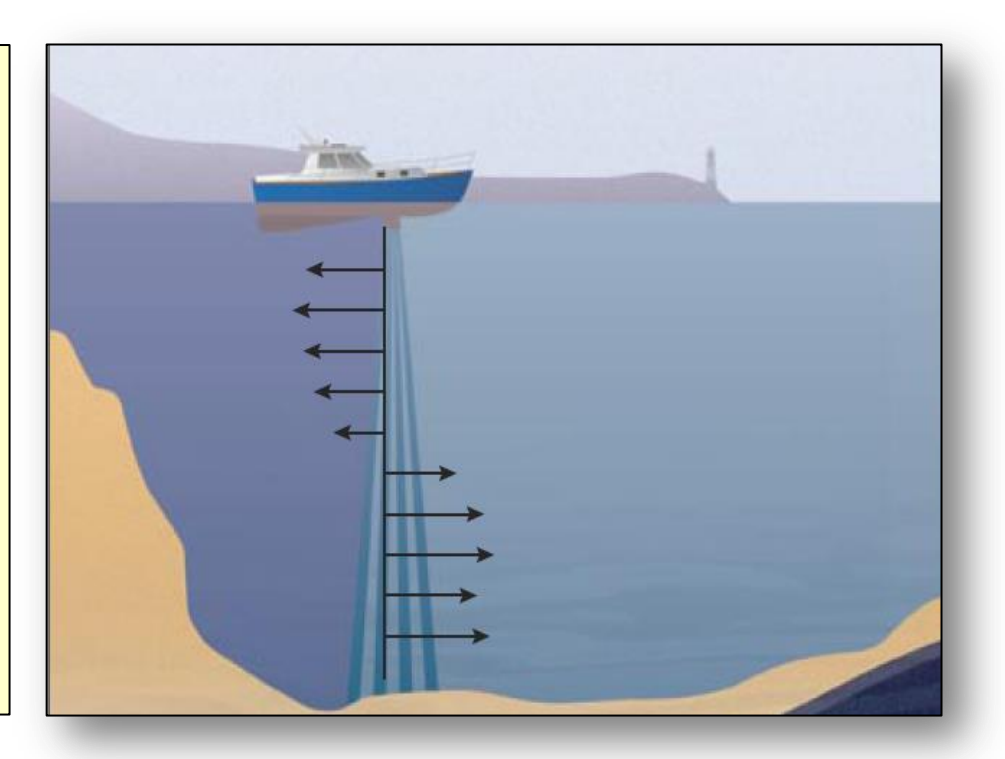




- I. Notion d'acoustique sous-marine
- II. Application à la courantométrie
- III. Courantomètres au point fixe
- IV. L-ADCP
- V. VM-ADCP (Vessel Mounted Acoustic Doppler Current Profiler)
- VI. Doppler Velocity Loch



- Le courantomètre à effet Doppler est inséré sous la coque d'un navire. Les bases acoustiques insonifient ainsi la couche superficielle de l'océan. Les mesures sont réalisées au cours des déplacements du navire ou sur un point fixe.
- La partie importante du traitement des données consiste à s'affranchir des perturbations causées par les mouvements propres du navire (roulis, tangage, vitesse navire...). Ce traitement se fait en temps réel.





BO D'Entrecasteaux: RDI NarrowBand 75kHz et 300kHz. Utilisé de 1994 à 2002

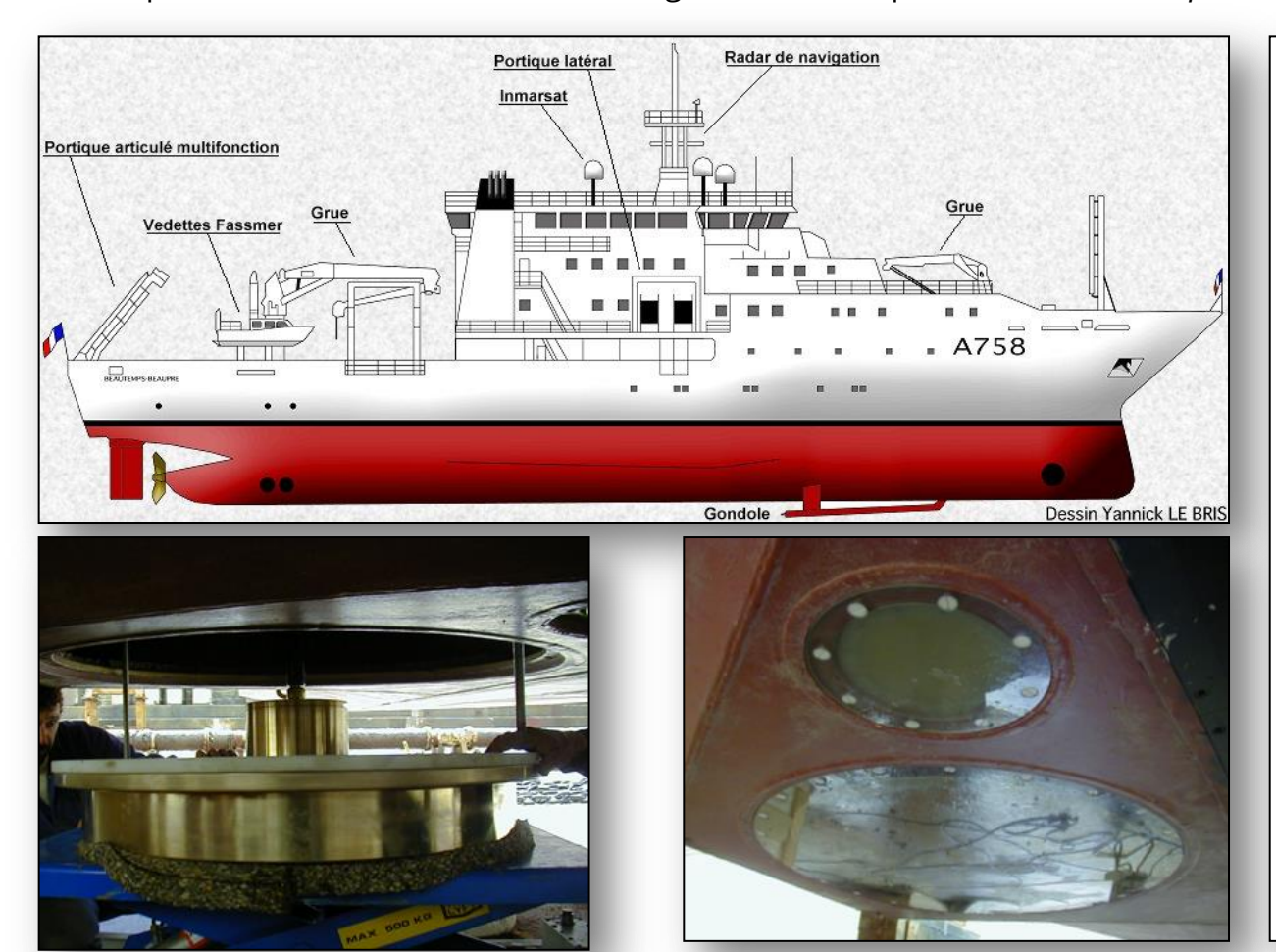








Implantation des transducteurs sur la gondole - Exemple du BHO Beautemps-Beaupré (puit d'eau de mer)



Bases 38 kHz et 150 kHz

après mise en place des fenêtres acoustiques

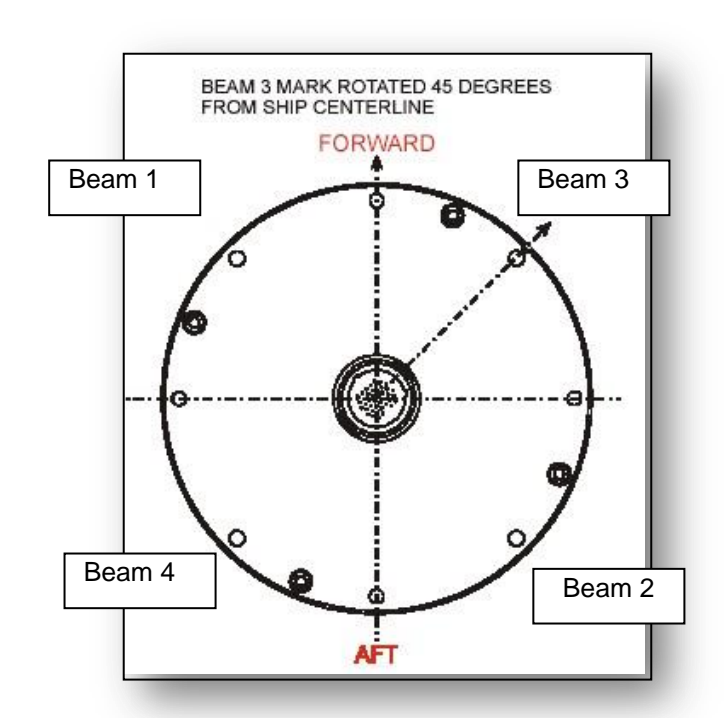
# Ocean Surveyor Ocean Observer **Installation Guide**

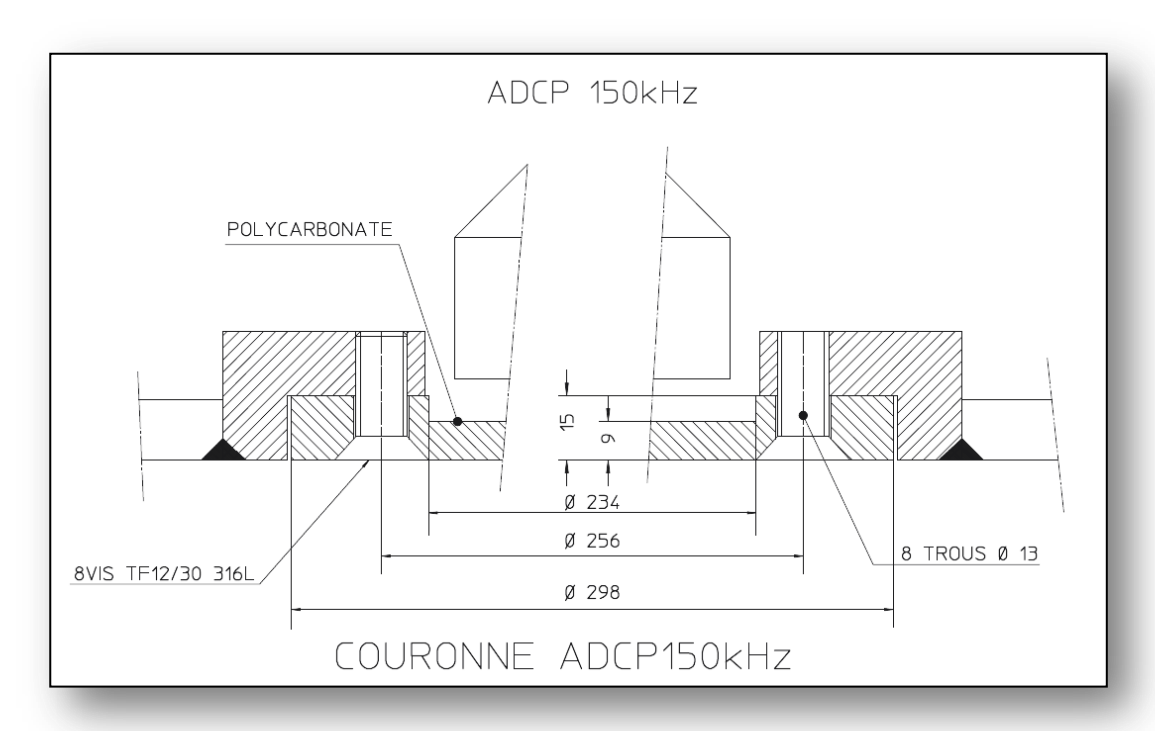


RD Instruments P/N 95A-6019-00 (December 2002)

Mise en place de la base 38 kHz

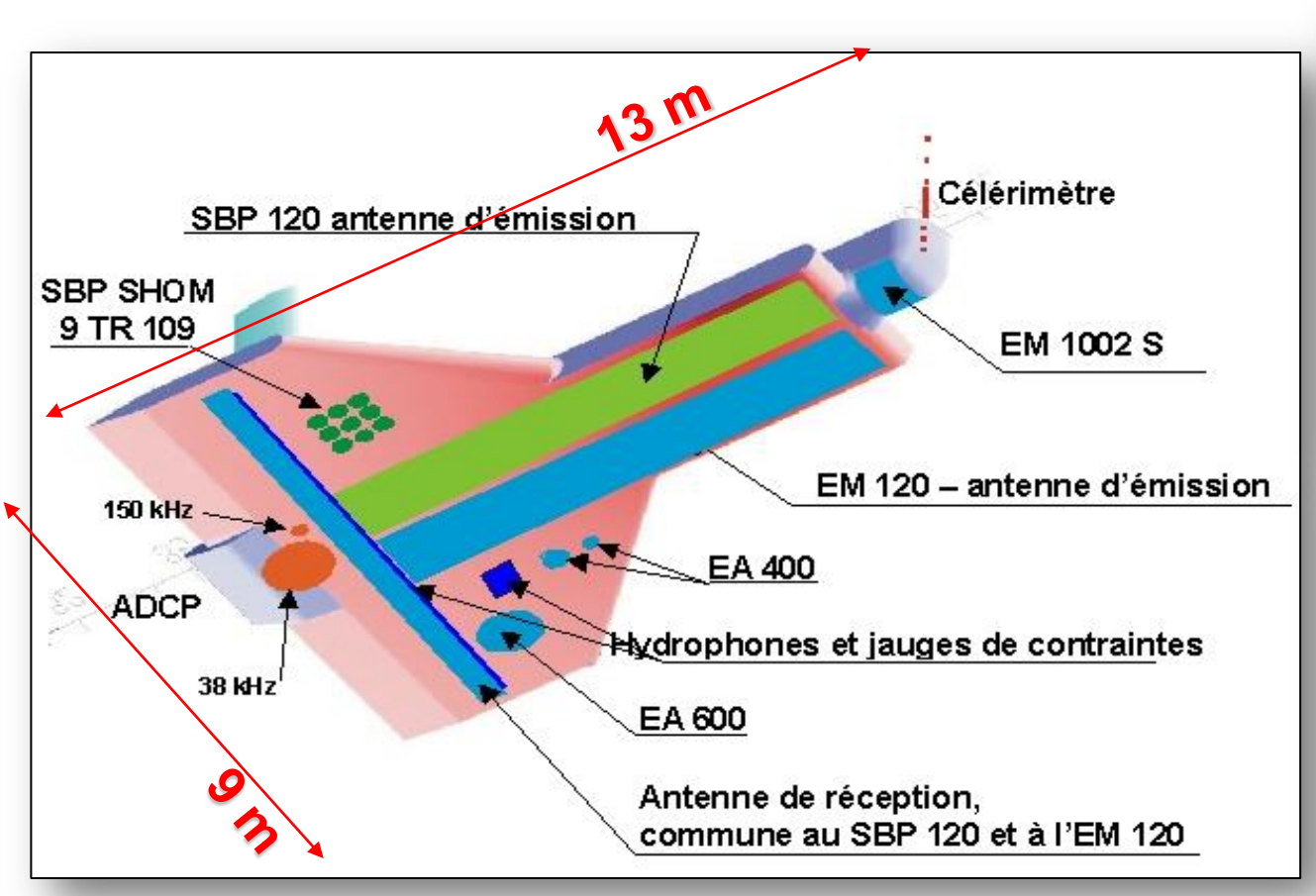








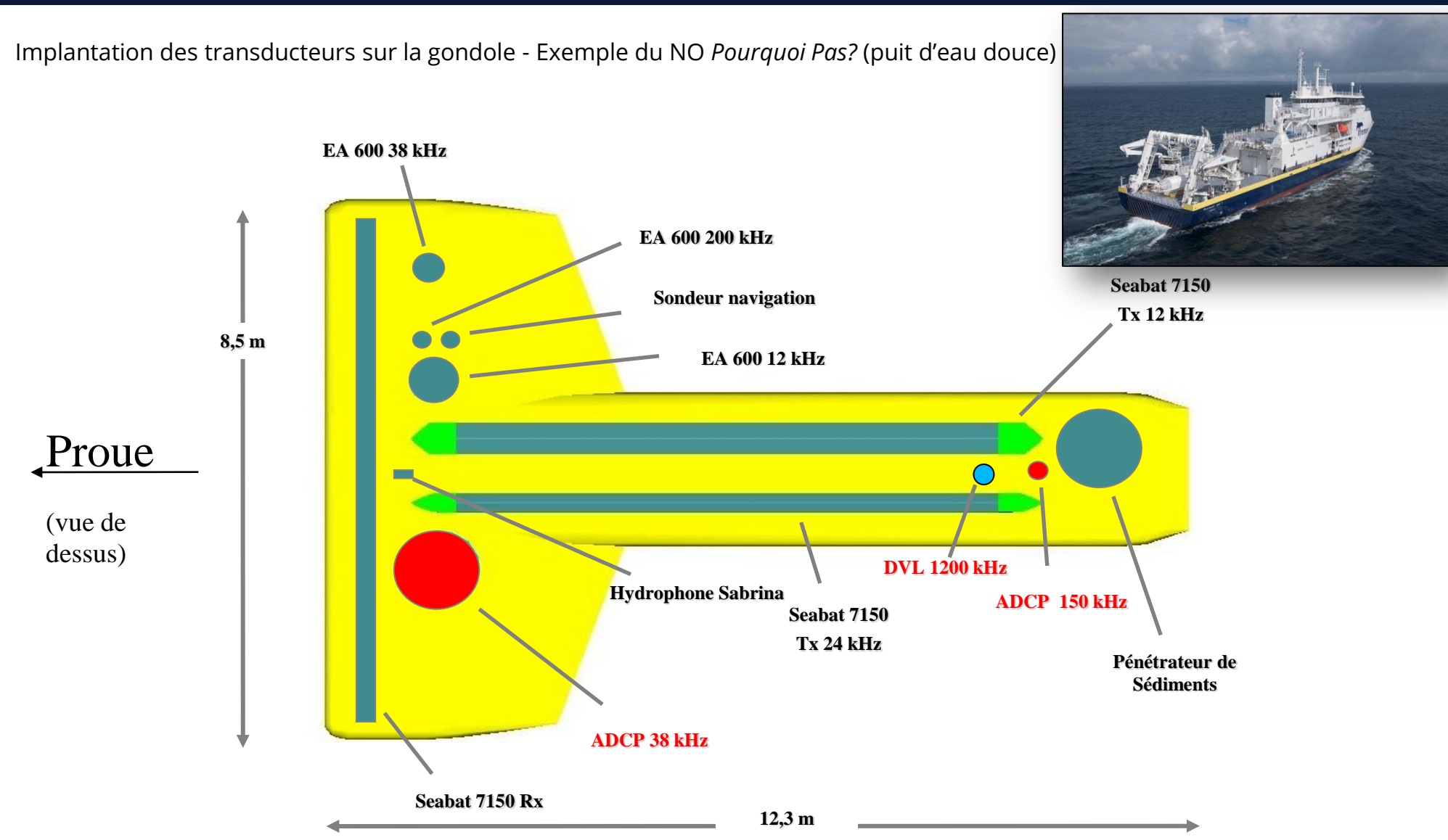
Implantation des transducteurs sur la gondole - Exemple du BHO Beautemps-Beaupré (puit d'eau de mer)





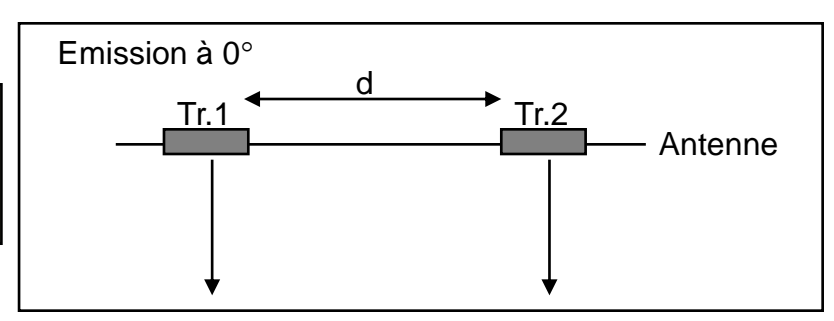




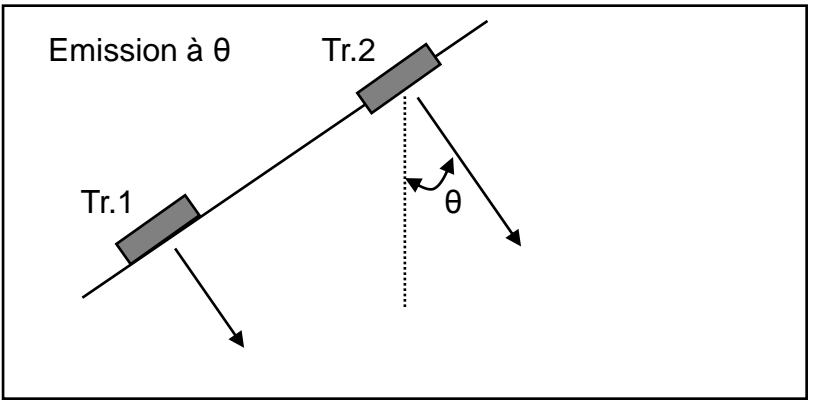




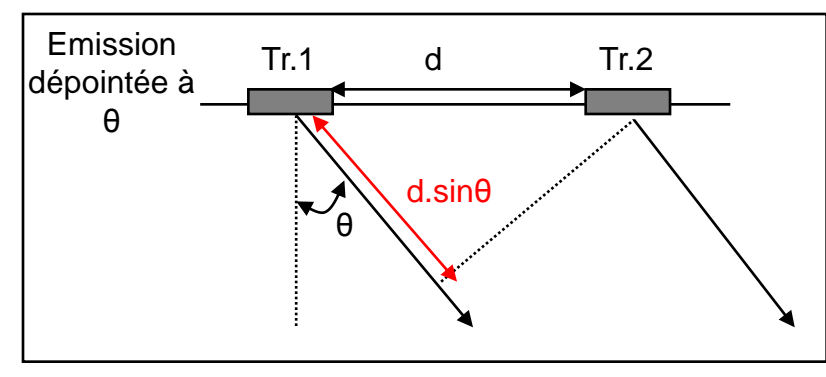
Émission simultané des transducteur élémentaire: énergie maximale transmise perpendiculaire à l'antenne.



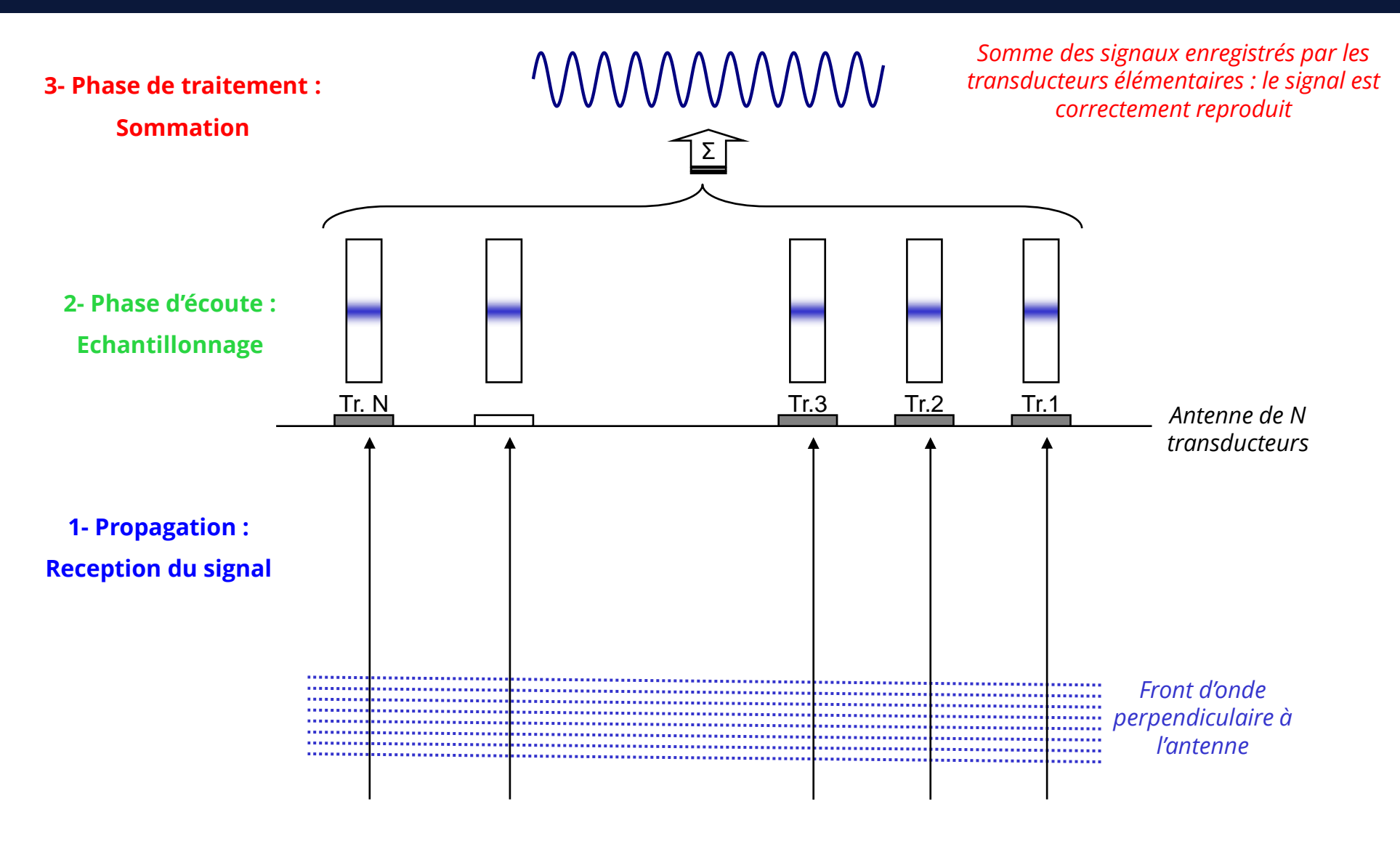
Pour émettre vers une direction particulière on peut orienter l'antenne perpendiculairement à cette direction.



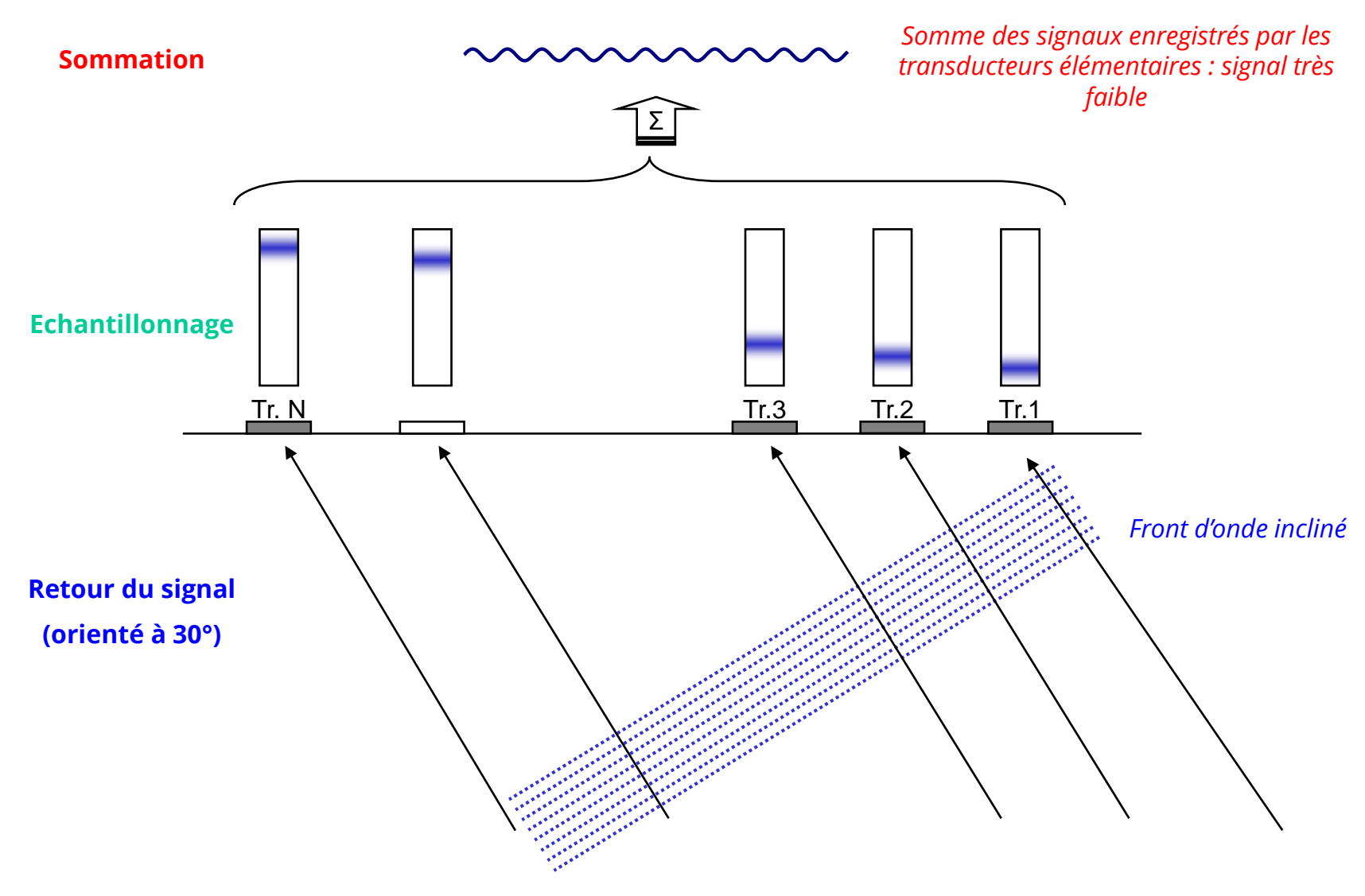
Sans bouger l'antenne il est possible de « dépointer » l'émission dans une direction  $\theta \rightarrow$  « dépointage électronique »



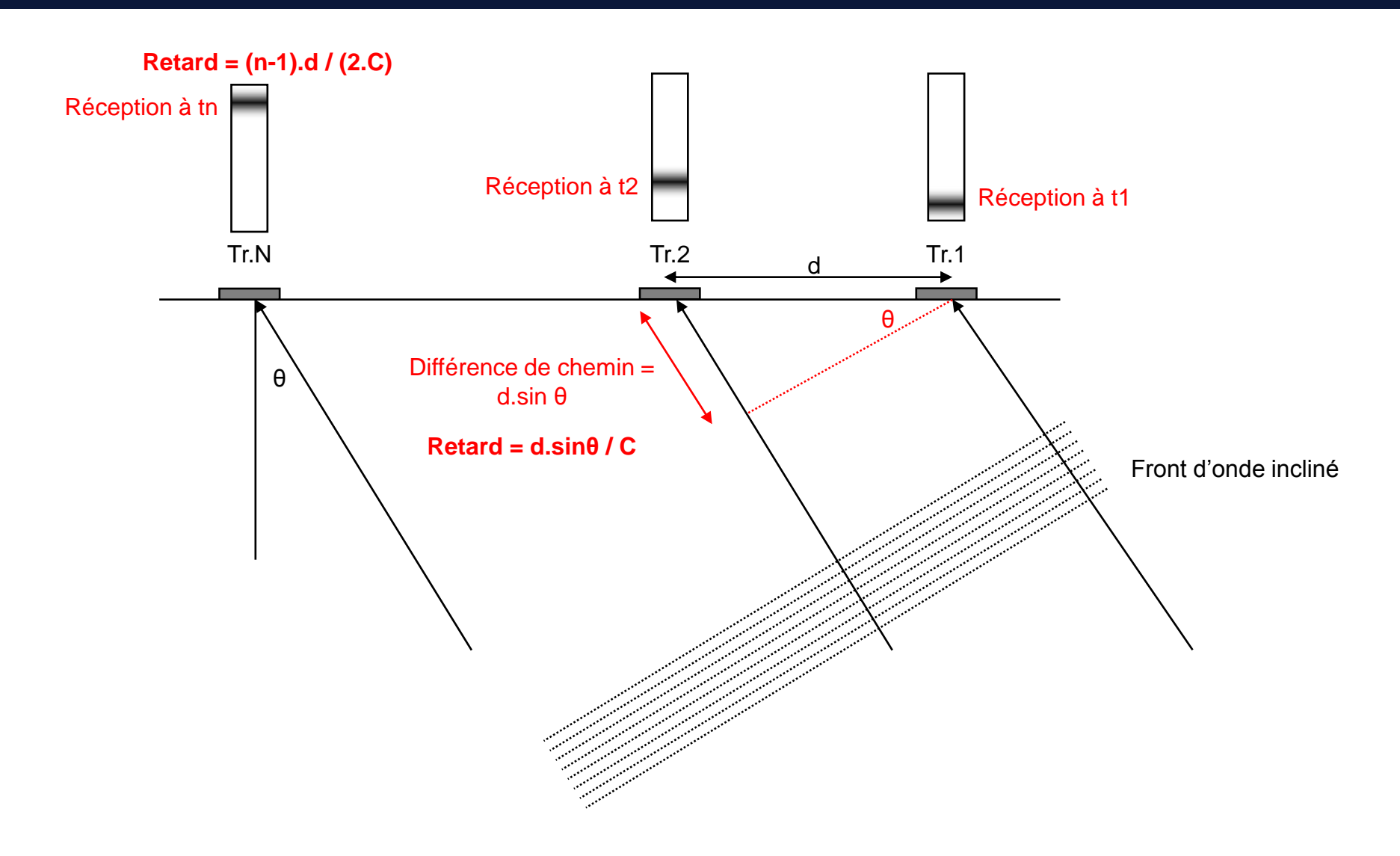




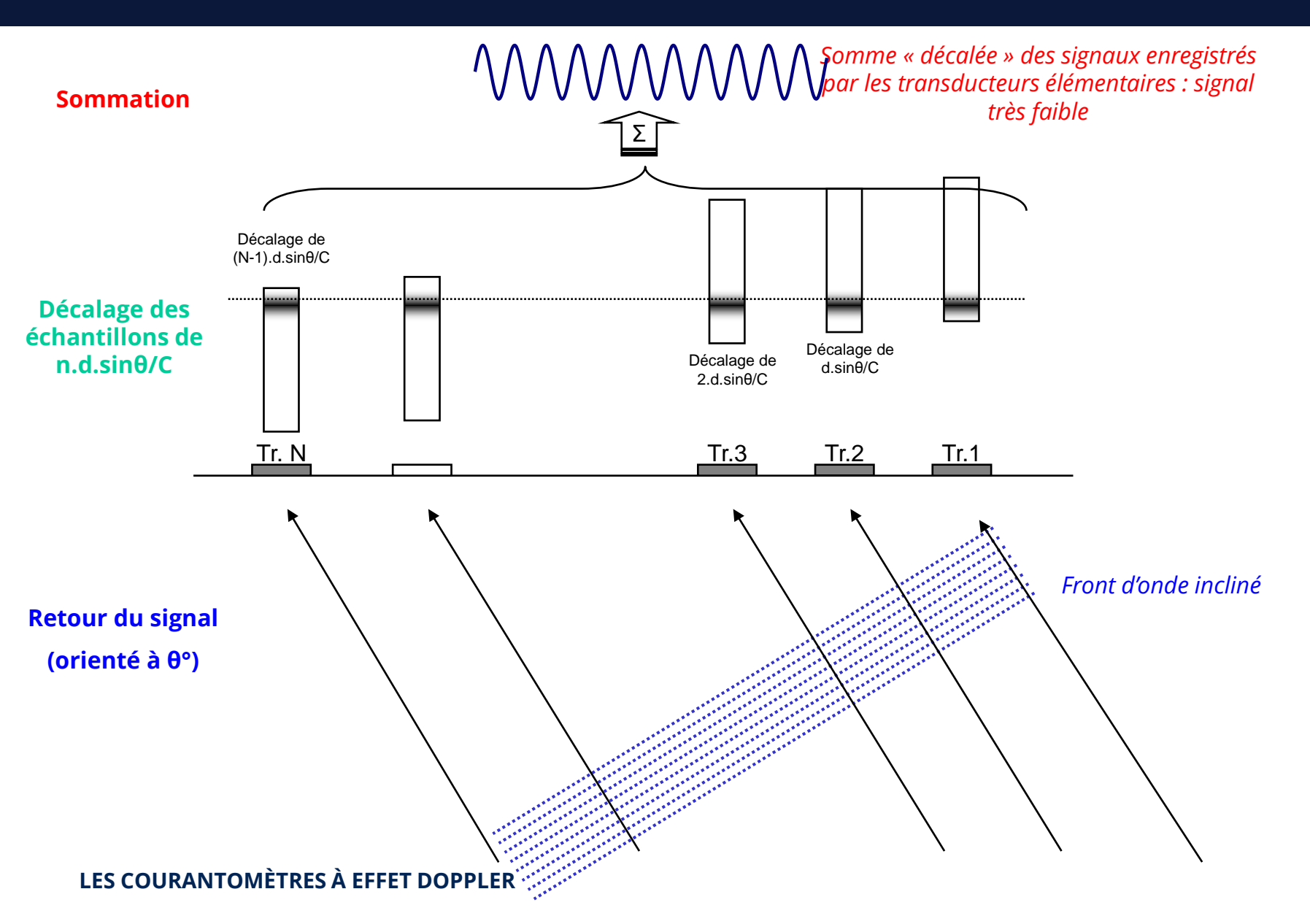








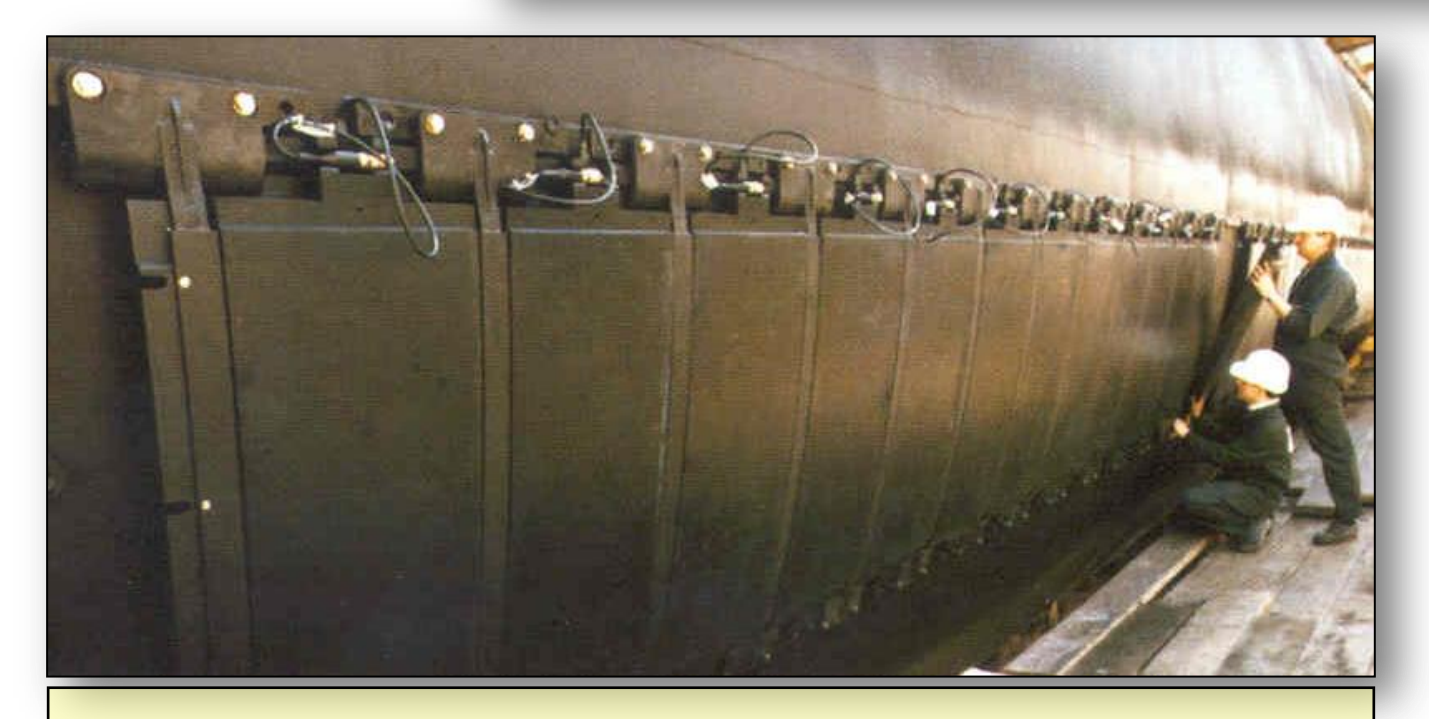






Fonction de directivité:

$$D(\theta, \theta_0) = \left[ \frac{\sin(\pi N \frac{\delta}{\lambda} (\sin \theta - \sin \theta_0))}{N \sin(\pi \frac{\delta}{\lambda} (\sin \theta - \sin \theta_0))} \right]^2$$



Antenne linéaire passive d'écoute de sous-marin (source Thalès)





T2: Tr2 transmits - Tr1 echo goes away

T3: Tr3 transmits - Tr1 and Tr2 go away

#### Etc...

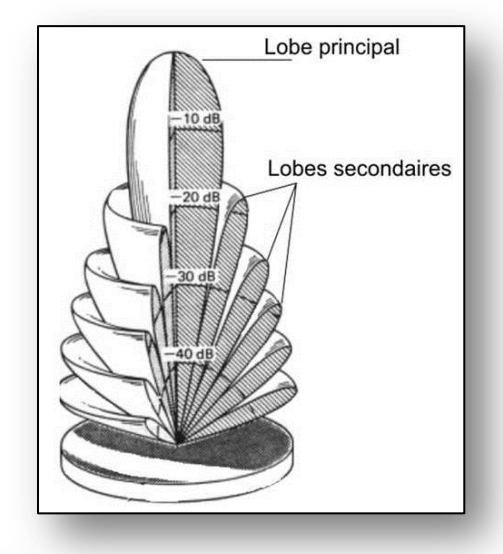
Because of constructive/destructive waves, a sound wave is steered in a particular direction

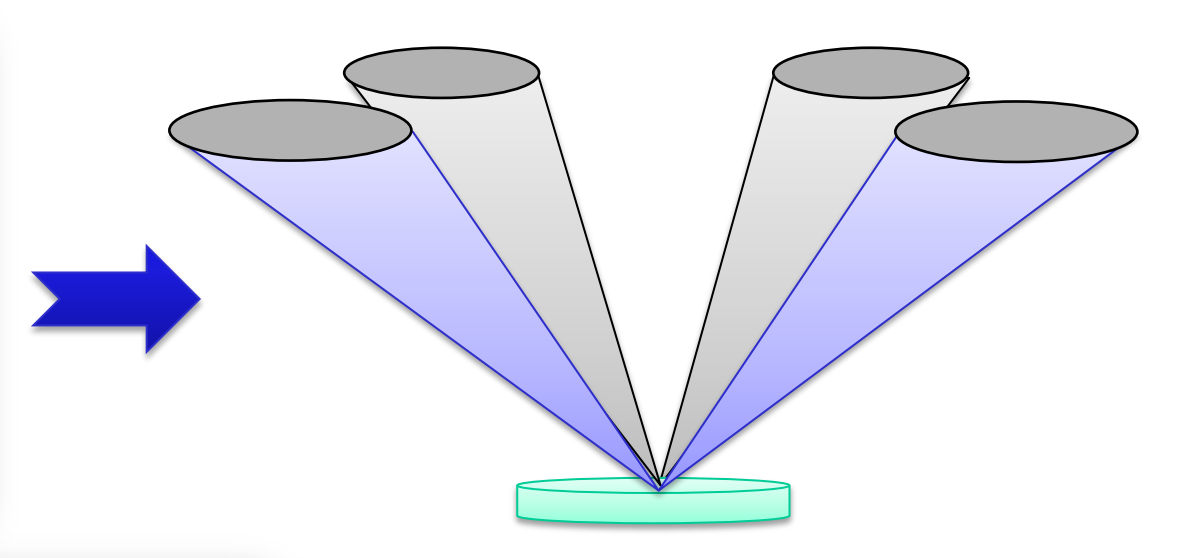
The steering angle is opposite to the pitch value (compensation)

The delay between each Tr ping is defined according to the pitch value and the sound velocity measurement.

Principe de réciprocité : le diagramme de directivité à l'émission et identique en réception





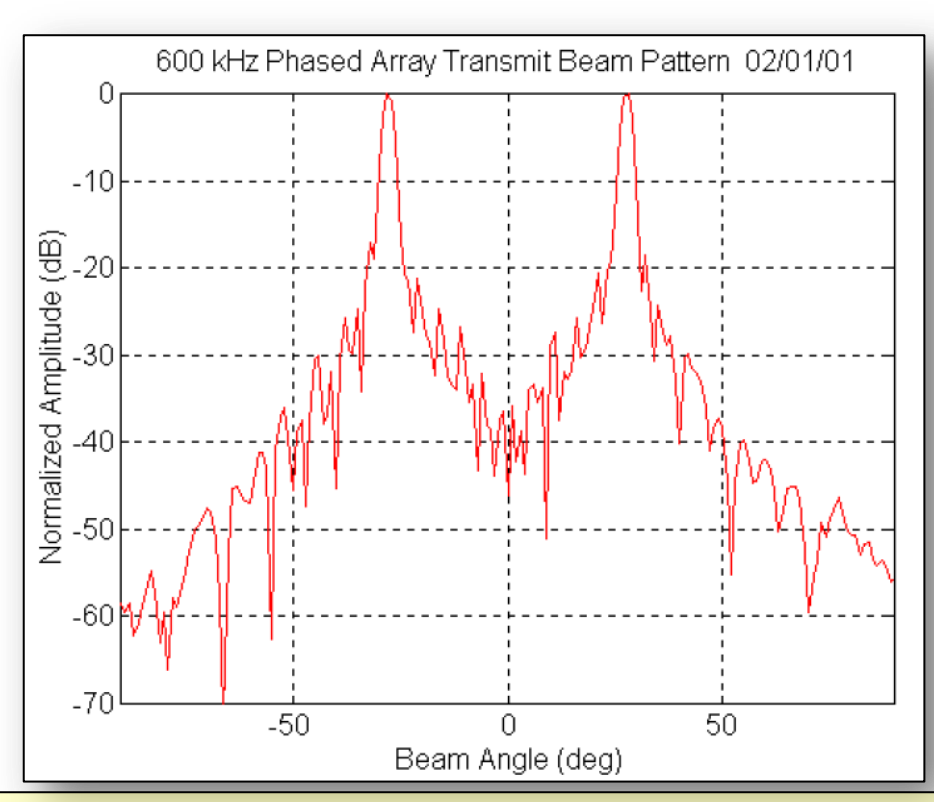




Comparison of a 600kHz developmental phased array transducer with a standard four piston 600kHz Workhorse transducer (Teledyne-RDI)

LES COURANTOMÈTRES À EFFET DOPPLER





Transmit beam pattern of a developmental 600 kHz phased array.

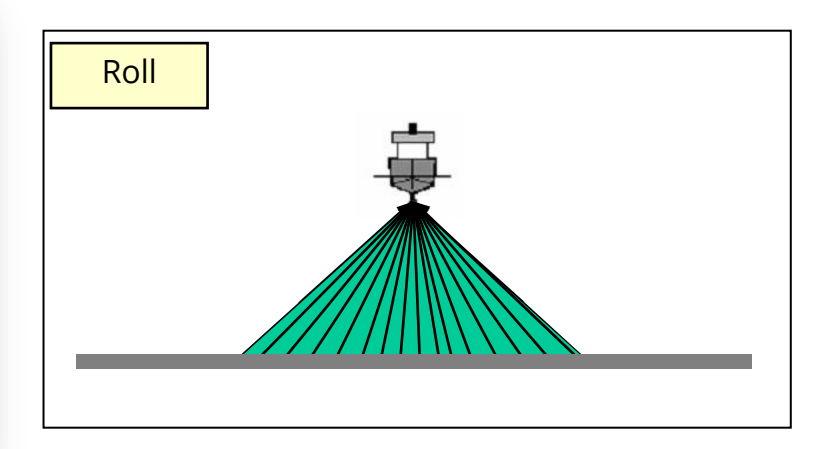
2 faisceaux fixes à ±30° pour une matrice.

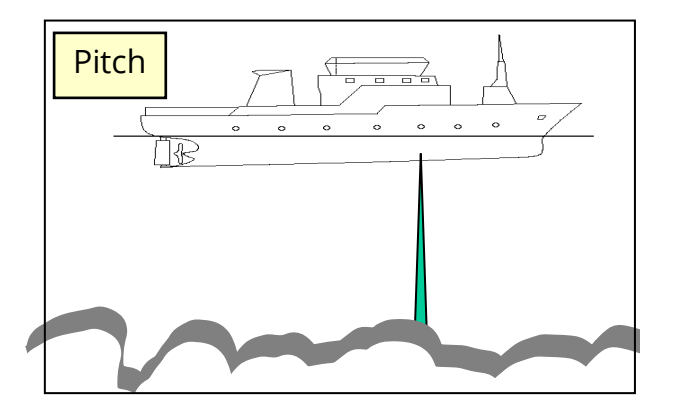
Deux matrices supperposées composent ainsi les 4 faisceaux d'un Ocean Surveyor.

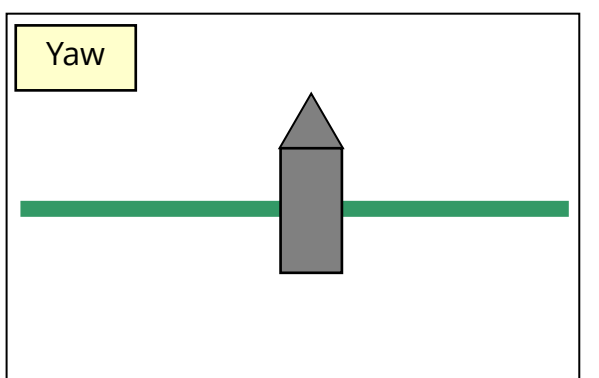


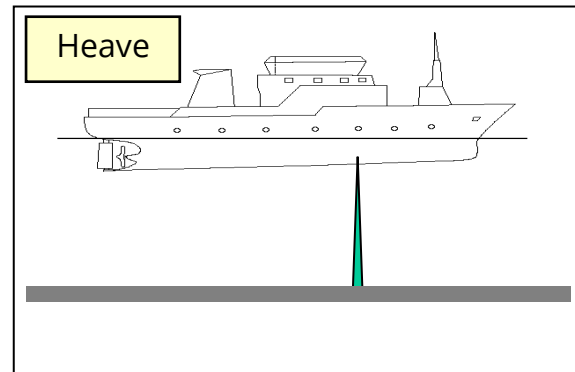
# Les sondes sont maintenant référencées par rapport au sondeur. Mais le navire bouge!!



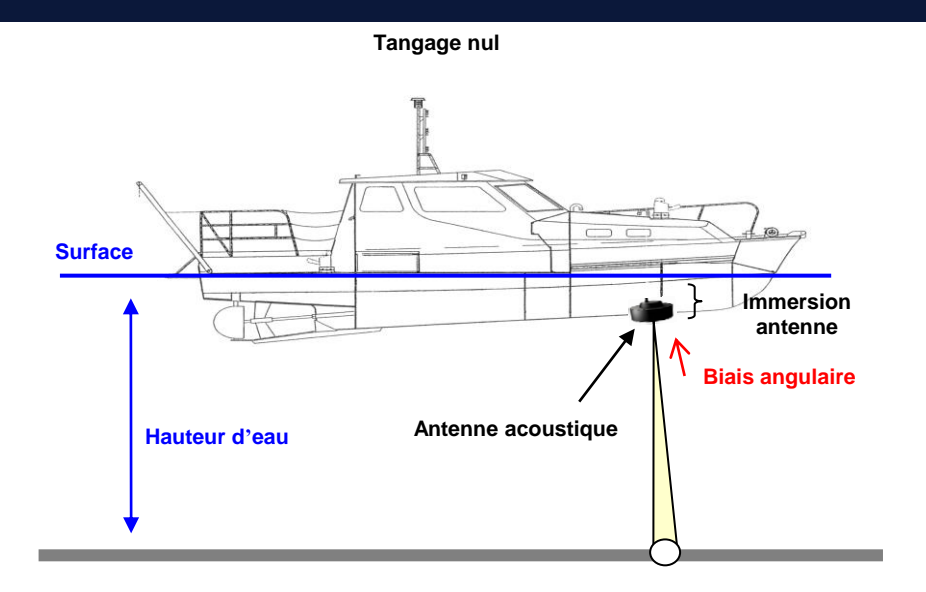


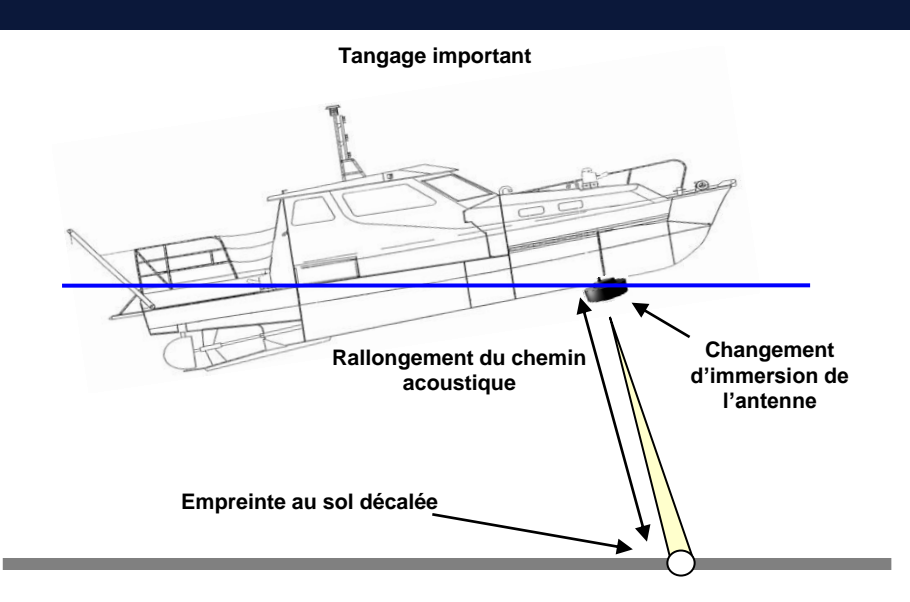






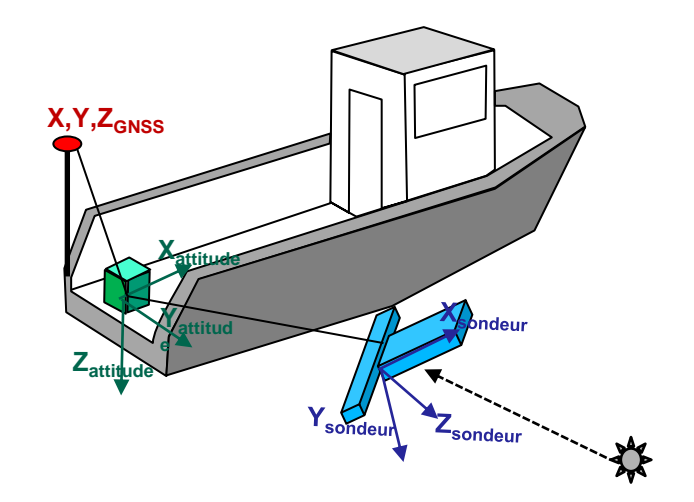






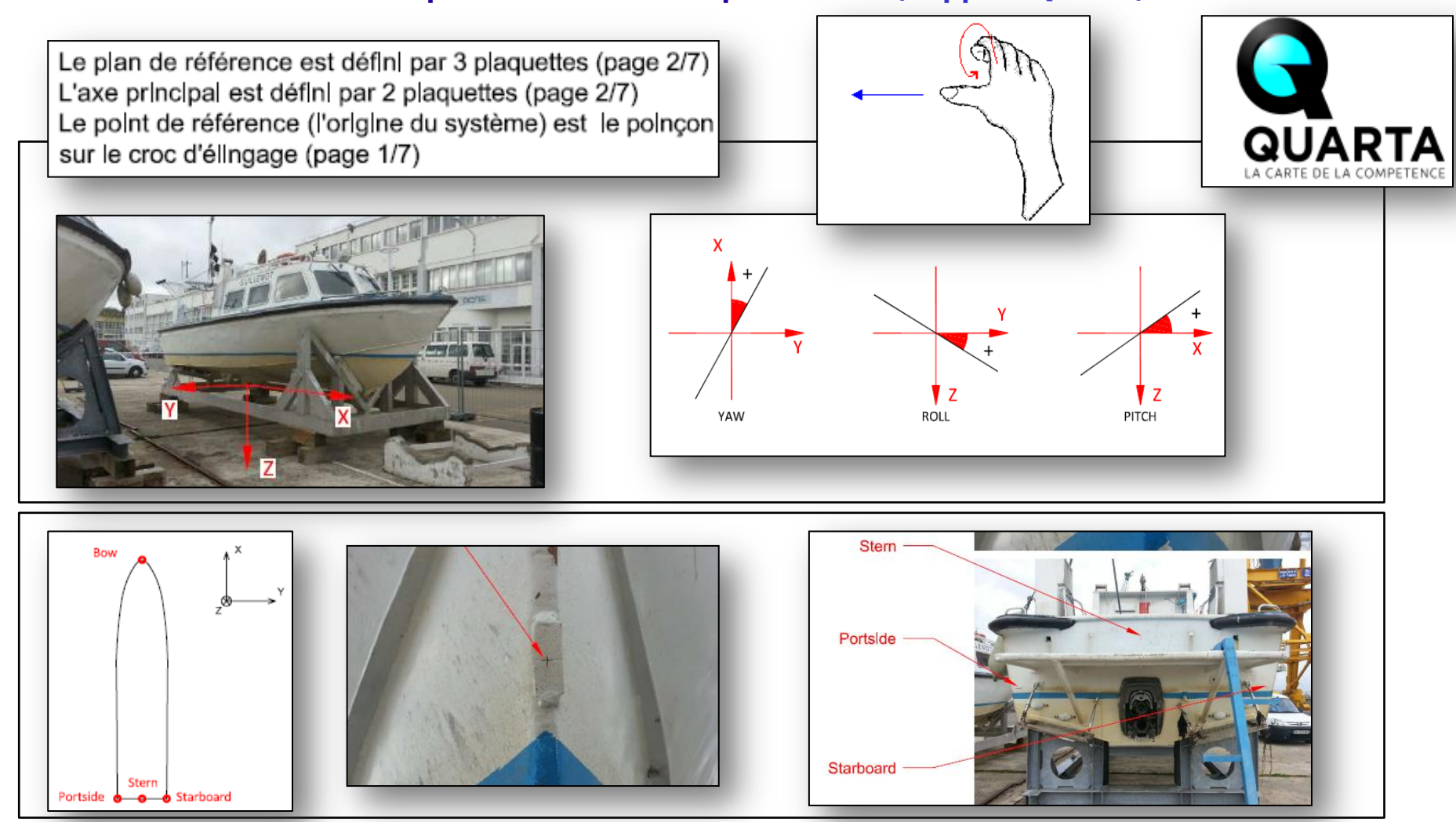


Nécessité d'avoir une capteur d'attitude et de connaître la position entre ce capteur d'attitude et le sondeur



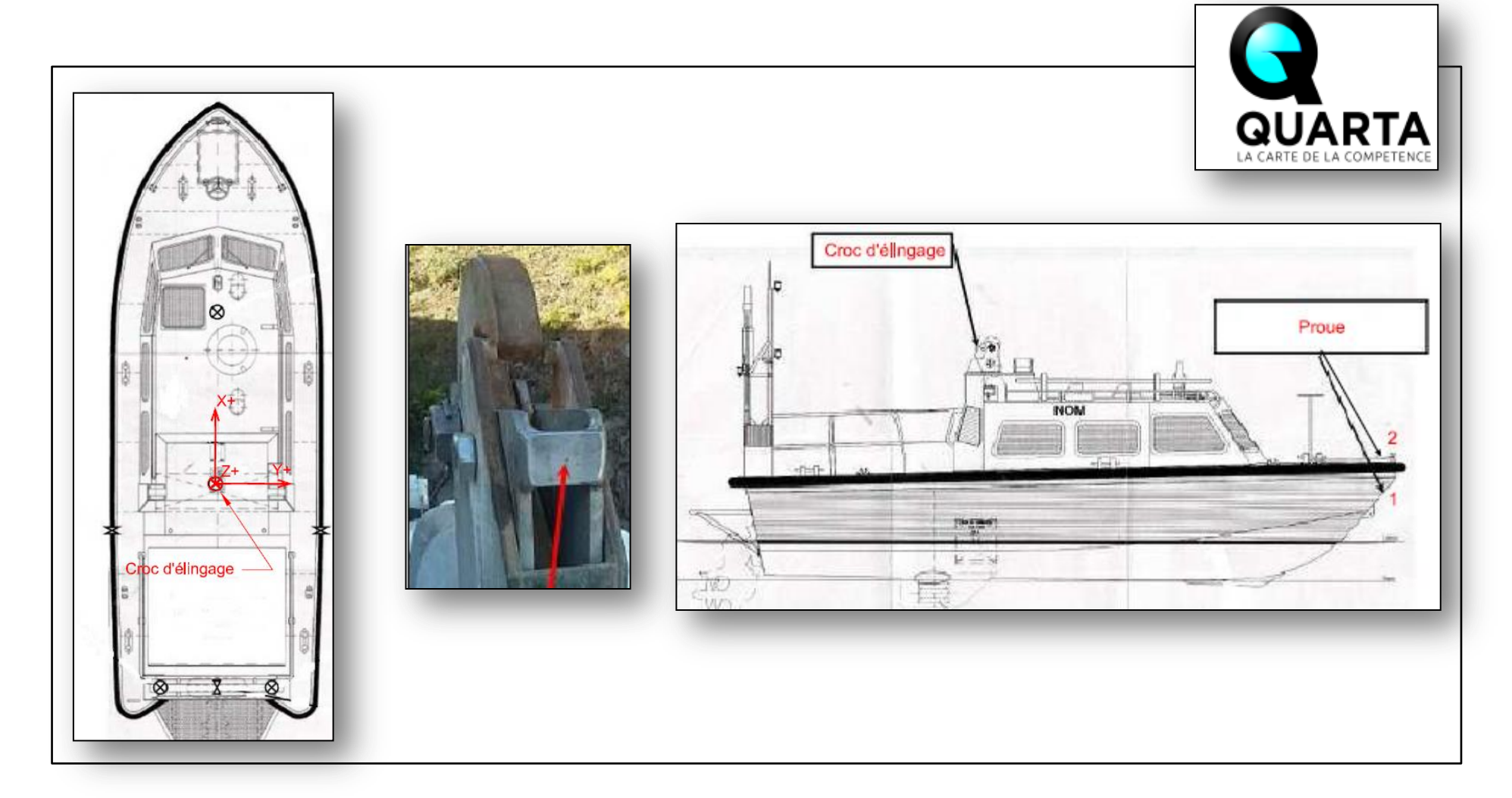


## **Exemple de Cormoran : repère navire (Rapport Quarta)**

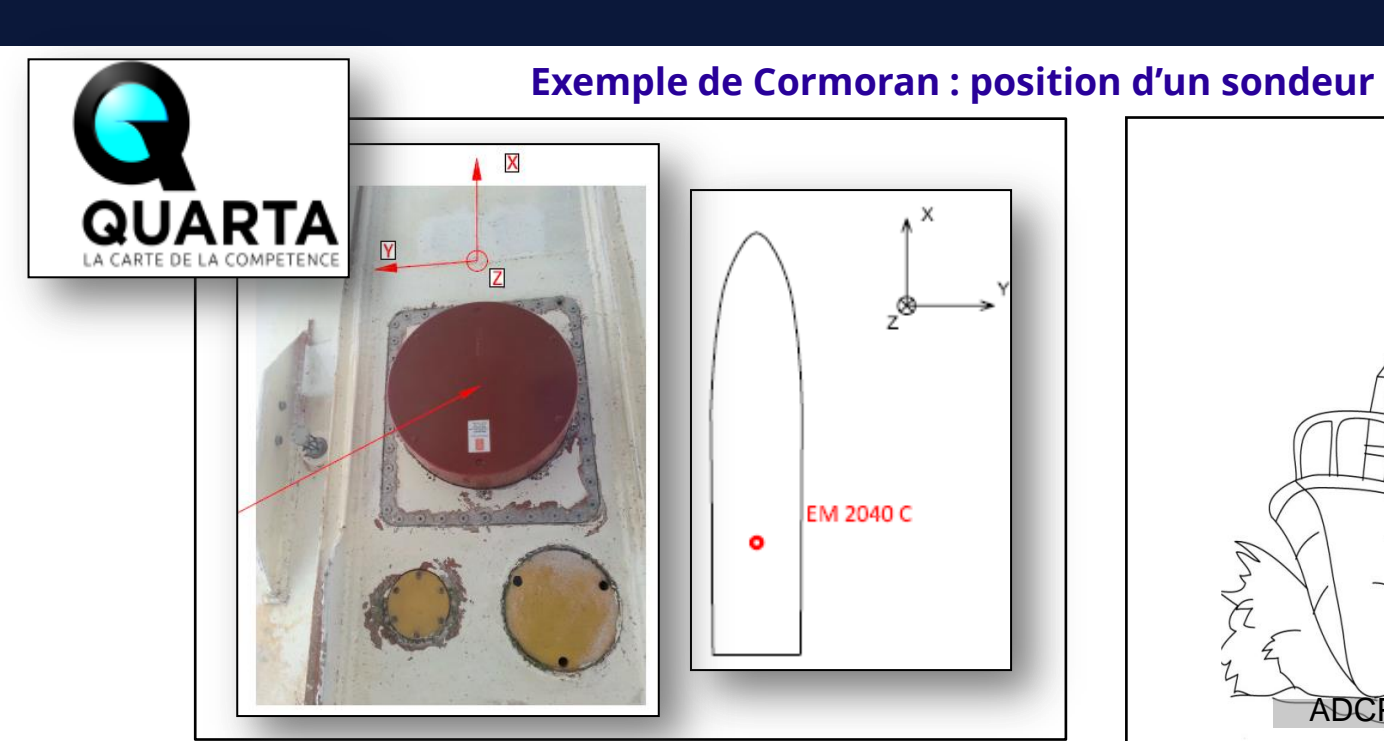


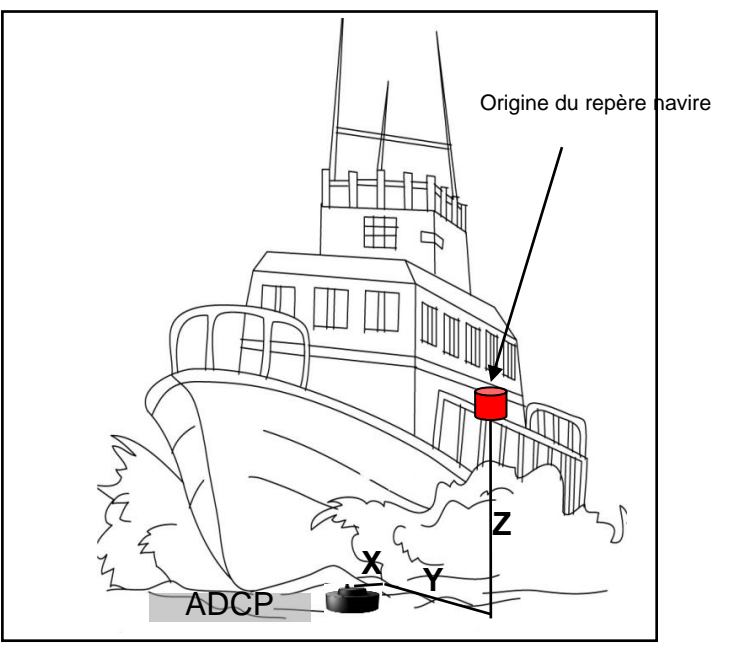


# **Exemple de Cormoran : origine navire**

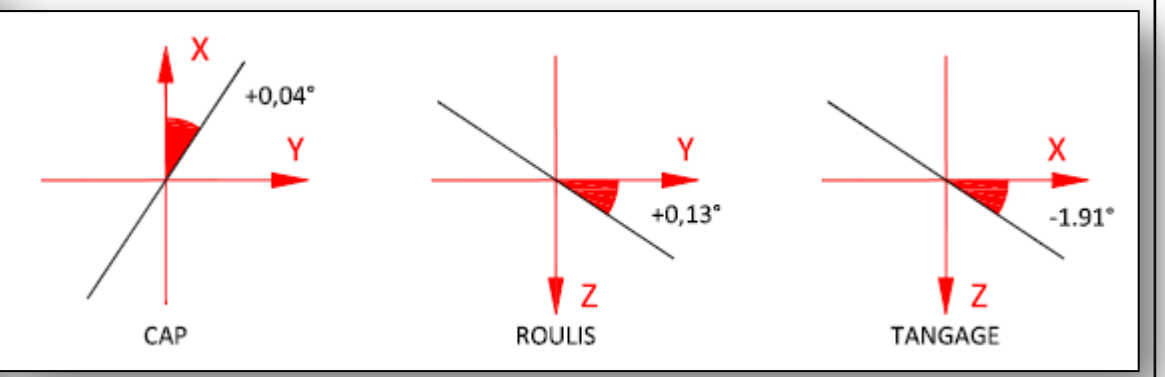






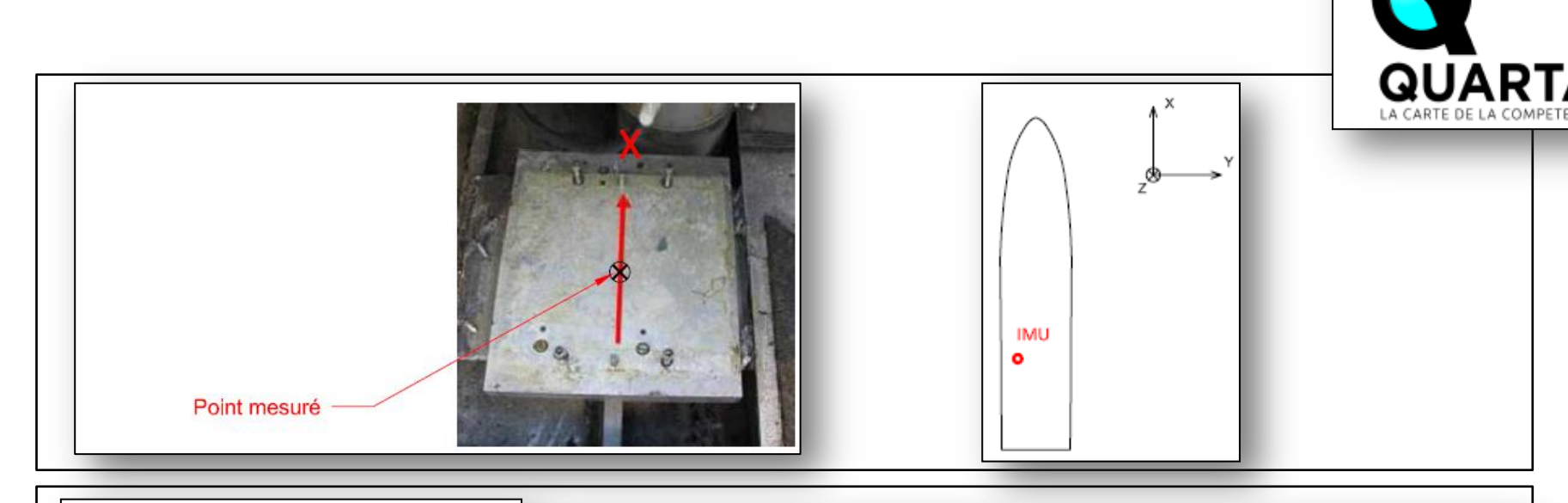


Point	COORDONNEES		PRECISION
EM 2040C	X (m)	-0.560	±0.002
	Y (m)	-0.002	±0.002
	Z (m)	2.762	±0.002
Point	ANG	LES	PRECISION
Point	ANG	LES +0.04°	PRECISION
Point EM 2040C			

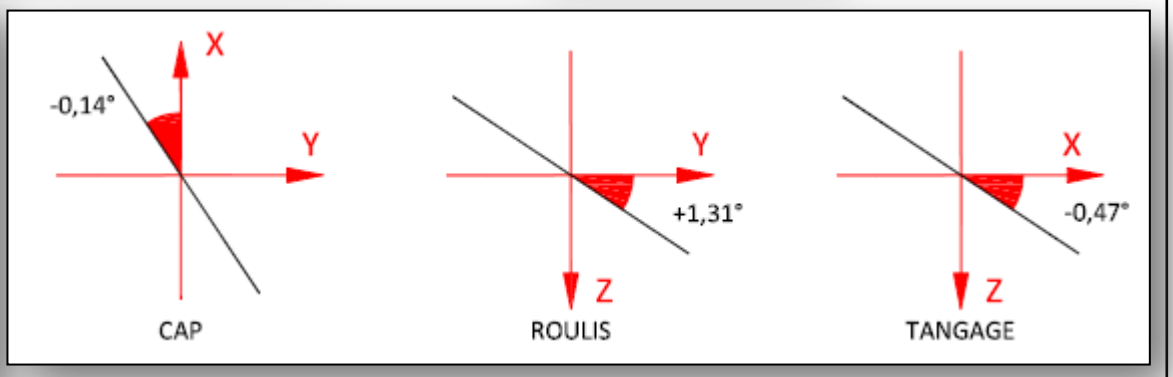




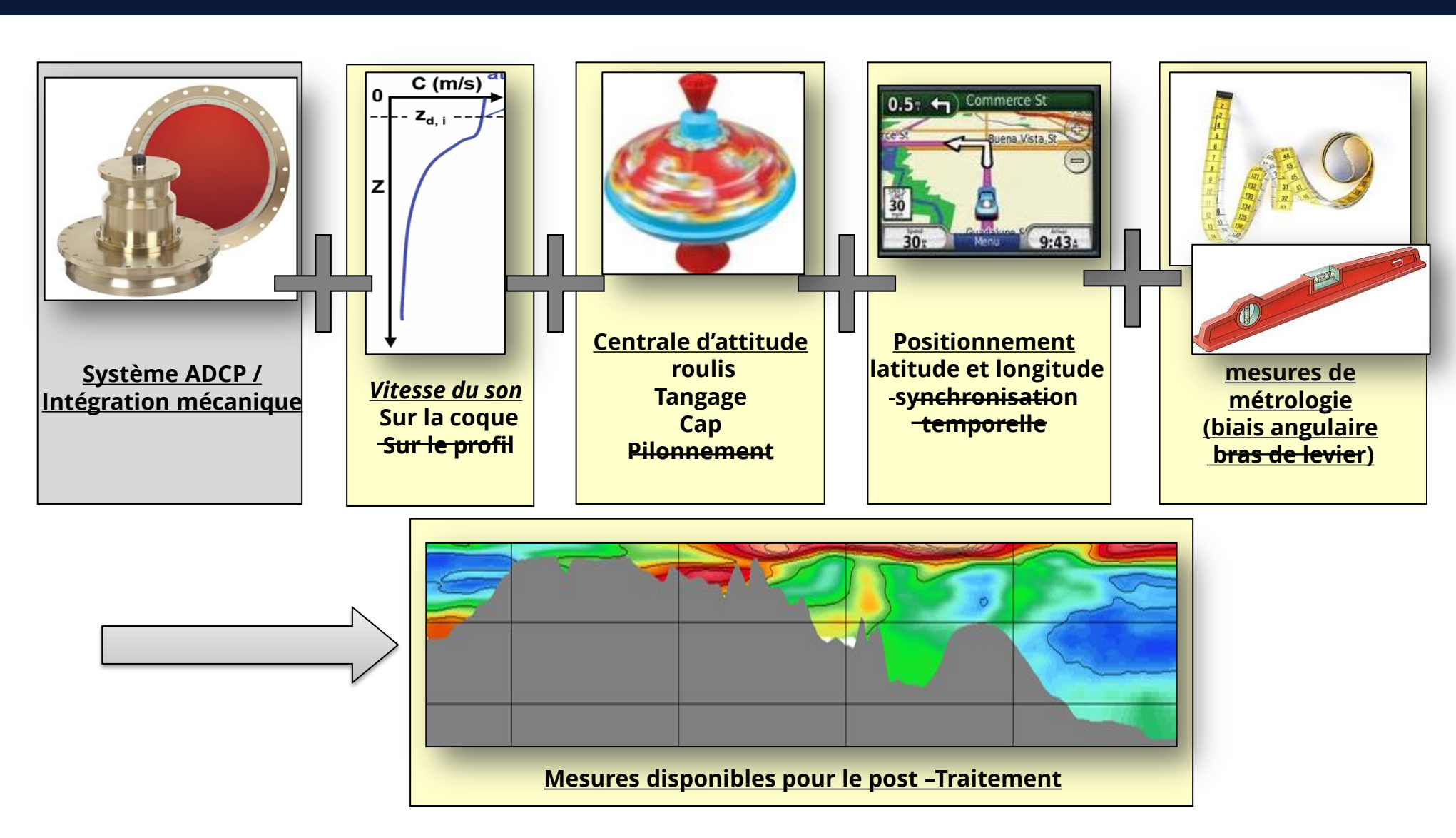
# Exemple de Cormoran : position de la semelle d'accueil de la centrale d'attitude



COORDONNEES		PRECISION
X (m)	-0.650	±0.002
Y (m)	-0.475	±0.002
Z (m)	2.404	±0.002
ANGLES		PRECISION
CAP	-0.14°	±0.02°
ROULIS	+1.31°	±0.01°
	X (m) Y (m) Z (m)  ANG	X (m) -0.650 Y (m) -0.475 Z (m) 2.404  ANGLES  CAP -0.14°







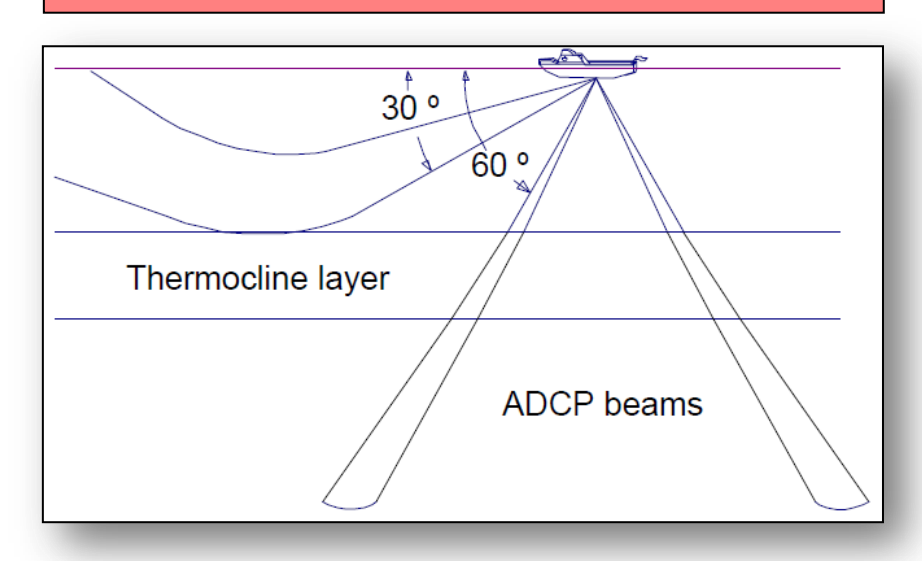


L'utilisation des bras de levier n'est pas utilisé pour corriger l'immersion des cellules. Seuls les biais angulaires sont utilisés

Exemple BHO Beautemps-Beaupré : Bras de levier en X = 14m → Si tangage de 10° Alors erreur en Z de 2,5m

Datation du VM-ADCP avec l'heure PC. Pas de prise en compte automatique de l'heure GPS

Le calcul de la réfraction n'est pas appliqué.



Moyenne des mesures d'attitudes discutable

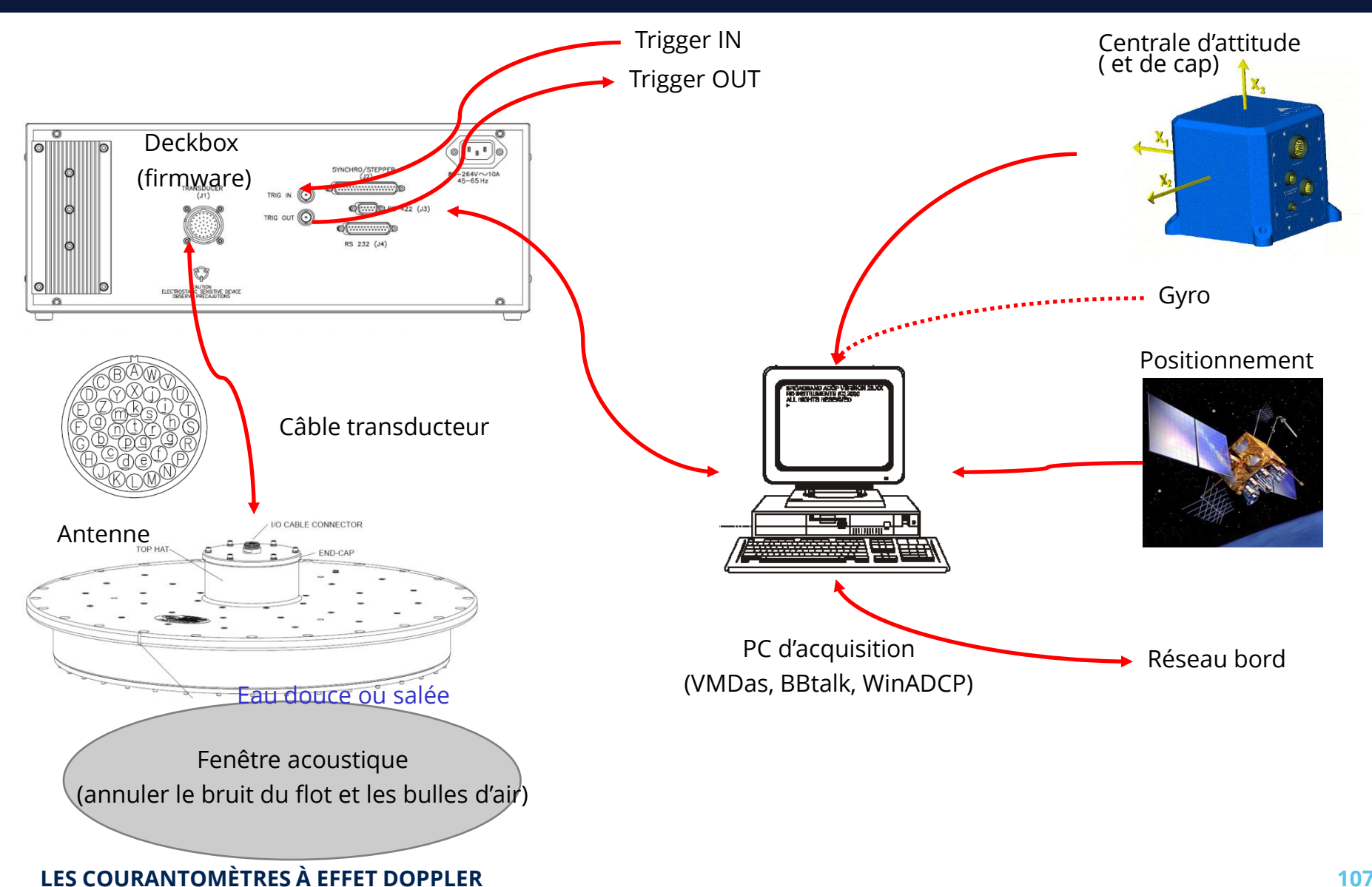
ADCP prêt à pinger

Réception des données par le PC

Temps

Intégration des données d'attitude et moyennage : attribution de la valeur calculée au profil





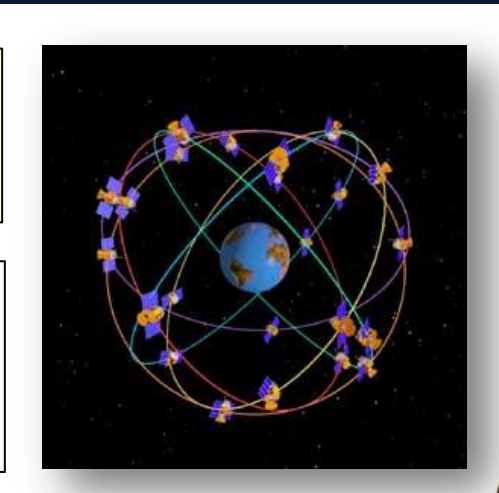


#### Données GNSS (norme NMEA)

- → Position avec la trame GGA
- → Eventuellement la vitesse avec la trame VTG

#### GGA: hhmmss.ss,LatN,LonE,QF,NumSat, ...

\$PHGGA,104852.71,2515.658070,N,05516.265055,E,2,07,1.069242,-9.670389,M,0.000000,M,11.400000,0240\*63 \$PHVTG,217.552750,T,217.552750,M,0.025349,N,0.046947,K,D\*28 \$HEHDT,320.914,T\*22 \$PASHR,104852.718,320.91,T,+0.06,+0.40,+0.01,0.015,0.016,0.028,1,0\*3D



Attitude distribuée par la centrale d'attitude. Trame "PRDID"



PRDID: Roll, Pitch, Heading)

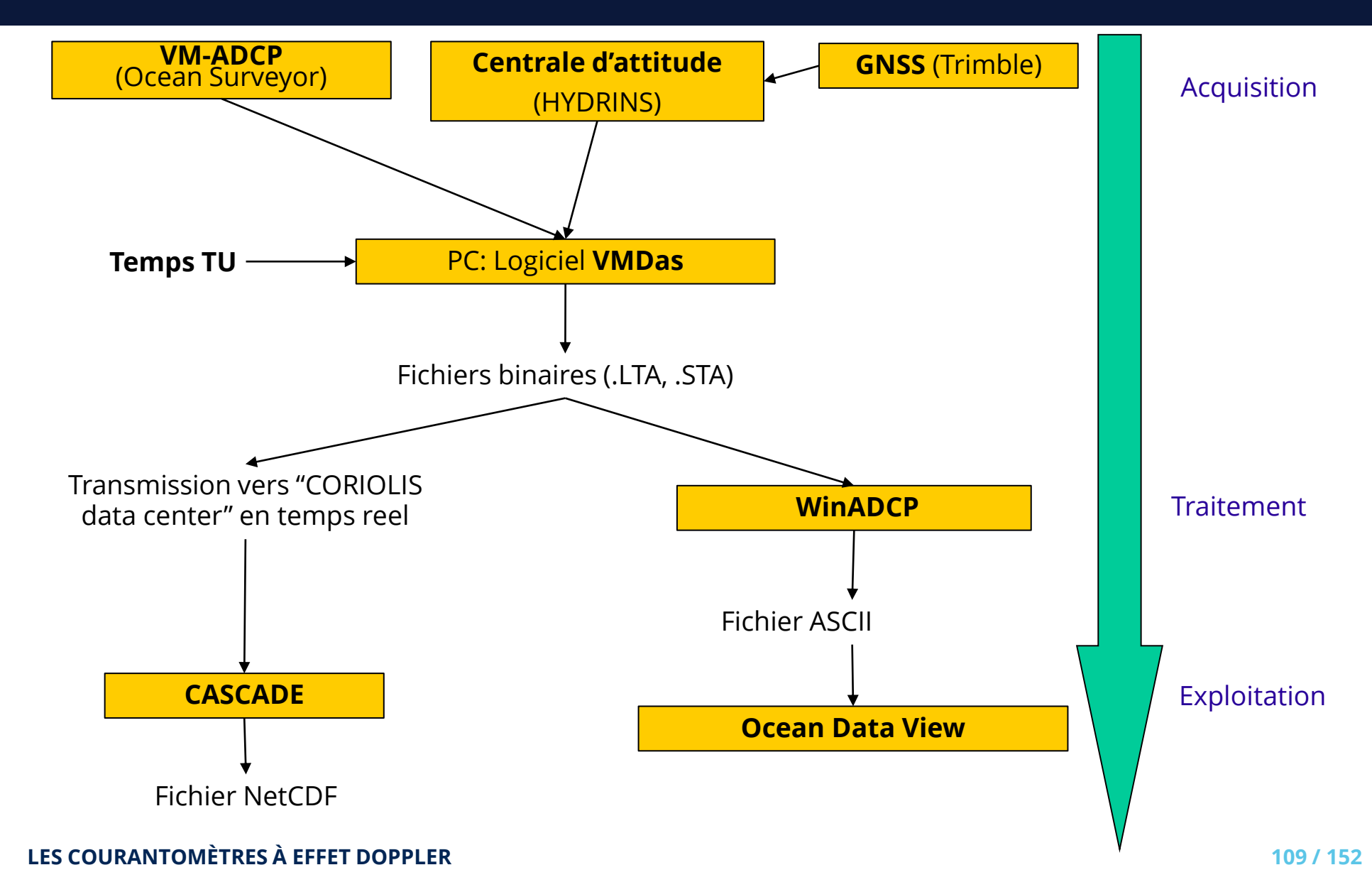
\$PRDID,+000.14,+000.15,055.05 \$PRDID,+000.13,+000.18,055.04 \$PRDID,+000.13,+000.22,055.04 \$PRDID,+000.13,+000.25,055.06 \$PADCP,1,20050304,052328.00 A défaut du PRDID, la trame PASHR délivre le roulis et le tangage et la trame HDT délivre le cap

PASHR: ,,,,Roll,Pitch,,,,,, \$PASHR,192406.407,265.89,T,+1.61,-1.02,+0.13,0.004,0.004,0.038,1,0\*3B

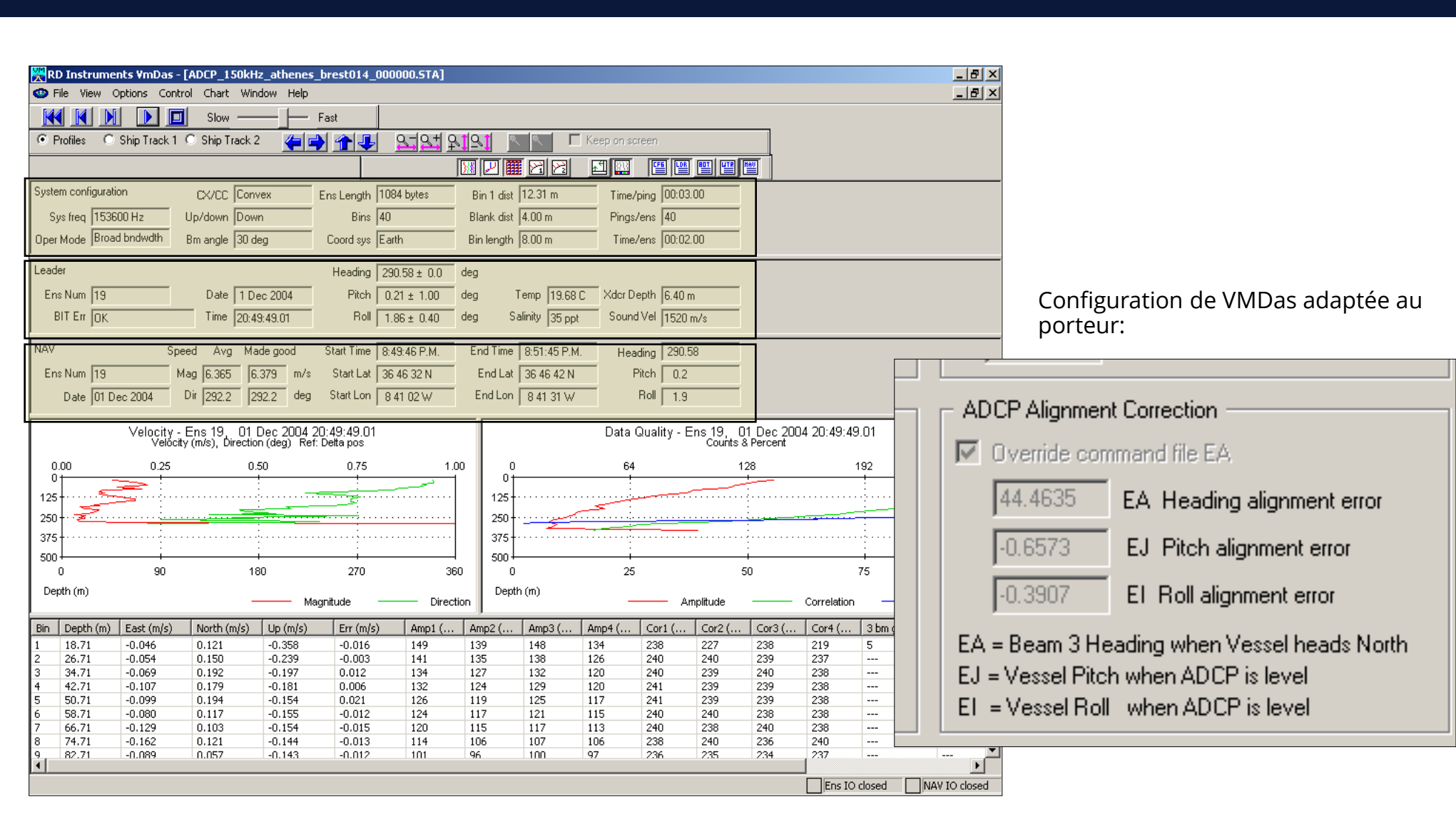
HDT: heading \$HEHDT,265.895,T\*2A

Depuis peu : mesures d'attitude de type "SimradEM" disponible.







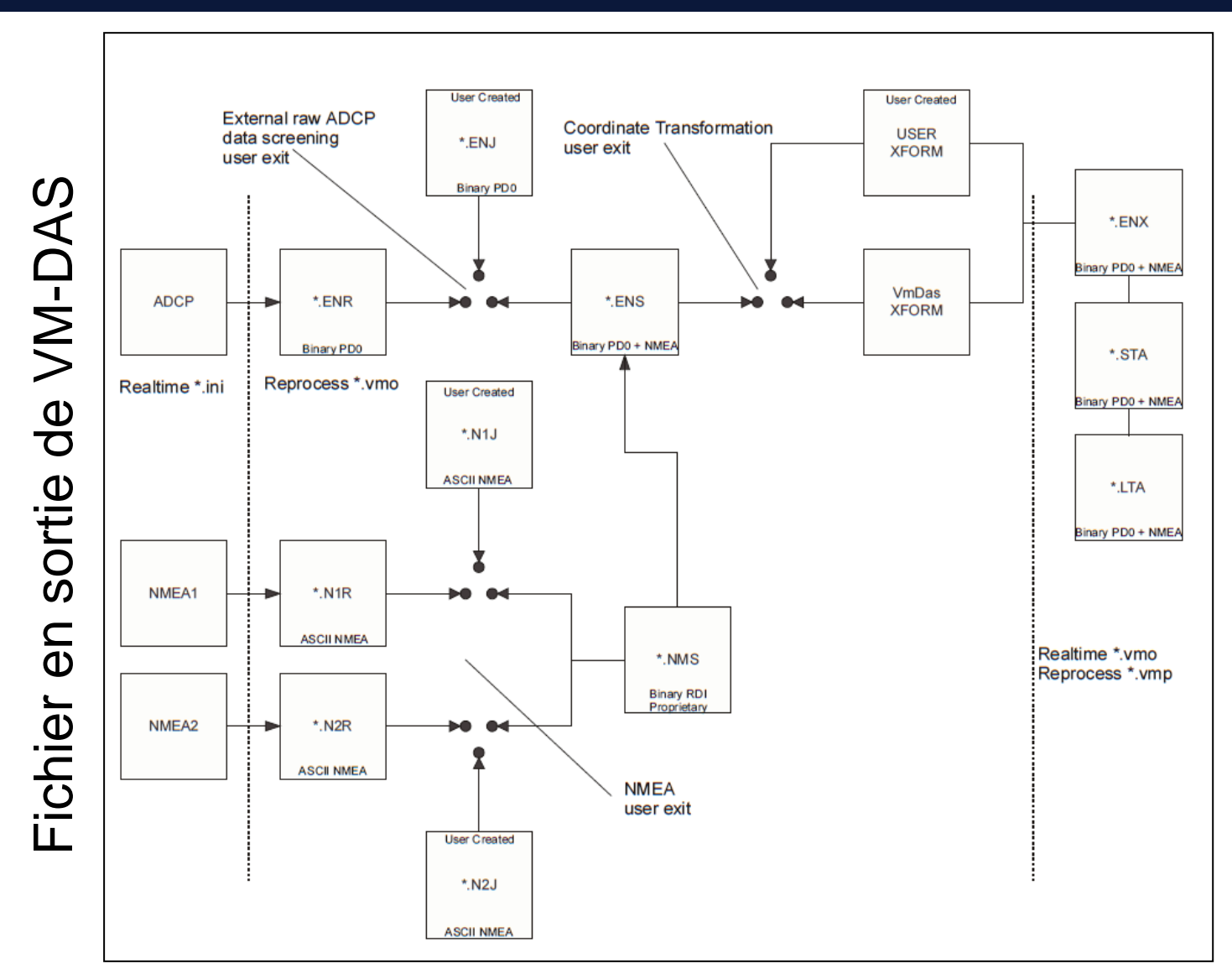


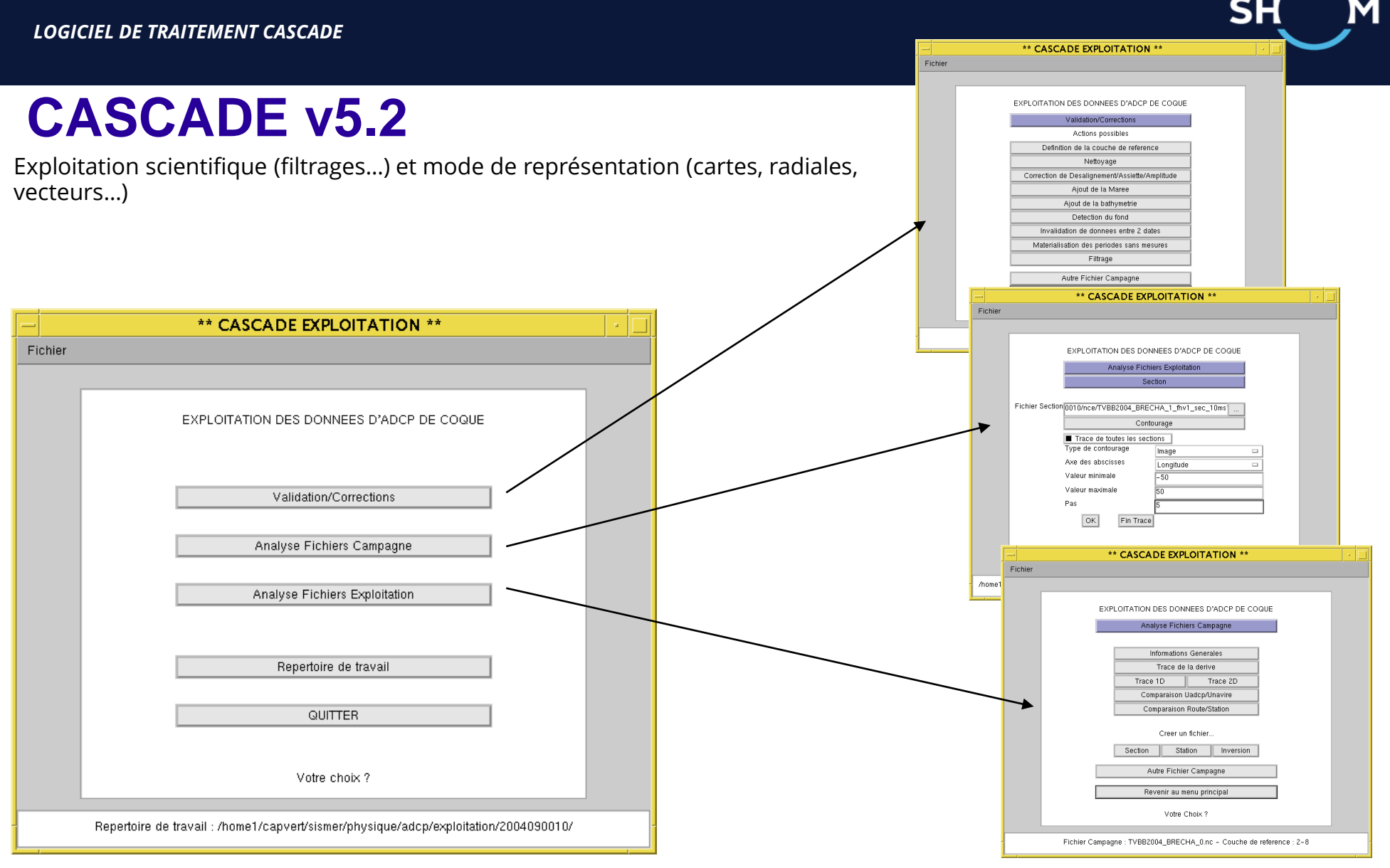




**Lien vers VM-DAS** 



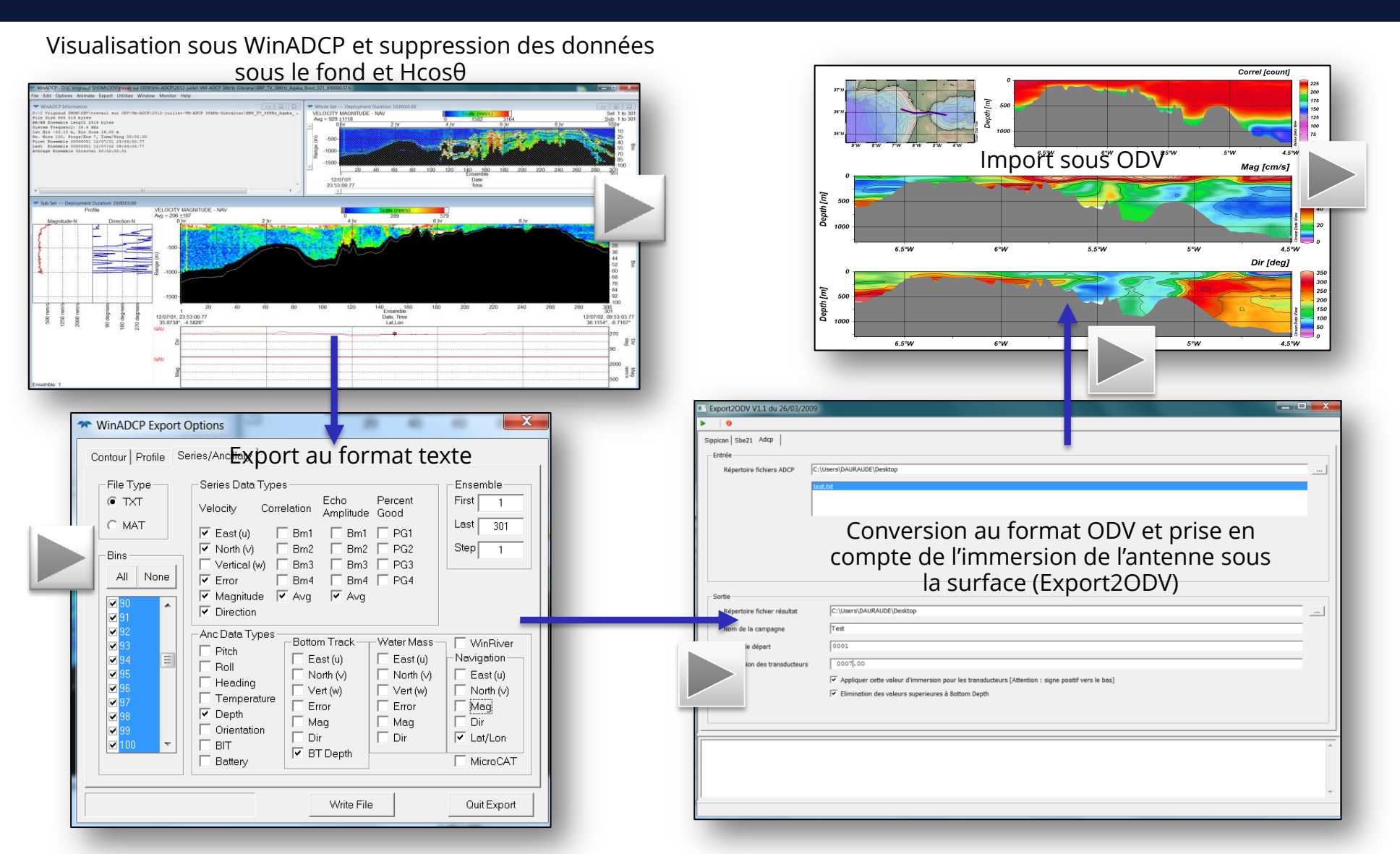




## **VM-ADCP**

#### **LOGICIEL DE CONVERSION ADCP -> ODV**







Non protégé

**GHOA** 



Procédure spécifique

Mise en oeuvre et intégration des ADCP de coque du BBP

http://agora.shom.fr/docQual/2014/PS/PS2014-023

Etat : Approuvé

Version:

Dernière modification le 2017/03/20 15:25

christophe.cadour@shom.fr Secrétariat GHO brestois le 2014/07/02 09:31

david.guillerme@shom.fr Correspondant qualité du GOA

jean-claude.le.gac@shom.fr Directeur du GOA le 2014/12/23 12:43

Non protégé

DMGS/IES



Guide

Utilisation de la routine de conversion des données "Export2odv".

http://agora.shom.fr/docQual/2008/GU/GU2008-024

Etat: Approuvé

Version:

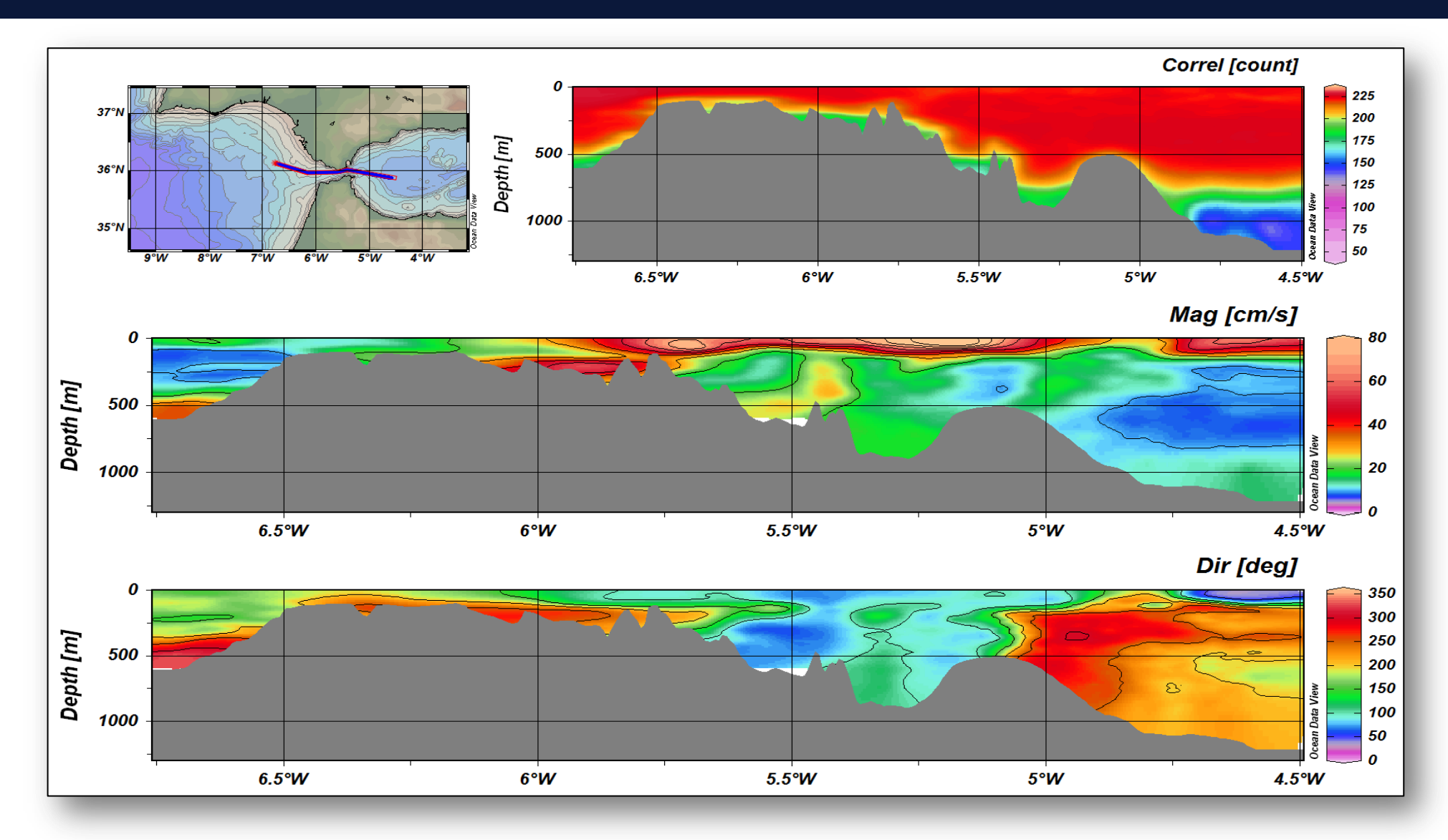
Dernière modification le 2016/09/14 12:58

christophe.vrignaud@shom.fr le 2009/05/25 12:08

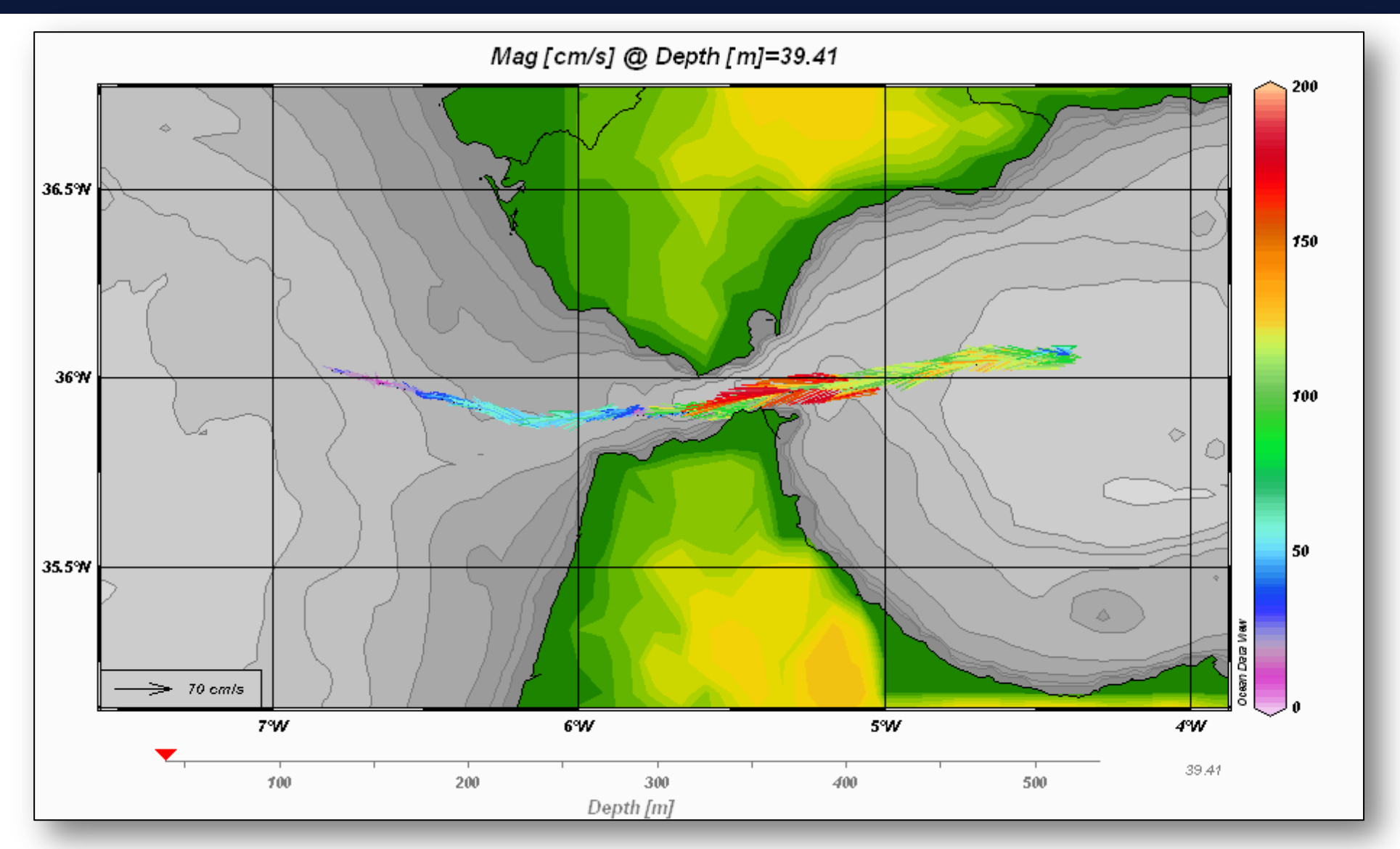
Vérificateur david.moreau@shom.fr Correspondant qualité de S3 Movens le 2009/05/25 12:09

Approbateur patrice.laporte@shom.fr Pilote du processus S3 (Movens) le 2009/05/25 14:11

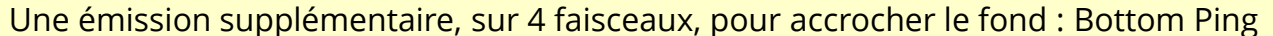


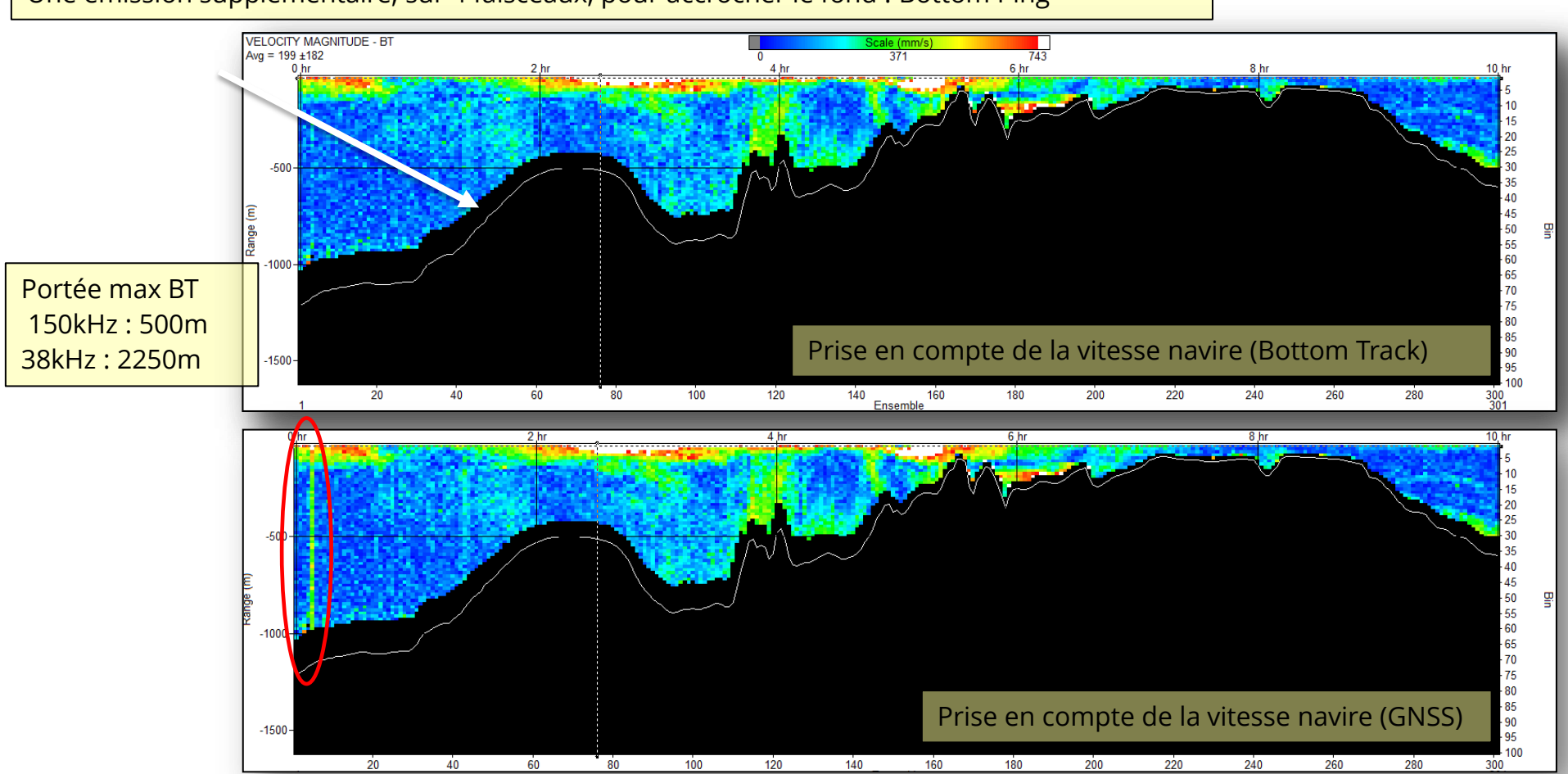








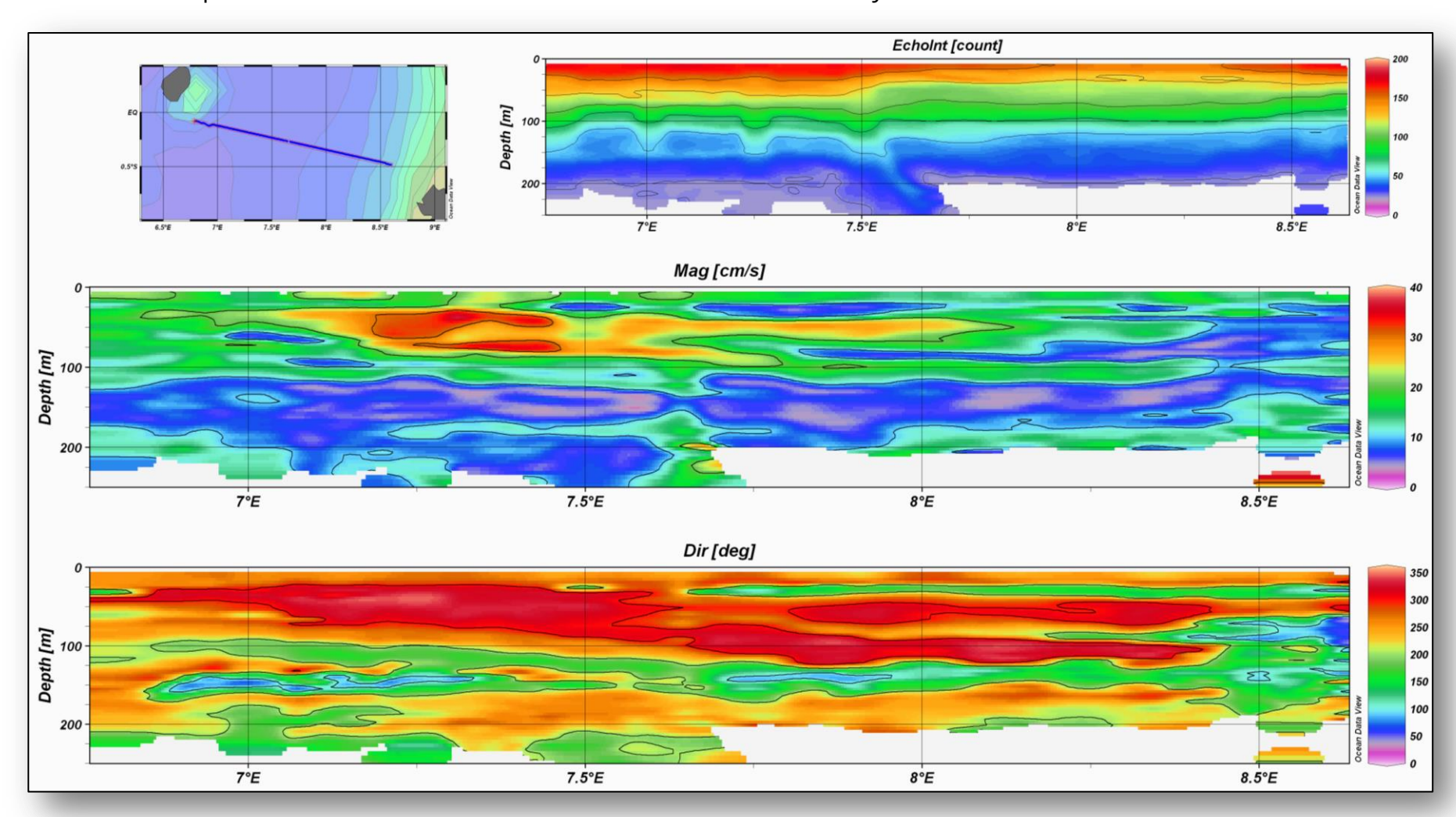




Utile pour maîtriser la vitesse navire et avoir l'information de hauteur d'eau, mais le fond doit être en portée !!



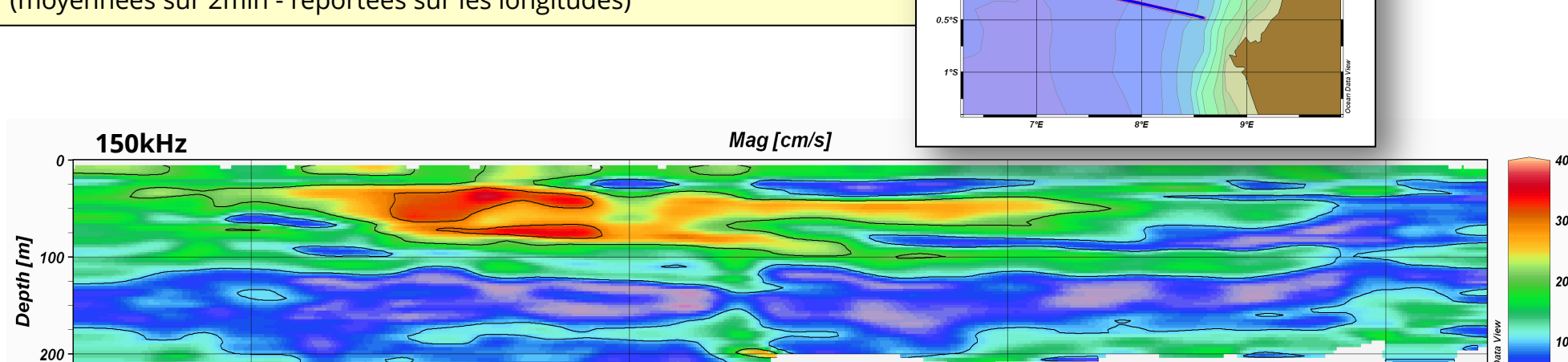
Exemple de la Radiale « OGOOUE » ADCP 150kHz – vitesses moyennées sur 2min



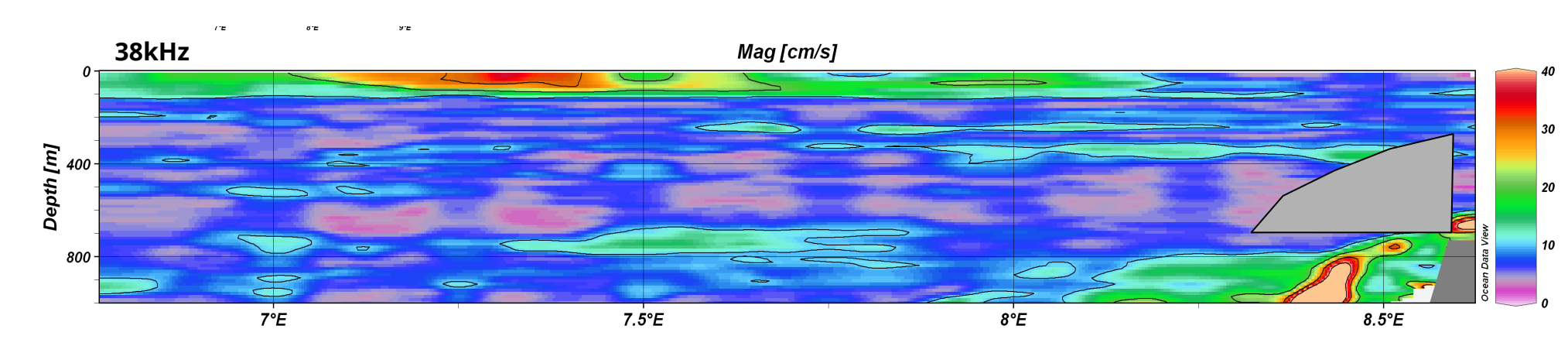
## **VM-ADCP**

**EXEMPLE: OPTIC CONGO** 





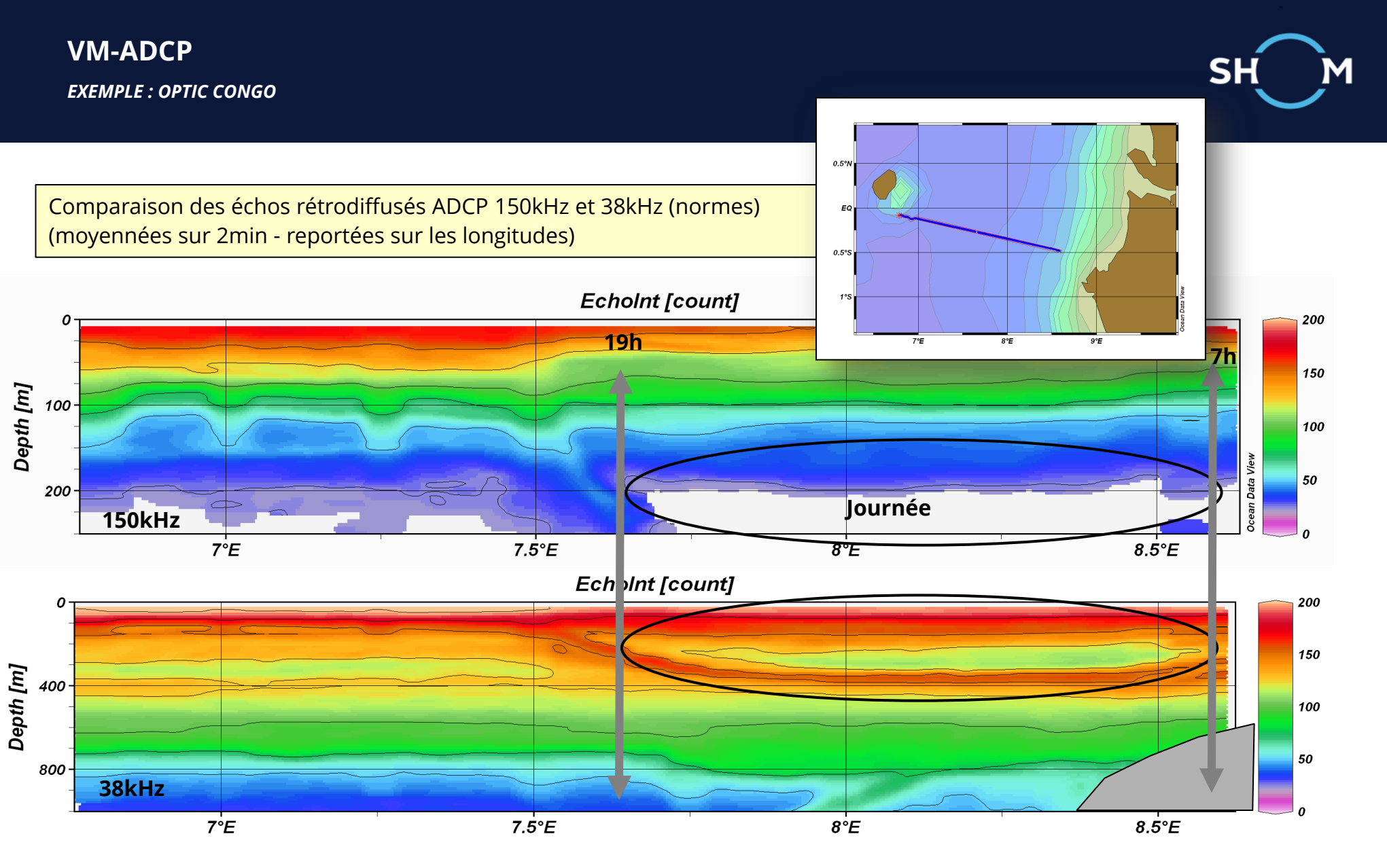
8°E



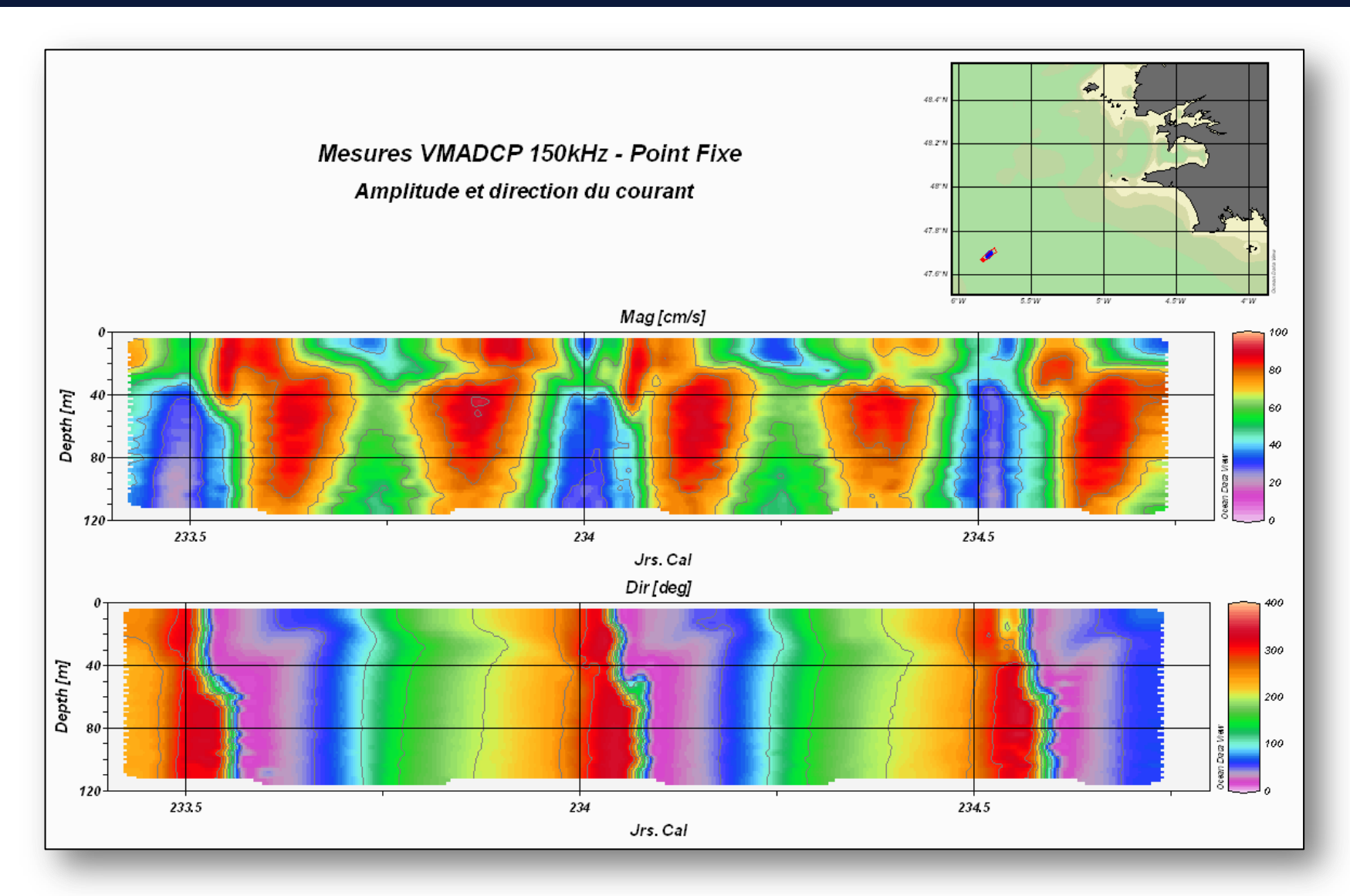
7.5°E

7°E

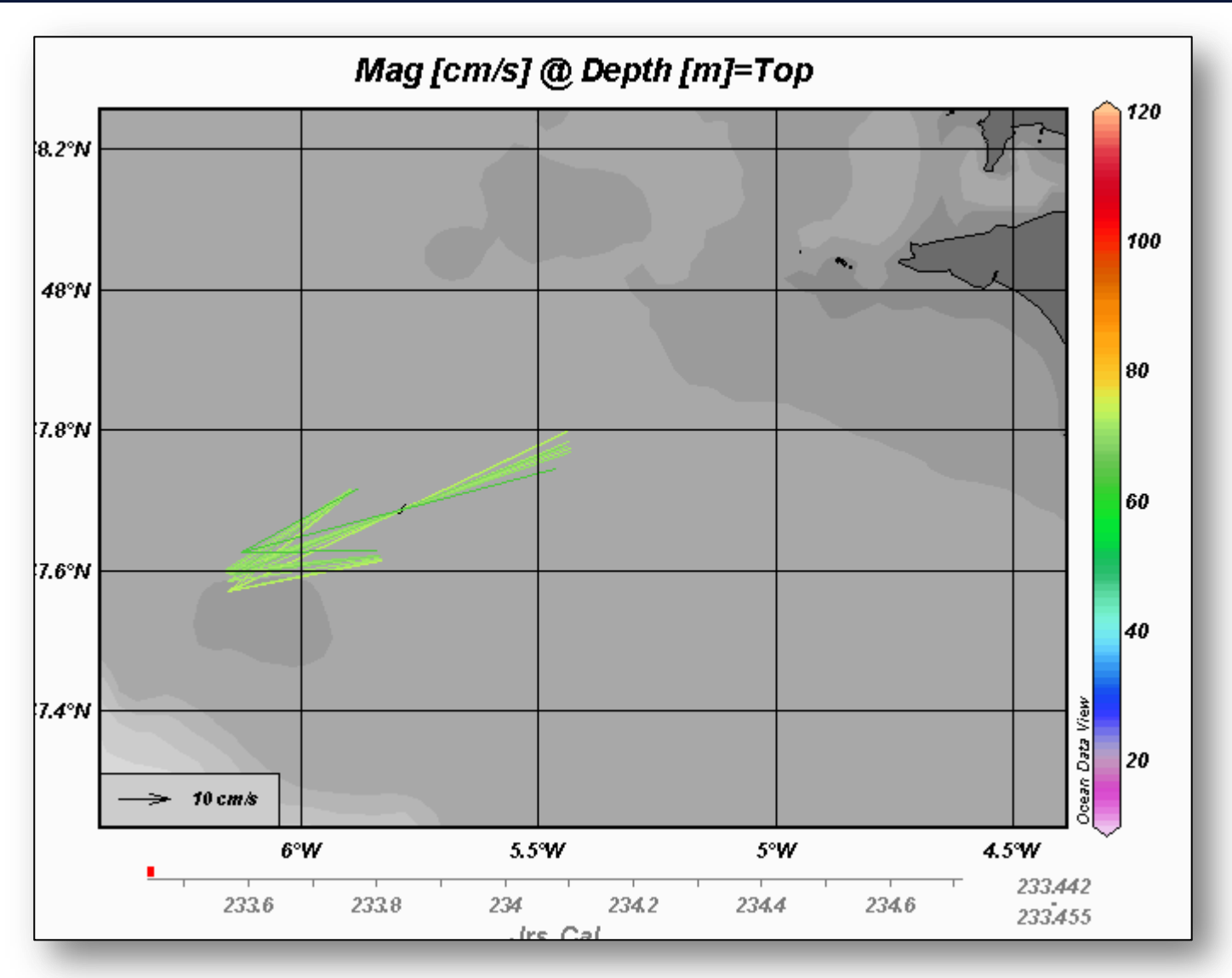
8.5°E



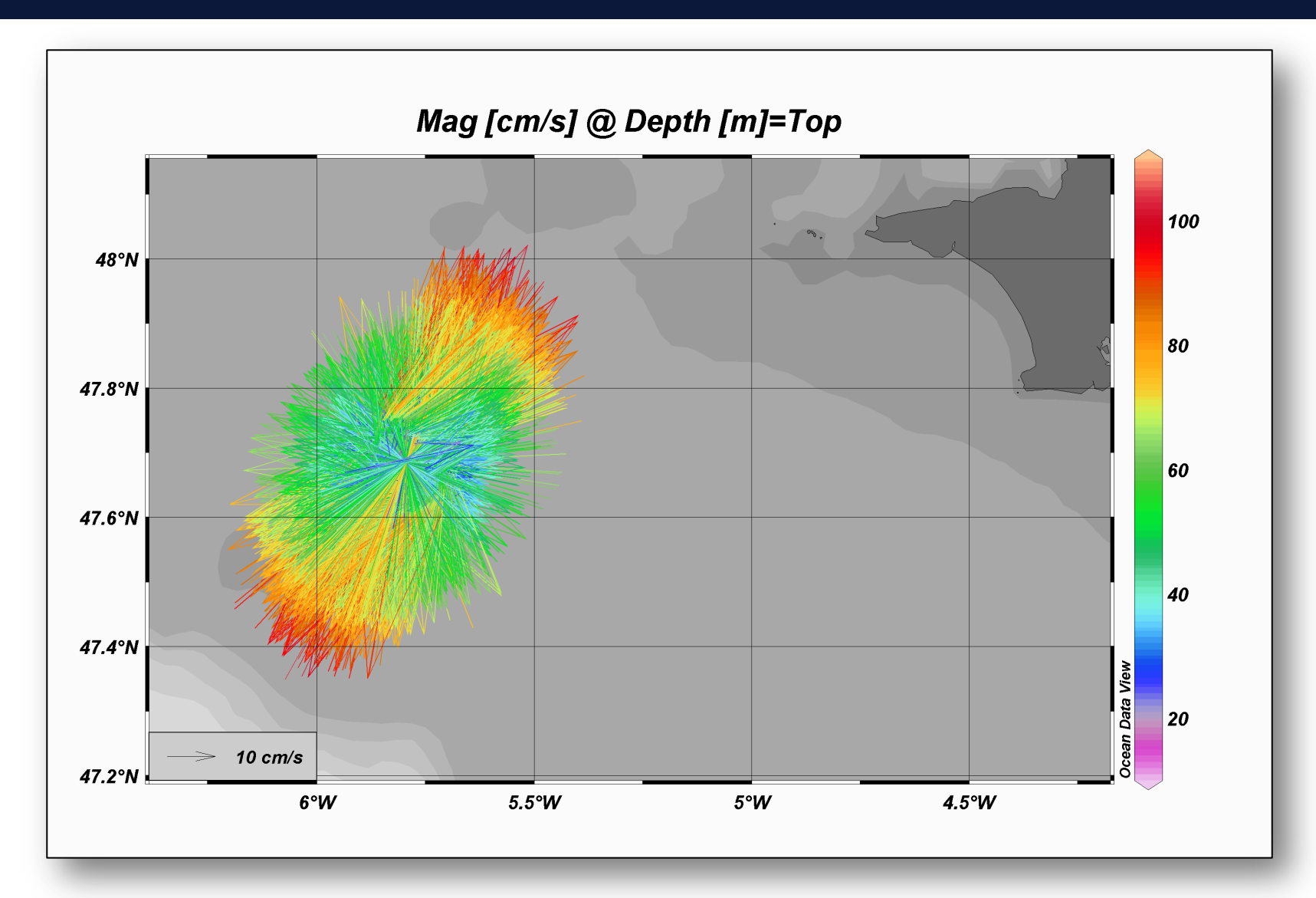






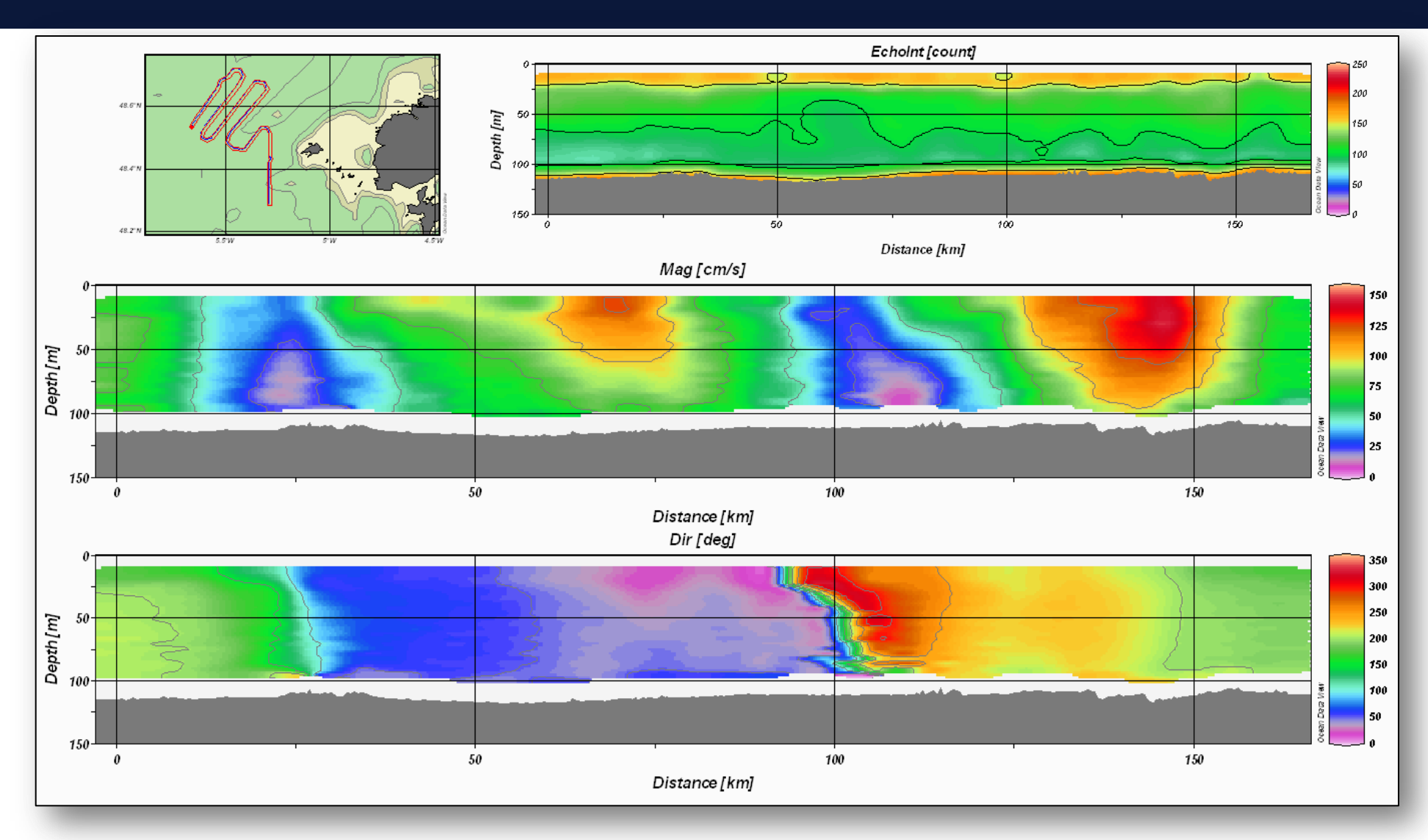




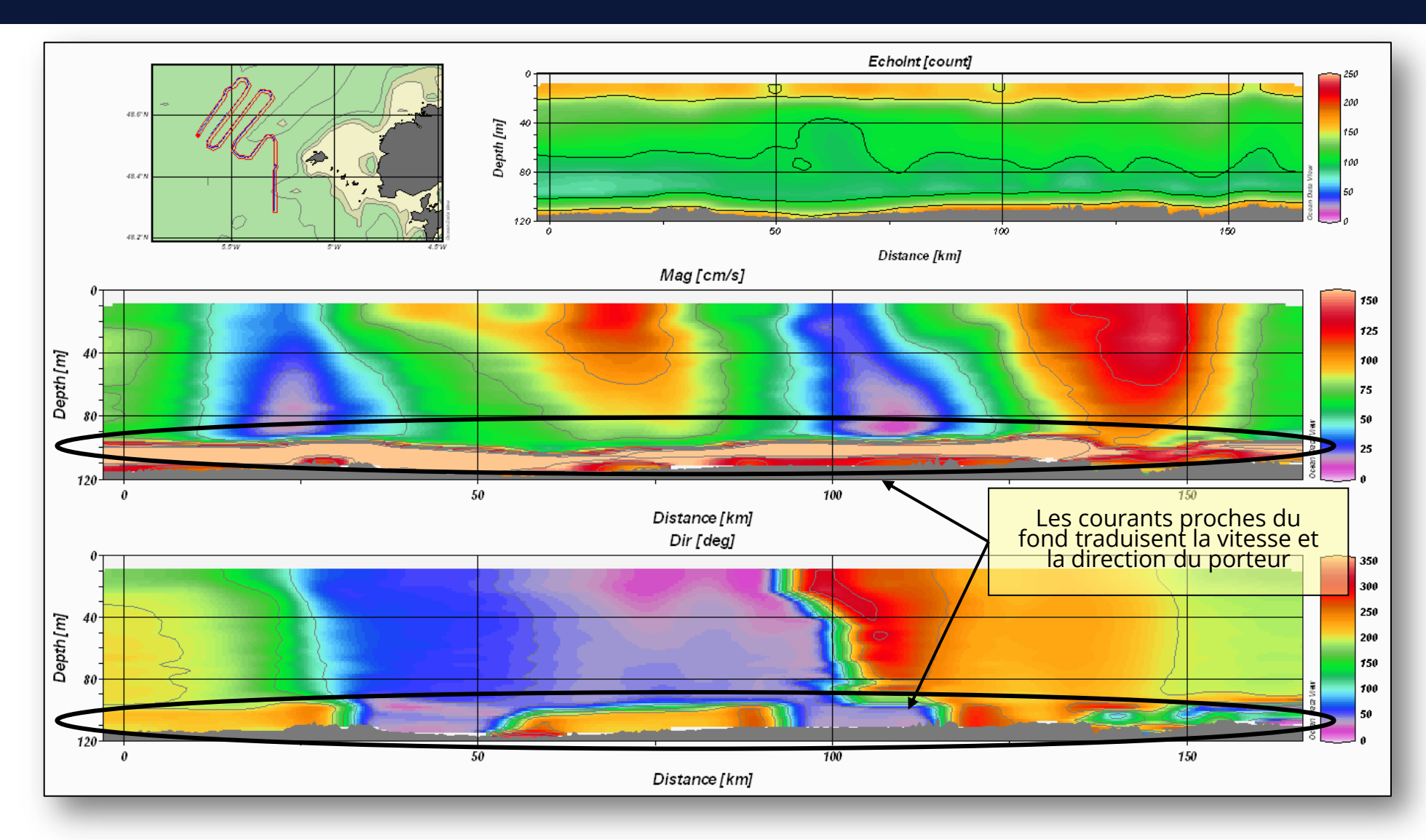


**EXEMPLE : MOUTON 2005 (LEVÉ)** 

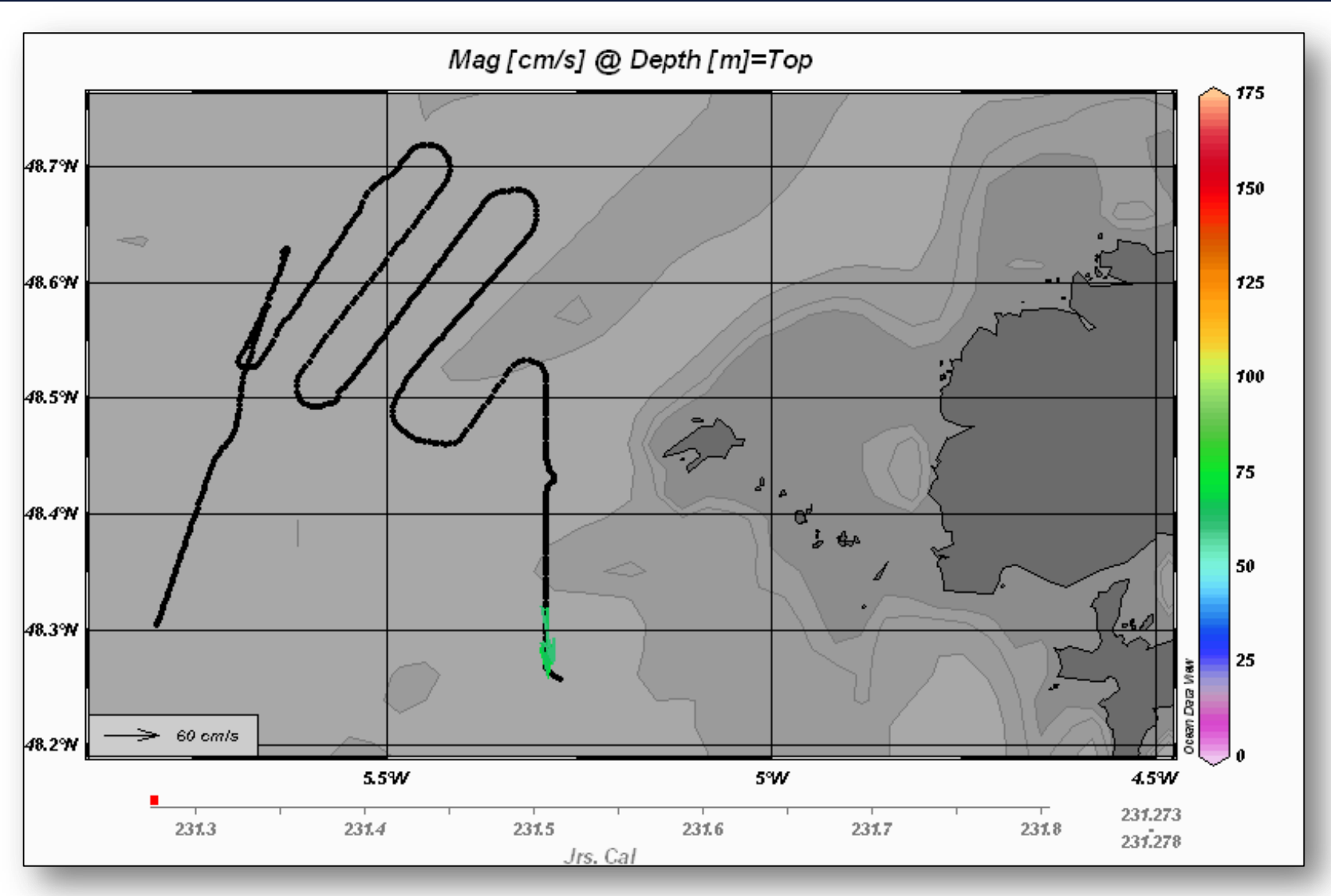




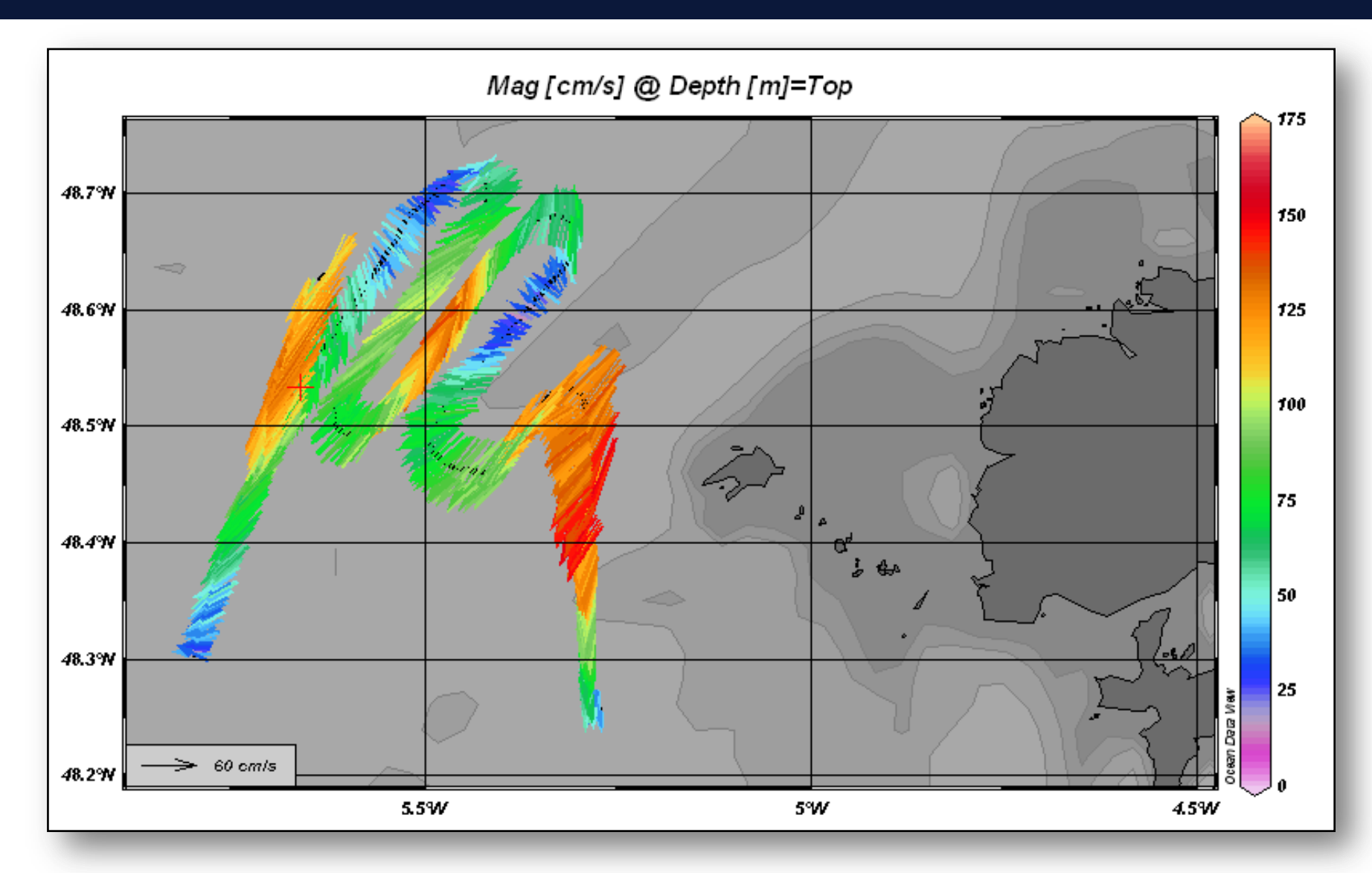




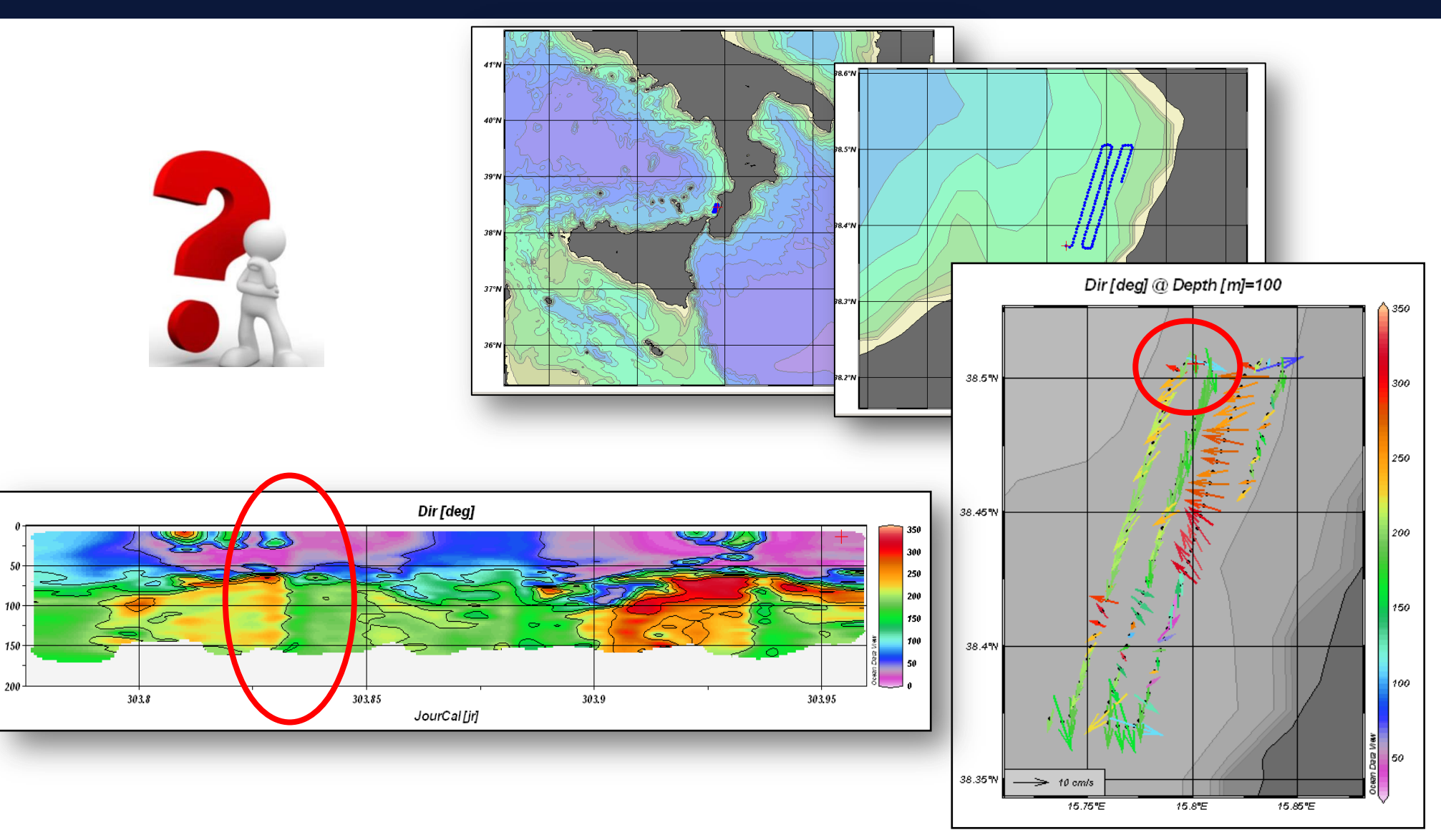








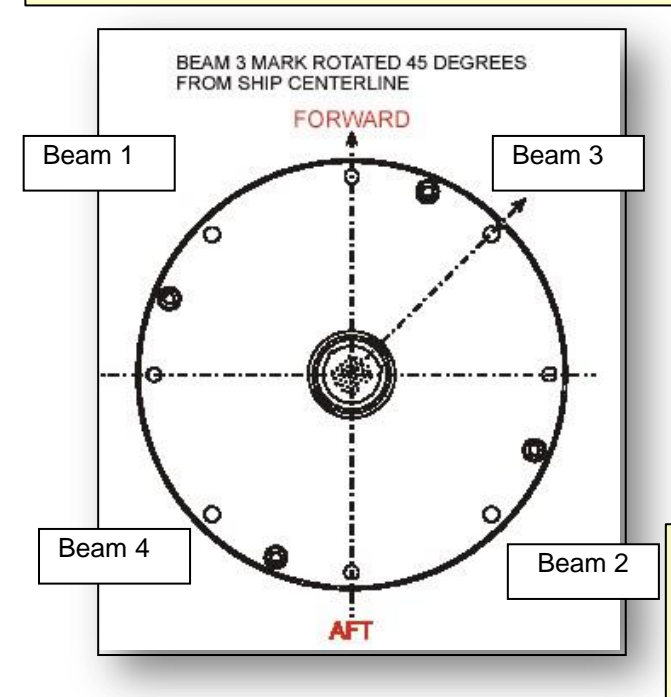






L'antenne ADCP doit être aligné suivant la ligne de foi du navire :

L'orientation du courant mesurée par le système doit être indépendante de la route navire



Erreur sur les composantes de la vitesse mesurée  $\Delta U = (Um+Un)*(cos(d)-1)+(Vm+Vn)*sin(d)$ 

 $\Delta V = -(Um+Un)*\sin(d)+(Vm+Vn)*(\cos(d)-1)$ 

#### Avec:

Um : composante Est mesurée par l'ADCP.

Vm : composante Nord mesurée par l'ADCP.

Un : composante Est de la vitesse navire.

Vn : composante Nord de la vitesse navire.

ΔU: erreur sur la composante Est du courant (Uvrai – Ufaux)

ΔV : erreur sur la composante Nord du courant (Uvrai – Ufaux).

d: erreur sur le cap.

Exemple pour une erreur de 0.5° d'alignement et un courant de 10cm/s :

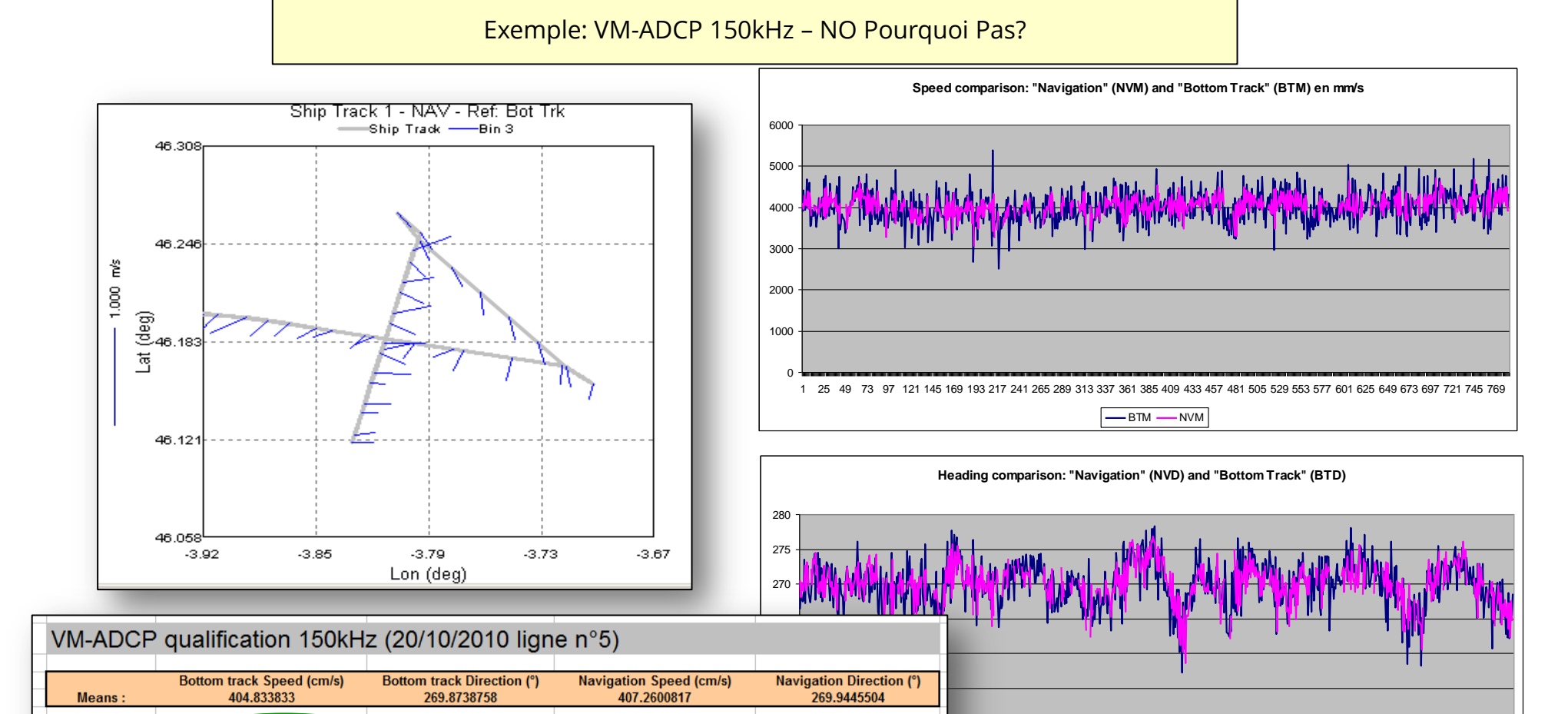
Si vitesse navire = 7Nds  $\rightarrow$  erreur de 3,2cm/s sur Mag. et 17° sur Dir.

Si vitesse navire =  $12Nds \rightarrow erreur de 5.5cm/s sur Mag. et 28° sur Dir.$ 

→ Comparaison entre la vitesse et le cap donnés par le GPS et le Bottom track

Differences:





Direction Difference BT-Nav (°

-0.070674606

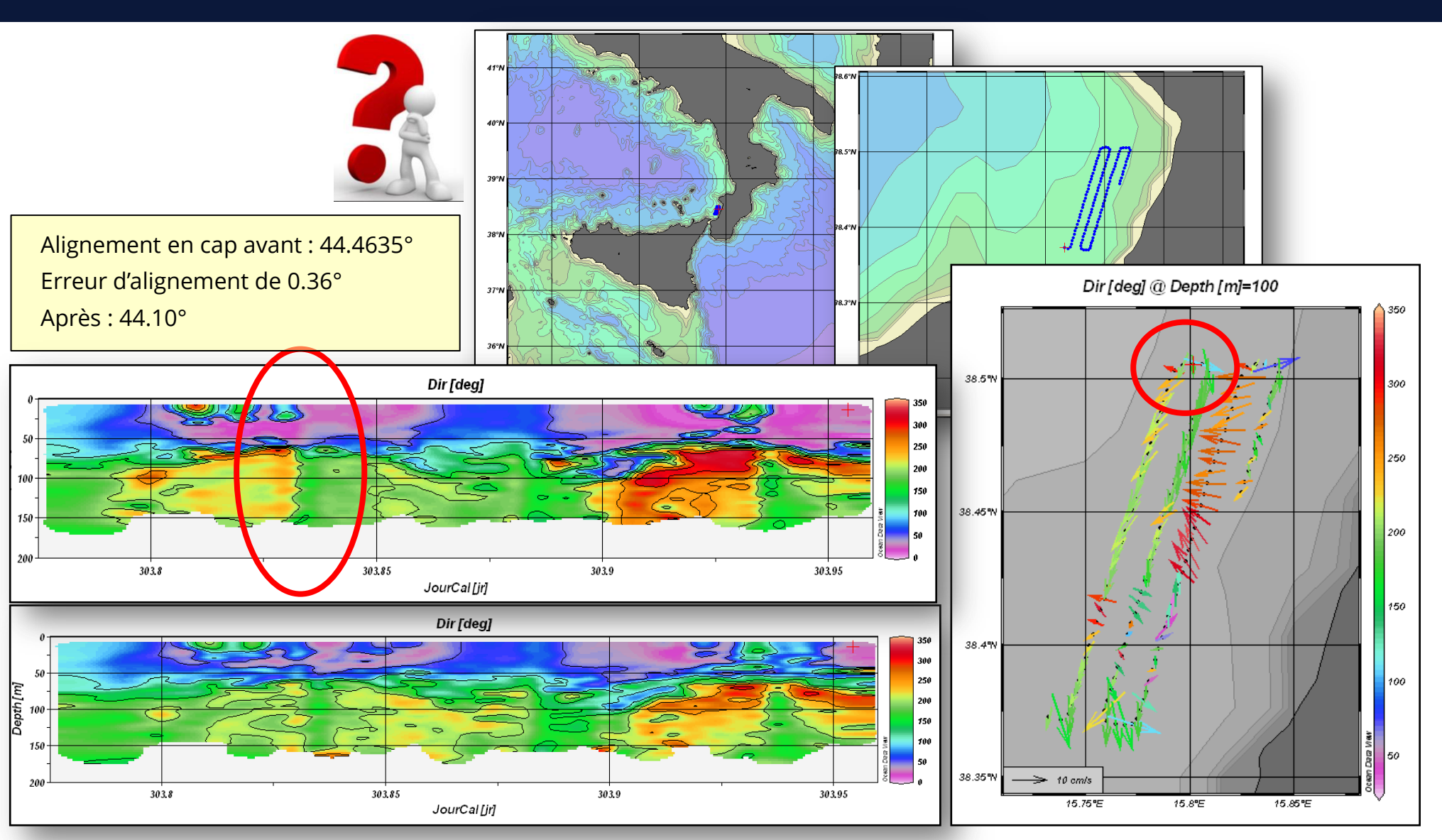
Speed Diffence BT-NAV (cm/s)

-2.426248767

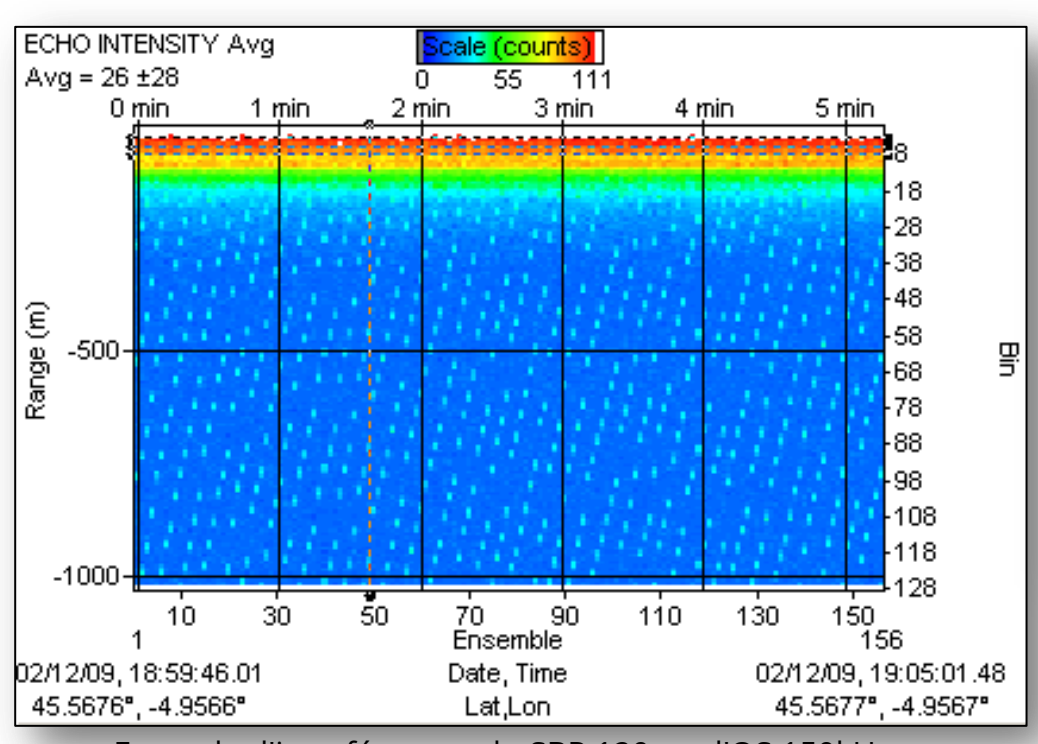
69 193 217 241 265 289 313 337 361 385 409 433 457 481 505 529 553 577 601 625 649 673 697 721 745 769

- NVD

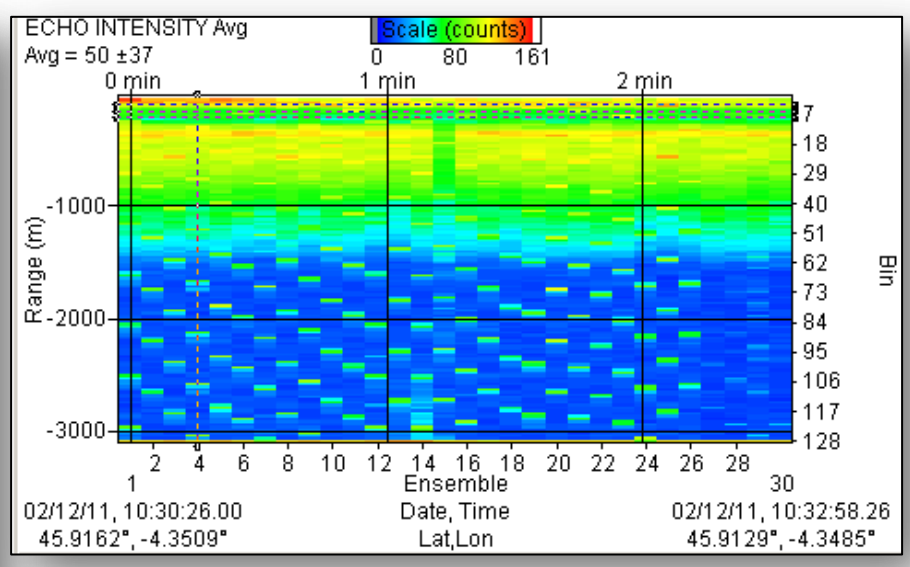








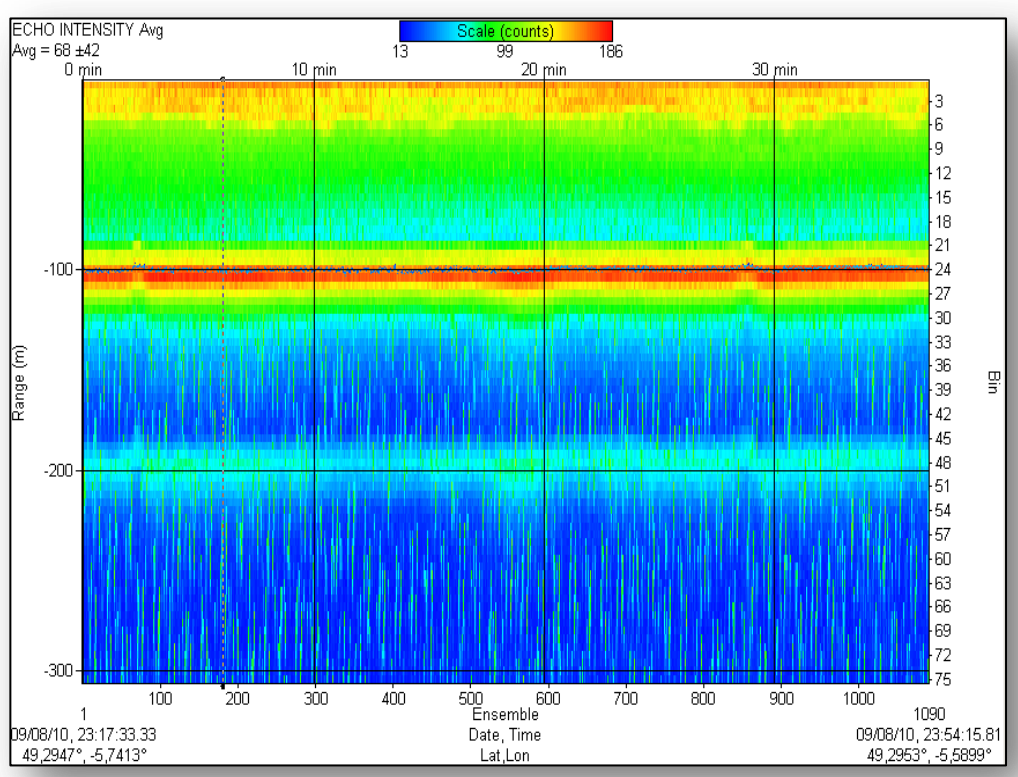
Exemple d'interférences du SBP 120 sur l'OS 150kHz



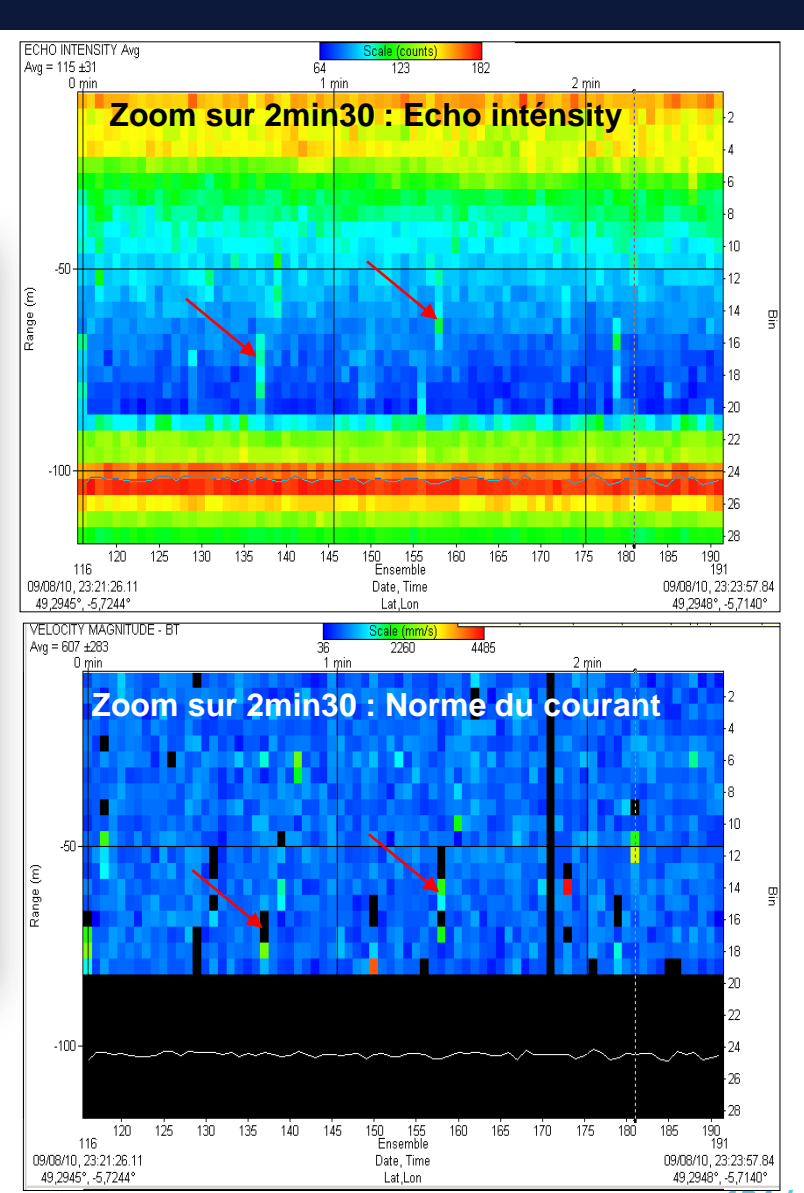
Exemple d'interférences de l'EA400 sur l'OS 38kHz



#### Données Atalante - tests Vm-ADCP 150kHz



Interférences multiples (sondeur externe non synchronisé)



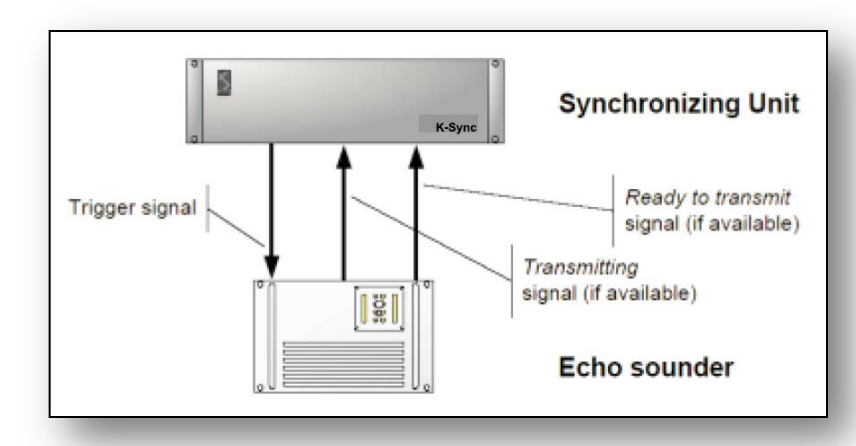


#### Centrales de synchronisation :

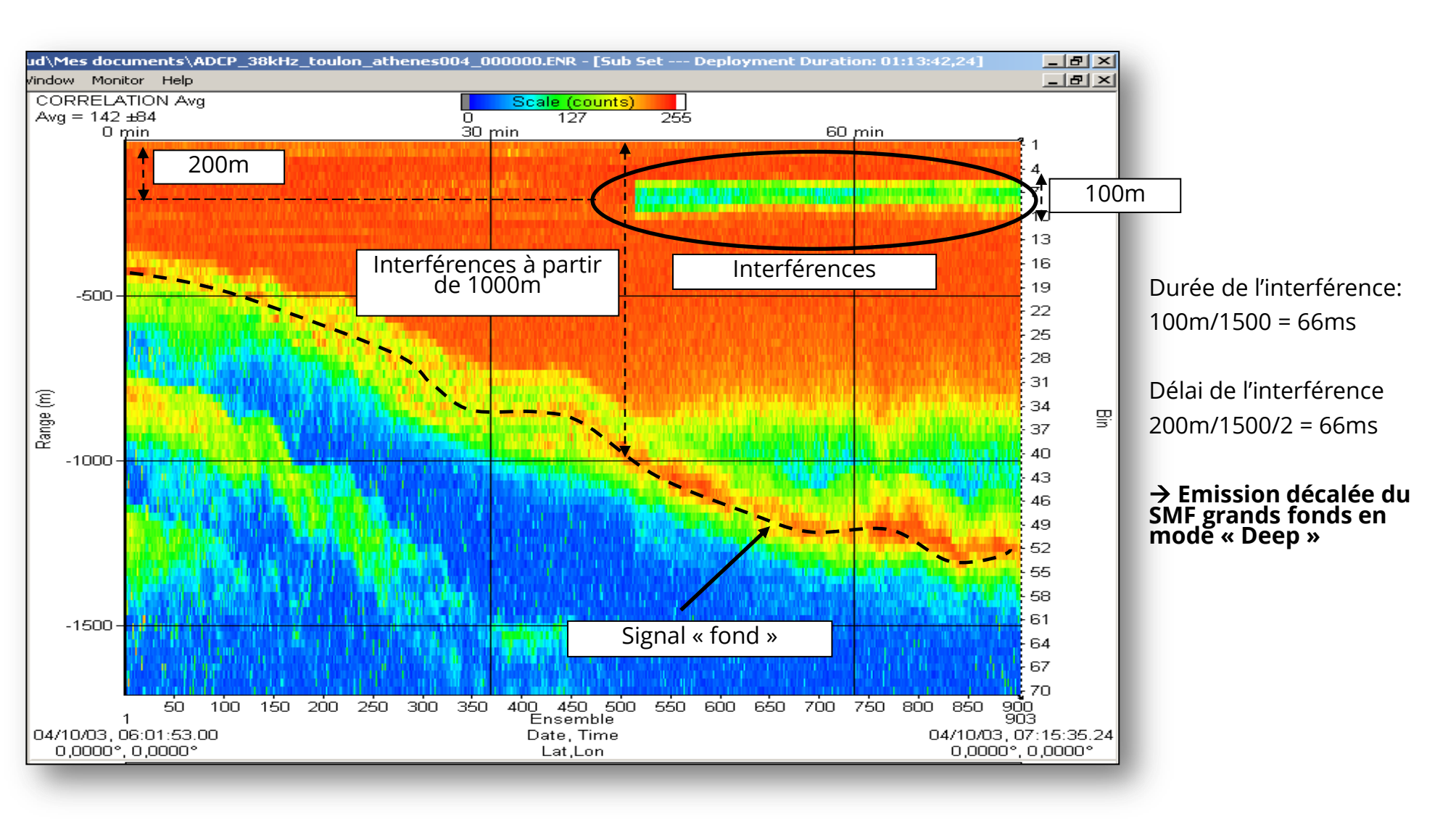
- utilisation de signaux électriques (Trigger IN) pour provoquer l'émission
- Emission d'un « Trigger OUT » lors du tir effectif du VM-ADCP

Kongsberg K-Synch

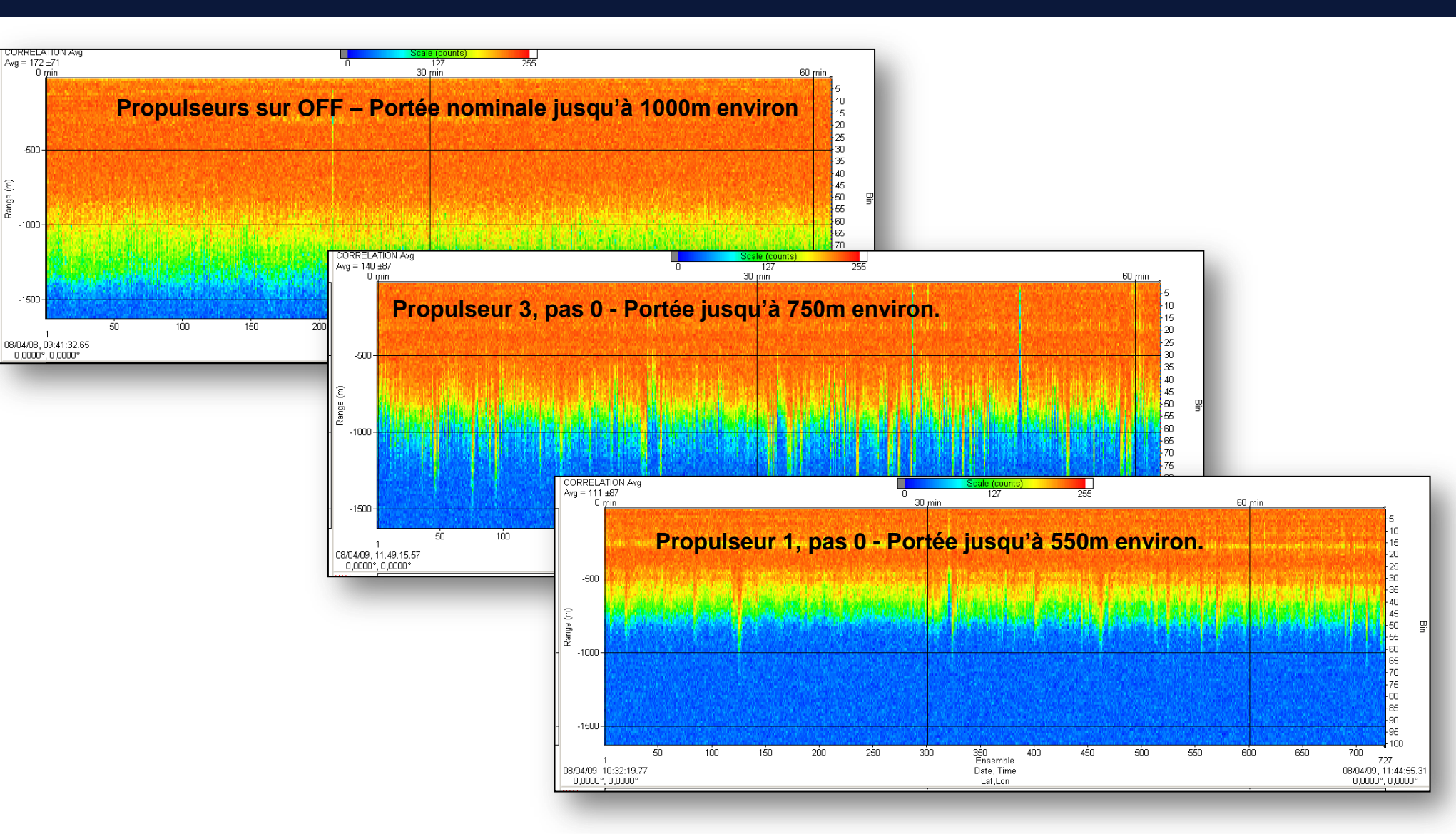
Ifremer OCEA







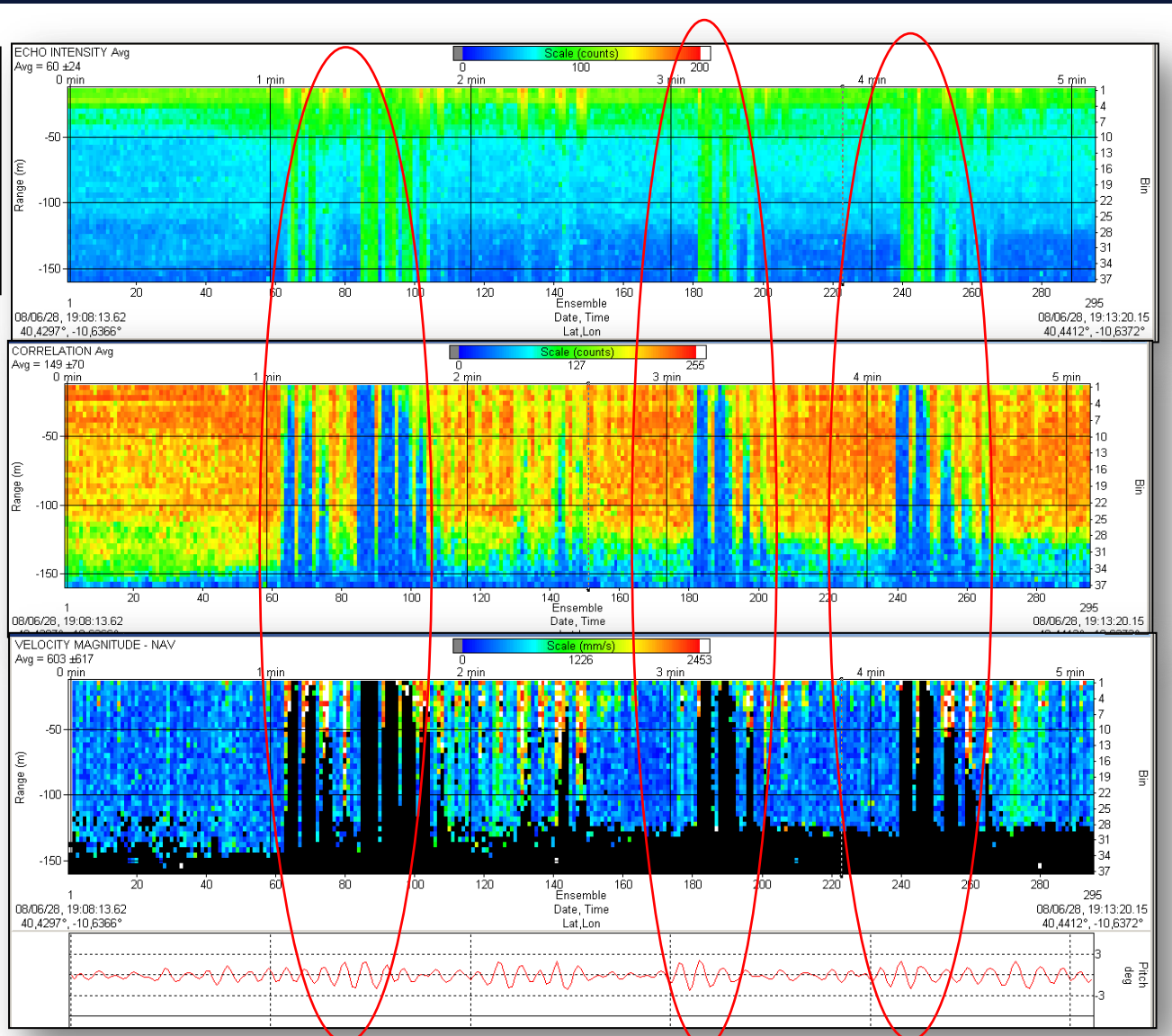




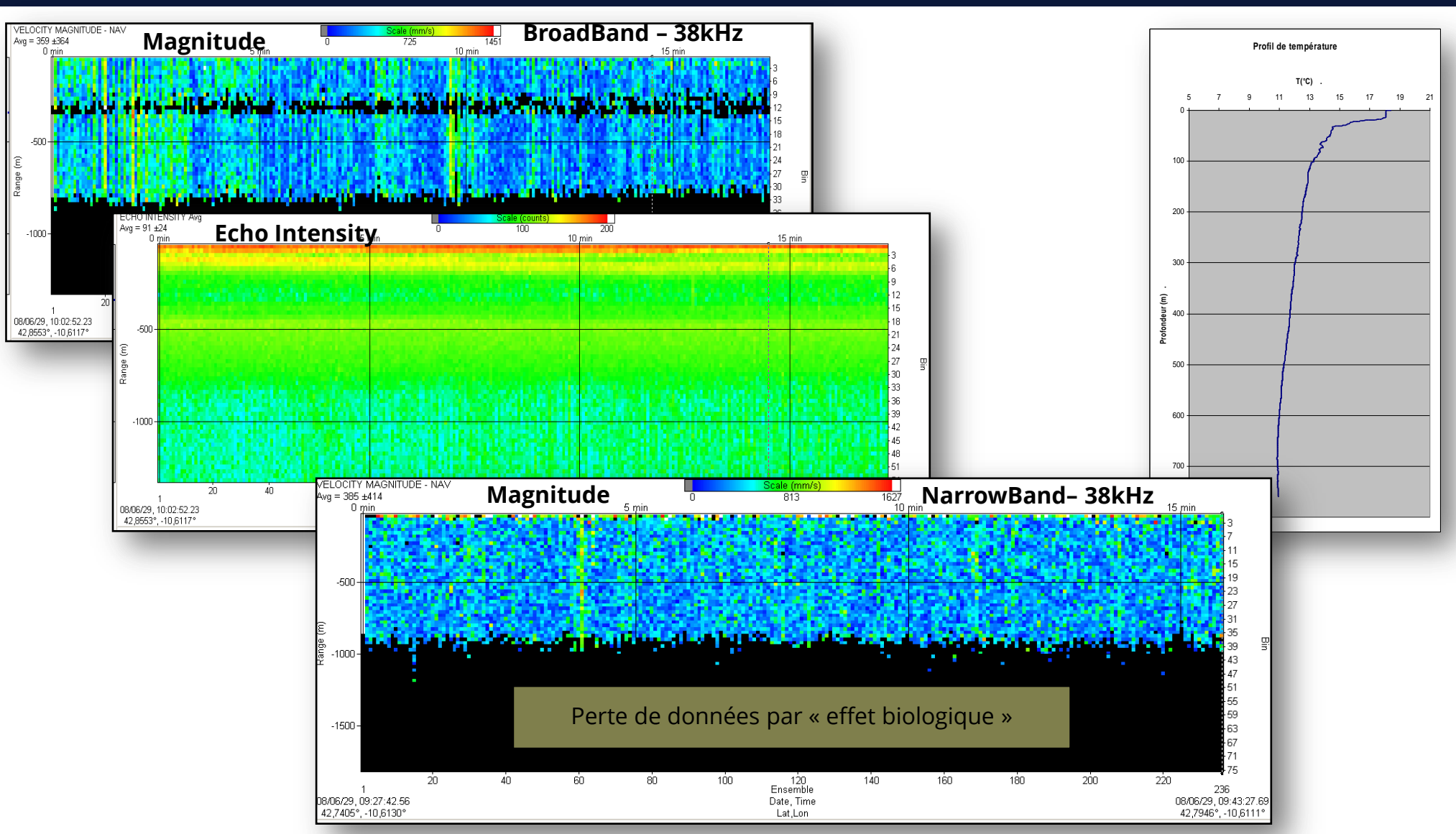
BULLAGE



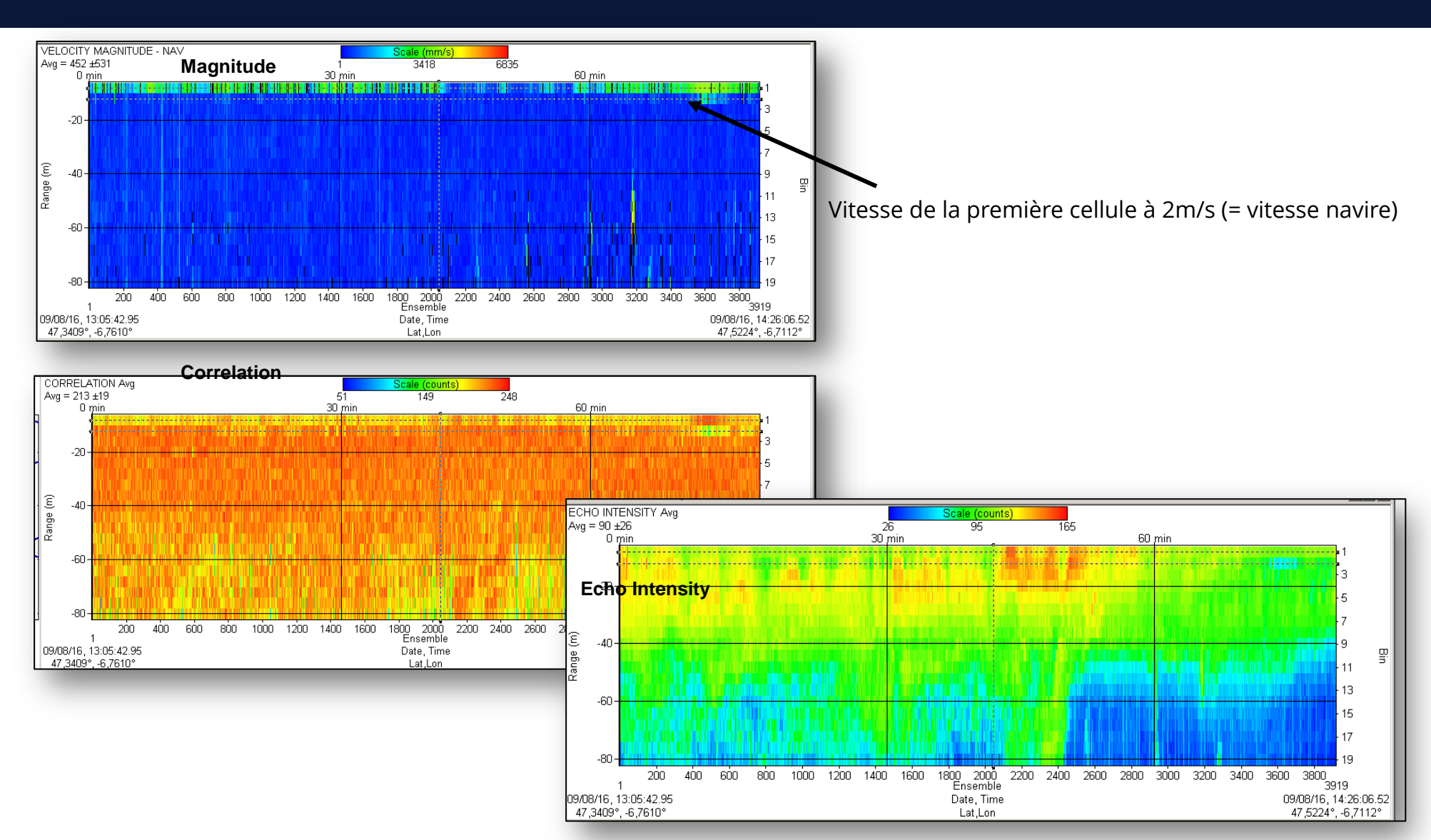
NO *Pourquoi Pas?*Mer 5, vent à 30nds et houle face au navire
Effets de bullage sur les sondeurs VM-ADCP monté sur la gondole.





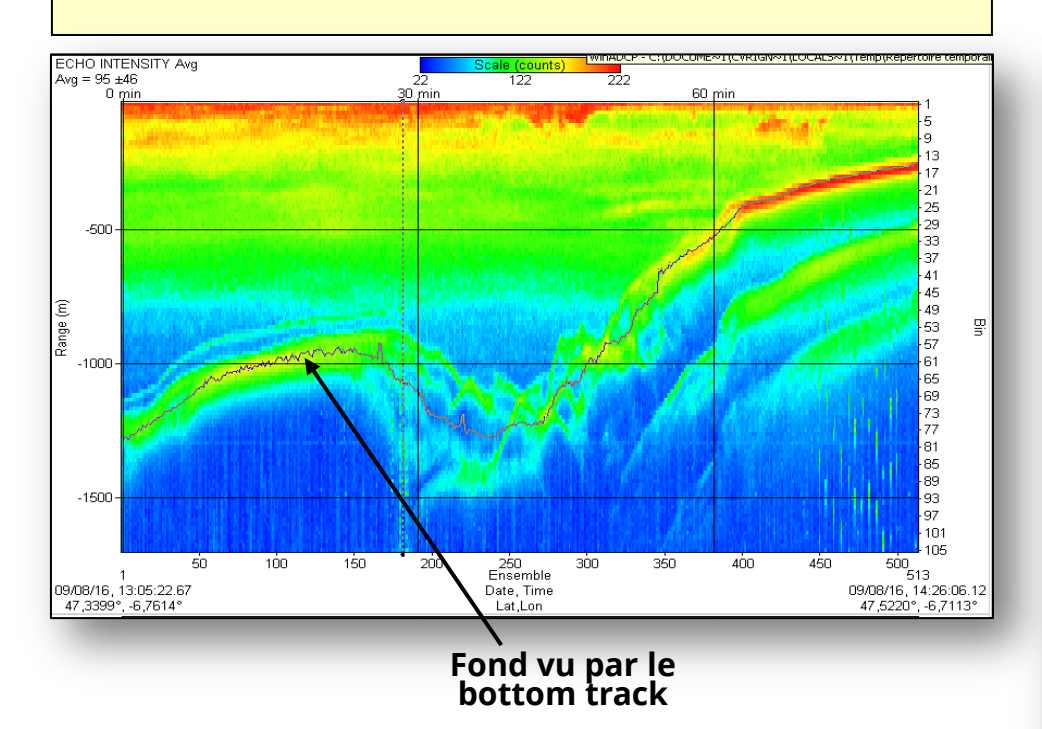




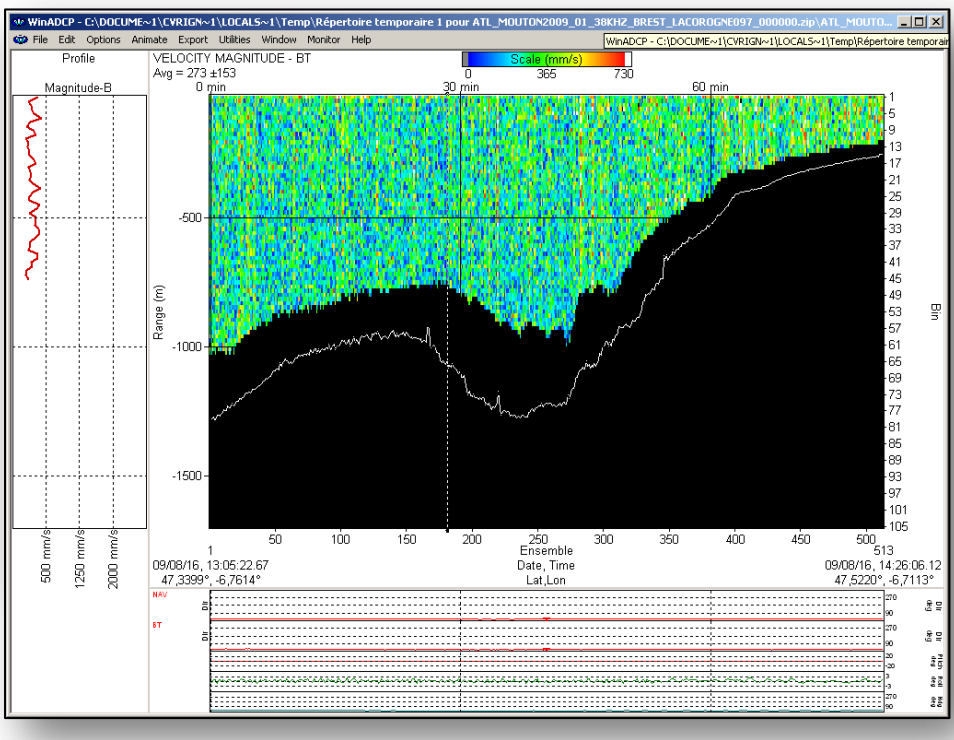




Portée du sondeur à 1700m par 500m de fond = echo multiple du fond



Cellules réellement exploitables : au dessus du fond avec suppression des effets « side lobs »



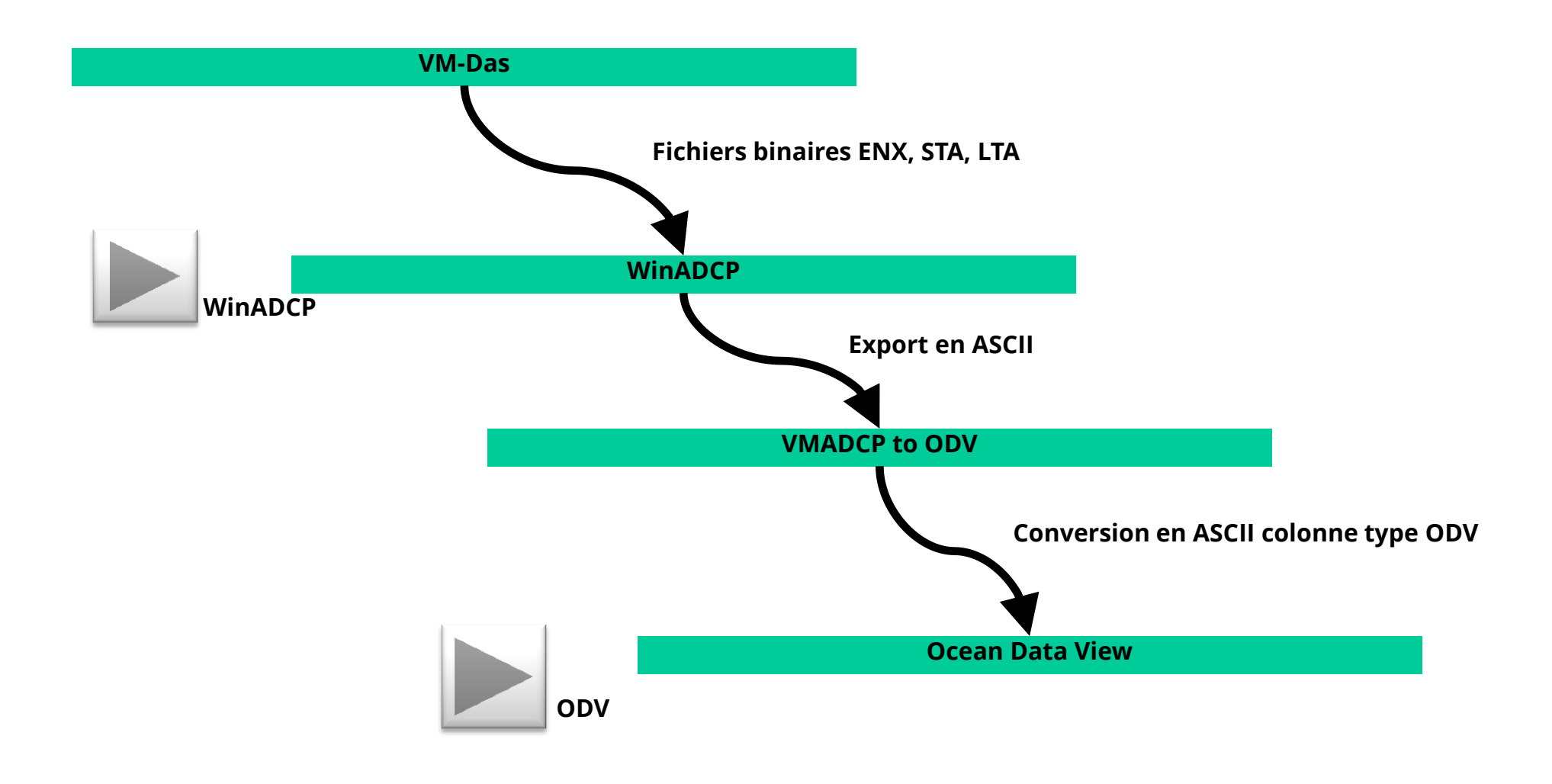


```
ADCP Command File for use with VmDas software.
 ADCP type:
              38 Khz Ocean Surveyor
 Setup name: default
 Setup type: High resolution, short range profile(broadband)
 NOTE: Any line beginning with a semicolon in the first column is treated as a comment and is ignored by
     the VmDas software.
NOTE: This file is best viewed with a fixed-point font (eq. courier).
; Restauration des paramètres usines:
; Forçage de la communication à 115200bps (no parity, one stop bit,
8 data bits)
; VMDas modifie éventuellement les vitesses de dialogue par lui
cb811
Commandes pouvant être modifier:
: ****** Commandes Broadband *******
; choix du mode broadBand (1 = Yes, 0 = No et invalide les
commandes liées au BB):
WP1
: Nombre de cellules:
WN100
: Taille des cellules en cm:
WS1600
; Distance aveugle en cm: WF1600
; Emission d'un "bottom ping" (1 = Yes, 0 = No):
BP1
; Synchro CXa,b (trigg externe: a=1 sinon a=0) acquitement: b = 1
sinon b=0):
CX1.1
```

```
Commandes à conserver:
 Limite de detection du fond dans la limite des 300m (en dm)
BX20000
; ambiguïté sur la vitesse de courant en cm/s (paramètre par défaut
conseillé = 0390cm/s)
WV390
; Temps entre 2 "water ping" en 1/100m de seconde (mmssff): TP000000
 Capteur des paramètres "environnements": EZabcdefg calcul de la vitesse du son: a=1
 pas de Sondeur interne: b=0
 attitude gérée par VMDas: cde = 000
Pas de capteur de conductivité: f=0
 capteur de température interne: q=1
EZ1000001
; valeur de salinité (bain d'eau de mer sur le BBP):
ES35
; Immersion du transducteur (en dm)
ED00070
: Sauvegarder ces commandes dans la ROM del'ADCP:
: FIN
```









- I. Notion d'acoustique sous-marine
- II. Application à la courantométrie
- III. Courantomètres au point fixe
- IV. L-ADCP
- V. VM-ADCP (Vessel Mounted Acoustic Doppler Current Profiler)
- VI. Doppler Velocity Loch

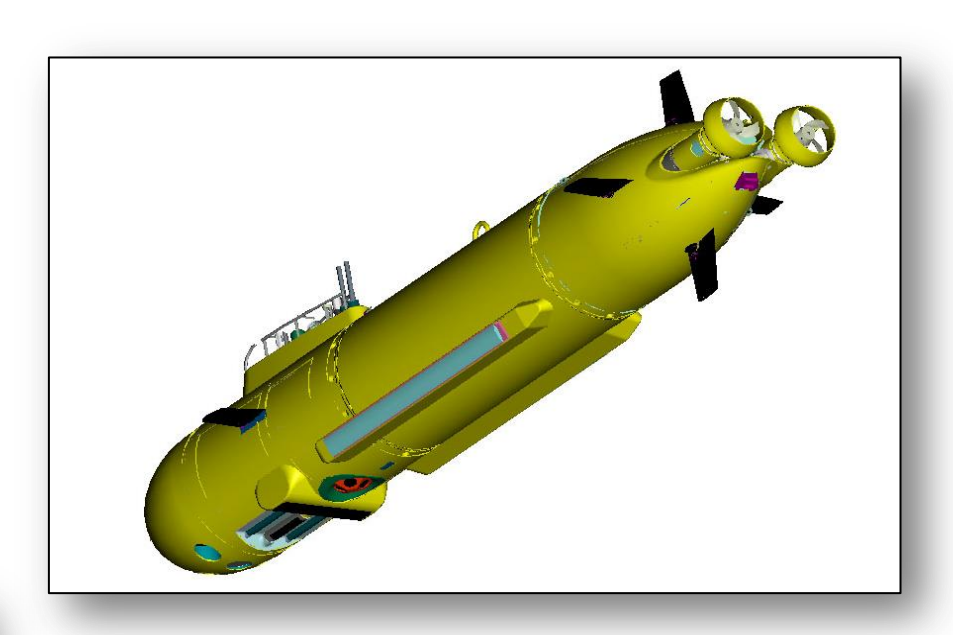




## **Doppler Velocity Loch**

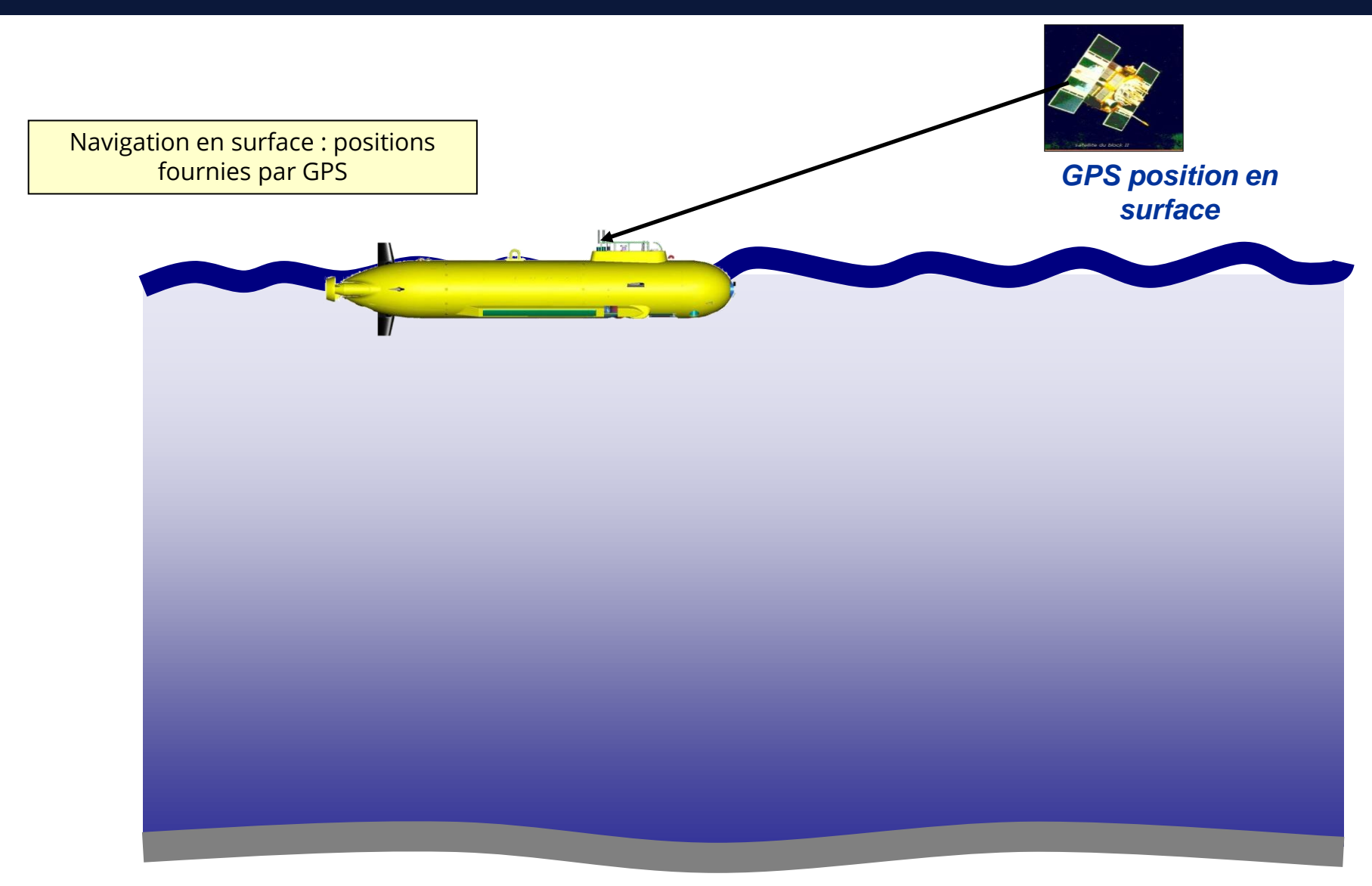
- ADCP type WorkHorse 1200kHz.
- Water Profiling + Bottom ping + Water Mass
- Intégration sur AUV Daurade
- Sur Pourquoi Pas ?





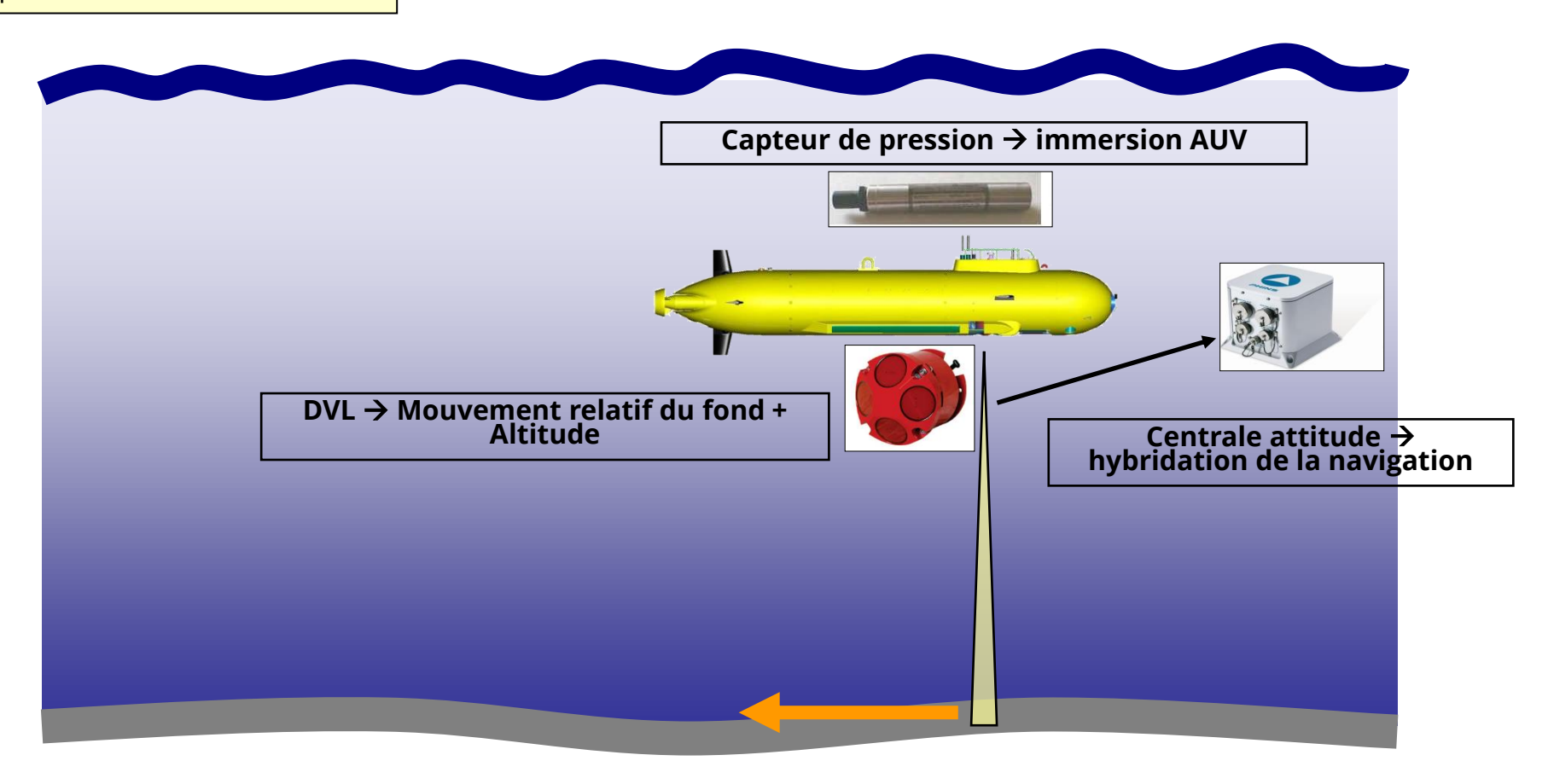
PRINCIPE





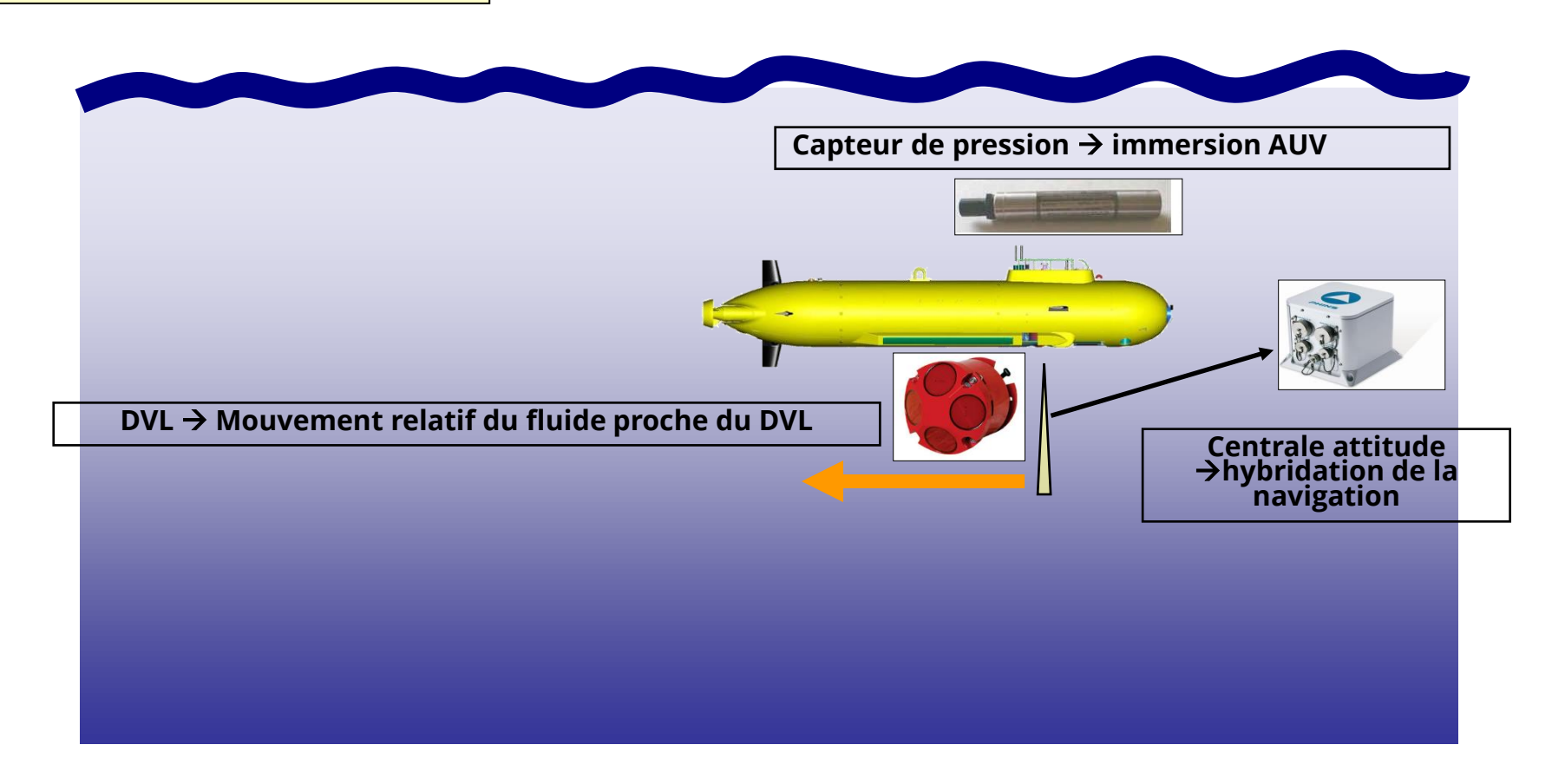


Navigation en subsurface : Si le fond est en portée du DVL, la navigation se fait avec le déplacement relatif du fond



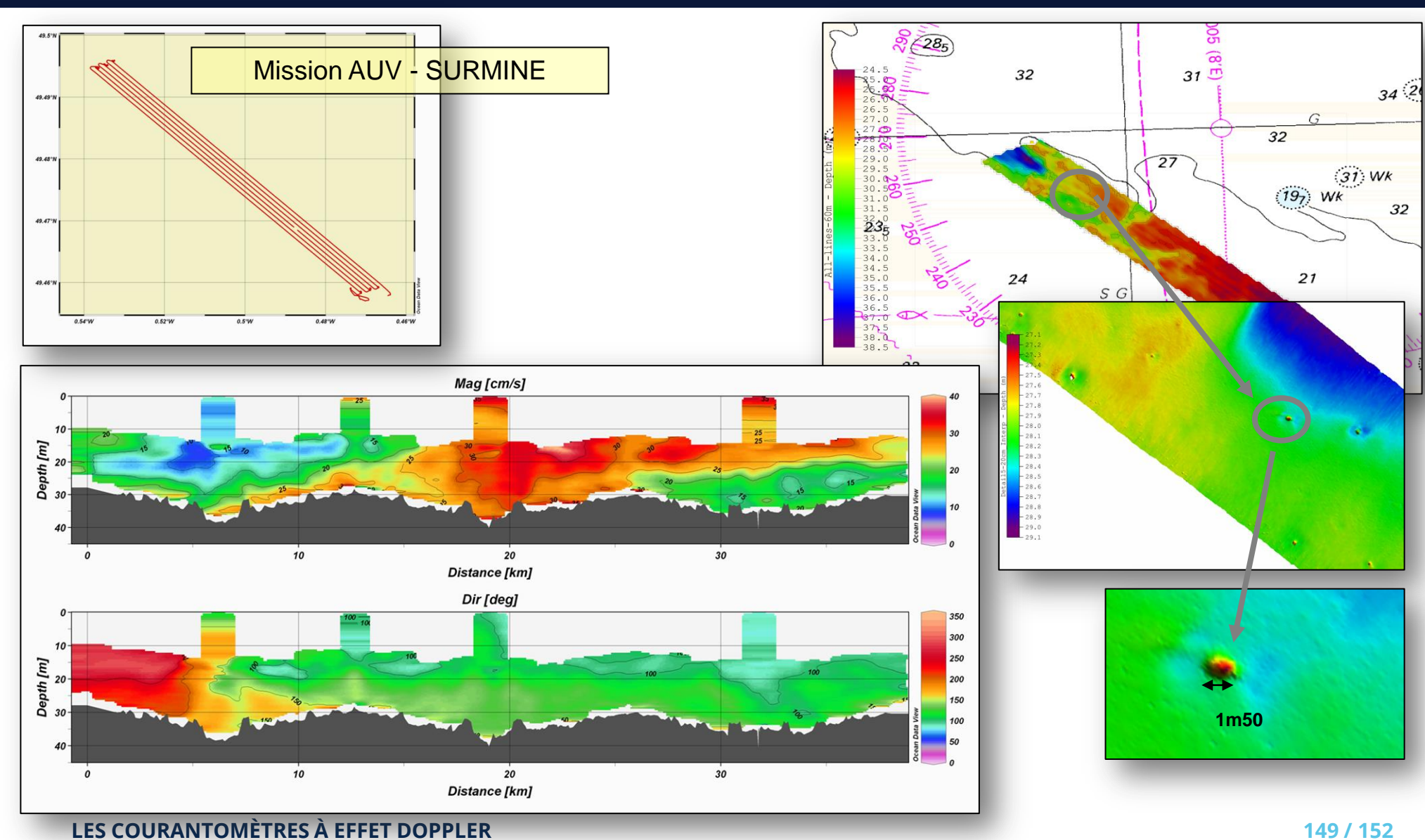


Navigation en subsurface : Si le fond n'est pas en portée la navigation se fait avec le déplacement relatif du fluide



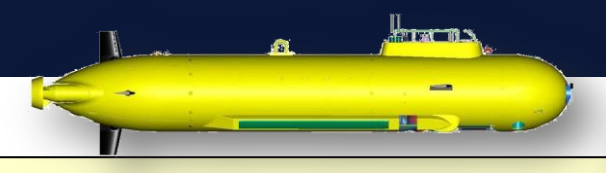
DVL + ADCP





DVL + ADCP





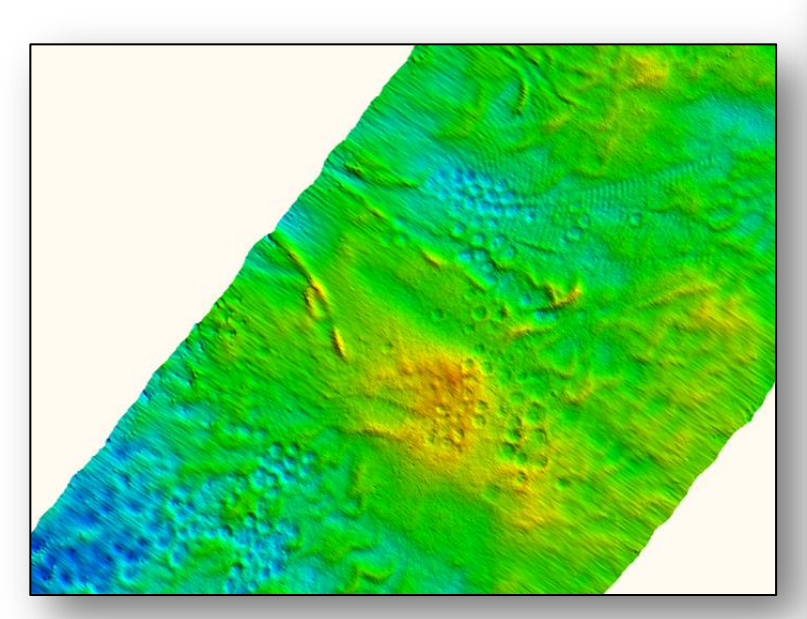
#### Qualification Hydrographique d'un AUV

Zone de référence du Carré Renard (rade de Brest)

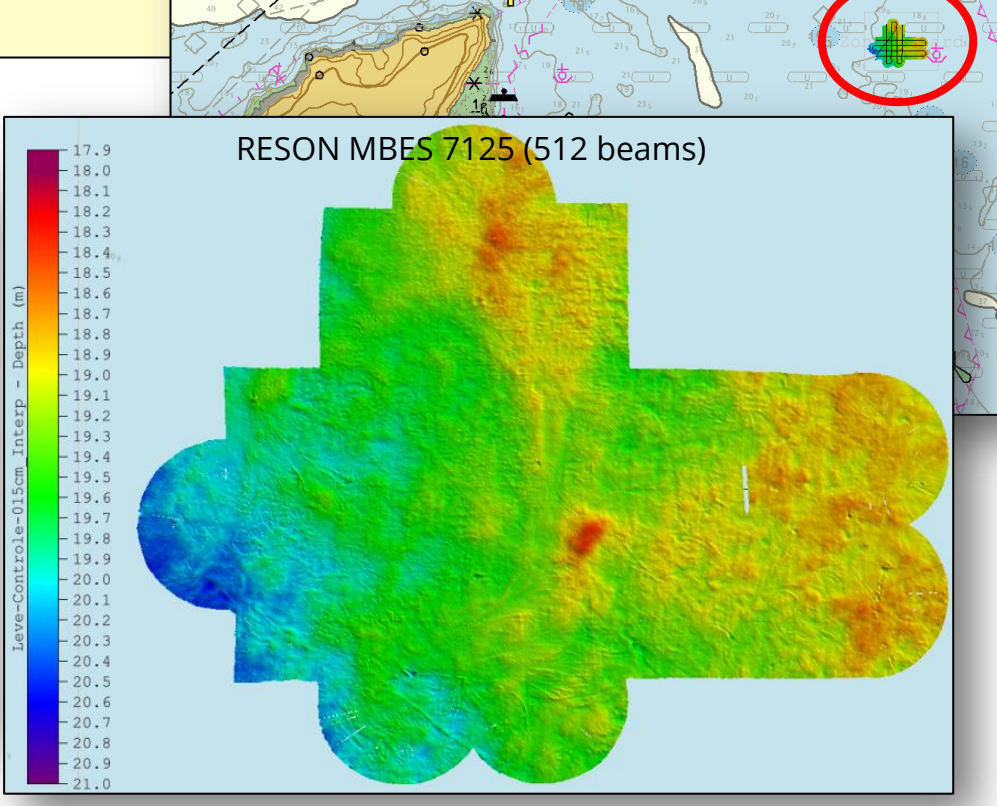
Profondeur: 22 m

Altitude AUV: 14 m

Fond: sable coquillage



LES COURANTOMÈTRES À EFFET DOPPLER

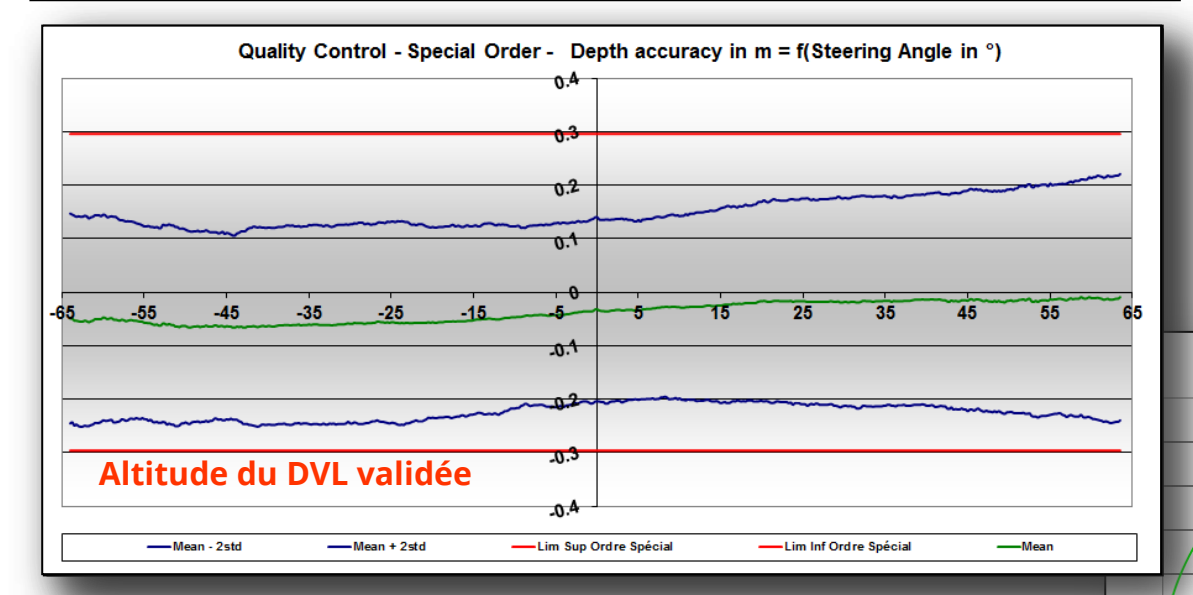


DVL + ADCP

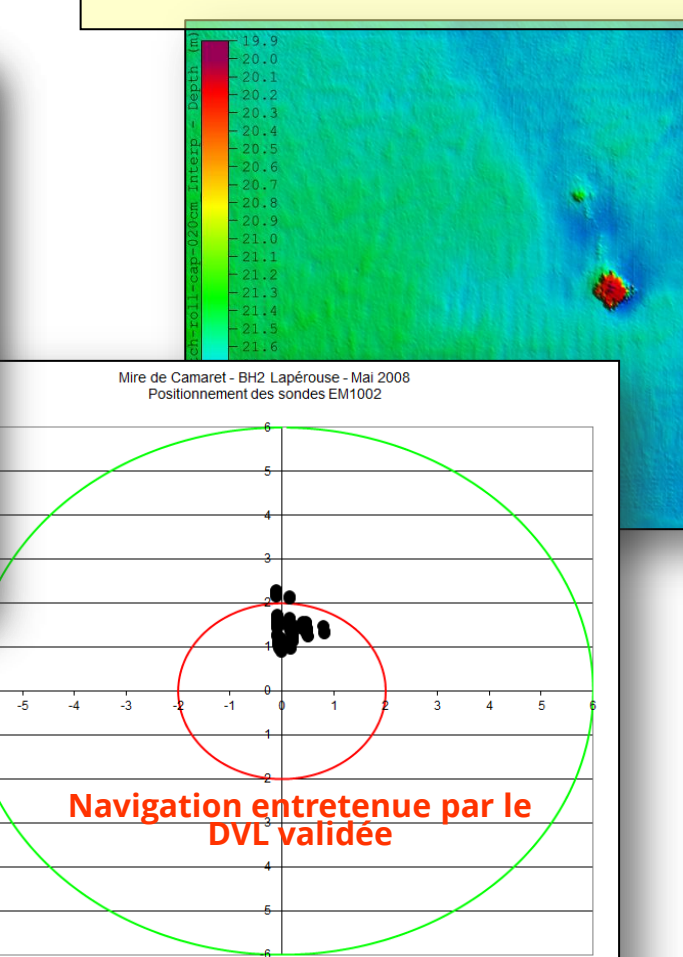




Qualification des mesures bathymétriques sur la verticale



Qualification des mesures bathymétriques sur l'horizontale



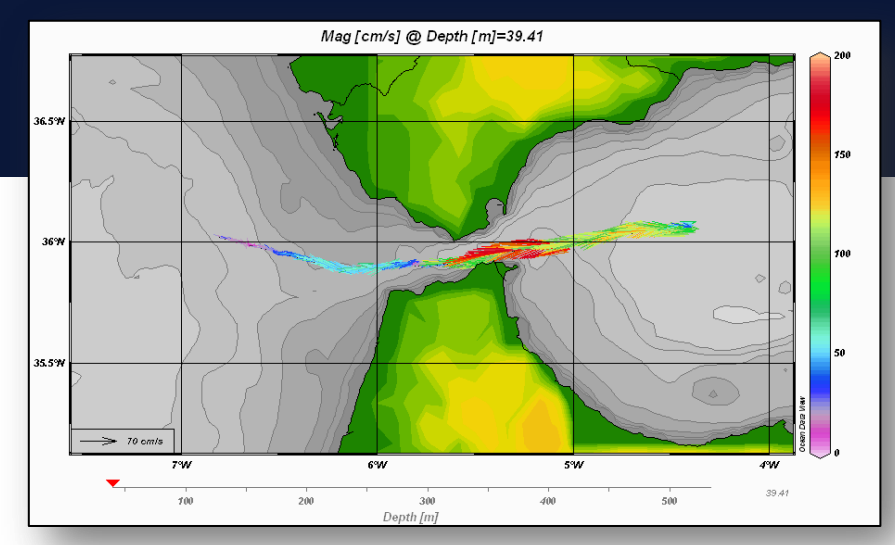
Ecart en longitude (m)

--- Limite ordre spécial

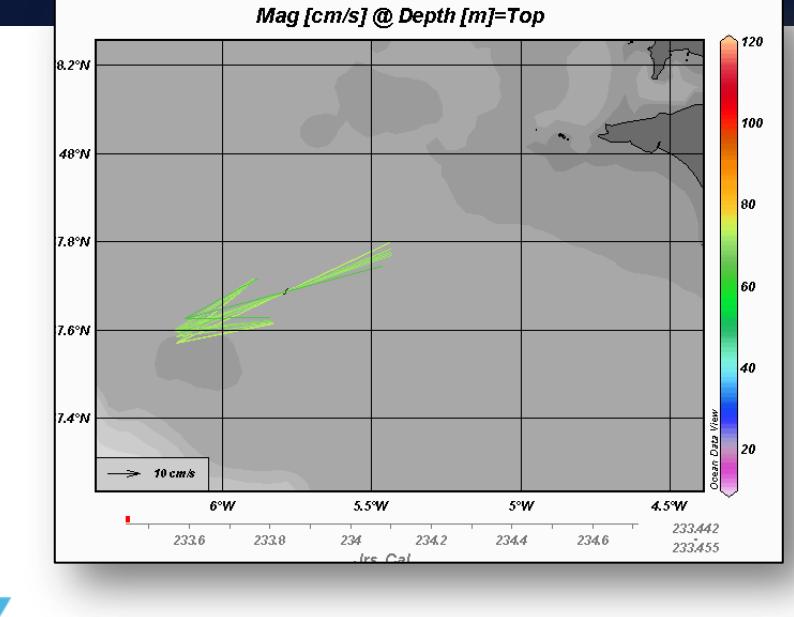
-Limite ordre 1

Sondes

Ordre Spécial S-44 validé à 4Nds pendant 45 minutes Order 1 peut être validé durant plus de 2 heures







# MERCI!

